

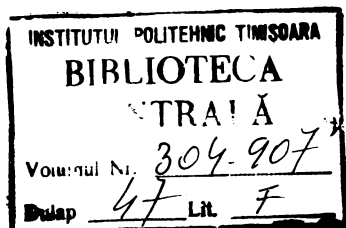
INSTITUTUL POLITEHNIC "TRAIAN VUIA"
T I M I S O A R A
Facultatea de construcții
Catedra de construcții metalice

ING. MERCEA GHEORGHE

PROFII AJURATE CU GOLURI CIRCULARE SI OVALE
(Un nou tip de profile ajurate)
CONTRIBUTII LA ALCATUIREA SI CALCULUL IN DOMENIUL
ELASTIC A PROFILELOR AJURATE

BIBLIOTECA CENTRALĂ
UNIVERSITATEA "POLITEHNICA"
TIMIȘOARA

Conducător științific :
Acad.Prof.emerit ing. DAN MATEESCU



- Timișoara 1975 -

CAPITOLUL I

GENERALITATI, DEZAVANTAJELE SI DEZAVANTAJELE PROIECTELOR AJUATE

1.1. GENERALITATI

Dezvoltarea construcțiilor metalice, ca urmare a avantajelor pe care acestea le au față de celelalte materiale de construcții, a avut loc în secolul nostru și în special în ultimele 4-5 decenii. Ca urmare a acestei dezvoltări în fața inginerilor constructori, care s-au preocupat de aceasta, s-au pus probleme tot mai numeroase și cu implicații deosebite, legate de evoluția spectaculoasă a construcțiilor metalice pe plan mondial.

Una din problemele pe care și le pun inginerii constructori în general și cei care se ocupă de construcții metalice în special, este aceea a realizării unor construcții cu un cost cât mai scăzut, alături de celelalte calități și condiții care se pun referitor la rezistența, stabilitatea, rigiditatea și estetica construcțiilor.

Costul construcțiilor metalice este funcție de mai mulți factori dintre care cel mai important este costul materialului, costul manoperei de execuție și de montaj și costul utilajelor folosite la uzinare și montare pe șantier. Dintre acești trei factori, rolul cel mai important în determinarea costului construcțiilor metalice îl are costul materialelor folosite, deoarece acest cost are ponderea cea mai mare în stabilirea valorii totale a produselor rezultate. În general costul materialelor reprezintă 70-80 % din costul total al construcțiilor metalice, în timp ce costul manoperei și a utilajelor folosite reprezintă doar 20-30 % din costul total, valoarea acestora fiind cu atât mai mică cu cât procesul de producție este mai automatizat. În aceste condiții o reducere a costului materialelor cu 10 %, înseamnă o reducere a costului total cu 7-8 %, în timp ce o creștere a manoperei cu 10 % reprezintă o majorare a costului total doar cu 2-3 %.

Reducerea costului materialelor se realizează pe scara mai multor factori, dintre aceștia cel mai important fiind reducerea consumului de oțel folosit la realizarea construcțiilor metalice.

Inginerul constructor care execută construcții metalice dar în special cel care le proiectează, trebuie să aibă mereu în atenție o serie de măsuri care să conducă la reducerea consumului de oțel.

Acest lucru se realizează pe de o parte prin alcătuirea cât mai rațională a secțiunilor, specifică fiecărui fel de solicitare și

INSTITUTUL
TEHNIC
CERCETARE
ȘI
CONSTRUCȚII
CENTRAL

pe de altă parte prin folosirea unor profile eficiente, cu caracteristici geometrice îmbunătățite în comparație cu cele ale profilelor metalice laminate.

Pe cea de a doua direcție a reducerii consumului de oțel prin folosirea unor profile eficiente se înscrie și folosirea pentru realizarea grinzilor metalice solicitate predominant la încovoiere, a grinzilor metalice ajurate având goluri în inimă de diferite forme și care se obțin din profile laminate dublu T.

1.2. DEFINIȚIA DENUMIRII PROFILELOR AJURATE

Profilele metalice cu secțiune dublu T, având goluri de diferite forme în inimă, obținute din profile laminate la cald dublu T poartă în general denumirea de "profile ajurate" sau "profile cu goluri în inimă". Forma golurilor din inimă la profilele ajurate cunoscute până în prezent pe plan mondial este dreptunghiulară, hexagonală sau octogonală în funcție de modal de realizare al acestora. Forma golurilor hexagonală și octogonală este cea mai utilizată datorită eficienței economice sporite.

Pe linia realizării unor forme cât mai raționale a golurilor la profilele ajurate, în vederea obținerii unor elemente cu un consum cât mai redus de oțel se înscrie și realizarea unui nou tip de "profile ajurate cu goluri circulare și ovale în inimă" propus de Acad. Prof. Ing. D. Mateescu și subsecantul și prezentat pentru prima oară cu ocazia Primei Conferințe de Construcții metalice Timișoara octombrie 1973.

Profilele cu goluri în inimă de formă dreptunghiulară, hexagonală, octogonală, circulară sau ovală, obținute din profile laminate dublu T printr-o tăiere specială, poartă de fapt foarte multe denumiri în literatura tehnică de specialitate, din această cauză, de denumiri în teza de doctorat ca și în alte lucrări publicate sau comunicate cu diferite ocazii [4], [4], [5] am folosit denumirea de "profile ajurate" folosită și în lucrările din publicațiile străine.

Astfel în literatura franceză sînt folosite în mod frecvent două denumiri : "poutres ajourées" (grinzi ajurate) [9], [10], [23], [24], precum și cea de "poutres à axe évidés" (grinzi cu inimă cu goluri) [34], [48].

În literatura tehnică engleză este utilizată denumirea : "castellated beams" (grinzi castelate, crenelate, ajurate) [53], [45]. În cea germană denumirea "wabenträger" (grinzi reșetate) [68].

literatura de specialitate din limba rusă denumirea : "ajurnih prokatov" (grinzi ajurate).

De la aceste denumiri s-au încetățenit și în literatura tehnică de specialitate din țara noastră denumirile : "grinzi ajurate" [1],[4], "grinzi din profile metalice cu goluri în inimă" [22],[3], "grinzi expandate", "grinzi evazate" sau "grinzi fagure".

Atât în lucrările publicate anterior [4],[4] cât și în această lucrare sa optat pentru denumirea de "profile ajurate" care definește corect modul lor de obținere prin ajurare (tăiere specială), denumirea de grinzi cu goluri în inimă putând fi atribuită și altor grinzi care au practicate goluri în inimă.

1.3. MODUL DE REALIZARE A PROFILELOR AJURATE

1.3.1. Profile ajurate cu goluri hexagonale și octogonale

Profilele ajurate obișnuite folosite pînă în prezent se obțin din profile laminate dublu T, printr-un procedeu de tăiere și resudare a părților respective între ele.

Cel mai simplu mod de realizare a unor profile eficiente, asemănătoare celor ajurate, care au goluri dreptunghiulare sau pătrate, este acela de a tăia inima profilelor laminate dublu T de-a lungul axei lor și de a intercala apoi între cele două jumătăți din loc în loc, plăcuțe pătrate sau dreptunghiulare de care acestea se sudează, obținînd în acest fel profile cu înălțime mai mare (fig.1.1).

Dacă plăcuțele care se intercalează între cele două jumătăți au o formă trapezoidală, talpa superioară este înclinată față de cea inferioară, iar golurile sînt de formă unor trapeze dreptunghiice și pot fi folosite la realizarea grinzilor de acoperiș asigurînd panta acestuia (fig.1.2).



Profilele ajurate cu goluri hexagonale cunoscute și folosite pe plan mondial se obțin din profile laminate dublu T, printr-o tăiere după o linie sinuoasă (fig.1.3.a) și printr-o resudare a celor două părți despărțite prin tăiere, pe porțiunile orizontale ale liniei sinuoase, după ce în prealabil una din cele două părți se deplasează față de cealaltă cu o jumătate din pasul de tăiere.

Se obțin în acest fel profile cu înălțime mai mare, care au

INSTITUTUL DE
TEHNOLOGIA
BIBLIOTECA CENTRALĂ

goluri hexagonale în inimă (fig.1.3.b) și care poartă denumirea de profile ajurate.

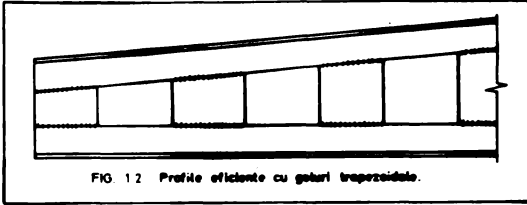


FIG. 1.2 Profile eficiente cu goluri trapezoidale.

Dacă la realizarea profilelor ajurate, înainte de resudarea celor două părți se intercalează între ele plăcuțe intermediare de lățime "o" egală cu lungimea de contact și apoi este executată resudarea lor, se obțin profile ajurate cu goluri octogonale cu înălțimea

mai mare și cu caracteristici geometrice mai ridicate (fig.1.4).

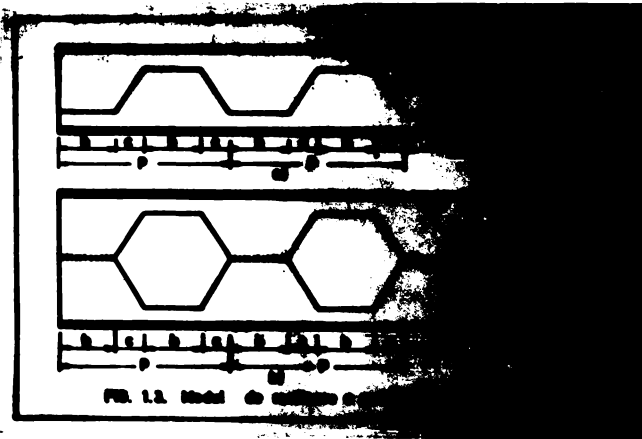


FIG. 1.3 Moduri de realizare a golurilor octogonale.

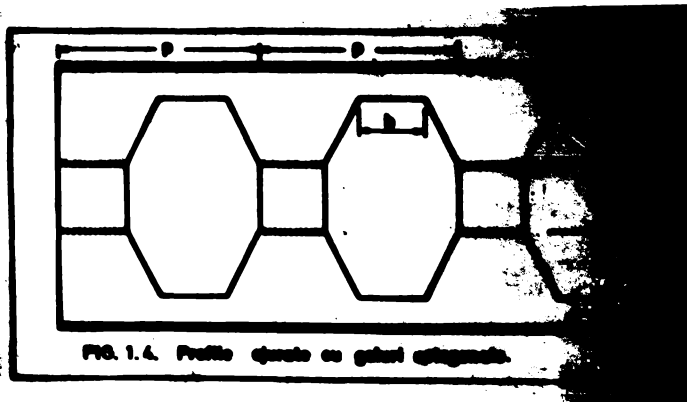


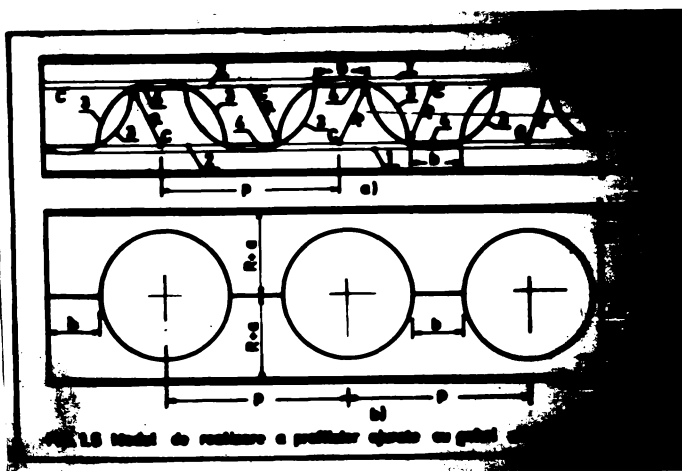
FIG. 1.4 Profile ajurate cu goluri octogonale.

1.3.2. Profilele ajurate cu goluri circulare și ovale

Noul tip de profile ajurate, cu goluri circulare și ovale propus de Acad. Prof. emerit ing. Dan Mateescu și subseanatul, a fost înaintat și ca "TROFULUI DE INVIERE" la O.S.I. București, prin "Dosarul de invenție înregistrat sub numărul 75287 din 15 octombrie 1973" deoarece reprezintă o noutate pe plan mondial și are o serie de avantaje în comparație cu profilele ajurate obișnuite.

Pentru realizarea profilelor ajurate cu goluri circulare, din profile laminare dublu T se procedează în felul următor :

Pe inimile profilelor laminare dublu T se trasează un sistem format din patru linii orizontale paralele cu axa longitudinală a profilului laminat (fig.1.5.a). Linii exterioare "1" definesc înălțimea profilelor T din dreptul golurilor, porțiunile din profilul laminat de deasupra și de dedesubtul acestor linii având totuși înălțimea "a" de acoperire a profilului T. Linii interne "2" servesc pentru fixarea centrilor "C" a semicercurilor care se trasează în vederea obținerii golurilor circulare.



Centrele semicercurilor "C" dispuse alternativ pe cele două linii "2" de sus și de jos sînt distanțate unele de altele, pe aceeași linie "2" la o distanță egală cu pasul "p" al profilelor ajurate.

Distanțele dintre linia superioară "1" și cea inferioară "2" precum și dintre linia inferioară "1" și cea superioară "2" sînt egale cu raza golurilor circulare care se obțin, liniile "1" fiind tangente la semicercuri.

După trasarea liniilor orizontale "1" și "2" se trasează în-

tre acestea semicercurile "3", avind alternativ centrele pe liniile
orizontale "2" de sus și de jos și fiind tangente alternativ la li-
niile "1" de sus și de jos. Intre punctele de început și sfârșit a
două semicercuri consecutive cu centrul pe aceeași linie "2" de sus
sau de jos se formează coardele horizontale "4" care definesc lungi-
mea de contact. Se taie după aceea inima profilului dublu T, după se-
micercurile cu centrele pe liniile horizontale "2" de sus și de jos
și după liniile horizontale "4" dintre punctele finale a două semi-
cercuri cu centrul pe aceeași linie orizontală "2".

După ce se despică profilul laminat dublu T, după liniile 3
și 4 se deplasează partea superioară în raport cu cea inferioară cu
o jumătate de pas "p" astfel încât porțiunile horizontale de lungime
b (coarda "4") să ajungă în contact, după care cele două jumătăți se
sudează pe lungimea de contact cu sudură cap la cap (fig.1.5.b), ob-
ținind profilul ajurat cu goluri circulare.

Deci între cele două părți tăiate așa cum s-a arătat în fig.
1.5 se introduce și în acest caz plăcuțe metalice intermediare și a-
poi se face sudarea celor două părți prin intermediul plăcuțelor
se obțin profile ajurate cu goluri ovale (fig.1.6).

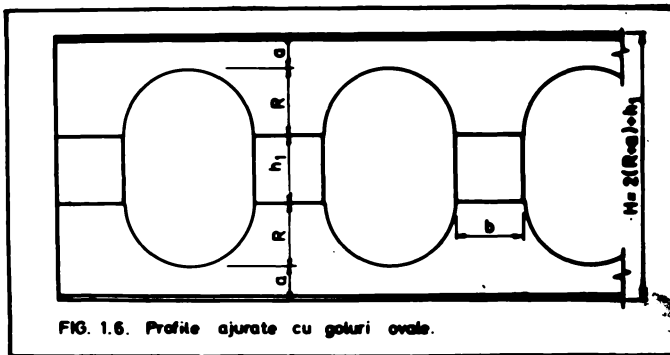


FIG. 1.6. Profile ajurate cu goluri ovale.

Plăcuțele intermediare care se intercalează între cele două
părți au lungimea egală cu lungimea de contact b și înălțimea h_1 .

Profilele ajurate se obțin cu un consum suplimentar relativ
redus de energie însă conduc la o reducere importantă a consumului
de oțel, datorită creșterii însemnate a caracteristicilor geometrice
ale secțiunii transversale.

Tăierea profilului laminat dublu T în vederea obținerii

profilelor ajurate, după liniile indicate poate fi făcută cu ajutorul flăcării oxigaz sau prin stanțare cu ajutorul preselor. Efectul economic al profilelor ajurate este cu atât mai ridicat cu cât procesul de execuție este mai automatizat. Este cunoscut în acest sens procedeul Iitaka de tăiere și sudare automată cu mașini cu program, a profilelor ajurate obișnuite cu goluri hexagonale .

În aceste condiții costul masei de fabricație este foarte redus, datorită productivității ridicate a instalațiilor folosite, motiv pentru care reducerea consumului de oțel are un aport substanțial asupra costului construcțiilor metalice.

Pentru obținerea profilelor metalice ajurate cu goluri circulare și ovale, soluția de stanțare a inimii după liniile trasate, conduce la reducerea consumului de masă și la sporirea eficienței acestor profile.

1.4. DOMENII DE FOLOSIRE A PROFILELOR AJURATE

Profilele metalice ajurate sînt elemente, care asemănător cu profilele laminate dublu T, au o mare rigiditate la încovoiere motiv pentru care se folosesc în general la elemente ale construcțiilor metalice supuse la încovoiere precum și la elemente supuse la solicitări combinate, la care înădă preponderență este solicitarea de încovoiere. Înădă de calitățile pe care le au profilele ajurate, domeniile în care folosirea lor este deosebit de avantajoasă sînt :

- 1. La alcătuirea grinzilor pentru planșeele clădirilor înalte cu multe etaje. În acest caz profilele ajurate pot fi folosite atât la realizarea grinzilor principale, care pot fi eventual și rigle ale cadrelor, cît și la realizarea grinzilor secundare. Folosirea lor la realizarea rețelei de grinzi a planșeeilor (fig.1.7), pe care sînt dispuse elementele prefabricate ale acestora (de obicei metalice) este foarte rațională atât datorită avantajului economic de reducere a consumului de oțel în elementele planșeeului cît și datorită reducerii greutății masei pentru stîlpii de susținere a clădirii.

Realizarea grinzilor de planșeu din profile ajurate, permite și înglobarea tuturor conductelor și instalațiilor aferente în grosimea planșeeului.

- 2. La alcătuirea riglelor drepte, orizontale sau înclinate a cadrelor transversale a halelor industriale sau a altor construcții metalice cu caracter industrial sau social (fig.1.8).

- 3. La executarea cadrelor transversale a halelor industriale

le cu deschideri mici sau a cadrelor transversale folosite la realizarea unor construcții agrozootehnice. Folosirea lor la realizarea unor cadre cu deschideri de 12-15 m și la travei de 3-6 m, în

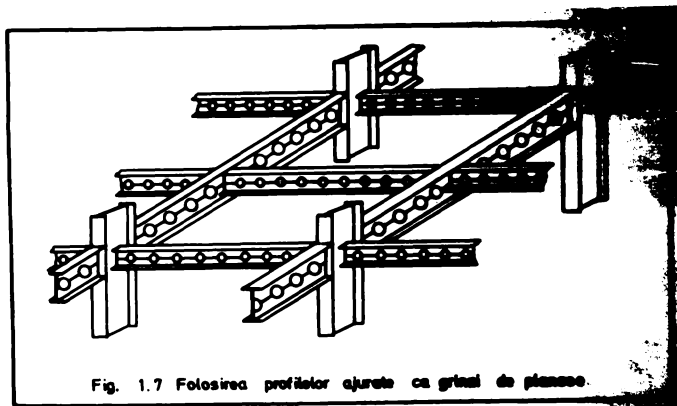


Fig. 1.7 Folosirea profililor ajurate ca grinzi de planșee.

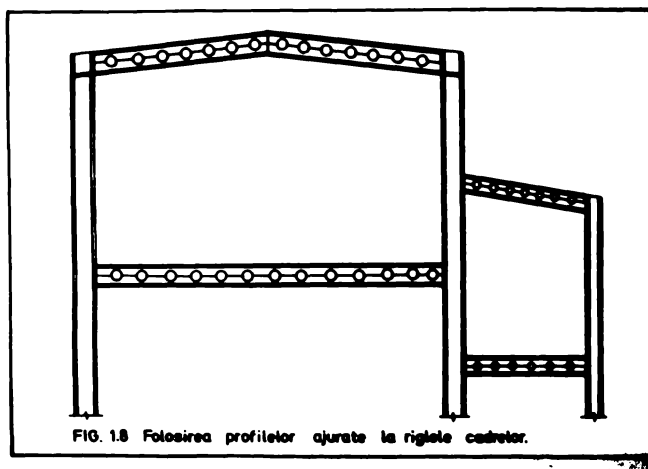


FIG. 1.8 Folosirea profililor ajurate la rigiele cadrelor.

care încărcările permanente nu sînt prea mari, este recomandabilă datorită greutateii lor reduse. În aceste cazuri colțurile cadrelor se realizează pînc, din tablă groasă de carece în aceste colțuri sînt maxime atât momentul încovoietor cât și forțele tăietoare și axiale (fig.1.9).

- 4. Ca rigie curbă sub formă de arc (fig.1.10.a) sau sub formă de sheed (fig.1.10.b) la clădiri industriale în industria ușoară sau la clădiri cu caracter social cultural cu deschideri obișnuite.

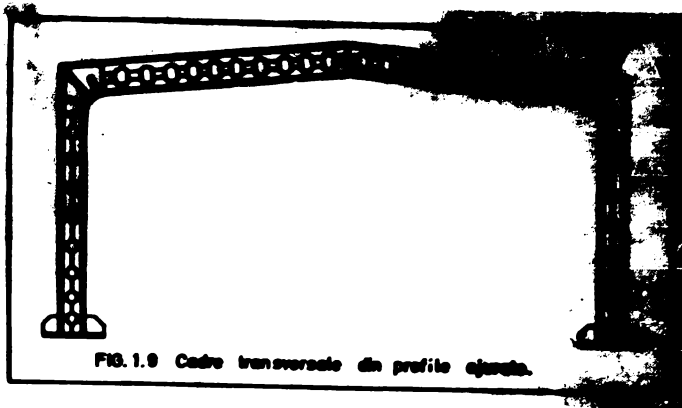


FIG. 1.9 Cadre transversale din profile ajurate.

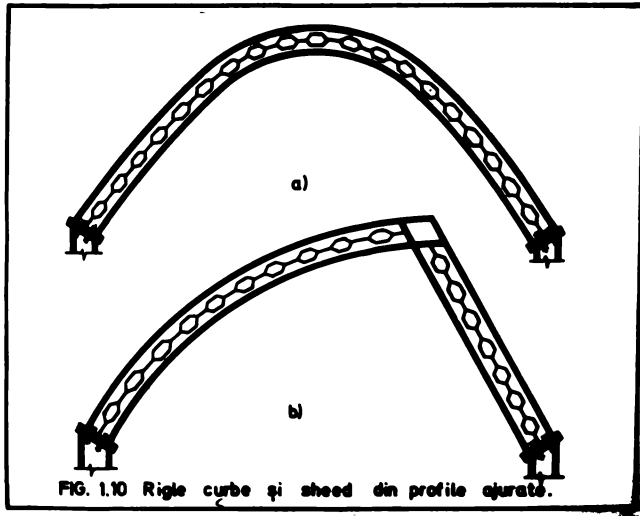


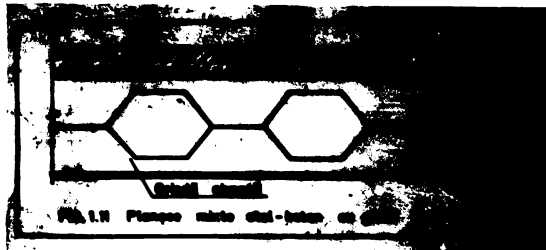
FIG. 1.10 Rige curbe și șheed din profile ajurate.

- 5. La executarea platformelor industriale, a pasarelelor de circulație între două clădiri industriale precum și a pasarelelor de circulație peste alte căi de comunicație (șosele, străzi, cai ferate). Ținând cont că din profilul laminat dublu I cu înălțimea maximă 140 pot fi realizate grinzii ajurate cu înălțimea de 500-700 mm fără plăcuțe intermediare sau de 800-1000 mm când se folosesc și plăcuțe intermediare, înseamnă că aceste profile permit realizarea unor pasarele cu deschidere de 15-20 m la îndoirile de 300-500 kg/m^2 cit se ia în mod obișnuit în calcul. Pasarelele executate în această soluție cu profile ajurate permit în uzine și trecerea unor eventuale instala-

lații dispuse paralel cu calea de comunicație, prin golurile profilurilor.

- 6. La realizarea panelor de acoperiș la hale industriale când se execută fie ca grinzii și plăci reșemate fie ca grinzii continue, caz în care profilele sînt solicitate la încoviere oblică. Întrucît prin ajurare nu cresc decît caracteristicile geometrice ale secțiunii față de axa "x" de inerție maximă, cele față de axa "y" de inerție minimă rămîind aproximativ aceleași, înseamnă că folosirea lor la realizarea panelor de acoperiș solicitate la încoviere oblică este rațională atunci cînd panta acoperișului este mică. Acest lucru este în general realizat cînd învelitoarea se execută din elemente prefabricate de beton armat acoperite cu izolație minerală sau din tablă suptire îndoită la rece, cînd panta este (2-5) %. La pante mai mari sînt necesare susțineri cu tiranți după panta acoperișului.

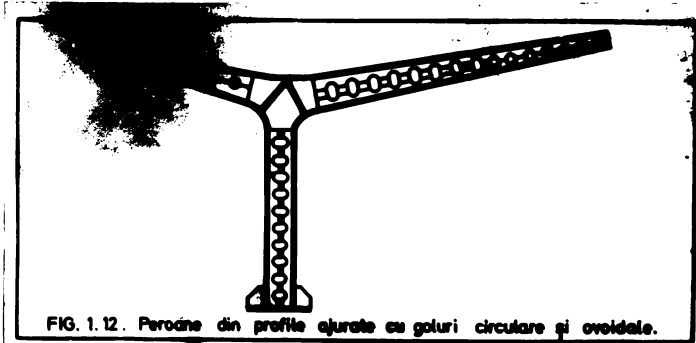
- 7. La executarea grinzilor mixte oțel-beton folosite la alcătuirea planșelor clădirilor civile sau industriale (fig.1.11).



- 8. Profilele ajurate se folosesc și la realizarea unor construcții ușoare de pe drumurile publice ; stații de benzină, puncte alimentare, cabine pentru dirijarea circulației, metale etc., la care pe lângă o greutate redusă asigură și un aspect exterior reușit deosebit de necesar la acest gen de construcții ingineresti.

- 9. La executarea perșanelor acoperite dintre linii în stațiile de cale ferată, sau a perșanelor de așteptare din stațiile de tranvai, sau de autobuze, cărora le asigură o suplețe și un aspect arhitectural reușit (fig.1.12). Pot sub forma unor stâlpi peron, profilele ajurate pot fi folosite și la acoperirea piețelor alimentare, sau la executarea unor parkinguri acoperite pentru autoturisme, motocicletă sau biciclete în stațiunile de pe litoral sau la intrarea în marile uzine. Dacă plăcuțele intermediare ce se intercalează cu o fo-

mă trapezoidală, pernacile se pot realiza cu secțiune variabilă.



- 10. Profilele ajurate pot fi utilizate și la executarea unor grinzi de rulare cu deschideri mici, care au capacitate redusă de ridicare și care lucrează în regim de lucru ușor. Folosirea grinzilor ajurate obișnuite, cu goluri hexagonale și octogonale la alcătuirea grinzilor de rulare este restrinsă, datorită faptului că în colțurile golurilor undă se suprapune efectul momentului încovoietor și al forței tăietoare, sub efectul dinamic al încărcărilor se produc concentrări de eforturi, care pot duce la plasticizarea secțiunii. În schimb grinzile din profile ajurate cu goluri circulare sau ovale se pretează mai bine la alcătuirea grinzilor de rulare datorită faptului că efectul momentului și al forței tăietoare nu este maxim în aceeași secțiune curentă în jurul golului și datorită lipsei colțurilor golurilor nu se mai produc vîrfuri de solicitare.

- 11. Profilele ajurate pot fi folosite și la alcătuirea longeronilor și antretbaselor podurilor metalice, în special cele cu goluri circulare care au o comportare mai bună la efectul dinamic. Folosirea profililor ajurate este limitată însă la poduri de deschideri mici.

- 12. Profilele ajurate în special cele cu goluri circulare și ovale pot fi folosite și la alcătuirea estacadelor metalice din depozitele de materiale, unde funcționează poduri rulante mici.

1.5. AVANTAJELE PROFILURILOR METALICE AJURATE

Avantajele profilelor metalice ajurate pot fi puse în evidență dacă se compară cu alte profile metalice folosite în același scop.

Aceste avantaje pot fi scoase în evidență, în primul rând dacă se compară cu profilele laminate dublu T, din care se obțin profilele ajurate și ele decurg din înălțimea sporită obținută prin ajurare precum și din existența golurilor în inima profilelor ajurate.

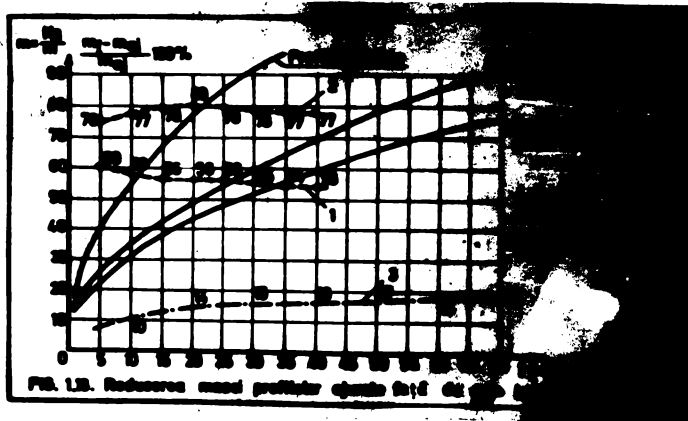
Pe de altă parte pot fi puse în evidență și avantajele pe care le au profilele ajurate cu goluri circulare față de cele cu goluri hexagonale.

1.5.1. Avantajele profilelor ajurate în comparație cu profilele laminate

Principalele avantaje ale profilelor ajurate în general, indiferent de forma golurilor, în comparație cu profilele laminate dublu T din care se execută sînt următoarele :

- 1. Principalul avantaj al profilelor ajurate este acela că la aceleași caracteristici geometrice cu ale profilelor metalice laminate - la același moment de inerție de exemplu - masa profilelor ajurate este mult mai mică decît a profilelor laminate.

Lucrul acesta este ilustrat în diagrama din figura 1.13 în care este trasată variația masei profilelor laminate și ajurate



funcție de momentele de inerție ale acestora. Pentru profilele ajurate au fost luate în considerare momentele de inerție medii între

cele din dreptul golurilor și cele din dreptul plinurilor. În diagramă este reprezentată și scăderea procentuală a masei pe metru liniar la profilele ajurate față de cele laminate, la același moment de inerție. Această reducere este de (53-60)% la profilele ajurate cu goluri hexagonale (curba punctată 1) și de (76-80)% la cele cu goluri circulare (curba punctată 2). De asemenea la profilele ajurate cu goluri circulare se obține o reducere de (13-18)% a masei în comparație cu profilele cu goluri hexagonale (curba linie punct 3).

- 2. Datorită reducerii masei profilelor ajurate în comparație cu cea a profilelor laminate dublu T folosirea profilelor ajurate duce și la o reducere importantă a costului construcțiilor metalice. Reducerea costului construcțiilor metalice din profile ajurate față de cele din profile laminate, este mai mică decât reducerea masei profilelor, deoarece o parte din această reducere trebuie să acopere manopera de fabricare a profilelor ajurate. Această reducere a costului construcțiilor metalice din profile ajurate este cu atât mai mare cu cât este mai automatizat procesul de fabricare al acestora. În general reducerea costului construcțiilor metalice prin folosirea profilelor ajurate în locul celor laminate este de aproximativ (20-40)%.

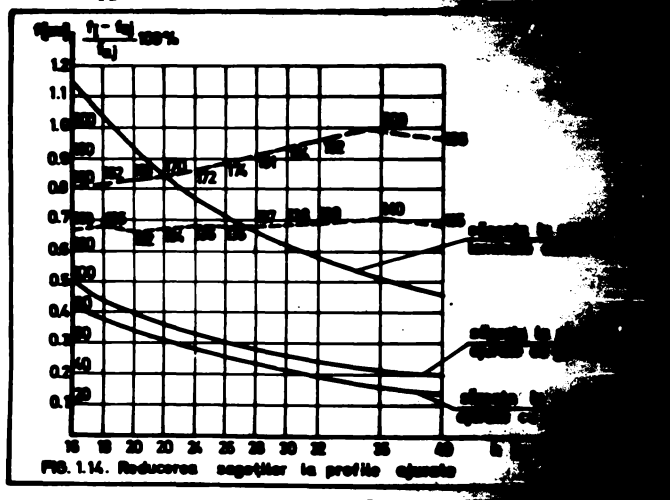
- 3. Ca urmare a reducerii masei profilelor ajurate în comparație cu profilele dublu T, înseamnă că se reduce și încărcarea din masa proprie a elementelor realizate din profile ajurate, ceea ce duce la reducerea solicitărilor - momente și forțe axiale - în elementele de susținere (stâlpi) și deci și la reducerea masei acestora.

Tot datorită aceluiași motiv se reduc și încărcările pe fundații și în consecință dimensiunile acestora. Reducerea masei elementelor realizate din astfel de profile ajurate, influențează favorabil și asupra cheltuielilor de transport și manipulare a construcției metalice în uzină și pe șantier precum și între cele două unități, cheltuieli care se reduc simțitor.

- 4. Profilele ajurate permit realizarea unei mari posibilități de adaptare a înălțimii grinzilor la necesitățile construcției, prin faptul că forma și dimensiunile golurilor pot fi foarte variate.

- 5. Datorită faptului că înălțimea profilelor ajurate este mai mare decât cea a profilelor laminate și în consecință și momentele de inerție sînt mult mai mari, înseamnă că rigiditatea lor este mai mare, motiv pentru care săgețile sînt mai reduse la elemen-

tele de profile ajurate. In figura 1.14 sint reprezentate in funcție de înălțimea profilului laminat din care sint obținute profilele ajurate, săgețile unor grinzi de aceeași deschidere, solicitate la încălzirile admisibile determinate din condiția de rezistență, pentru oțeluri obișnuite OI. 37 cu rezistența admisibilă $\sigma_a = 1500 \text{ daN/cm}^2$, precum și reducerea procentuală a săgeților, la aceeași masă.



Se observă că reducerea săgeților este de pînă la 140 % la profilele cu goluri hexagonale și de pînă la 200 % la cele cu goluri circulare ceea ce scoate în evidență avantajul profilelor ajurate față de cele laminat la aceeași masă a profilelor.

- 6. Grinzile realizate din profile ajurate, datorită golurilor din inimă, permit trecerea prin aceste goluri a conductelor pentru instalații de orice fel. Aceasta asigură posibilitatea înglobării conductelor și instalațiilor în înălțimea profilului mărind spațiul util și asigurînd un aspect reușit al încăperilor. Lucrul acesta este folosit la planșeele clădirilor înalte, la hale industriale sau agro-zootehnice.

- 7. La aceeași solicitări elementele din profile ajurate sînt mai zvelte decît cele din profile laminat dublu T, datorită caracteristicilor geometrice mai ridicate, ceea ce face ca elementele din profile ajurate să fie mult mai suple și deci mai reușite.

- 8. Datorită golurilor orizontale din inimă prin ajurarea profilelor ajurate au și un aspect arhitectural deosebit de reușit, cu efect favorabil la construcțiile aparente : pasarele, platforme in-

industriale, cadrele halelor industriale și agrozootehnice precum și a construcțiilor de pe drumurile publice.

1.5.2. Avantajele profilelor ajurate cu goluri circulare și ovale în comparație cu profilele ajurate cu goluri hexagonale și octogonale

Noul tip de profile ajurate propus ca invenție, avînd golurile circulare sau ovale, prezintă ca urmare a formei mai raționale a golurilor o serie de avantaje în comparație cu cele cu goluri hexagonale sau octogonale.

Dintre aceste avantaje cele mai importante sînt următoarele :

- 1. La noul tip de profile ajurate cu goluri circulare și ovale, influența forței tăietoare asupra eforturilor unitare normale ce iau naștere în secțiunile din dreptul golurilor, este mult mai mică decît la profilele ajurate obișnuite. Acest lucru se datorește faptului, că pe măsură ce crește momentul local produs de forța tăietoare din axul golurilor, în raport cu o secțiune curentă a profilului T de deasupra sau de deasubul golurilor, crește și secțiunea acestor profile prin creșterea înălțimii profilului T și odată cu aceasta și modulul de rezistență.

Creșterea înălțimii profilelor T, la profilele ajurate cu goluri circulare " a_0 ", față de cea a profilelor ajurate cu goluri hexagonale " a_1 " este scoasă în evidență în fig. 1.15 unde sînt supre-

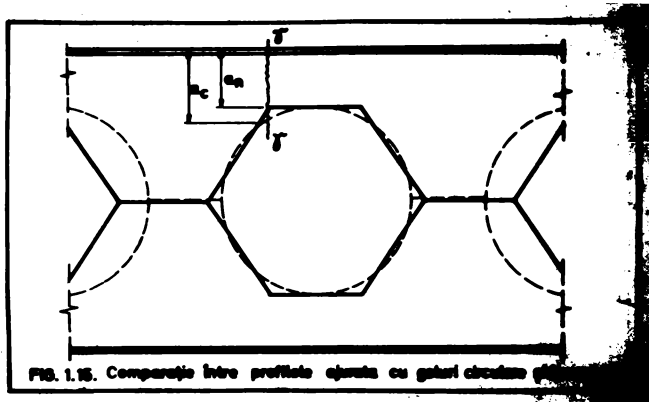


FIG. 1.15. Comparație între profilele ajurate cu goluri circulare și hexagonale.

pusse golurile la două profile cu același înălțime realizată în cele două soluții.

- 2. Datorită formei circulare a golurilor în locul celei hexagonale, noul tip de profile ajurate cu goluri circulare sau ovale, are o comportare mai bună la solicitări dinamice, datorită faptului că nu mai există colțurile golurilor cum este la profilele cu goluri hexagonale, lipsesc punctele slabe în care se produc vîrfuri de solicitare care pot duce la depășirea limitei de curgere. Datorită acestui fapt profilele ajurate cu goluri circulare sau ovale, pot fi folosite și la alcătuirea grinzilor de rulare a estacadelor metalice sau a hulelor industriale, cu condiția unei dimensiuni corespunzătoare.

- 3. Tot ca urmare a faptului că forma circulară a golurilor este mai rațională, prin faptul că reduce efectul forței tăietoare așa cum s-a arătat mai sus, înseamnă că profilele ajurate cu goluri circulare sau ovale se pretează mai bine la alcătuirea elementelor la care solicitările - momentul și forța tăietoare - sînt maxime în aceeași secțiune. Așa este cazul la grinzile încărcate cu forțe concentrate, pe reazimele grinzilor continue sau la colțurile cadrelor, care prezintă secțiuni în care cele două solicitări sînt maxime în aceeași secțiune.

Se poate spune deci că profilele ajurate cu goluri circulare și ovale se pot folosi cu mai multă eficiență la alcătuirea elementelor static nedeterminate - grinzii continue, cadre - datorită comportării mai raționale la forța tăietoare.

- 4. Profilele ajurate cu goluri circulare sau ovale, avînd o comportare mai bună la forța tăietoare, decît profilele ajurate obișnuite, datorită creșterii continue a modulului de rezistență a profilelor T din dreptul golurilor, înseamnă că înălțimea acestor profile T, în dreptul axului vertical al golurilor se poate lua mai mică decît la profilele ajurate cu goluri hexagonale. Acest lucru face ca înălțimea totală a profilelor ajurate cu goluri circulare și ovale este mai mare ca cea a profilelor ajurate obișnuite, ceea ce face ca noul tip de profile ajurate să aibă o rigiditate mai mare decît cele obișnuite, ceea ce înseamnă că săgețile acestora sînt mai reduse. Săgeata mai redusă se datorește și faptului că săgeata produsă de forța tăietoare este mai mică datorită creșterii rigidității timpilor în jurul golurilor.

- 5. În cazul utilizării profilelor ajurate cu goluri circulare sau ovale la elemente static nedeterminate, cum sînt grinzile continue sau cadrele static nedeterminate, la care din cauza faptului că cele două solicitări momentul și forța tăietoare, sînt maxime

În aceeași secțiune, este necesar să se facă întărirea golurilor învecinate reazimelor grinzilor continue sau colțurilor de cadru, această întărire se poate face mult mai simplu, folosind pentru întărire cupesne de țevă cu diametru ceva mai mic decât al golurilor circulare, care se sudează pe contur.

De asemenea dacă întărirea se face prin umplerea golurilor atunci tăierea și sudarea peticilor de formă circulară sau ovală este mult mai simplă decât la cele hexagonale.

- 5. În cazul când prin grinzile ajurate trec conducte care se înglobează în înălțimea acestora, câștigând spațiul util, așezarea acestor conducte este mai bună pe conturul golurilor ne fiind necesare măsuri de fixare.

- 7. Elementele realizate din profile ajurate cu goluri circulare și ovale prezintă în comparație cu profilele ajurate cu goluri hexagonale și octogonale și avantajul unui aspect arhitectonic mai reușit, tocmai datorită formei golurilor.

Acest lucru este favorabil mai ales la elementele construcțiilor metalice din profile ajurate care rămân aparente cum este cazul paserelilor metalice aeriene care traversează alte căi de comunicație, a platformelor din clădirile industriale, a platformelor de circulație dintre clădirile industriale, a cadrelor transversale la clădiri industriale sau agrozootehnice a grinzilor de rulare sau la elemente de tip peron de la persoane de cale ferată, stații de tramvaie, piețe alimentare sau parkinguri de autoturisme, motocicletă sau biciclete.

1.6. DEZAVANTAJELE PROFILOR AJURATE

Profilele ajurate au și unele dezavantaje în comparație cu profilele laminare iar profilele ajurate cu goluri circulare și ovale au unele dezavantaje în comparație cu cele cu goluri hexagonale.

1.6.1. Dezavantajele profilelor ajurate față de cele laminare

Dintre dezavantajele profilelor ajurate în general, în comparație cu cele ale profilelor laminate dublu T sînt de enumerat :

1. Profilele ajurate necesită un anumit consum de muncă pentru fabricare, care este cu atât mai redus cu cît procesul de producție este mai automatizat. El este însă compensat de avantajele arătate.

2. Grinzile realizate din profile ajurate au rezistență mai redusă la sarcini dinamice, în special la cele cu goluri hexagonale,

cea ce face ca folosirea lor la elemente supuse la astfel de sollicitări să fie mai restrânsă.

3. Rigiditatea profilelor ajurate față de axa verticală "y", rămâne aceeași ca a profilelor laminate din care se obțin, ea ne creșcind prin ajurare, motiv pentru care datorită încălzirilor mai mari pe care le prezintă profilele ajurate, pericolul pierderii stabilității generale a profilelor ajurate este mai accentuat ca la cele laminate.

4. Tot datorită faptului că rigiditatea față de axa "y" rămâne aceeași, profilele ajurate sollicitate la încovoiere curbă sînt recomandabile numai la unghiuri mici 2° - 5° de înclinare, altfel avantajele obținute prin ajurare se pierd.

1.6.2. Dezavantajele profilelor ajurate cu goluri circulare în comparație cu profilele ajurate cu goluri hexagonale

Dintre dezavantajele profilelor ajurate cu goluri circulare sau ovale față de cele cu goluri obișnuite pot fi enumerate :

- 1. Consumul de manoperă pentru executarea profilelor ajurate cu goluri circulare este ceva mai ridicat ca la cele obișnuite, prin faptul că sînt mai multe linii de tăiere. Acest dezavantaj poate fi atenuat dacă se execută operația de tăiere prin ștanțare și se face automatizarea acestei operații.

- 2. Prin modul de tăiere a profilelor laminate în vederea obținerii profilelor ajurate cu goluri circulare se pierde din înălțimea profilului o fișie de înălțime "n" (fig.1.5) pentru a obține porțiunile drepte de lungime "b" de contact între cele două părți. Înălțimea "n" este mică (4-8) mm și este compensată de faptul că înălțimea "a" a profilelor T din axul golurilor se poate lua mai mică, înălțimea totală rezultînd mai mare.

1.7. ECONOMICITATEA PROFILELOR AJURATE

Problema care se pune în cazul profilelor ajurate, este de a stabili economicitatea acestor profile în raport cu profilele laminate din alu. T.

Unul din factorii care exprimă economicitatea profilelor ajurate este dat de raportul dintre modulul de rezistență și masa lor pe ml .

În diagrama din figura 1.16 este reprezentată variația raportului dintre modulul de rezistență și masa pe ml W_x/g ($cm^3/kg/ml$), în funcție de modulul de rezistență. Această variație este

reprezentată pentru profilele laminare duble T, pentru profilele ajurate cu goluri hexagonale și octogonale precum și pentru cele cu goluri circulare și ovale.

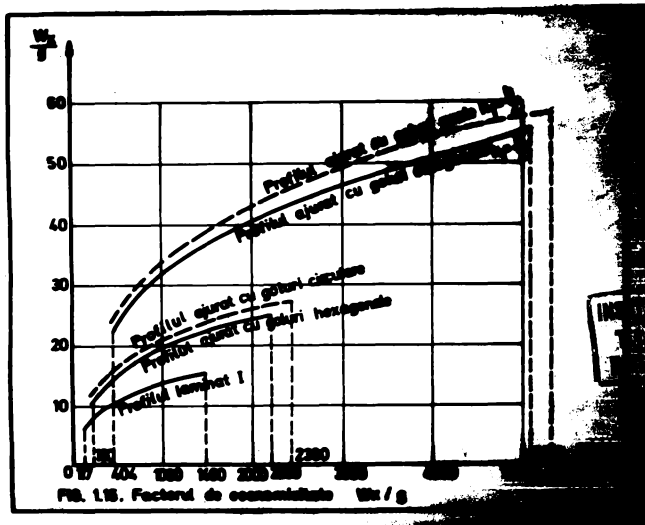


Diagrama din Fig. 1.16 arată că factorul de economie crește mult la profilele ajurate față de cele laminare, creșterea fiind de (31-37)% pentru profilele cu goluri hexagonale, de (34-40)% la cele cu goluri circulare, ambele fiind la răscrucea intermediară. La cele cu plăcuțe intermediare creșterea este de (100-120)% la profilele cu goluri octogonale și de (110-130)% la profilele ajurate cu goluri ovale.

Diagrama din această figură dă și indicații asupra creșterii modului de rezistență a profilelor ajurate față de cel al profilelor laminare duble T creștere care este de aproximativ 55 % la profilele ajurate cu goluri hexagonale, 62 % la cele cu goluri circulare, de 250 % la cele cu goluri octogonale și de 260 % la cele cu goluri ovale.

Un alt factor deosebit de important, care definește economicitatea profilelor ajurate este consumul de oțel la o anumită încărcare și deschidere în cazul când se folosesc profilele laminare sau profilele ajurate de diferite forme.

În diagrama din figura 1.17 este reprezentată variația acestui consum de oțel prin masele profilului rezultat. Pentru a putea reprezenta această variație a maselor, au fost considerate grinzi cu deschideri diferite, pentru care au fost calculate momen-

tele capabile pentru diferite înălțimi ale grinzilor ajurate cu plăcuțe intermediare de formă octogonală și apoi la același moment au fost dimensionate grinzile din celelalte feluri de profile ajurate și laminare, punând în grafic variația maselor funcție de înălțimea H a profilului ajurat cu goluri octogonale la care a fost determinat momentul capabil.

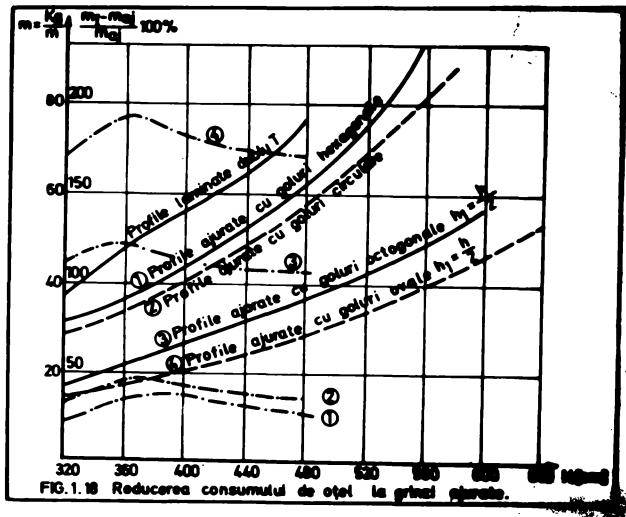


FIG. 1.18 Reducerea consumului de oțel la grinzi ajurate.

Din diagramă rezultă că reducerea consumului de oțel prin folosirea profilului ajurat în locul celui laminat dublu T este de (23-34)%, la profilele ajurate cu goluri hexagonale, de (31-44)%, la cele cu goluri circulare, anume iară plăcuțe intermediare, de (105-119)%, la cele cu goluri octogonale și de (170-192)%, la cele cu goluri ovale, anume având plăcuțe intermediare cu $h_1 = 0/2$, ceea ce scoate în evidență economicitatea profilurilor ajurate.

CAPITOLUL 2

CARACTERISTICI GEOMETRICE ALE PROFILOR AJURATE

Caracteristicile geometrice intervin la dimensionarea elementelor construcțiilor metalice și la verificarea rezistenței, stabilității și deformațiilor acestora.

În cazul profilelor ajurate intervin de asemenea o serie de caracteristici geometrice care definesc pe de o parte forma, geometria și dimensiunile golurilor și plinurilor și pe de altă parte caracteristicile geometrice ale secțiunii.

2.1. PROFIL AJURAT CU GOLURI HEXAGONALE ȘI OCTOGONALE

2.1.1. Definiția caracteristicilor geometrice

Caracteristicile geometrice care definesc profilele ajurate pot fi grupate în două categorii :

- caracteristicii geometrice dimensionale
- caracteristicii geometrice ale secțiunii transversale

Problemele care se pun în general în cazul profilelor ajurate, cînt legate de alegerea formei, geometriei și dimensiunilor golurilor care conduc la cea mai rațională secțiune, asigurînd consumul de oțel cel mai redus.

În literatura tehnică de specialitate [68], [70] sînt date unele recomandări privind alegerea acestor dimensiuni. Recomandările date sînt însă diferite în cele două lucrări și ele dau aceleași valori indiferent de natura încărcărilor și de sistemul static al elementelor de construcție.

În cele ce urmează sînt date unele recomandări privind alegerea cît mai rațională a acestor dimensiuni așa cum au fost date și în "Instrucțiunile tehnice pentru proiectarea elementelor construcțiilor metalice alcătuite din profile cu goluri în inimă" întocmite în cadrul catedrei.

2.1.2. Caracteristici geometrice dimensionale ale profilelor ajurate cu goluri hexagonale și octogonale. Stabiirea formei și dimensiunilor

Aceste caracteristici geometrice dimensionale se aleg în funcție de înălțimea "h" a profilelor laminat dublu T din care se obțin profilele ajurate. Pentru aceste profile cele mai importante caracteristici geometrice dimensionale sînt următoarele (fig.2.1):

- 1. Înălțimea "a" a profilelor T de deasupra și de dedesubtul golurilor este dată în revista *merkblatt* [68] cu valoarea $a = h/3$

iar în Stahloau [70] cu valoarea $a = h/4$, indiferent de natura încărcărilor și de sistemul static.

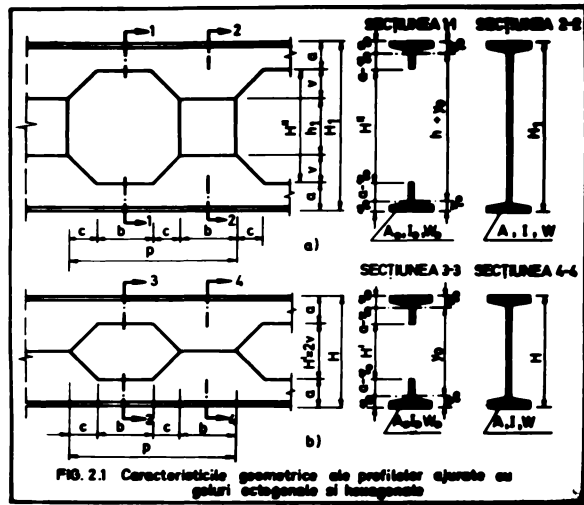


FIG. 2.1 Caracteristicile geometrice ale profilurilor ajurate cu găuri octogonale și dreptunghiulare

În realitate la alegerea acestei dimensiuni trebuie ținut seama de încărcările grinzilor și de sistemul lor static, deoarece la grinzile la care preponderentă este influența momentului încovoietor, cea a forței tăietoare fiind foarte mică, este recomandabilă folosirea unor profile ajurate cu înălțimea totală "H" și "H₁" cât mai mare, ceea ce înseamnă o înălțime mică "a" a profilelor T ce mărginesc golul.

Acest caz este întâlnit la grinzi simplu rezemate încărcate cu încărcări uniforme distribuite la care în regiunea cu M_{max} $T = 0$.

În schimb în cazul grinzilor la care influența forței tăietoare este mare, comparabilă cu cea a momentului încovoietor, cum este cazul grinzilor simplu rezemate cu forțe concentrate, sau a grinzilor continue și a cadrelor la care forța tăietoare și momentul sînt maxime în aceeași secțiune, este recomandabilă alegerea unei înălțimi "a" a profilelor T de deasupra și dedesubtul golurilor mai mare pentru a putea prelua momentul local produs de forța tăietoare.

În vederea stabilirii formei celei mai raționale a gelurilor și deci a înălțimii "a" a profilelor T, poate fi arătat cum variază efortul unitar normal σ rezultat din însumarea efortului provenit din momentul încovoietor și din forța tăietoare, pentru două grinzi simplu rezemate de aceeași deschidere provenite din aceeași profile laminat dublu T luînd pentru "a" valorile :

(2.1) $a = \frac{2h}{5}$; $a = \frac{h}{3}$; $a = \frac{h}{4}$

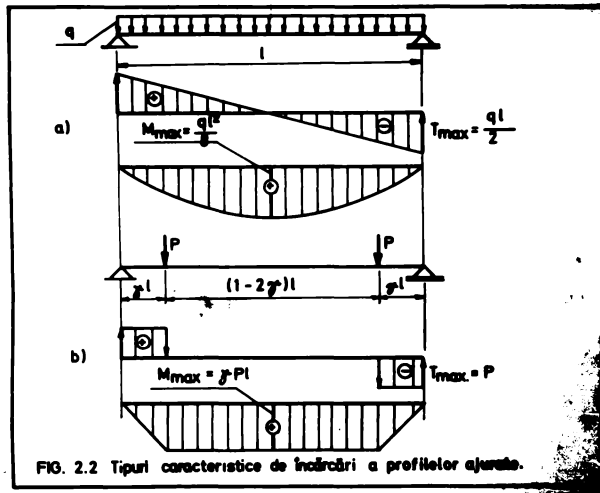
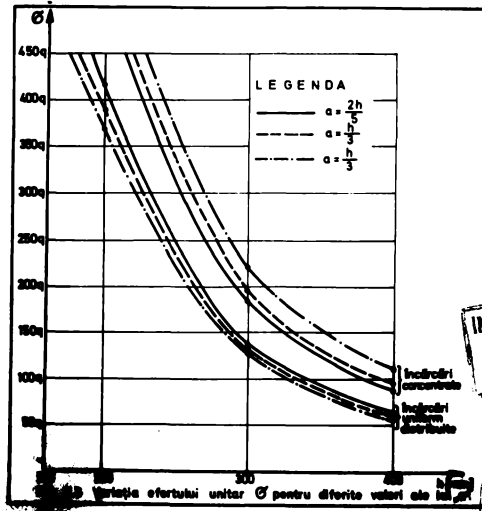


FIG. 2.2 Tipuri caracteristice de încărcări a profiurilor ajurate.

Cele două grinzi sînt încărcate în primul caz cu încărcări uniforme distribuite (fig.2.2.a) și în al doilea cu două forțe concentrate egale așezate la aceeași distanță γl de reacție (fig.2.2b). Pentru comparație încărcările celor două grinzi se consideră în așa fel alese ca să dea naștere la momente încovoietoare egale.



Variația efortului unitar normal σ însumat, din moment și forța tăietoare este dată în diagrama din figura 2.3, pentru cele trei valori ale dimensiunii "a" din relația 2.1, pentru lungimea de contact $b = h/2$.

Diagrama este trasată în funcție de înălțimea "h" a profilului laminat din care se obțin profilele ajurate. Din diagramă se observă că la grinzi ajurate cu încărcări uniforme distribuite efortul σ este cu atât mai mic cu cât înălțimea "a" este mai mică, deci cu cât înălțimea totală a grinzii este mai mare, pe când la grinzi ajurate cu încărcări concentrate efortul σ este cu atât mai mic cu cât înălțimea "a" a profilului T este mai mare. Aceasta explică faptul că la grinzi cu încărcări uniforme distribuite sau alte încărcări, la care momentul și forța tăietoare nu sunt maxime în aceeași secțiune, influența forței tăietoare este neglijabilă și în acest caz pentru prelucrarea momentului este recomandabilă o grindă ajurată cu înălțime totală "H" mare și deci cu "a" mică, pe când la grinzi cu încărcări la care momentul și forța tăietoare sunt maxime în aceeași secțiune, este necesară o înălțime "a" mai mare pentru ca profilul T să poată prelua și efortul dat de momentul local din forța tăietoare.

În aceste condiții propun ca înălțimea "a" a profilului T să se ia diferențiat cu valorile următoare care duc la soluția cea mai economică :

- a). pentru grinzi la care momentul și forța tăietoare nu sunt maxime în aceeași secțiune, "a" se va alege cu valorile :

$$(2.2) \quad a = \frac{h}{4} + \frac{h}{3}$$

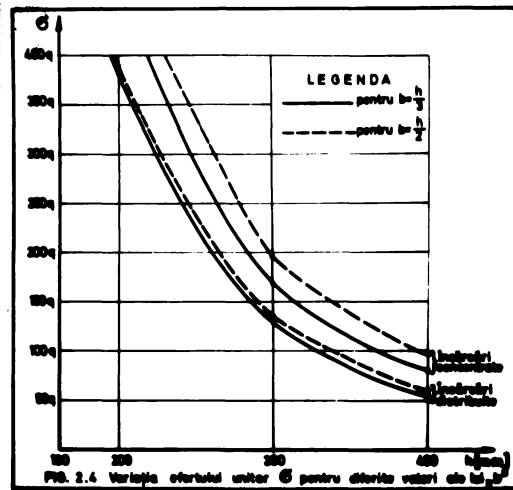
- b). pentru grinzi la care momentul și forța tăietoare sunt maxime în aceeași secțiune pentru "a" se vor lua valorile :

$$(2.3) \quad a = \frac{h}{3} + \frac{2h}{3}$$

- 2. Lungimea de contact "b" dintre cele două părți ale secțiunii pline, egală cu lungimea porțiunii de secțiune constantă a profilului T se alege tot în funcție de înălțimea "h" a profilului laminat. Și pentru această lungime "b" sînt date recomandări. Astfel Stehlabau [70] recomandă lungimea $b = h/2$, iar revista *werktblatt* [68] precum și alți autori ca Bazile, Texier [10], Colson [24] recomandă ca lungimea "b" să se ia $b = p/3$ "p" fiind lungimea pasului, indiferent de natura încărcărilor. Cele două valori sînt apropiate ca sărimă deoarece valoarea medie a pasului este $p = 1,5 h$.

Studiind variația eforturilor unitare normale σ , funcție de lungimea "b" pentru diferite înălțimi "h" a profilului laminat și încărcările din fig. 2.2, rezultă fig. 2.4, trasată pentru două valori ale lungimii "b" :

$$(2.4) \quad b = \frac{h}{2} ; \quad b = \frac{h}{3}$$



Analizând variația efortului unitar însumat σ în funcție de lungimea "b" se observă că în cazul încărcărilor distribuite influența diferitelor valori ale lui "b" este neînsemnată, lucru justificat de faptul că influența forței tăietoare asupra efortului la calculul căruia intervine "b" este în acest caz foarte mică, pe când la încărcările concentrate sau la sistemele statice la care momentul și forța tăietoare sînt maxime în aceeași secțiune și la care influența forței tăietoare este comparabilă cu cea a momentului, influența lunginii "b" este însemnată conducînd la diferențe de 15-20 %.

În această situație propun să se ia următoarele lungimi "b"

- a) pentru grinzi cu încărcări distribuite sau de altfel la care momentul și forța tăietoare sînt maxime în secțiuni diferite "b" se va lua :

$$(2.5) \quad b = \frac{h}{3} + \frac{h}{2}$$

- b) pentru grinzi la care cele două solicitări : momentul și forța tăietoare sînt maxime în aceeași secțiune "b" se va lua:

$$(2.6) \quad b = \frac{h}{3,5} - \frac{h}{2,5}$$

- 3. Pașii profilelor ajurate "b" egal cu distanța dintre axele verticale a două goluri sau plinuri consecutive, este dat în literatura tehnică cu valorile : $p = 1,5 h$ în Stahler[70], $p = (1,4 - 1,8)h$ în Konkolatt[68]. Pentru ca bazile și boxier să luat chiar și valori $p = (2 - 2,2)h$ [40]. Cînd sînt de precizările

făcute la stabilirea înălțimii "a" și a lungimii "b" propun să se ia pentru pasul profilelor ajurate cu goluri octogonale și hexagonale următoarele măriri :

- a) pentru grinzi cu încărcări uniforme distribuite, la care influența pasului asupra efortului însumat $\bar{\sigma}$ este redusă, și pentru cele la care forța tăietoare este redusă pe toată lungimea grinzii, pasul se poate lua cu valori mari :

$$(2.7) \quad p = (1,4 - 2,0)h$$

- b) pentru grinzi cu încărcări concentrate, sau la care momentul încovoiător și forța tăietoare sînt maxime în aceeași secțiune, precum și la cele la care forțele tăietoare sînt foarte mari în anumite secțiuni se recomandă ca pasul să fie luat cu valori mai mici :

$$(2.8) \quad p = (1,2 - 1,6)h$$

- 4. Înălțimea plăcotelor intermediare "h₁", folosite la realizarea profilelor ajurate cu goluri octogonale, nu poate fi luată oricît de mare, deși la calculul de rezistență cu creșterea ei scade efortul unitar normal $\bar{\sigma}$, deoarece la valori mari se înrăutățește stabilitatea montanților și se ia :

$$(2.9) \quad h_1 = \frac{h}{3} + \frac{h}{2}$$

- 5. Înălțimea totală "H₁" și "H" a profilelor ajurate cu goluri octogonale și hexagonale, rezultă conform fig.2.1 cu valorile :

$$(2.10) \quad H_1 = 2(h - a) + h_1$$

$$(2.10.a) \quad H = 2(h - a)$$

Celelalte dimensiuni c, v, h' și H" rezultă din figura 2.1. În afara acestor caracteristici geometrice dimensionale care se aleg, există altele care se calculează în funcție de dimensiunile impuse așa cum a fost arătat. Acestea sînt (fig.2.1) următoarele :

- 6. Distanța "η₀" de la fibrele exterioare a tălpilor profilului ajurat pînă la centrul de greutate al profilelor T cu mîrginose golurile, care este calculată în funcție de dimensiunile profilului T și este dată în anexa 1.

- 7. Distanțele "h₁ + y₀" și "y₀" dintre centrele de greutate ale profililor T, la grinzi ajurate cu goluri octogonale și hexagonale cu valorile :

$$(2.11) \quad "h_1 + y_0" = h_1 + 2(h - a - \eta_0)$$

$$(2.11.a) \quad y_0 = 2(h - a - \eta_0)$$

2.1.3. Caracteristici geometrice ale secțiunii transversale a profilelor ajurate cu goluri hexagonale și octogonale

Caracteristicile geometrice ale secțiunii transversale a profilelor ajurate pot fi calculate atât în dreptul axului golurilor cât și în dreptul axului plinurilor.

Caracteristicile geometrice ale secțiunii transversale (secțiunii, momente de inerție, module de rezistență) sunt calculate atât pentru profilele T ce mărginesc golurile, notate cu indicele 0 (zero) cât și pentru profilele întregi din axul golurilor notate cu 1 (unu) și din axul plinurilor notate fără indici. Cele mai importante caracteristici sunt următoarele :

- 1. Aria "A₀" a secțiunii profilelor T, din axul golurilor, calculată funcție de dimensiunile impuse (înălțimea "a") dată în anexa 1.

- 2. Momentul de inerție "I₀" al profilelor T din axul golurilor care se calculează funcție de dimensiunile impuse, dat în anexa 1.

- 3. Modulele de rezistență "W₀₁" și "W_{0e}" ale profilelor T în raport cu fibrele din spre interiorul golurilor "i" și din spre exterior "e".

$$(2.12) \quad W_{0i} = \frac{I_0}{a - \eta_0} \quad W_{0e} = \frac{I_0}{\eta_0}$$

- 4. Aria "A₁" a secțiunii profilelor ajurate întregi în axul golurilor :

$$(2.13) \quad A_1 = 2 A_0$$

- 5. Momentul de inerție "I₁" al profilelor ajurate întregi din axa golurilor care se calculează cu relațiile :

$$(2.14) \quad I_1 = 2 \left[I_0 + A_0 \left(\frac{h_1 + y_0}{2} \right)^2 \right] \quad \text{profile cu goluri octogonale}$$

$$(2.14a) \quad I_1 = 2 \left[I_0 + A_0 \left(\frac{y_0}{2} \right)^2 \right] \quad \text{profile cu goluri hexagonale}$$

- 6. Modulele de rezistență "W₁" al profilelor întregi în axul golurilor

$$(2.15) \quad W_1 = \frac{2I_1}{H_1} = \frac{4}{2(h-a) + h_1} \left[I_0 + A_0 \left(\frac{h_1 + y_0}{2} \right)^2 \right] \quad \text{goluri octogonale}$$

$$(2.15a) \quad W_1 = \frac{2I_1}{H} = \frac{4}{2(h-a)} \left[I_0 + A_0 \left(\frac{y_0}{2} \right)^2 \right] \quad \text{goluri hexagonale}$$

- 7. Aria "A" a secțiunii profilului dublu T întreg în dreptul plinurilor :

$$(2.16) \quad A = 2A_0 + a[h + 2(h-2a)] \quad \text{la goluri octogonale}$$

$$(2.16a) \quad A = 2A_0 + 2a(h-2a) \quad \text{la goluri hexagonale}$$

- 8. Momentul de inerție "I" al profilului întreg în dreptul picurilor :

$$(217) I = 2 \left[l_0 + A_0 \left(\frac{h_1 + y_0}{2} \right)^2 \right] + \frac{d[h_1 + 2(h - 2a)]^3}{12} \quad \text{la goluri octogonale}$$

$$(217a) I = 2 \left[l_0 + A_0 \left(\frac{y_0}{2} \right)^2 \right] + \frac{2d(h - 2a)^3}{3} \quad \text{la goluri hexagonale}$$

- 9. Modulul de rezistență "W" al profilului întreg în dreptul picurilor :

$$(218) W = \frac{2}{h + 2(h - a)} \left\{ 2 \left[l_0 + A_0 \left(\frac{h_1 + y_0}{2} \right)^2 \right] + \frac{d[h_1 + 2(h - 2a)]^3}{12} \right\} \quad \text{la goluri octogonale}$$

$$(218a) W = \frac{2}{h - a} \left\{ \left[l_0 + A_0 \left(\frac{y_0}{2} \right)^2 \right] + \frac{d(h - 2a)^3}{3} \right\} \quad \text{la goluri hexagonale}$$

Toate caracteristicile geometrice ale secțiunii transversale ale profilelor întregi sînt date în anexa 2.

2.2. PROFIL DE AJURATE CU GOLURI CIRCULARE SI OVALE

La fel ca și la profilele ajurate obișnuite și în cazul acestui tip de profile ajurate pot fi definite caracteristicile geometrice dimensionale și ale secțiunii transversale a profilelor.

2.2.1. Caracteristici geometrice dimensionale ale profilelor ajurate cu goluri circulare și ovale. Stabilirea dimensiunilor optime

Dimensiunile profilelor ajurate cu goluri circulare și ovale trebuie alese în așa fel încît să conducă la stabilirea mării optime a golurilor, care să pună în evidență eficiența acestor profile în comparație cu profilele laminare dublu T și în special cu cele ajurate cu goluri hexagonale și octogonale.

Cele mai importante caracteristici geometrice dimensionale indicate în figura 2.5, a profilelor ajurate cu goluri circulare și ovale sînt :

- 1. Înălțimea "a" a profilelor T din axul golurilor se alege și la aceste profile funcție de înălțimea "h" a profilelor laminare din care provin.

Datorită faptului că înălțimea T "ay" crește pe măsură ce crește unghiul φ și secțiunea se depărtează de axa golurilor, creșea și caracteristicile geometrice ale secțiunii acestor profile T, ceea ce face ca efectul forței tăietoare asupra efortului unitar normal σ să se reducă foarte mult chiar și în cazul cînd forța tăietoare este maximă în regiunea momentului încovoietor maxim.

În aceste condiții dacă se neglijează efectul forței tăietoare care în cazul încălzirilor distribuite sau apropiate de a-

cestea la grinzi simplu rezemate se poate face fără rezerve, atunci efortul unitar normal provine numai din momentul încovoietor maxim și are valoarea maximă în secțiunea din axul golului cel mai apropiat și este funcție de produsul $A_0 \cdot y_0$, fiind minim când acest produs este maxim așa cum se va vedea în capitoul 3.

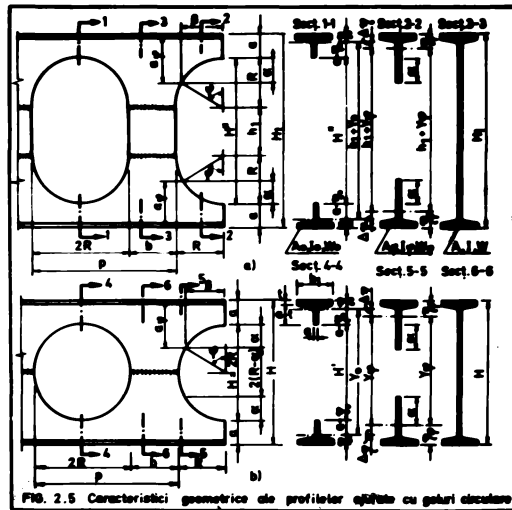


FIG. 2.5 Caracteristici geometrice ale profilurilor găurite cu găuri circulare

Pentru a determina dimensiunea optimă a înălțimii profilelor T din axul golurilor, care duce la σ_{min} , trebuie pusă condiția ca produsul $A_0 \cdot y_0$ să fie maxim. Într-un calcul simplificat profilele T sînt considerate formate din dreptunghiuri. Produsul $A_0 \cdot y_0$ se poate determina dacă se exprimă următoarele mărimi, în funcție de dimensiunile profilului T (fig. 2.5. b secțiunea 4-4) η_0 , a , b_1 , t , d și de înălțimea h a profilului inițial :

$$(2.19) \quad n = 2(a + R)$$

$$(2.20) \quad R = h - (2a + n)$$

Pentru "n" se poate lua o valoare aproximativă :

$$(2.21) \quad n = \frac{\eta_0}{2}$$

cu care rezultă R care înlocuit în (2.19) dă înălțimea profilului :

$$(2.22) \quad R = 2h - 2a - \eta_0$$

iar distanța y_0 are valoarea :

$$(2.23) \quad y_0 = H - 2\eta_0 = 2h - 2a - 3\eta_0$$

Pentru a calcula pe y_0 funcție de dimensiunile profilului T , se calculează distanța η_0 de la fibrele exterioare, la centrele acestora

$$(2.24) \quad \eta_0 = \frac{bt^2 + (a^2 - t^2)d}{2[bt + (a-t)d]}$$

iar y_0 poate fi calculat cu relația :

$$(2.25) \quad y_0 = \frac{4(bht + adh - dht - aht - atd + add) - 3(bt^2 d d - dt^2)}{2[bt + (a-t)d]}$$

Secțiunea profilului T poate fi scrisă sub formă :

$$(2.26) \quad A_0 = b_1 t + (a - t)d$$

iar produsul $A_0 \cdot y_0$ ordonat după puterile lui "a" sub formă :

$$(2.27) \quad A_0 y_0 = \frac{1}{2} [-7a^2 d + 4a(dh - bt + dt) + t(b-d)(4h - 3t)]$$

Mărimea variabilă fiind înălțimea "a" pentru a găsi valoarea ei optimă, se anulează derivata acesteia și rezultă :

$$(2.28) \quad a = \frac{2}{7} \left(h + t - \frac{bt}{d} \right)$$

Ținând cont de faptul că mărimea b, d, t sînt funcție de h, raportul lor fiind aproximativ constant indiferent de mărimea profilului laminat din care se execută profilele ajurate, înălțimea "a" a profilului T , poate fi calculată înlocuind rapoartele lor și rezultă :

$$(2.29) \quad a = \frac{h}{7} \div \frac{h}{8}$$

Această relație conduce la valori foarte mici ale înălțimii profilului T , și ea a rezultat datorită neglijării efectului forței tăietoare, ceea ce face ca profilele T din axul golurilor să nu poată prelua efortul unitar tangențial, înălțimea inișei fiind foarte mică.

Pentru a putea prelua și efortul unitar tangențial în dreptul golurilor unde forța tăietoare este maximă, este necesar să se sporească înălțimea "a" cu aproximativ 50 % și rezultă relația :

$$(2.30) \quad a = \frac{h}{4} \div \frac{h}{6}$$

Valorile mai mari ale lui a date de relația (2.30) se vor lua în cazul profilului ajurate cu goluri circulare și ovale, folosite la grinzi la care iau naștere forțe tăietoare mari, iar valorile mici în cazul grinzilor la care apar forțe tăietoare mici.

Comparînd înălțimea profilului T de la profilele cu goluri circulare cu cea de la cele cu goluri hexagonale, iese în evidență faptul că această înălțime este mult mai mică în cazul acestui tip de profile ajurate, față de cele obișnuite, diferența fiind de pînă la (50-60)%, ceea ce înseamnă că înălțimea profilului ajurate cu goluri circulare este mai mare ca a celor cu goluri hexagonale pornind de la același profil laminat, ceea ce înseamnă caracteristici geometrice mai mari.

- 2. Distanța "b" dintre liniile orizontale 1 și 2 (fig. 1.5)

care servesc la trasarea profilurilor ajurate se alege din relația:

$$(2.31) \quad n = \frac{h}{2,5} \div \frac{h}{4,5}$$

Valorile mai mari ale lui n (spre $h/20$) se aleg în cazul grinzelor cu forțe tăietoare mari, deoarece rezultă lungimi de contact " b " mai mari în acest caz, necesare pentru a prelua forța de alunecare în dreptul plinurilor.

- 3. Raza golurilor "R" rezultă funcție de mărimile alese pentru " n " și " a " și de înălțimea " h " a profilului laminat (fig.1.5)

$$(2.32) \quad R = h - (2a + n)$$

Dacă se înlocuiește " a " și " n " funcție de " h ", poate fi exprimată și raza în funcție de înălțimea profilului laminat cu relația:

$$(2.33) \quad R = \frac{h}{2,2} \div \frac{h}{1,5}$$

În cazul când se alege raza, cu această relație, se va căuta ca ea să fie apropiată de raza țevilor (mai mare cu una-doi mm) pentru a putea face o eventuală întărire a golurilor celor mai sollicitate cu un cupon de țevă.

- 4. Lungimea de contact "b" dintre cele două părți ale profilurilor ajurate egală cu distanța dintre goluri, se determină din relația :

$$(2.34) \quad b = 2 \sqrt{n(2R - n)}$$

și ea este funcție de mărimile alese, în special de distanța n , care trebuie aleasă cu grijă pentru ca lungimea " b " să asigure lungimea necesară de sudură, care să preia forța de alunecare pe lungimea pasului.

- 5. Pasul golurilor "p" egal cu distanța dintre axele a două goluri sau plinuri consecutive rezultă din relația :

$$(2.35) \quad p = 2R + b$$

- 6. Înălțimile totale H_1 și H_2 a profilurilor ajurate cu goluri ovale și circulare rezultă, cunoscând mărimile alese :

$$(2.36) \quad H_1 = h_1 + 2(R + a) \quad \text{la profile cu goluri ovale}$$

$$(2.36.a) \quad H = 2(R + a) \quad \text{la profile cu goluri circulare}$$

- 7. Înălțimea " h_1 " a plăcuțelor intermediare la profile cu goluri ovale este recomandabil să se ia :

$$(2.37) \quad h_1 = \frac{h}{2} \div \frac{h}{3}$$

sau :

$$(2.38) \quad h_1 = R + \frac{R}{1,5}$$

Există și în cazul acestor profile, unele mărimi care sînt determinate funcție de dimensiunile alese și anume

- 8. Distanța " η_0 " de la fibrele exterioare la centrul de greutate al profilurilor T de deasupra și de dedesubtul golurilor se

calculează funcție de dimensiunile alese pentru aceste profile și este dată în anexa 1.

- 9. Distanțele „ $h_1 + y_0$ ” și „ x_0 ” între centrele de greutate ale profilelor T ce mărginesc golurile rezultă :

(2.39) $h_1 + y_0 = h_1 + 2(R + a - \eta_0)$ la profile cu goluri ovale

(2.39.a) $y_0 = 2(R + a - \eta_0)$ la profile cu goluri circulare

- 10. Unghiul „ φ ” care definește o secțiune curentă în jurul golurilor se măsoară între verticală și o rază curentă, (fig.2.5)

- 11. Abacisa „ β ” a unui punct curent de pe conturul golurilor, măsurată față de axa verticală a acestora poate fi calculată cu relația :

$$(2.40) \quad \beta = \dots \sin \varphi$$

- 12. Abacisa „ α ” a aceluiași punct curent de pe conturul golurilor, măsurată față de marginea golului în axul său (fig.2.5):

$$(2.41) \quad \alpha = R(1 - \cos \varphi)$$

- 13. Abacisa „ a_p ” a perimetrului T, dintr-o secțiune curentă definită prin unghiul φ , poate fi calculată cu relația :

$$(2.42) \quad a_p = a + R(1 - \cos \varphi)$$

- 14. Distanța „ $\Delta \eta$ ” dintre centrele de greutate ale profilelor T din axul golurilor poate fi calculată cu relația :

$$(2.43) \quad \Delta \eta = \frac{\alpha d(\alpha + 2a - 2\eta_0)}{2(A_0 + d\alpha)}$$

în care dacă se înlocuiește α din (2.41) rezultă :

$$(2.44) \quad \Delta \eta = \frac{dR(1 - \cos \varphi)[R(1 - \cos \varphi) + 2(a - \eta_0)]}{2[A_0 + dR(1 - \cos \varphi)]}$$

- 15. Distanța „ η_p ” de la marginea exterioară a profilelor T, la centrul lor de greutate, într-o secțiune curentă exprimată prin unghiul φ :

$$(2.45) \quad \eta_p = \eta_0 + \Delta \eta = \frac{d\alpha^2 + 2ad\alpha + 2A_0\eta_0}{2(A_0 + d\alpha)}$$

sau cu valoarea lui α din (2.41)

$$(2.46) \quad \eta_p = \frac{dR^2(1 - \cos \varphi)^2 + 2adR(1 - \cos \varphi) + 2A_0\eta_0}{2[A_0 + dR(1 - \cos \varphi)]}$$

- 16. Distanțele „ $h_1 + y_p$ ” dintre centrele de greutate ale profilelor T dintr-o secțiune curentă definită prin unghiul φ , se calculează în funcție de celelalte mărimi ale profilelor cu goluri circulare :

$$(2.47) \quad h_1 + y_p = h_1 + \frac{2A_0(R + a - \eta_0) + 2dR\alpha - d\alpha^2}{A_0 + d\alpha}$$

sau înlocuind pe α din (2.41) rezultă :

$$(2.48) \quad h_1 + y_p = h_1 + \frac{2A_0(R + a - \eta_0) + dR^2 \sin^2 \varphi}{A_0 + dR(1 - \cos \varphi)} \quad \text{la goluri ovale}$$

și la fel :

$$(2.47a) \quad y_p = \frac{2A_0(R + a - \eta_0) + 2dR\alpha - d\alpha^2}{A_0 + d\alpha}$$

sau înlocuind pe α rezultă :

$$(2.48a) \quad y_p = \frac{2A_0(R + a - \eta_0) + dR^2 \sin^2 \varphi}{A_0 + dR(1 - \cos \varphi)} \quad \text{la goluri circulare}$$

2.2.2. Caracteristici geometrice ale secțiunii transversale ale profilurilor ajurate cu goluri circulare și ovale

În profilele ajurate cu goluri circulare și ovale, datorită faptului că secțiunea profilurilor T ce mărginesc golurile este variabilă, trebuie calculate caracteristicile geometrice ale secțiunii din axul golurilor și pentru o secțiune curentă definită prin unghiul φ și acestea sînt :

- 1. Aria " A_0 ", momentul de inerție " I_0 ", modulele de rezistență " W_{01} " și " W_{02} " ale secțiunii profilurilor T din axul golurilor se calculează funcție de înălțimea "a" a profilurilor T și sînt date în anexa 1.

- 2. Aria " A_φ " a secțiunii profilurilor T dintr-o secțiune curentă prin gol :

$$(2.49) \quad A_\varphi = A_0 + d\alpha \quad \text{sau :}$$

$$(2.50) \quad A_\varphi = A_0 + dR(1 - \cos \varphi)$$

relația (2.50) arată că aria A_φ crește cu creșterea unghiului φ .

- 3. momentul de inerție " I_φ " a secțiunii profilurilor T din secțiunea curentă prin gol, în raport cu axa ce trece prin centrul de greutate G_φ al acestui profil aflat la distanța η_φ de marginea exterioară :

$$(251) \quad I_\varphi = I_0 + A_0 \Delta \eta^2 + \frac{d\alpha^3}{12} + d\alpha \left(\frac{\alpha}{2} + a - \eta_0 - \Delta \eta \right)^2$$

Înlocuind valoarea lui $\Delta \eta$ din (2.45), făcînd operațiile la termenul al patrulea, grupînd termenii, scoțînd factor și simplificînd relația devine :

$$(252) \quad I_\varphi = \frac{d\alpha^4 + 4Ad\alpha^3 + 12Ad(a - \eta_0)\alpha^2 + 12d[l_0 + A_0(a - \eta_0)^2]\alpha + 12A_0l_0}{12(A_0 + d\alpha)}$$

Dacă se înlocuiește valoarea ordinatelor α din (2.41) rezultă

$$(253) \quad I_\varphi = \frac{d^2R^2(1 - \cos \varphi)^4 + 4A_0dR^2(1 - \cos \varphi)^3 + 12A_0d(a - \eta_0)R^2(1 - \cos \varphi)^2}{12[A_0 + dR(1 - \cos \varphi)]} + \frac{12d[l_0 + A_0(a - \eta_0)^2]R(1 - \cos \varphi) + 12A_0l_0}{12[A_0 + dR(1 - \cos \varphi)]}$$

- 4. Modulele de rezistență " $W_{\varphi 1}$ " și " $W_{\varphi 2}$ " ale secțiunii curente în raport cu fibrele interioare și exterioare pot fi determinate dacă sînt scrise distanțele de la centrul de greutate G_φ la aceste fibre :

$$(254) \quad y_{\varphi 1} = \alpha + a - \eta_\varphi = \frac{d\alpha^2 + 2A_0\alpha + 2A_0(a - \eta_0)}{2(A_0 + d\alpha)}$$

$$(255) \quad y_{\varphi 2} = \eta_\varphi = \frac{d\alpha^2 + 2ada + 2A_0\eta_0}{2(A_0 + d\alpha)}$$

Cu aceste distanțe rezultă modulele de rezistență ale profilului T din secțiunea curentă.

Pentru fibre interioară după operații și simplificări rezultă :

$$(256) W_{\varphi i} = \frac{I_{\varphi}}{y_{\varphi i}} = \frac{d^2 \alpha^2 + 4A_0 d \alpha^2 + 12A_0 d(a - \eta_0) \alpha^2 + 12d[l_0 + A_0(a - \eta_0)^2] \alpha + 12A_0 b}{6[d\alpha^2 + 2A_0 \alpha + 2A_0(a - \eta_0)]}$$

in care dacã este înlocuit α din (2.41) rezulta :

$$(257) W_{\varphi i} = \frac{dR^2(1 - \cos \varphi)^4 + 4A_0 dR^2(1 - \cos \varphi)^3 + 12A_0 d(a - \eta_0)R^2(1 - \cos \varphi)^2}{6[dR^2(1 - \cos \varphi)^2 + 2A_0 R(1 - \cos \varphi) + 2A_0(a - \eta_0)]} + \frac{12d[l_0 + A_0(a - \eta_0)^2]R(1 - \cos \varphi) + 12A_0 b}{6[dR^2(1 - \cos \varphi)^2 + 2A_0 R(1 - \cos \varphi) + 2A_0(a - \eta_0)]}$$

pentru înlocuirea rezulta urmãtoarea relație:

$$(258) W_{\varphi e} = \frac{I_{\varphi}}{y_{\varphi e}} = \frac{d^2 \alpha^2 + 4dA_0 \alpha^2 + 12A_0 d(a - \eta_0) \alpha^2 + 12d[l_0 + A_0(a - \eta_0)^2] \alpha + 12A_0 b}{6(d\alpha^2 + 2A_0 \alpha + 2A_0 \eta_0)}$$

Înlocuind valoarea lui α din (2.41) funcție de φ se ajunge

$$(259) W_{\varphi e} = \frac{dR^2(1 - \cos \varphi)^4 + 4A_0 dR^2(1 - \cos \varphi)^3 + 12A_0 d(a - \eta_0)R^2(1 - \cos \varphi)^2}{6[dR^2(1 - \cos \varphi)^2 + 2adR(1 - \cos \varphi) + 2A_0 \eta_0]} + \frac{12dR[l_0 + A_0(a - \eta_0)^2](1 - \cos \varphi) + 12A_0 b}{6[dR^2(1 - \cos \varphi)^2 + 2adR(1 - \cos \varphi) + 2A_0 \eta_0]}$$

din relațiile (2.57) și (2.59) se vede că modulele de rezistență cresc pe măsură ce crește unghiul φ , deci pe măsură ce ne depărtăm de axul golurilor.

Caracteristicile geometrice ale secțiunii profilului ajurat întreg din axul golurilor, pot fi calculate și în cazul profililor ajurate cu goluri ovale și circulare, cu aceleași relații ca și pentru profilile ajurate cu goluri octogonale și hexagonale - relațiile (2.13), (2.14), (2.14.a), (2.15), (2.15.a) - cu precizarea că h_1 și y_0 se iau așa cum s-a arãtat.

Caracteristicile geometrice ale secțiunii pline a profililor ajurate cu goluri circulare și ovale pot fi calculate cu relațiile:

- 5. Aria "A" a secțiunii întregi din axul plinurilor :

$$(2.50) A = 2A_0 + d(h_1 + 2R) \text{ pentru profile cu goluri ovale}$$

$$(2.50.a) A = 2(A_0 + dR) \text{ pentru profile cu goluri circulare}$$

- 6. Momentul de inerție "I" al secțiunii întregi din axul plinurilor

$$(261) I = \frac{1}{2} [4I_0 + A(h_1 + y_0)^2 + \frac{d(h_1 + 2R)^3}{6}] \text{ la goluri ovale}$$

$$(261a) I = \frac{1}{2} [4I_0 + Ay_0^2 + \frac{4dR^3}{3}] \text{ la goluri circulare}$$

- 7. Modulele de rezistență "W" al secțiunii întregi din axul plinurilor :

$$262 W = \frac{1}{H_1} [4I_0 + A(h_1 + y_0)^2 + \frac{d(h_1 + 2R)^3}{6}] \text{ la goluri ovale}$$

$$262a W = \frac{1}{H} [4I_0 + Ay_0^2 + \frac{4dR^3}{3}] \text{ la goluri circulare}$$

2.3. Caracteristicile geometrice ale secțiunii ajurate din axul plinurilor

Caracteristicile geometrice ale secțiunii ajurate din axul plinurilor

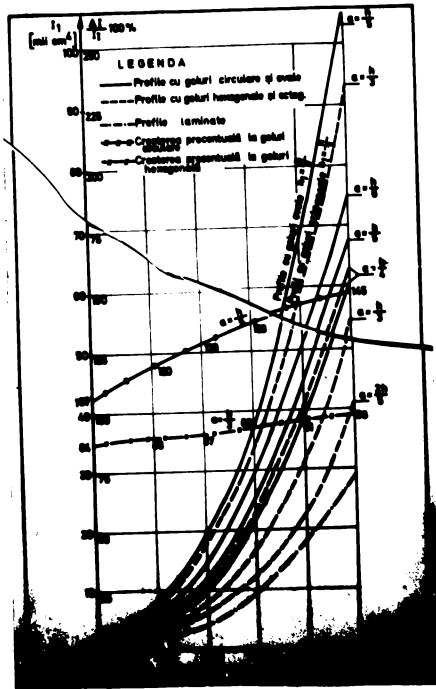
Caracteristicile geometrice, - momentele de inerție și modulele de rezistență - ale profililor ajurate întregi calculate în axul golurilor sau în axul plinurilor pot fi comparate cu cele ale

profilelor laminate, această comparație scoperind în evidență unele din avantajele profilelor ajurate în comparație cu cele laminate, precum și a profilelor ajurate între ele.

Pentru a putea urmări aceste creșteri ale momentelor de inerție și ale modulelor de rezistență, se poate trasa în diagrame variația acestor caracteristici geometrice.

În diagrama din fig. 2.6 este prezentată variația momentelor de inerție ale profilelor laminate, precum și a profilelor ajurate cu goluri hexagonale respectiv octogonale și cu goluri circulare și ovale.

Momentele de inerție sînt reprezentate în funcție de înălțimea "h" a profilelor laminate dublu T, din care sînt executate și profilele ajurate, începînd cu profilul I 14 de la care în general se execută. Pentru profilele ajurate sînt trasate momentele de inerție ai secțiunii întregi din axul golurilor.

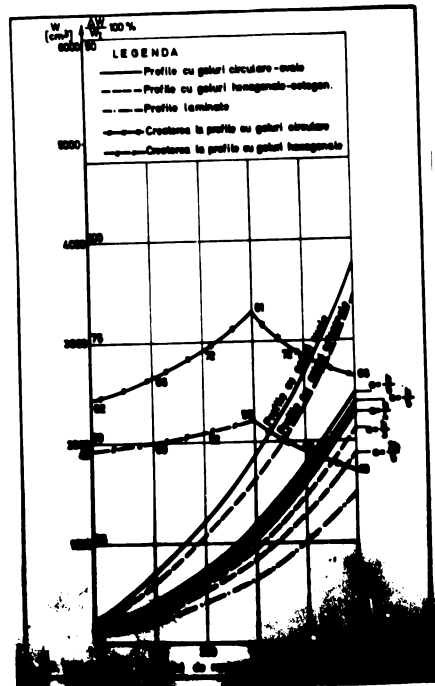


Din diagramă se observă o creștere medie ce variază între (84-93)% a momentelor de inerție a întregii secțiuni din dreptul golurilor, la profilele ajurate cu goluri hexagonale și de (107-145)% la cele cu goluri circulare în comparație cu profilele laminare dublu T din care provin. La profilele cu goluri octogonale și ovale aceste creșteri ajung pînă la 210 % la cele cu goluri octogonale și 260 % la cele cu goluri ovale.

În diagramă din fig.2.7 sînt trasate în același mod curbele de variație a modulelor de rezistență a profilelor ajurate cu goluri hexagonale și circulare alături de cea a profilului laminat dublu T.

Creșterea medie a modulelor de rezistență la profile ajurate cu goluri hexagonale este de (43-55)%, iar la cele cu goluri circulare de (62-61)% față de profilele laminare (fig.2.7).

Diagrama arată și o creștere a momentelor de inerție respectiv a modulelor de rezistență la profilele cu goluri circulare față de cele cu goluri hexagonale.



CAPITOLUL 3

CALCULUL SIMPLIFICAT AL GRINZILOR DIN PROFILE AJURATE SOLICITATE LA ÎNCOVIERE DREAPTĂ

3.1. GENERALITĂȚI

Grinzile realizate din profile ajurate, datorită formei lor și a faptului că prin ajurare iau naștere golurile din inima profilurilor, nu mai pot fi calculate la fel ca și grinzile din profile duble T cu inimă plină.

Datorită formei lor și a comportării pe care o au la solicitările exterioare, grinzile din profile ajurate pot fi asimilate cu grinzile cu săbrele cu noduri rigide de tip Vierendeel. Profilele T de deasupra și de dedesubtul golurilor fermează tălpile acestor grinzi, iar plinurile dintre goluri reprezintă montanți, legați rigid de tălpi.

Grinzile din profile ajurate prezintă unele particularități față de grinzile Vierendeel, prin faptul că panourile fiind foarte dese distanța dintre noduri este foarte mică, precum și prin faptul că montanții acestor grinzi au secțiune variabilă.

Pentru aceste motive în practica proiectării și execuției, grinzile ajurate nu sînt calculate, cu un calcul exact ca grinzi Vierendeel, ci sînt folosite metode de calcul simplificat, care satisfac în general exigențele cerute de practica de proiectare. Calculul simplificat pleacă de la considerentul că la grinzile cu săbrele cu noduri rigide momentele din montanți schimbă de semn, ceea ce permite să se considere că la mijlocul montanților este un punct de moment nul. Pe tălpile grinzii din forțe concentrate în noduri diagrama de momente schimbă de asemenea de semn, ceea ce dă posibilitatea să se admită că și în axul vertical al golurilor există un punct de moment nul.

3.2. GRINZI DIN PROFILE AJURATE CU GOLURI HEXAGONALE ȘI OCTOGONALE

Calculul simplificat al grinzilor din profile ajurate obișnuite este prezentat în mai multe lucrări [68], [27], [40], [24]. Lucrarea este prezentată sinteza acestor aspecte ale problemei, insistînd asupra contribuțiilor personale.

3.2.1. Calculul de rezistență a tălpilor grinzilor ajurate obișnuite



3.2.1.1. Calculul și verificarea eforturilor unitare normale în tălpi

Calculul de rezistență al tălpiilor se face la cele două solicitări care iau naștere într-o secțiune oarecare în lungul grinzii : momentul încovoietor și forța tăietoare, în dreptul unui gol.

Solicitările din secțiunea curentă prin axul golului, sînt descompuse în solicitări ce acționează în centrele de greutate ale profilelor T de deasupra și de dedesubtul golurilor (fig.3.1).

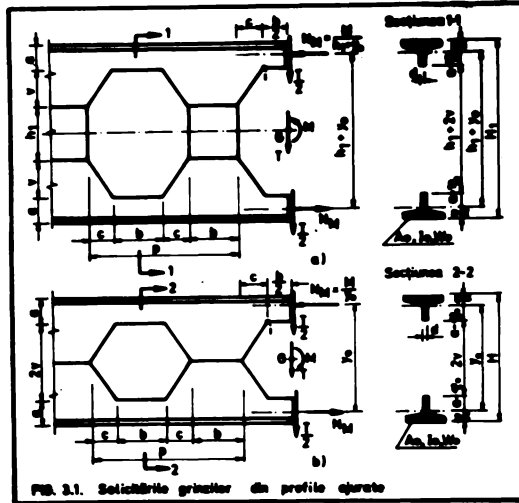


FIG. 3.1. Solicitările grinzilor cu profile șterse

momentul încovoietor se descompune într-un cuplu de două forțe $N_{1,2}$ acționînd în centrul de greutate a profilelor T (fig.3.1), iar forța tăietoare se repartizează egal la cele două profile. Forțele $N_{1,2}$ produc eforturi unitare normale de compresie în secțiunea profilului T de deasupra golului și de întindere în cel de dedesubtul golului egale cu :

$$(31) \quad \sigma_N = \frac{M}{(h_1 + x_0) A_0} \quad \text{la profile cu goluri octagonale}$$

$$(31a) \quad \sigma_N = \frac{M}{x_0 A_0} \quad \text{la profile cu goluri hexagonale}$$

Aceste eforturi sînt constante pe toată lungimea "b" a golului.

Forța tăietoare ce revine unui profil T produce față de secțiunea din colțul golului un moment local, care dă naștere unui efort unitar normal, care este maxim față de fibra de la interior (punctul 1 fig.3.1) :

$$(32) \quad \sigma_T = \frac{T \cdot b}{4 W_{0i}}$$

Eforturile unitare normale provenite din moment și forța

tăietoare se însușează în colțul "1" din stînga golului, la partea superioară fiind de compresiune iar la cea inferioară de întindere ca valorile :

$$(3.3) \quad \bar{\sigma} = \frac{1}{(h_1 + y_0) A_0} \left[M + \frac{b(h_1 + y_0) A_0}{4 W_{0i}} T \right] \text{ la goluri octogonale}$$

$$(3.3a) \quad \bar{\sigma} = \frac{1}{y_0 A_0} \left[M + \frac{b y_0 A_0}{4 W_{0i}} T \right] \text{ la goluri hexagonale}$$

Cu notațiile :

$$(3.4) \quad \alpha' = \frac{b(h_1 + y_0) A_0}{4 W_{0i}} [cm]$$

$$(3.4a) \quad \alpha'' = \frac{b y_0 A_0}{4 W_{0i}} [cm]$$

relațiile de verificare a efortului unitar normal pot fi scrise :

$$(3.5) \quad \bar{\sigma} = \frac{1}{(h_1 + y_0) A_0} (M + \alpha' T) \leq \bar{\sigma}_a \quad \text{pentru goluri octogonale}$$

$$(3.5a) \quad \bar{\sigma} = \frac{1}{y_0 A_0} (M + \alpha'' T) \leq \bar{\sigma}_a \quad \text{pentru goluri hexagonale}$$

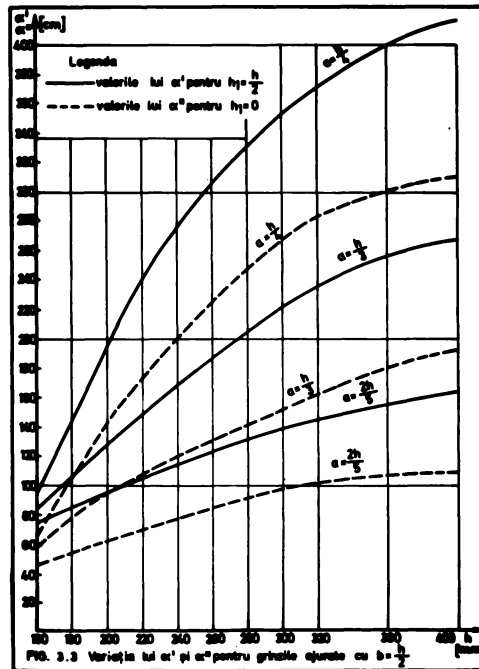
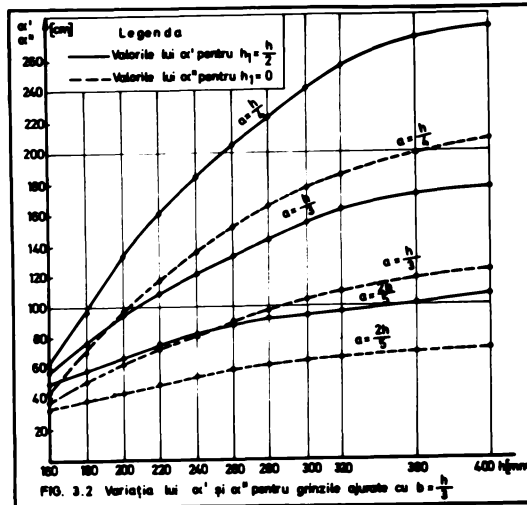
Notațiile α' , α'' exprimate în "cm" transformă efectul forței tăietoare într-un efect de moment încovoietor și ele sînt funcție de caracteristicile geometrice ale secțiunii transversale. Pentru că la dimensionare nu se cunosc aceste dimensiuni și ele trebuie alese și eventual schimbate pe parcurs, pentru ușurarea calculului, aceste notații pot fi reprezentate grafic, ceea ce face să nu fie necesar să se calculeze de fiecare dată mai ales dacă nu se dispune de tabele cu caracteristicile geometrice.

Notațiile α' , α'' sînt funcție de lungimea "b" a porțiunii de secțiune constantă a golurilor care poate fi luată conform relațiilor (2.5) și (2.6), și de înălțimea "a" a profilului T prin A_0, z_0 și w_{0i} , care se ia conform relațiilor (2.2) și (2.3).

În diagrama din figura 3.2 sînt reprezentate în funcție de înălțimea "h" a profilului laminat din care se obțin profilele ajurate, variațiile lui α' , α'' , pentru $b = h/3$ și pentru cele trei valori caracteristice ale înălțimii "a" a profilului T, iar în diagrama din fig. 3.3 sînt reprezentate aceleași variații pentru $b = h/2$ și pentru aceleași valori ale lui "a".

Variația efortului unitar normal $\bar{\sigma}_N$ este reprezentată în fig. 3.4 b, cea a lui $\bar{\sigma}_T$ în fig. 3.4 c iar efortul unitar normal însumat în fig. 3.4 d.

Intrucît efortul unitar normal însumat, calculat cu relațiile (3.5) și (3.5 a) are valoarea maximă doar în fibra inferioară din colțul golurilor, în celelalte fibre ale acelei secțiuni fiind mai mic, în



"Instrucțiunile tehnice pentru proiectarea construcțiilor metalice din profile cu goluri în I-cilă" s-a prevăzut la propunerea Prof. Dr. Ing. C. Balcan, însoțită de comisia de avizare la S.C. Ind. în ședința din 15 septembrie 1973, o majorare a rezistenței admisibile, ceea ce presupune admiterea depășirii rezistenței admisibile în fibra din colțul golurilor.

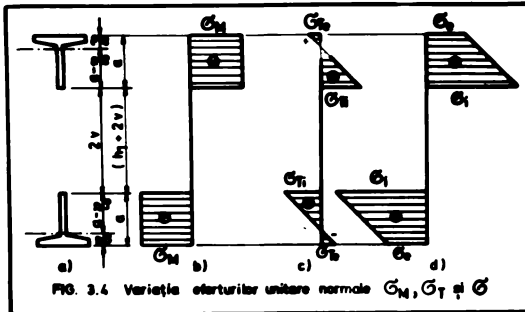
Relațiile de verificare sînt scrise în acest caz sub forma :

$$(3.6) \sigma = \frac{1}{(h_s + y_0)A_0} (M + \alpha' T) \leq \mu \bar{\sigma}_a$$

pentru goluri octogonale

$$(3.6a) \sigma = \frac{1}{y_0 A_0} (M + \alpha'' T) \leq \mu \bar{\sigma}_a$$

pentru goluri hexagonale



Pentru coeficientul " μ " am propus în instrucțiuni valorile :

-a) Dacă lungimea "b" a porțiunii de secțiune constantă a golurilor are valori $b \leq p/4$ pentru μ se iau valorile :

$\mu = 1,15 - 1,20$ pentru încărcări distribuite

$\mu = 1,10 - 1,15$ pentru încărcări concentrate

-b) Dacă lungimea $b > p/4$ atunci pentru μ se ia valoarea $\mu = 1,0$ indiferent de natura încărcărilor.

La verificarea efortului unitar normal σ , trebuie avut în vedere că cele două solicitări M și T nu sînt în general maxime în aceeași secțiune.

În unele situații verificarea efortului unitar însumat se poate face ușor și anume cînd cele două solicitări M și T sînt maxime în aceeași secțiune din lungul grinzii cum este cazul la :

- a. grinzi în consolă la care M și T sînt maxime în încadrare ;
- b. grinzi simplu rezemate încărcate cu o forță concentrată la care M este maxim sub forță, iar T este constantă pe cele două porțiuni ;
- c. grinzi simplu rezemate încărcate cu două forțe așezate simetric ;
- d. grinzi simplu rezemate încărcate cu un moment concentrat M ;
- e. grinzi continue indiferent de încărcări, la care M și T sînt maxime pe reacțiile acestora ;
- f. cadre, în colțurile acestora unde M și T sînt maxime.

În alte cazuri diferite de acestea, cînd cele două solicitări M și T nu sînt maxime în aceeași secțiune problema care se pune este de a determina secțiunea din lungul grinzii exprimată prin abscisa "z" în care efortul unitar normal însumat este maxim.

Problema se poate rezolva în cazul unor încălcări mai simple analitice, scriind momentul și forța tăietoare într-o secțiune carență de abscisă "z" și înlocuindu-le în relațiile de calcul a efortului unitar σ , după care se anulează derivata acestei funcții, iar din ecuație ce rezultă poate fi scoasă abscisa z.

Pentru o grindă simplă rezemată cu o încălcare uniform distribuită de exemplu, solicitările M_z și T_z dintr-o secțiune curentă sînt :

$$(37) \quad T_z = \frac{q l}{2} - qz$$

$$(37a) \quad M_z = \frac{q l}{2} z - \frac{q z^2}{2}$$

Aceste mărimi înlocuite în relațiile (3.5) și (3.5 a) și scoțînd factori rezultă :

$$(38) \quad \sigma = \frac{q}{2(h+y_0)A_0} [lz - z^2 + \alpha l(-2z)] \quad \text{pentru goluri octogonale}$$

$$(38a) \quad \sigma = \frac{q}{2y_0 A_0} [lz - z^2 + \alpha l(-2z)] \quad \text{pentru goluri hexagonale}$$

Termenii din fața parantezelor sînt constante iar anularea derivatei :

$$(39) \quad \frac{d\sigma}{dz} = 0$$

se reduce la anularea derivatei parantezelor mari, din care rezultă z

$$(3.10) \quad z = \frac{l}{2} - \alpha' \quad \text{pentru goluri octogonale}$$

$$(3.10a) \quad z = \frac{l}{2} - \alpha'' \quad \text{pentru goluri hexagonale}$$

valorile lui z determinate introduse în (3.8) și (3.8 a) determină eforturile maxime :

$$(3.11) \quad \sigma = \frac{q}{2(h+y_0)A_0} \left(\frac{l^2}{4} + \alpha'^2 \right) \quad \text{pentru goluri octogonale}$$

$$(3.11a) \quad \sigma = \frac{q}{2y_0 A_0} \left(\frac{l^2}{4} + \alpha''^2 \right) \quad \text{pentru goluri hexagonale}$$

Trebuie menționat că în calculul practic, este bine ca abscisele "z" din (3.10) și (3.10 a) să fie corectate în axul golului cel mai apropiat și cu aceste valori să se calculeze M_z și T_z cu care apoi se verifică

Unii autori cum este Prof. Dr. ing. Faltus din Praga [27], au dat pentru cîteva încălcări mai simple și pentru grinzi statice determinate, tabele cu abscisele unde este efortul maxim și valoarea acestui efort maxim numai pentru grinzi cu goluri hexagonale (fără plăcuțe intermediare).

Pentru a ușura munca de proiectare, în lucrare este prezentat tabelul din anexa 3, cu abscisele unde eforturile sînt maxime și valoarea acestor eforturi pentru grinzi cu goluri octogonale și hexagonale, în care valorile luate din lucrarea Prof. Dr. ing. Faltus sînt însemnate cu steașcă.

Rezolvarea acestei probleme a găsirii abscisei unde efortul unitar este maxim, pe cale analitică prin anularea derivatei este greu de făcut pentru grinzi cu mai multe tipuri de încărcări simultane, precum și pentru grinzi static nedeterminate.

În literatura tehnică este indicată de ing. Delesques [24] o metodă grafică de determinare a absciselor unde efortul unitar σ este maxim.

Pornind de la relațiile (3.5) și (3.5 a), se vede că efortul unitar σ este maxim, atunci când suma $M + \alpha' T$, respectiv $M + \alpha'' T$ este maximă, coeficienții din fața parantezelor fiind constante ce nu depind de abscisa x .

În aceste condiții se trasează diagrama de momente M , la o anumită scară, de o parte a liniei de referință paralelă cu axa grinzii și de cealaltă parte a acesteia se trasează diagrama de forțe tăietoare înalțită cu coeficienții α' respectiv α'' la aceeași scară (fig. 3.5 d).

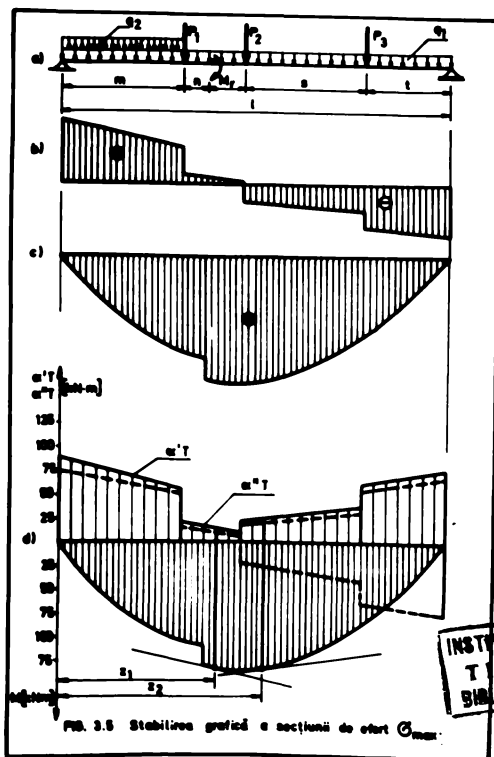


FIG. 3.5 Stabilirea grafică a secțiunii de efort σ_{max} .

Pentru ca diagrama de forțe tăietoare să nu se suprapună peste cea de moment și pentru ca pantele acestora să fie de același semn cu ale momentului încovierător, diagrama de forțe tăietoare negative se trasează de aceeași parte ca cea a forțelor tăietoare pozitive (fig.3.5 d).

Suma $m + \alpha' T$ respectiv $m + \alpha'' T$, este maximă în punctele în care paralelele duse la segmentele de dreaptă ce mărginesc diagrama de forțe tăietoare sînt tangente la diagrama de momente.

Măsurînd apoi la scara lungimilor la care a fost reprezentată deschiderea grinzii, abscisele punctelor de tangentă "x" se găsesc secțiunile în care efortul unitar însumat este maxim. Aceste abscise se corectează în axul golului cel mai apropiat, după care se calculează solicitările M_x și T_x și cu acestea se verifică efortul unitar normal $\bar{\sigma}$.

3.2.1.2. Calculul și verificarea eforturilor unitare tangențiale din tăieri

Forța tăietoare $T/2$, care revine celor două profile din dreptul golurilor, produce în secțiunea acestora și eforturi unitare tangențiale care se calculează cu formula lui Juravski în secțiunea cu T_{max} :

$$(3.12) \quad \bar{\sigma} = \frac{T S_x}{2 d I_0} \leq \bar{\sigma}_a$$

în care mărimile au următoarele semnificații :

T - este forța tăietoare maximă calculată în axul golului apropiat ;

S_x - este momentul static al porțiunii care începe pînă la nivelul la care se calculează $\bar{\sigma}$. Pentru $\bar{\sigma}_{max}$ în axa neutră a profilului T :

$$(3.13) \quad S_x = d(a - \eta_0) \frac{a - \eta_0}{2} = \frac{d(a - \eta_0)^2}{2}$$

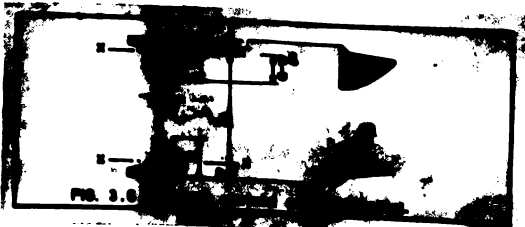
d - este grosimea inițială iar I_0 - momentul de inerție al profilului T ;

$\bar{\sigma}_a$ - rezistența admisibilă la forfecare a oțelului $\bar{\sigma}_a = 0,6 \bar{\sigma}_a$

Variația eforturilor unitare tangențiale este prezentată în fig.3.6.

3.2.1.3. Verificarea eforturilor unitare echivalente

În axa profilului T ce mărginesc golurile efortul unitar normal $\bar{\sigma}_N$ din moment este maxim (fiind constant), efor-



tul unitar normal σ din forța tăietoare este nul (fig.3.4), iar efortul unitar tangențial τ este maxim (fig.3.6). În aceste condiții în afara verificării efortului unitar normal σ însumat cu relațiile (3.5) și (3.5 a), este necesar să se verifice și efortul unitar echivalent cu relația :

$$(3.14) \quad \sigma_{ech} = \sqrt{\sigma_M^2 + 3\tau^2} \leq 1,1 \sigma_a$$

Înlocuind eforturile σ_M și τ rezultă condițiile de verificare :

$$(3.15) \quad \sigma_{ech} = \sqrt{\frac{M^2}{(h_1 + \lambda) A_0^2} + 3 \frac{T^2 S_x^2}{4 d^4 I_0^2}} \leq 1,1 \sigma_a \quad \text{la goluri octogonale}$$

$$(3.15a) \quad \sigma_{ech} = \sqrt{\frac{M^2}{\lambda_0^2 A_0^2} + 3 \frac{T S_x^2}{4 d^4 I_0^2}} \leq 1,1 \sigma_a \quad \text{la goluri hexagonale}$$

În aceste relații M și T se iau din aceeași secțiune în lungul grinzii luînd momentul încovoietor maxim și forța tăietoare aferentă maximă și invers.

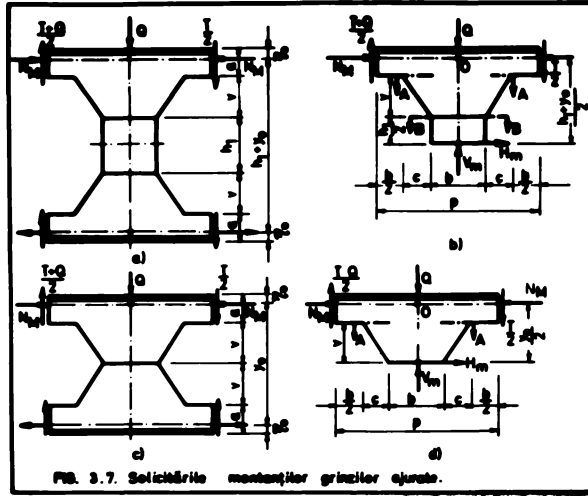
3.2.2. Calculul de rezistență al montanților grinzilor ajurate obișnuite

Prin montanții grinzilor ajurate se înțeleg porțiunile pline dintre două goluri consecutive pe înălțimea golurilor. Lățimea montanților este constantă pe înălțimea " h_1 " a plăcuței intermediare și variabila pe înălțimea $2V$ a golurilor.

Unele încercări experimentale ale lui Bazile și Halleux [10], [34] au arătat că spre deosebire de profilele metalice laminat dublu T, la care grosimea inimii este mare în raport cu înălțimea, inima fiind și continuă, la profilele ajurate unde înălțimea este mult mai mare în raport cu grosimea și inima este discontinuă datorită golurilor se poate produce distrugerea acestora și prin distrugerea montanților sub influența forței tăietoare, care revine unor porțiuni mici de grindă.

În literatura tehnică Merkblatt și Delesques [63], [64] sînt date indicații privind verificarea rezistenței montanților. În baza acestor lucrări și ținînd seama de prevederile standardelor noastre, privind verificarea elementelor compuse, supuse la solicitări combinate în lucrare este prezentată verificarea montanților care a fost indicată și în "Instrucțiunile tehnice de proiectare a construcțiilor metalice din profile cu goluri în inimă" întocmite în cadrul catedrei

Dacă se consideră un montant al grinzilor ajurate, sub acțiunea forței tăietoare aferente T și a rezultantei încălțării distribuite pe lungimea pasului " p " în axa orizontală a montantului iau naștere două eforturi : orizontal H_m și vertical V_m , momentul fiind considerat nul în axul montantului cum s-a arătat la 3.1 (fig.3.7).



În cazul general cînd încărcările sînt distribuite, și forța tăietoare este variabilă (fig.3.7 a, 3.7 c) pentru determinarea eforturilor H_m și V_a , se scriu condițiile de echilibru a jumătății montanțului secționat, care constau într-o ecuație de proiecții pe verticală și o ecuație de momente în raport cu punctul O de intersecție al axei profilului T cu axa verticală a montanțului (fig.3.7 b și 3.7 d).

Din aceste ecuații rezultă :

$$(3.16) \quad V_m = \frac{Q}{2} \quad \text{în care } Q = q \cdot p$$

și :

$$(3.17) \quad H_m = \frac{p}{2(h_1 + y_0)} (2T + Q) \quad \text{pentru goluri octogonale}$$

$$(3.17a) \quad H_m = \frac{p}{2y_0} (2T + Q) \quad \text{pentru goluri hexagonale}$$

Acese eforturi se calculează în dreptul montanților unde $T = \max$.

Secțiunile în care trebuie verificate eforturile sînt secțiunile A-A și B-B (fig.3.7 b) la profile cu goluri octogonale și A-A (fig.3.7 d) la profile cu goluri hexagonale.

În secțiunea B-B a montanților cu plăcuțe intermediare a cărei secțiune și modul de rezistență sînt :

$$(3.18) \quad A_{MB} = b \cdot d \quad \text{și} \quad W_{MB} = \frac{d \cdot b^2}{6}$$

iau naștere eforturile unitare normale produse de V_a :

$$(3.19) \quad \sigma_{VB} = \frac{V_m}{A_{MB}} = \frac{Q}{2bd}$$

și de momentul local dat de H_m , care ținînd seama de (3.18) au valoarea :

$$(3.20) \quad \sigma_{HB} = \frac{H_m \cdot h_1}{2W_{MB}} = \frac{3h_1 p}{2db^2(h_1 + y_0)} (2T + Q)$$

precum și eforturile un țare tangențiale produse de la ogle cu :

$$(321) \quad \bar{\sigma}_{HB} = \frac{3Hm}{2A_{MB}} = \frac{3p}{4bd(h_i+y_o)} (2T+Q)$$

Ușorul echivalent rezultat se compoartă cu rezistența admisibilă a sudurii deșezee în secțiunea 1-1 onto adună și condiția de verificare este :

$$(322) \quad \bar{\sigma}_{echB} = \sqrt{\left[\frac{Q}{2bd} + \frac{3hp}{2d^2(h_i+y_o)} (2T+Q) \right]^2 + \frac{27p^2}{16b^2d^2(h_i+y_o)^2} (2T+Q)^2} \leq 0,65 \bar{\sigma}_a$$

în secțiunea 2-2 de la marginea conturului unde acesta se leagă de profilul , și a cărei arie și adăul de rezistență sînt :

$$(323) \quad A_{MA} = d(b+2c) \quad \text{și} \quad W_{MA} = \frac{d(b+2c)^2}{6}$$

iau nastere eforturile unitare normale produse de V_m :

$$(324) \quad \bar{\sigma}_{VA} = \frac{V_m}{A_{MA}} = \frac{Q}{2d(b+2c)}$$

și de momentul local produs de H_m , care au valoarea :

$$(325) \quad \bar{\sigma}_{HA} = \frac{H_m(h_i+2v)}{2W_{MA}} = \frac{3p(h_i+2v)}{2d(h_i+y_o)(b+2c)^2} (2T+Q) \quad \text{pentru} \quad \text{plăci} \quad \text{octogonale}$$

$$(325a) \quad \bar{\sigma}_{HA} = \frac{H_m \cdot v}{W_{MA}} = \frac{3p \cdot v}{d \cdot y_o(b+2c)^2} (2T+Q) \quad \text{pentru} \quad \text{plăci} \quad \text{hexagonale}$$

precum și eforturile unitare tangențiale produse de la ogle cu :

$$(326) \quad \bar{\sigma}_{HA} = \frac{3Hm}{2A_{MA}} = \frac{3p}{4d(h_i+y_o)(b+2c)} (2T+Q) \quad \text{pentru} \quad \text{plăci} \quad \text{octogonale}$$

$$(326a) \quad \bar{\sigma}_{HA} = \frac{3Hm}{2A_{MA}} = \frac{3p}{4d \cdot y_o(b+2c)} (2T+Q) \quad \text{pentru} \quad \text{plăci} \quad \text{hexagonale}$$

Înlocuind aceste condiție de verificare a eforturilor echivalente rezultă condițiile de verificare care se compoartă cu rezistența admisibilă a ogleiului :

- pentru profilele ajurate cu plăci octogonale :

$$(327) \quad \bar{\sigma}_{echA} = \sqrt{\left[\frac{Q}{2d(b+2c)} + \frac{3p(h_i+2v)}{2d(h_i+y_o)(b+2c)^2} (2T+Q) \right]^2 + \frac{27p^2}{16d^2(h_i+y_o)(b+2c)^2} (2T+Q)^2} \leq 1,1 \bar{\sigma}_a$$

- pentru profilele ajurate cu plăci hexagonale :

$$(327a) \quad \bar{\sigma}_{echA} = \sqrt{\left[\frac{Q}{2d(b+2c)} + \frac{3pv}{d \cdot y_o(b+2c)^2} (2T+Q) \right]^2 + \frac{27p^2}{16d^2 \cdot y_o^2(b+2c)^2} (2T+Q)^2} \leq 1,1 \bar{\sigma}_a$$

Dacă grinzile sînt încărcate cu forțe concentraste atunci au și relațiile de verificare (3.22), (3.27) și (3.27a) devin după ce se scote factor :

$$(328) \quad \bar{\sigma}_{echB} = \frac{3pT}{bd(h_i+y_o)} \sqrt{\frac{h_i^2}{b^2} + \frac{3}{4}} \leq 0,65 \bar{\sigma}_a \quad \text{la} \quad \text{plăci} \quad \text{octogonale} \quad \text{în} \quad \text{secțiunea} \quad 2$$

$$(329) \quad \bar{\sigma}_{echA} = \frac{3pT}{d(b+2c)(h_i+y_o)} \sqrt{\frac{(h_i+2v)^2}{(b+2c)^2} + \frac{3}{4}} \leq 1,1 \bar{\sigma}_a \quad \text{la} \quad \text{plăci} \quad \text{octogonale} \quad \text{în} \quad \text{secțiunea} \quad 2$$

$$(329a) \quad \bar{\sigma}_{echA} = \frac{3pT}{d \cdot y_o(b+2c)} \sqrt{\frac{4v^2}{(b+2c)^2} + \frac{3}{4}} \leq 1,1 \bar{\sigma}_a \quad \text{la} \quad \text{plăci} \quad \text{hexagonale}$$

În aceste relații scriind d, ρ, c, v, p se ia ca bază fig.3.1. Variația eforturilor unitare din montanți este indicată în fig.3.8.

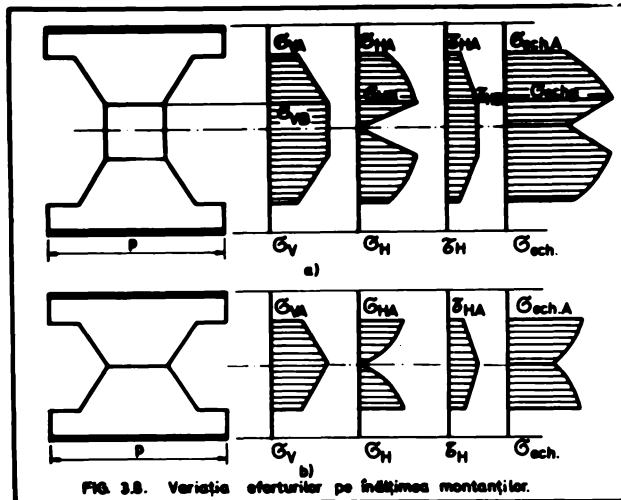


FIG. 3.8. Variația eforturilor pe înălțimea montanților.

3.2.3. Verificarea stabilității montanților ~~în~~ zburate coisquite

Încercările experimentale ale profilurilor zburate au arătat că la anumite rapoarte între înălțimea montanților și grosimea acestora, pierderea capacității de exploatare, a unei grinzi din profile zburate se poate produce și prin pierderea stabilității montanților, în regiunea cu forțe tăietoare mari.

Problema care se pune, în acest caz ca de altfel în toate problemele de stabilitate este aceea a determinării forței tăietoare critice, care produce pierderea stabilității montanților. Pentru profilele cu goluri hexagonale și octogonale ea a fost prezentată de ing. Delesques [23]. În calculul forței tăietoare critice s-a considerat că montantul se răsucește simetric în raport cu mijlocul său, astfel încât una din fiore, înclinată cu unghiul α față de axa verticală a montantului rămâne rectilinie în timp ce alta fibră înclinată cu același unghi β , dar în sens invers, își pierde stabilitatea în afara planului montantului, rămânând însă tangentă la planul median, în dreptul racordurilor cu tălpile profilului dublu T care are o mare rigiditate față de planul vertical (fig.3.9).

Axa verticală a montantului are o deformație ca a fibrei curente dar redusă la jumătate. Deformația montanților este considerată ca fiind produsă de o încoavire și o răsucire, astfel ca un punct aflat la distanța y de axa orizontală a montantului are o deplasare laterală " u " și o rotire " ϵ ".

Pentru determinarea forței tăietoare critice, Delesques-a scris ecuația energetică a egalității variației energiei interne de deformare cu variația lucrului mecanic al forței exterioare H_0 , ajungând la relația de calcul următoare :

$$(3.30) T_{Cr} = 35600 \frac{d^3}{(h_1 + y_0)} \left[1 + \left(1 - 2 \frac{b}{p} \right) \left(1 - 16 \frac{v}{h_1 + y_0} - 2 \frac{h_1}{h_1 + y_0} \right) \right]$$

relație în care toate dimensiunile trebuie introduse în mm.

Pentru verificarea stabilității montanților Delesques dă următoarele indicații :

Se calculează forța tăietoare T_{cr} cu relația (3.30), apoi se calculează o forță tăietoare elastică T_e , determinată din condiția ca aceasta să fie forța tăietoare la care se produce plastificarea montanților datorită forfecării și încovoierii, înainte de a-și pierde stabilitatea.

Această forță tăietoare elastică are diferite valori funcție de h_1 :

$$(3.31) T_e = d \frac{h_1 + y_0}{2} \cdot \frac{(p - b)^2}{3p \left(\frac{h_1}{2} + v \right)} \sigma_e \quad \text{la } h_1 \leq v \frac{3b - p}{p - 2b}$$

$$(3.32) T_e = d \frac{h_1 + y_0}{2} \frac{4(p - b) [2bv - h_1(p - 2b)]}{3pv^2} \sigma_e \quad \text{la } v \frac{3b - p}{p - 2b} h_1 \leq v \frac{p}{p - 2b}$$

$$(3.33) T_e = d \frac{h_1 + y_0}{2} \frac{b^2}{3p \frac{h_1}{2}} \sigma_e \quad \text{la } h_1 \geq v \frac{p}{p - 2b}$$

în care σ_e este limita de elasticitate considerată pentru OL 37 egală cu $\sigma_e = 20 \text{ daN/mm}^2$. Condițiile de verificare sînt :

a) Cînd forța tăietoare din grindă schimbă de semn

$$(3.34) T \leq \frac{2}{3} T_{cr} \quad \text{dacă } T_{cr} \leq T_e$$

$$(3.35) T \leq \frac{T_{cr} + T_e}{2} \quad \text{dacă } T_e \leq T_{cr} \leq 2T_e$$

$$(3.36) T \leq T_e \quad \text{dacă } T_{cr} \geq 2T_e$$

b) Cînd forța tăietoare nu schimbă de semn

$$(3.37) T \leq \frac{2}{3} T_{cr} \quad \text{dacă } T_{cr} \leq \frac{1}{2} T_e$$

$$(3.38) T \leq \frac{T_{cr} + \frac{1}{2} T_e}{2} \quad \text{dacă } \frac{1}{2} T_e \leq T_{cr} \leq \frac{1}{2} T_e$$

$$(3.39) T \leq \frac{1}{2} T_e \quad \text{dacă } T_{cr} \geq \frac{1}{2} T_e$$

Dacă condițiile (3.34) - (3.39) sînt îndeplinite stabilitatea montanților este asigurată în caz contrar, trebuie luate măsuri

de rigidizare a montanților în regiunea forțelor tăietoare maxime.

3.2.4. Verificarea stabilității generale a grinzilor ajurate obișnuite

Grinzile realizate din profile ajurate, deși se deosebesc de profilele laminare prin golurile pe care le au în inimă, au o comportare asemănătoare, de aceea este necesar să se facă unele verificări de la grinzile cu inimă plină. Una din aceste verificări este aceea referitoare la pierderea stabilității generale. Verificarea stabilității generale propusă să se facă numai dacă distanța dintre legăturile transversale ale tălpilor comprimate a acestor grinzi este mai mare de $30 i_y$, i_y fiind raza de girație a tălpilor comprimate în raport cu axa verticală.

Distanța dintre legăturile care asigură stabilitatea generală de $30 i_y$, este mai mică decât la profilele laminare $40 i_y$, deoarece la profilele ajurate legătura inimii cu talpa nu este continuă datorită existenței golurilor. Verificarea stabilității generale a grinzilor ajurate se face cu relația din STAS 763/1-7 pentru grinzile cu inimă plină :

$$(3.40) \quad \sigma = \frac{M_c}{\varphi_y W_{kmed}} \leq \sigma_a$$

în care : M_c - este momentul de calcul al grinzii care se ia după STAS 763/1-7 ;

φ_y - coeficientul de flambaj lateral al tălpilor superioare, funcție de :

$$(3.41) \quad \lambda_y = \frac{l_c}{i_y}$$

l_c - lungimea de calcul care se ia din tabelul 17 ca și M_c - STAS 763/1-71 ;

i_y - raza de girație a tălpilor comprimate dată în anexa 1;

W_{kmed} - modulul de rezistență mediu al întregii secțiuni ;

$$(3.42) \quad W_{kmed} = \frac{2 \cdot I_{xmed}}{H}$$

I_{xmed} - fiind media aritmetică a momentelor de inerție I_1 și I_2 - anexa 2.

În cazul cînd condiția (3.40) nu este satisfăcută, pentru totuși deschiderea grinzii, trebuie să se asigure legături transversale.

Distanța dintre aceste legături, se poate determina în așa fel ca relația (3.40) să fie satisfăcută la limită, lungimea de calcul luîndu-se în acest caz egală cu distanța dintre legături.

3.2.5. Calculul deformațiilor grinzilor ajurate cu goluri hexagonale

Deformațiile elementelor supuse la încovoiere sînt produse de momentul încovoiător și de forța tăietoare. În cazul grinzilor cu inimă plină, realizate din profile laminare sau compuse, la calculul deformațiilor acestor grinzi se neglijează de obicei influența

forței tăietoare, săgeata produsă de aceasta fiind sub 5 % din cea totală.

Acest mod de calcul este justificat de faptul că în cazul acestor grinzi iniua fiind continuă influența forței tăietoare este redusă.

În cazul grinzilor din profile ajurate, spre deosebire de grinzi cu iniua plină, influența forței tăietoare asupra deformațiilor este mult mai mare datorită discontinuității iniui prin golurile orșiate, care fac ca porțiuni mici de iniua să preia forțe de lunecare de pe lungimi mari.

Săgeata totală a grinzilor din profile ajurate poate fi scrisă :

$$(343) \quad f = f_M + f_T \text{ [cm]}$$

în care : f_M - este săgeata grinzilor ajurate produsă de moment ;
 f_T - săgeata grinzilor ajurate produsă de forța tăietoare

3.2.5.1. Săgeata produsă de momentul încovoietor

Săgeata grinzilor realizate din profile ajurate, produsă de momentul încovoietor din grindă se calculează ca și săgeata grinzilor cu iniua plină. Relația de calcul este de formă :

$$(344) \quad f_M = \omega \frac{M_{max} \cdot l^2}{E I_{xmed}} \text{ [cm]}$$

în care :

ω - este un coeficient numeric funcție de încărcare și sistemul static al grinzii. El este dat în diferite lucrări tehnice [3]

M_{max} - este momentul încovoietor maxim din câmp [daN.cm];

l - este deschiderea grinzii [cm]

E - modulul de elasticitate longitudinal daN/cm²

I_{xmed} - momentul de inerție mediu între I_1 și I dat în anexa 2.

3.2.5.2. Săgeata produsă de forța tăietoare

Săgeata produsă de forța tăietoare se calculează, determinînd săgeata medie a unui panou de lungime egală cu pasul, considerat la sfertul deschiderii unei grinzi.

Deformația totală se calculează însumînd deformațiile panourilor pe o jumătate din deschiderea grinzii. Unele indicații în acest sens au fost date în *Werkblatt* [68] și de către Bazile și Texier [10]

Deformația unui panou curent, datorită forței tăietoare la naștere ca urmare a două acțiuni ale acesteia : asupra tălpilor formate din profilele T ce mărginesc golurile, precum și asupra montanților grinzilor formați din platurile dintre goluri. Efectul forței tăietoare din grindă asupra tălpilor și asupra montanților se manifestă atât prin efectul de încovoiere al acestora cit și prin cel de

forfecare.

Săgeata totală verticală, a unui panou de lungime egală cu lungimea pasului "p" este f_4 (fig.3.10) și este datorată acțiunii

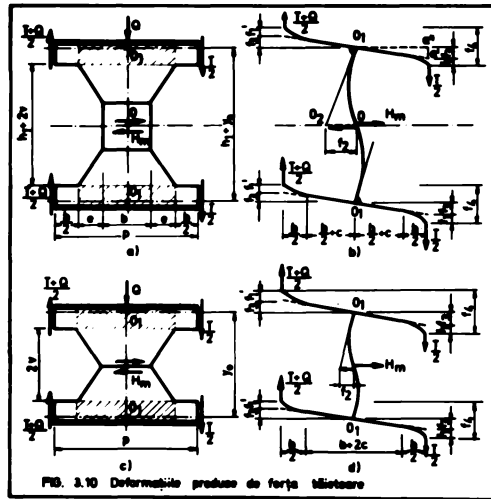


FIG. 3.10 Deformațiile produse de forța tăietoare

forțelor tăietoare $\frac{T+Q}{2}$ și $\frac{T}{2}$, asupra tălpilor și a montantului. Forța tăietoare care se ia în acest calcul este cea de la sfertul deschiderii.

La calculul săgeții se consideră că porțiunea hașurată a tălpilor în dreptul plinurilor, care este comună și montanților, este nedeforabilă sub acțiunea forței tăietoare, astfel că axa acestei porțiuni (fig.3.10) suferă doar o înclinare față de orizontală fără a se deforma.

Săgeata totală f_4 , provine din deformația tălpilor; f_1 și f_1' și din rotirea tălpilor; $2 f_2$ datorită deformației montantului sub influența lui H_a cu deplasarea f_2 a tangentei la axa deformată.

Din fig.3.10 b și 3.10 d rezultă săgeata totală :

$$(3.45) \quad f_4 = f_1 + f_1' + 2f_2$$

Săgețile f_1 și f_1' nu sînt egale deoarece forțele tăietoare nu sînt egale în stînga și dreapta panoului.

1. Săgeata f_1, f_1' provine din deformația porțiunii de talpă de lungime $b/2$ sub acțiunea forței tăietoare $T/2$, considerată ca o consolă.

Ea rezultă din înclinarea a două deforșații : deforșația din

momentul local produs de forța tăietoare și cea din forfecare.

$$(3.46) \quad f_i = f_m + f_n$$

Săgeata din încovoiere și forfecare a profilului T rezultă ca la o consolă

$$(3.47) \quad f_m = \frac{T}{2} \left(\frac{b}{2} \right)^3 \frac{1}{3EI_o} = \frac{T b^3}{48 E I_o}$$

$$(3.48) \quad f_n = \frac{T}{2} \frac{b}{2} \frac{1}{G A_o} = \frac{T b}{4 G A_o}$$

în care A_o și I_o au semnificațiile din capitolul 2 și relația pentru f_1 devine :

$$(3.49) \quad f_1 = \frac{T b}{4} \left(\frac{b^2}{12 E I_o} + \frac{1}{G A_o} \right)$$

Săgeata f_1 a porțiunii din stînga a tălpii se calculează cu o relație identică în care T se înlocuiește cu T+Q adică :

$$(3.50) \quad f'_1 = \frac{(T+Q)b}{4} \left(\frac{b^2}{12 E I_o} + \frac{1}{G A_o} \right)$$

2. Săgeata f_2 este datorită rotirii porțiunii hațurate (fig. 3.10 a și 3.10 c), ca urmare a deformației montantului sub acțiunea forței H_m , și rezultă din asemănarea triunghiurilor OO_1O_2 și $O_1O'O''$

$$(3.51) \quad f_2 = f_2 \frac{p}{h_1 + y_o}$$

Săgeata f_2 se calculează considerînd montantul ca o consolă de deschidere $\frac{h_1}{2} + v$, din încovoierea și forfecarea produsă de H_m .

$$(3.52) \quad f_2 = f_{2m} + f_{2t} \quad \text{în care :}$$

$$(3.53) \quad f_{2m} = \frac{H_m \left(\frac{h_1}{2} + v \right)^3}{3 E I_{mp}} = \frac{p (h_1 + 2v)^3}{48 E I_{mp} (h_1 + y_o)} (2T + Q)$$

Mărimile din aceste relații au semnificațiile cunoscute, iar I_{mp} este momentul de inerție ponderat al montantului. El rezultă calculînd o lățime medie ponderată a montantului, prin împărțirea suprafeței montantului la înălțimea lui

$$(3.54) \quad I_{mp} = \frac{b h_1 + 2(b+c)v}{h_1 + 2v}$$

iar momentul de inerție ponderat al montantului este :

$$(3.55) \quad I_{mp} = \frac{d I_{mp}^3}{12} = \frac{d [b h_1 + 2(b+c)v]^3}{12 (h_1 + 2v)^3}$$

cu care poate fi scrisă valoarea lui f_{2m} :

$$(3.56) \quad f_{2m} = \frac{p (h_1 + 2v)^6}{4 d E (h_1 + y_o) [b h_1 + 2(b+c)v]^3} (2T + Q)$$

iar f_{2t} are valoarea :

$$(3.57) \quad f_{2t} = \frac{H_m \left(\frac{h_1}{2} + v \right)}{G A_{mp}} = \frac{p (h_1 + 2v)}{4 G A_{mp} (h_1 + y_o)} (2T + Q)$$

în care $A_{mp} = d I_{mp}$ este aria medie ponderată iar f_{2t} este :

$$(3.58) f_{21} = \frac{p(h_1+2v)^2}{4Gd(h_1+y)[bh_1+2(b+c)v]}(2T+Q)$$

Cu acestea f_2 este egal cu :

$$(3.59) f_2 = \frac{p(h_1+2v)^2(2T+Q)}{4d(h_1+y)[bh_1+2(b+c)v]} \left\{ \frac{(h_1+2v)^4}{E[bh_1+2(b+c)v]^2} + \frac{1}{G} \right\}$$

și apoi înlocuit din (3.59) în (3.51) rezultă f_3 :

$$(3.60) f_3 = \frac{p^2(h_1+2v)^2(2T+Q)}{4d(h_1+y)^2[bh_1+2(b+c)v]} \left\{ \frac{(h_1+2v)^4}{E[bh_1+2(b+c)v]^2} + \frac{1}{G} \right\}$$

Însumând pe f_1 din (3.49), f_1 din (3.50) și f_3 din (3.60) conform relației 3.45 rezultă săgeata totală f_4 a unui panou sub formă :

$$(3.61) f_4 = \frac{(2T+Q)}{4} \left\{ b \left(\frac{b^2}{12E I_0} + \frac{1}{GA_0} \right) + \frac{p^2(h_1+2v)^2}{d(h_1+y)[bh_1+2(b+c)v]} \left[\frac{(h_1+2v)^4}{E[bh_1+2(b+c)v]^2} + \frac{1}{G} \right] \right\}$$

Săgeata totală a grinzii, produsă de forța tăietoare se calculează înalțind pe f_4 cu numărul panourilor n_p de pe jumătatea deschiderii :

$$(3.62) n_p = \frac{l}{2p}$$

$$(3.63) f_T = \frac{(2T+Q)l}{8p} \left\{ b \left(\frac{b^2}{12E I_0} + \frac{1}{GA_0} \right) + \frac{p^2(h_1+2v)^2}{d(h_1+y)[bh_1+2(b+c)v]} \left[\frac{(h_1+2v)^4}{E[bh_1+2(b+c)v]^2} + \frac{1}{G} \right] \right\}$$

Dacă se ține seama ca $E = 2,6 G$ se poate înlocui G și rezultă :

$$(3.64) f_T = \frac{(2T+Q)l}{8pE} \left\{ b \left(\frac{b^2}{12 I_0} + \frac{2,6}{A_0} \right) + \frac{p^2(h_1+2v)^2}{d(h_1+y)[bh_1+2(b+c)v]} \left[\frac{(h_1+2v)^4}{[bh_1+2(b+c)v]^2} + 2,6 \right] \right\}$$

Aceasta este săgeata din forța tăietoare pentru grinzi cu plăcuțe intermediare decol cu goluri octogonale. Pentru profile ajurate cu goluri hexagonale săgeata f_1 rezultă din (3.64) înlocuind $h_1=0$

$$(3.65) f_T = \frac{(2T+Q)l}{8pE} \left\{ b \left(\frac{b^2}{12 I_0} + \frac{2,6}{A_0} \right) + \frac{2p^2v}{d y_0^2(b+c)} \left[\frac{4v^2}{(b+c)^2} + 2,6 \right] \right\}$$

Săgeata totală a grinzilor din profile ajurate rezultă însumând pe f_1 din relația (3.44) cu f_T din (3.64) și (3.65) cașind relațiile :

- pentru grinzi din profile cu goluri octogonale :

$$(3.66) f = \omega \frac{M_{max} l^2}{E I_{xmed}} + \frac{(2T+Q)l}{8pE} \left\{ b \left(\frac{b^2}{12 I_0} + \frac{2,6}{A_0} \right) + \frac{p^2(h_1+2v)^2}{d(h_1+y)[bh_1+2(b+c)v]} \left[\frac{(h_1+2v)^4}{[bh_1+2(b+c)v]^2} + 2,6 \right] \right\}$$

- pentru grinzi din profile ajurate cu goluri hexagonale :

$$(3.67) f = \omega \frac{M_{max} l^2}{E I_{xmed}} + \frac{(2T+Q)l}{8pE} \left\{ b \left(\frac{b^2}{12 I_0} + \frac{2,6}{A_0} \right) + \frac{2p^2v}{d y_0^2(b+c)} \left[\frac{4v^2}{(b+c)^2} + 2,6 \right] \right\}$$

Înlocuirea formulelor (3.66) și (3.67) pentru calculul săgeților totale nu este atât de complicată, cît s-ar putea să crezi că este necesară un

volu mare de calcul, motiv pentru care se pune problema calculului săgeții totale cu o formulă simplificată. Ținând seama că săgeata grinzilor ajurate produsă de forța tăietoare nu reprezintă mai mult de (3-10)% din cea totală pentru încărcări uniforme distribuite și de (8-20)% pentru încărcări concentrate, pentru calculul practic se poate folosi o formulă simplificată, care înmulțește săgeata din moment cu un coeficient :

$$(3.68) \quad f = K_f \cdot f_M = K_f \cdot \omega \frac{M_{\max} \cdot l^2}{EI_{x \text{ med}}} \leq f_a$$

Coeficientul K_f , ține seama de aportul forței tăietoare asupra săgeții totale și el este funcție de natura încărcărilor, fiind mai mic la încărcări distribuite cînd forța tăietoare la sfert este mică și mai mare la încărcări concentrate, precum și de deschiderea grinzilor. La grinzi cu deschideri mici, momentele sînt mai mici și forțele tăietoare mari și deci săgeata din forța tăietoare este mai mare iar coeficientul K_f scade pe măsură ce crește deschiderea.

În baza unor calcule practice, au fost găsite valorile medii ale lui K_f funcție de natura încărcărilor și de deschidere date în tabelul 3.1.

COEFICIENTUL K_f

Tabelul 3.1

Nr. ord	Felul încărcărilor grinzilor ajurate	Limitele coeficient K_f	Coeficientul K_f funcție de					
			4-6 a	6-8 a	8-10 a	10-12 a	12-14 a	> 14 a
1	Încărcări uniforme distribuite	1,10-1,03	1,10	1,09	1,08	1,06	1,04	1,03
2	Încărcări concentrate	1,20-1,08	1,20	1,18	1,16	1,14	1,11	1,08

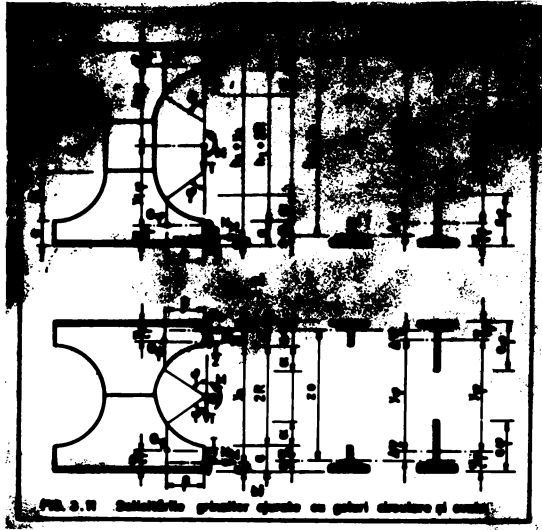
În acest caz verificarea săgeții grinzilor ajurate se face cu relația (3.68) fiind pe K_f din tabelul 3.2 iar săgeata admisă fa din STAS 763/1-71.

3.3. GRINZI DIN PROFILE AJURATE CU GOLURI CIRCULARE ȘI OVALE

Calculul simplificat al grinzilor ajurate cu goluri circulare și ovale, la încoviere dreaptă, se face în mod asemănător cu a celor cu goluri hexagonale sau octogonale, cu unele complicații, datorită formei golurilor, dar cu avantajele economice care decurg din aceasta.

Pentru calculul acestor profile se pleacă tot de la solicitările σ și T din axul golului cel mai solicitat, care se repartizează celor două profile T .

momentul încovoiator "M" se descompune într-un cuplu de două forțe N_M din centrul de greutate al profilelor T din axul golurilor (fig.3.11) egale cu :



$$(3.69) \quad N_M = \frac{M}{h_1 + y_0} \quad \text{pentru profilele cu goluri ovale}$$

$$(3.69a) \quad N_M = \frac{M}{y_0} \quad \text{pentru profilele cu goluri circulare}$$

Forțele N_M din centrul de greutate a profilelor T, produc eforturi de compresie σ în unul din profile și de întindere în celălalt.

Forța tăietoare din centrul de greutate al golului se repartizează în mod egal la cele două profile (fig.3.11).

3.3.1. Calculul de rezistență a tălpilor grinzilor ajutate cu goluri ovale și circulare

3.3.1.1. Calculul eforturilor unitare normale în secțiunea din axul golurilor

La grinzile din profile ajutate cu goluri circulare și ovale există două secțiuni semnificative unde trebuie verificate eforturile unitare normale în tălpi și anume secțiunea din axul golului și o secțiune curentă definită prin unghiul măsurat față de axa golului.

În secțiunea din axul golurilor, eforturile unitare normale, provin numai din forța N_M , iar condițiile de

verificare a acestor eforturi sînt :

$$(3.70) \quad \sigma_0 = \frac{M}{(h_1 + y_0) A_0} \leq \sigma_a \quad \text{pentru goluri ovale}$$

$$(3.70a) \quad \sigma_0 = \frac{M}{y_0 A_0} \leq \sigma_a \quad \text{pentru goluri circulare}$$

Eforturile din secțiunea profilelor T din axul golurilor sînt constante pe toată înălțimea secțiunii.

3.3.1.2. Calculul și verificarea eforturilor unitare normale în secțiunea curentă

Problema calculului eforturilor unitare normale, în secțiunea curentă definită prin unghiul φ , măsurat față de verticala din axul golurilor este mai complicată decît la profilele ajurate obișnuite cu goluri hexagonale, datorită variației înălținii secțiunii pe măsură ce crește unghiul φ . Solicitățile N_M și M din centrul de greutate G_0 al profilului T din axul golurilor, se reduc în raport cu centrul de greutate G_φ al profilului T din secțiunea curentă la două forțe egale cu acestea și la două momente locale produse de cele două forțe în raport cu acest punct (fig. 3.12).

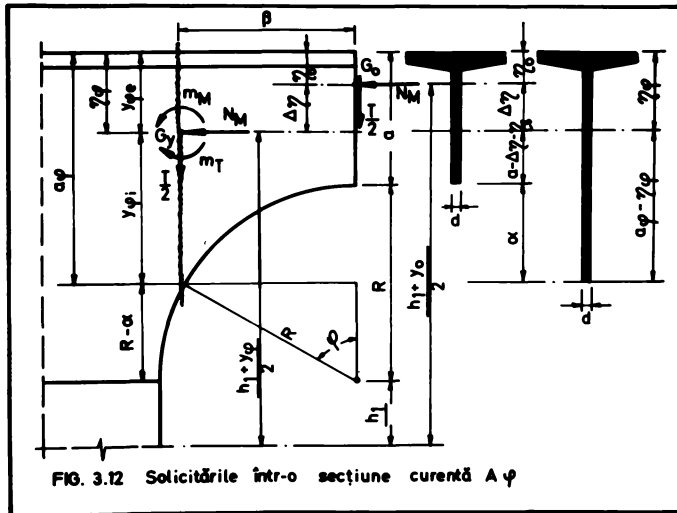


FIG. 3.12 Solicitățile într-o secțiune curentă A φ

Momentul local produs de forța N_M (deci de momentul încovoitor) față de centrul de greutate G_φ al secțiunii curente are valoarea :

$$(3.71) \quad m_{M\varphi} = N_M \cdot \Delta \eta$$

Dacă se înlocuiește N_M din (3.69) și (3.69 a) și $\Delta \eta$ din (2.43) sau (2.44) se obțin relațiile de calcul :

$$(3.72) \quad m_{M\varphi} = \frac{M}{h_1 + y_0} \cdot \frac{d\alpha(\alpha + 2a - 2\eta_0)}{2(A_0 + d\alpha)} \quad \text{pentru goluri ovale}$$

$$(3.72a) \quad m_{M\varphi} = \frac{M}{y_0} \cdot \frac{d\alpha(\alpha+2a-2\eta_0)}{2(A_0+d\alpha)} \quad \text{pentru goluri circulare}$$

sau cu valoarea lui α din (2.41)

$$(3.73) \quad m_{M\varphi} = \frac{M}{h_1+y_0} \cdot \frac{dR(1-\cos\varphi)[R(1-\cos\varphi)+2(a-\eta_0)]}{2[A_0+dR(1-\cos\varphi)]} \quad \text{goluri ovale}$$

$$(3.73a) \quad m_{M\varphi} = \frac{M}{y_0} \cdot \frac{dR(1-\cos\varphi)[R(1-\cos\varphi)+2(a-\eta_0)]}{2[A_0+dR(1-\cos\varphi)]} \quad \text{goluri circulare}$$

Momentul local produs de forța tăietoare $T/2$, are aceeași valoare indiferent de forma golurilor (cu valoarea lui β din 2.42)

$$(3.74) \quad m_{T\varphi} = \frac{T}{2} \beta = \frac{T}{2} R \sin\varphi$$

În aceste condiții eforturile unitare normale σ_{φ} dintr-o secțiune curentă definită prin unghiul φ , provin atât din momentul încovoietor prin forța $N_{M\varphi} = N_M$ și momentul local $m_{M\varphi}$, cât și din forța tăietoare prin $m_{T\varphi}$.

Efortul maxim rezultă și în acest caz în fibra de la interior în care efectul $N_{M\varphi}$ și al momentului $m_{M\varphi}$ se însumează și unde acesta din urmă produce efortul cel mai mare.

Efortul unitar normal produs de momentul încovoietor este egal cu diferența dintre efortul produs de $N_{M\varphi}$ și $m_{M\varphi}$:

$$(3.75) \quad \sigma_{M\varphi} = \sigma_{N_M} - \sigma_{m_M}$$

Cele două eforturi din secțiunea curentă rezultă din relațiile:

$$(3.76) \quad \sigma_{N_M} = \frac{N_M}{A_{\varphi}} = \frac{M}{A_{\varphi}(h_1+y_0)} \quad \text{la goluri ovale}$$

$$(3.76a) \quad \sigma_{N_M} = \frac{N_M}{A_{\varphi}} = \frac{M}{A_{\varphi} y_0} \quad \text{la goluri circulare}$$

$$(3.77) \quad \sigma_{m_M} = \frac{m_{M\varphi}}{W_{\varphi i}} = \frac{M \cdot \Delta\eta}{W_{\varphi i}(h_1+y_0)} \quad \text{la goluri ovale}$$

$$(3.77a) \quad \sigma_{m_M} = \frac{m_{M\varphi}}{W_{\varphi i}} = \frac{M \cdot \Delta\eta}{W_{\varphi i} y_0} \quad \text{la goluri circulare}$$

oare înlocuite în relația (3.75) conduc la:

$$(3.78) \quad \sigma_{M\varphi} = \frac{M}{(h_1+y_0)} \left(\frac{1}{A_{\varphi}} - \frac{\Delta\eta}{W_{\varphi i}} \right) \quad \text{la goluri ovale}$$

$$(3.78a) \quad \sigma_{M\varphi} = \frac{M}{y_0} \left(\frac{1}{A_{\varphi}} - \frac{\Delta\eta}{W_{\varphi i}} \right) \quad \text{la goluri circulare}$$

Dacă se face notația:

$$(3.79) \quad \theta = \frac{1}{A_{\varphi}} - \frac{\Delta\eta}{W_{\varphi i}}$$

relațiile se scriu:

$$(3.80) \quad \sigma_{M\varphi} = \frac{M \cdot \theta}{h_1+y_0} \quad \text{și} \quad \sigma_{M\varphi} = \frac{M \cdot \theta}{y_0}$$

relațiile (3.80) arată că efortul $\sigma_{M\varphi}$ produs de moment în-

tr-o secțiune curentă, este maxim atunci când θ este maxim. Din relația (3.79) se vede că θ este maxim atunci când termenul al doilea este nul, lucru ce se întâmplă când $\Delta\eta=0$, atunci când $\alpha=0$ deci când unghiul $\varphi=0$ adică în axul golurilor.

Pentru a cunoaște variația eforturilor $\sigma_{M\varphi}$, provenind din momentul încovoiator, trebuie cunoscută variația lui θ .

Relația pentru calculul lui θ rezultă dacă se introduce $\Delta\eta$ din (2.43) $A\varphi$ din (2.49) și $\mu\varphi_i$ din (2.56), care după simplificare conduce la :

$$(3.81) \quad \theta = \frac{-2d^2\alpha^4 - 2d[A_0 + 3d(a-\eta_0)]\alpha^3 - 6A_0d(a-\eta_0)\alpha^2 + 12dI_0\alpha + 12A_0I_0}{(A_0 + d\alpha)\{d^2\alpha^4 + 4A_0d\alpha^3 + 12A_0d(a-\eta_0)\alpha^2 + 12d[I_0 + A_0(a-\eta_0)^2]\alpha + 12A_0I_0\}}$$

sau cu valoarea lui α din (2.41) rezultă :

$$(3.82) \quad \theta = \frac{-2d^2R^4(1-\cos\varphi)^4 - 2d[A_0 + 3d(a-\eta_0)]R^3(1-\cos\varphi)^3 - 6A_0d(a-\eta_0)R^2(1-\cos\varphi)^2 + 12dI_0R(1-\cos\varphi) + 12A_0I_0}{[A_0 + dR(1-\cos\varphi)]\{d^2R^4(1-\cos\varphi)^4 + 4A_0dR^3(1-\cos\varphi)^3 + 12A_0d(a-\eta_0)R^2(1-\cos\varphi)^2 + 12dI_0R(1-\cos\varphi) + 12A_0I_0\}}$$

Expresia (3.82) poate fi reprezentată grafic, pentru a defini variația efortului unitar $\sigma_{M\varphi}$. În diagrama din figura 3.13 sînt reprezentate curbele de variație a lui θ pentru valorile medii ale profilelor ajurate conținute din profilele dublu T 20 și 40.

Se constată că θ este cu atît mai mare cu cît este vorba de un profil mai mic, și că valoarea lui θ scade pe măsura creșterii unghiului φ .

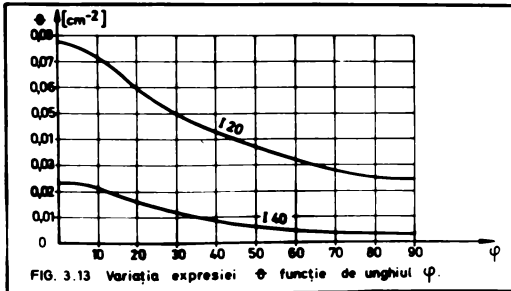


FIG. 3.13 Variația expresiei θ funcție de unghiul φ .

În baza variației lui θ în diagramele din figura 3.14 sînt trasate variațiile eforturilor $\sigma_{M\varphi}$ din moment la profilele cu goluri ovale (fig. 3.14 a) și la cele cu goluri circulare (fig. 3.14 b).

Datorită momentului local produs de forța tăietoare

și exprimat prin relația (3.74), ia naștere un efort unitar normal

$$(3.83) \quad \sigma_{T\varphi} \text{ egal cu : } \sigma_{T\varphi} = \frac{mT\varphi}{W\varphi_i} = \frac{T\beta}{2W\varphi_i}$$

în care β este distanța de la axa golului la secțiunea curentă și poate fi exprimată tot în funcție de α , ținînd seama de fig. 3.12

sub forma :

$$(3.84) \quad \beta = \sqrt{\alpha(2R-\alpha)}$$

Dacă se notează cu :

$$(3.85) \quad \lambda = \frac{\beta}{2W\varphi_i}$$



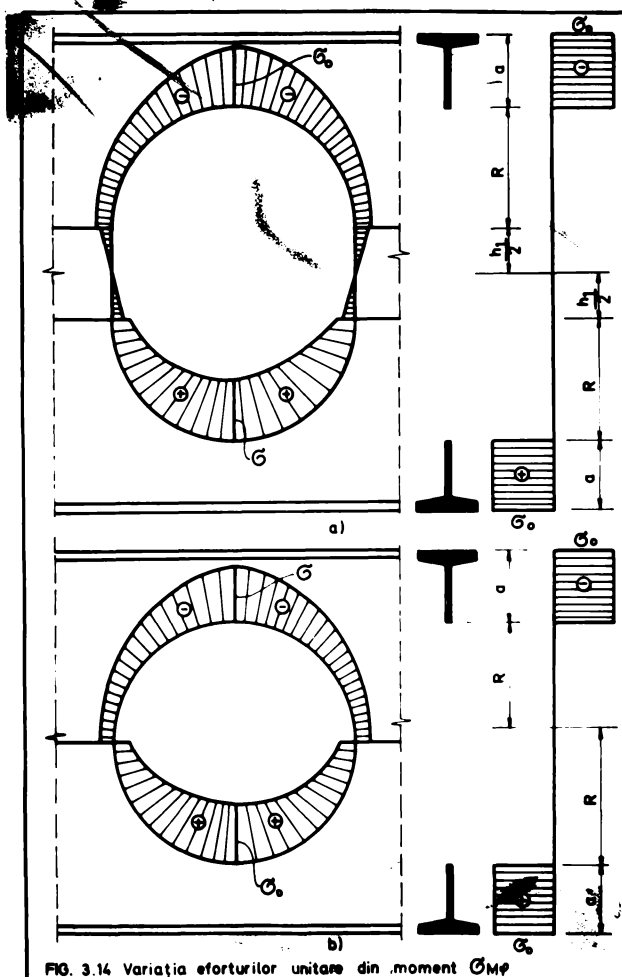


FIG. 3.14 Variația eforturilor unitare din moment M_{φ}

relația de calcul a efortului unitar normal din forța tăietoare devine :

$$(3.86) \quad \sigma_{T\varphi} = T \cdot \lambda$$

pentru a studia variația efortului $\sigma_{T\varphi}$ funcție de unghiul se pune problema ca și la efortul $\sigma_{M\varphi}$, să se studieze variația lui λ deoarece forța tăietoare fiind constantă, variația lui $\sigma_{T\varphi}$ depinde de λ .

Relația lui λ poate fi exprimată funcție de α respectiv de φ dacă se înlocuiește β din (3.84) și W_{φ} din (2.56) și după simplificări se ajunge la expresia :

$$(3.87) \quad \lambda = \frac{3\sqrt{\alpha(2R-\alpha)}[d\alpha^2 + 2A_0\alpha + 2A_0(a-\eta_0)]}{d^2\alpha^4 + 4A_0d\alpha^3 + 12A_0d(a-\eta_0)\alpha^2 + 12d[I_0 + A_0(a-\eta_0)^2]\alpha + 12A_0I_0}$$

sau dacă se înlocuiește α din relația (2.41) și β din (2.42) rezultă

$$(3.88) \quad \lambda = \frac{3R \sin \varphi [d R^2 (1 - \cos \varphi)^2 + 2 A_o R (1 - \cos \varphi) + 2 A_o (a - \eta_o)]}{d^2 R^2 (1 - \cos \varphi)^4 + 4 A_o d R^2 (1 - \cos \varphi)^3 + 12 A_o d (a - \eta_o) R^2 (1 - \cos \varphi)^2 + 12 d [I_o + A_o (a - \eta_o)^2] R (1 - \cos \varphi) + 12 A_o I_o}$$

Expresia (3.88) a lui λ poate fi reprezentată ca și θ în funcție de unghiul φ , ceea ce ajută la o cunoaștere a variației lei $\sigma_{T\varphi}$.

Pentru valorile uzuale medii ale caracteristicilor geometrice a profililor ajurate, în diagrama din figura 3.15 este prezentată variația lui λ în funcție de unghiul φ , pentru două profile caracteristice scoținate din profilele dublu T 20 și 40.

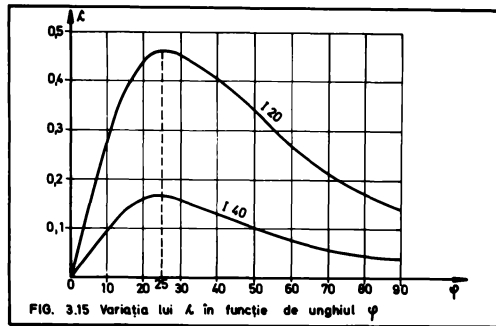


FIG. 3.15 Variația lui λ în funcție de unghiul φ

Expresia " λ " reprezentată în diagramă este maximă pentru unghiuri φ cuprinse între 20-30°. Creșterea rapidă a expresiei λ pentru unghiuri mici se datorează faptului că absenta β se mărește mai repede decât modulul de rezistență W_{φ} pentru astfel de unghiuri.

Eforturile din forța tăietoare cresc deci de la valoarea zero la o valoare maximă pentru un unghi de 20-25° după care scad la o valoare minimă pentru $\varphi = 90^\circ$. Variația eforturilor $\sigma_{T\varphi}$ este dată în fig. 3.16.

Efortul unitar normal însumat din efectul momentului și al forței tăietoare σ_{φ} se obține însumând relațiile (3.85) și (3.86).

În acest fel condițiile de verificare a efortului unitar normal dintr-o secțiune curentă a talpilor pot fi scrise sub forma :

$$(3.89) \quad \sigma_{\varphi} = \frac{M}{h_t y_o} \theta + T \lambda \leq \sigma_a \quad \text{pentru goluri ovale}$$

$$(3.89a) \quad \sigma_{\varphi} = \frac{M}{y_o} \theta + T \lambda \leq \sigma_a \quad \text{pentru goluri circulare}$$

Problema care se pune și în acest caz este de a stabili unde trebuie verificate eforturile în lungul grinzii astfel ca să fie maxime.

Pentru secțiunea minimă din axul golurilor, în care efortul unitar provine numai din momentul încovoietor și se verifică cu relațiile (3.70) și (3.70 a), efortul se va verifica în totdeauna în secțiunea în care momentul încovoietor este maxim.

În ceea ce privește efortul unitar normal din secțiunea cu-

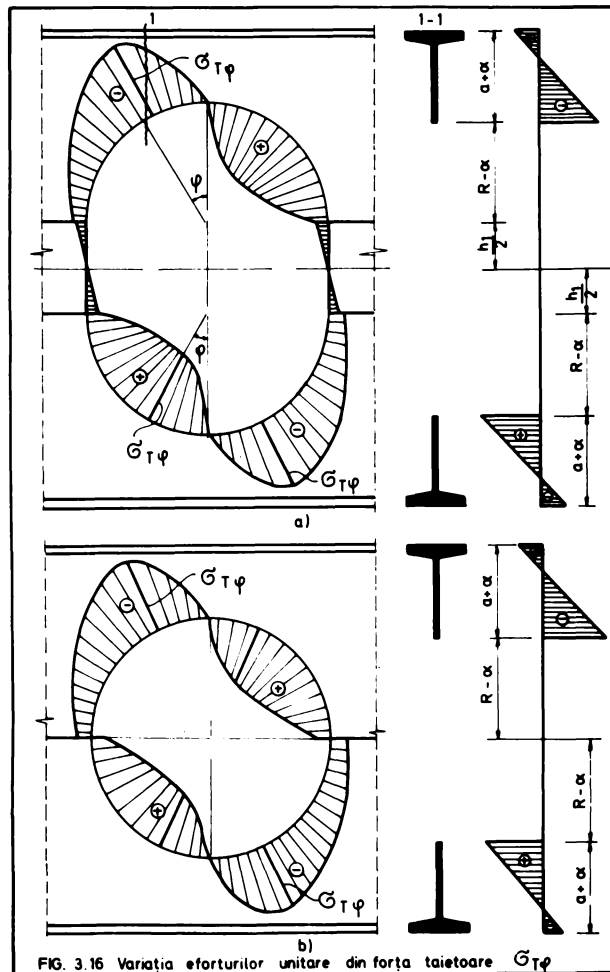


FIG. 3.16 Variația eforturilor unitare din forța tăietoare $\sigma_{T\varphi}$

rentă din jurul golurilor $\sigma_{T\varphi}$, acesta nu poate fi precizat întotdeauna în ce secțiune din lungul grinzii trebuie calculat. Pentru unele încărcări și sisteme statice cum sînt consolele, grinzile simplu rezemate încărcate cu o forță concentrată sau cu două forțe așezate simetric sau grinzile continue, la care momentele și forțele tăietoare sînt maxime în aceeași secțiune, efortul se va verifica în dreptul golului cel mai apropiat de această secțiune. Pentru alte încărcări la care forța tăietoare și momentul sînt maxime în secțiuni diferite, rezolvarea problemei găsirii abscisei z în care efortul însumat este maxim se face pe cale analitică prin anularea derivatei, sau pe cale grafică cu metoda prezentată în fig. 3.5, la care în diagramele din fig. 3.5 d se reprezintă la scară în loc de

1, valoarea $\frac{M\theta}{h_1+y_0}$ sau $\frac{M\theta}{y_0}$ și în loc de $\alpha'T$ sau $\alpha''T$ se reprezintă λT .

Pe cale analitică se procedează ca și la grinzile cu goluri hexagonale și octogonale scriind în funcție de momentul încovoietor și forța tăietoare dintr-o secțiune curentă definită prin abscisa z , efortul unitar σ_φ și apoi se sculează derivata

$$(3.90) \quad \frac{d\sigma_\varphi}{dz} = 0$$

Pentru o grindă simplă rezemată, cu o încărcare uniformă distribuită efortul unitar σ_φ din relația (3.89) poate fi exprimat funcție de momentul și forța tăietoare din secțiunea curentă z sub forma

$$(3.91) \quad \sigma_\varphi = \frac{\theta}{h_1+y_0} \cdot \frac{q}{2} (1z-z^2) + \lambda \frac{q}{2} (1-2z)$$

Derivata funcției este :

$$(3.92) \quad \frac{d\sigma_\varphi}{dz} = \frac{\theta}{h_1+y_0} \cdot \frac{q}{2} (1-2z) - 2\lambda \frac{q}{2}$$

Anulind derivata rezultă z pentru profile cu goluri ovale și

circulare

$$(3.93) \quad z = \frac{1}{2} - \frac{\lambda}{\theta} (h_1+y_0)$$

pentru goluri ovale

$$(3.93a) \quad z = \frac{1}{2} - \frac{\lambda}{\theta} y_0$$

pentru goluri circulare

Expresiile (3.93) și (3.93 a), arată că efortul unitar maxim σ_φ , este funcție de raportul λ/θ , pentru încărcări uniforme distribuite.

Dacă se înlocuiesc valorile lui λ din (3.88) și a lui θ din (3.82) după unele simplificări raportul λ/θ poate fi scris sub forma :

$$(3.94) \quad \frac{\lambda}{\theta} = \frac{3R \sin\varphi [A_0 + dR(1-\cos\varphi)] [dR^2(1-\cos\varphi)^2 + 2A_0R(1-\cos\varphi) + 2A_0(a-\eta_0)]}{2d^2R^4(1-\cos\varphi)^4 + 2dR^3[A_0 + 3d(a-\eta_0)](1-\cos\varphi)^3 + 6A_0dR^2(a-\eta_0)(1-\cos\varphi)^2 + 12dI_0R(1-\cos\varphi) - 12A_0I_0}$$

Expresia (3.94), poate fi reprezentată grafic, diagrama obținută dînd o imagine a modului cum variază abscisa z în lungul grinzii.

Pentru un profil I 20 cu valori medii rezultă diagrama din fig. 3.17.

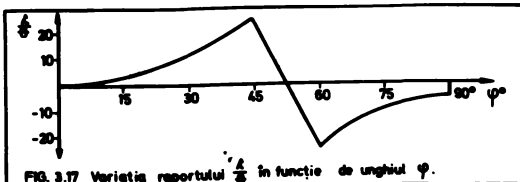


FIG. 3.17 Variația raportului $\frac{\lambda}{\theta}$ în funcție de unghiul φ .

Diagrama din fig. 3.17 arată că pentru $\varphi < 45^\circ$, abscisa z se deplasează înainte de mijlocul grinzii iar pentru $\varphi > 60^\circ$ după aceeași. La unghiuri φ apropiate de 0° și de 90° , la care inflecția lui T este mică, abscisa z tinde spre mijloc.

Pentru unele încărcări este dată în tabelul anexa 4, valoarea abscisei z unde efortul σ_{φ} este maxim, precum și valoarea acestui efort maxim.

3.3.1.3. Stabilirea unghiului φ pentru care efortul însumat $\sigma_{\varphi} = \max$

În cazul grinzilor alcătuite din profile ajurate cu goluri circulare și ovale, așa cum rezultă din relațiile (3.89) și (3.89 a) efortul σ_{φ} variază pe conturul golurilor.

Efortul unitar normal însumat, provenit din forța tăietoare și momentul încovoietor într-o secțiune curentă din jurul golurilor depinde pe de o parte de secțiunea din lungul grinzii unde se calculează, de felul încărcării grinzii ajurate, de mărimea solicitărilor, de geometria golurilor, de deschiderea grinzii și pe de altă parte de unghiul φ la care se calculează acest efort.

Se pune problema în acest caz a determinării secțiunii în care efortul σ_{φ} este maxim. Cum acest efort este funcție atât de unghiul φ cât și de abscisa "z" din lungul grinzii, iar relațiile de calcul sînt deosebit de complicate datorită lui θ și λ , determinarea secțiunii în care efortul este maxim prin anularea a două ecuații cu derivate parțiale este deosebit de complicată și aproape imposibil de rezolvat.

În aceste condiții determinarea abscisei "z" unde efortul însumat σ_{φ} este maxim se face cum s-a arătat în paragraful 3.3.2 analitic sau grafic. Pentru determinarea unghiului φ care definește secțiunea în jurul golurilor în care efortul σ_{φ} este maxim, trebuie ținut seama de variația acestui efort cu unghiul φ . În fig. 3.14 și 3.16 sînt reprezentate variațiile eforturilor unitare produse de moment $\sigma_{M\varphi}$ și de forța tăietoare $\sigma_{T\varphi}$ în jurul golurilor. Așa cum se vede din aceste diagrame și din variațiile lui θ (fig. 3.13) și λ (fig. 3.15) de care depind aceste eforturi, efortul $\sigma_{M\varphi}$ este maxim pentru $\varphi = 0$ deci în axul vertical al golurilor, iar $\sigma_{T\varphi}$ este maxim pentru un unghi $\varphi = 20^{\circ} - 25^{\circ}$ unghi la care parametrul λ are valoarea maximă.

Din suprapunerea celor două eforturi, rezultă că efortul însumat σ_{φ} , este maxim pentru un unghi φ cuprins între $0^{\circ} - 20^{\circ}$, în funcție de aportul pe care-l au fiecare din cele două eforturi asupra efortului total. În aceste condiții ținînd seama că eforturile pot fi maxime în acest interval, de variație a lui φ , înseamnă că pentru ușurarea calculului efortului σ_{φ} cu relațiile (3.89) și (3.89 a) se pot trasa curbele de variație ale lui θ și λ pe intervalul $\varphi = 0^{\circ} - 20^{\circ}$, pentru fiecare profil ajurat provenind din pro-

filele lansate de la 114 pînă la 140. În fig.3.18 sînt trasate curbele de variație ale lui ϕ pentru acest interval, iar în fig.3.19 curbele de variație ale lui λ pentru același interval funcție de φ .

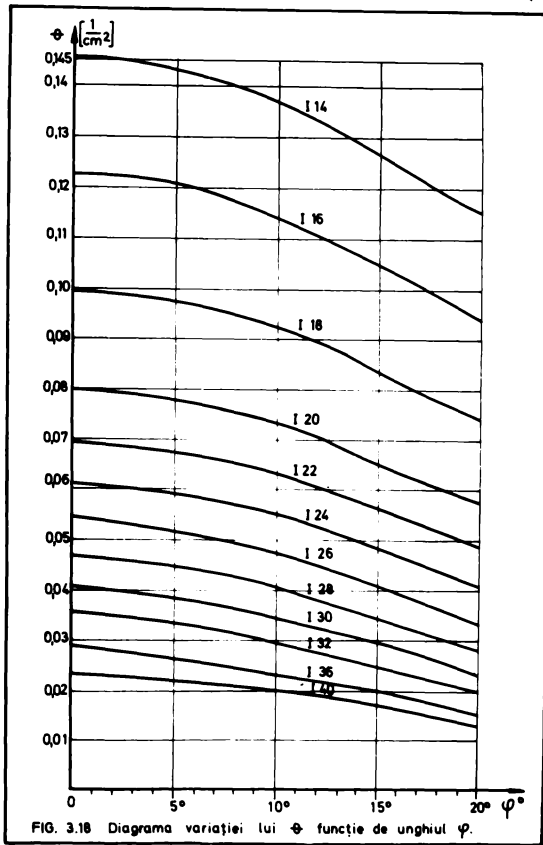


FIG. 3.18 Diagrama variației lui ϕ funcție de unghiul φ .

Notațiile ϕ și λ exprimate în [cm^{-2}], sînt funcție așa cum este arătat de relațiile (3.32) și (3.33) numai de unghiul φ , de raza gurilor și de caracteristicile geometrice ale profililor T de deasupra și de desusul gurilor (a, γ_0, d, A_0, I_0), ceea ce înseamnă că ϕ și λ nu depind de forma gurilor circulară sau ovală fiind aceleași pentru ambele tipuri de profile.

Pentru trasarea acestor curbe în calcul a fost considerată o geometrie a gurilor, luîndu-se valorile medii pentru dimensiunile profilului T și anume $a = h/5$ și $n = h/30$, în funcție de care au fost

determinate razele golurilor. Pentru aceste dimensiuni au fost determinate caracteristicile geometrice ale secțiunii transversale a profilului T cu care au fost calculate valorile lui ϕ și λ din 5 în 5°.

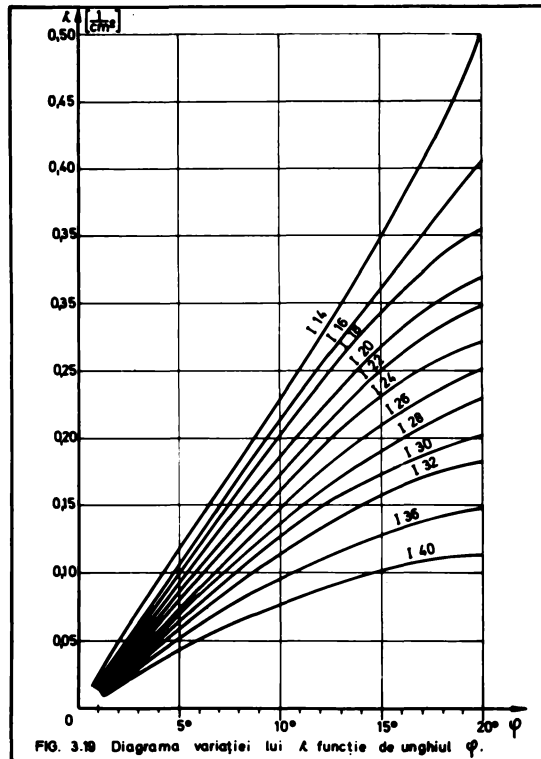


FIG. 3.10 Diagrama variației lui λ funcție de unghiul ϕ .

Trebuie menționat că aceste curbe au aproximativ aceeași valori și dacă se modifică geometria golurilor prin alegerea altor valori pentru dimensiunile "a" și "b" cuprinsă în limitele indicate de relațiile (2.30) și (2.31), deoarece raza golurilor R care este funcție de aceste dimensiuni, intră în relațiile (3.82) a lui ϕ și (3.88) a lui λ atât la numărător cât și la numitor, astfel că abaterea de la aceste curbe este sub (2-3) %.

Autonomia calculului foarte laborios a lui ϕ și λ , pen-

tru verificarea efortului unitar normal σ_φ cu relațiile (3.89) ; (3.89 a) se pot folosi valorile acestor constante luate din diagramele din fig. 3.18 și 3.19.

De fapt pentru intervalul $\varphi = 0^\circ - 20^\circ$ expresiile lui θ și λ din (3.82) și (3.88) pot fi foarte mult simplificate, ținând seama că pentru aceste valori ale lui φ termenii $(1 - \cos \varphi)$ sînt apropiați de zero, astfel încît termenii de gradul 3 și 4 pot fi neglijați atît la numărător cît și la numitor fiind infiniți mici de ordin superior, astfel că în calcul se pot folosi următoarele relații mai simple, cu care se poate calcula θ și λ .

$$(3.95) \theta = \frac{2A_0 I_0 + 2d I_0 R (1 - \cos \varphi) - A_0 d R^2 (a - \eta_0) (1 - \cos \varphi)^2}{2 \{ A_0^2 I_0 + d A_0 R [2 I_0 + A_0 (a - \eta_0)^2] (1 - \cos \varphi) + d^2 R^2 [I_0 + A_0 (a - \eta_0)^2] (1 - \cos \varphi)^2 \}}$$

$$(3.96) \lambda = \frac{R \sin \varphi [A_0 R (1 - \cos \varphi) + A_0 (a - \eta_0)]}{2 \{ A_0 d R^2 (a - \eta_0) (1 - \cos \varphi)^2 + d R [I_0 + A_0 (a - \eta_0)^2] (1 - \cos \varphi) + A_0 I_0 \}}$$

Problema se pune de a stabili pentru care unghi cuprins între $0^\circ - 20^\circ$ suma eforturilor este maximă. Efortul total σ_φ nu depinde numai de φ ci și de moment și forța tăietoare, de aceea, efortul nu este maxim unde suma lui θ și λ este maximă.

În aceste condiții se poate face calculul lui σ_φ cu relațiile (3.89) sau (3.89 a) luînd pe θ și λ din figura 3.18 și 3.19, pentru unghiuri cuprinse între $0^\circ - 20^\circ$ din 5 în 5°.

Se constată însă din calculul practic asupra grinzilor încercate experimental că efortul încuscat σ_φ este maxim, pentru unghiuri cuprinse între $0 - 15^\circ$ funcție de aportul momentului față de forța tăietoare. Pentru calcul se vor lua următoarele unghiuri de calcul:

- pentru grinzi simplu rezemate cu încărcări distribuite

$$\varphi = 5^\circ ;$$

- pentru grinzi simplu rezemate cu încărcări concentrate la care M și T nu sînt maxime în aceeași secțiune dar apropiate de acestea $\varphi = 10^\circ$;

- pentru grinzi simplu rezemate cu forțe concentrate la care M și T sînt maxime în aceeași secțiune sau la grinzi continue $\varphi = 15^\circ$.

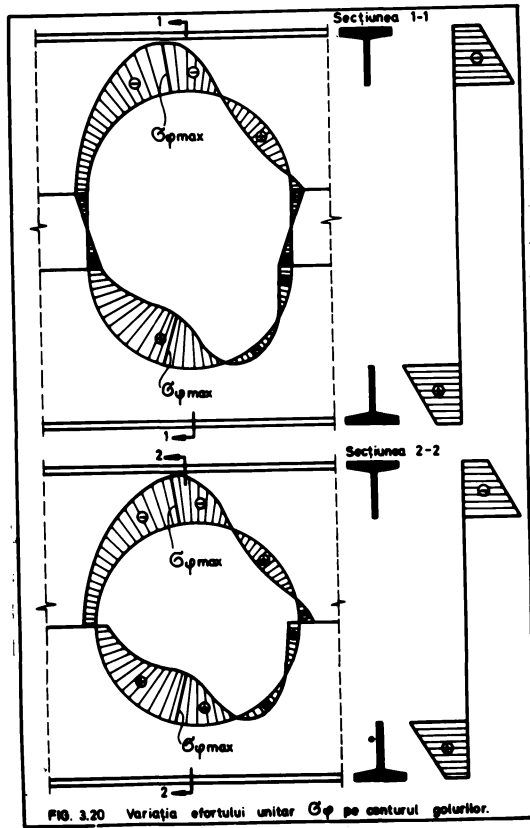
În concluzie la verificarea eforturilor unitare normale în profilele T din dreptul golurilor, în secțiunea din axul golurilor și într-o secțiune curentă trebuie parcurse următoarele etape de calcul :

- se stabilește variația solicitărilor M și T în lungul grinzii prin calcul static .

- Se determină apoi abscisa "z" măsurată în lungul grinzii în care eforturile încuscate σ_φ din moment și forța tăietoare sînt maxime. Această abscisă poate fi determinată cu relații de tipul :

(3.93) sau (3.93 a) sau a celor din tabelul anexa 4 precum și cu metoda grafică descrisă în fig. 3.5, iar în cazul grinzelor la care momentul încovoietor și forța tăietoare sînt maxime în aceeași secțiune, verificarea se face în această secțiune.

Anexa 5



- După determinarea abscisei "z", urmează să fie calculate solicitările-moment și forța tăietoare în secțiunea de abscisă "z" corectată în axul golului cel mai apropiat.

- Verificarea eforturilor unitare normale trebuie făcută în axul golului cel mai apropiat de secțiunea unde momentul încovoietor este maxim și să se verifice σ_0 , precum și în secțiunea curburii a golului de abscisă "z" calculată, în care se verifică efortul unitar normal maxim $G\varphi$.

- Pentru verificarea lui $G\varphi$ se folosesc relațiile (3.89) și (3.89 a) în care variabilele ψ și λ se iau din figura 3.18 și 3.19,

pentru care unghiul φ se ia cu următoarele valori :

$\varphi = 5^\circ$ pentru încălări distribuite ;

$\varphi = 10^\circ$ pentru încălări concentrate ;

$\varphi = 15^\circ$ pentru grinzi la care m și T sînt maxime în aceeași secțiune.

Variația eforturilor unitare σ_φ însumate sînt date în figura 3.20.

3.3.1.4. Verificarea efortului unitar tangențial în tălpi

Verificarea eforturilor unitare tangențiale se face numai în axul golului din secțiunea forței tăietoare maxime, așa cum este arătat la 3.2.1.2.

3.3.1.5. Verificarea eforturilor unitare echivalente

Verificarea eforturilor unitare echivalente se face și la profilele ajurate cu goluri circulare și ovale în axul golului unde efectul lui m și T sînt maxime ca și la profilele ajurate obișnuite cu relațiile din paragraful 3.2.1.3.

3.3.2. Calculul și verificarea de rezistență a montanților grinziilor din profile ajurate cu goluri circulare și ovale

Montanții grinziilor realizate din profile ajurate cu goluri circulare și ovale reprezintă porțiunile pline dintre goluri.

Lățimea minimă a montanților este "b" în axul orizontal al golurilor și maximă "b+2R" în dreptul racordurilor cu tălpi.

Așa cum este arătat la grinziile din profile cu goluri hexagonale, distrugerea grinziilor poate avea loc prin pierderea capacității de rezistență a montanților, lucru ce se poate întîmpla în cazul grinziilor la care forța tăietoare este foarte mare, deoarece efectul forței tăietoare la grinzi din profile ajurate este mai mare ca la profile laminare atît datorită faptului că inima este mai înaltă cît și datorită faptului că T se predă unor porțiuni mici de inimă cuprinse între goluri, de pe lungimi egale cu pasul p al grinzii.

Pentru calculul eforturilor se procedează ca și în cazul profilelor ajurate cu goluri hexagonale. În secțiunea orizontală din axul montanțului iau naștere solicitările din fig. 3.21 b și d, efortul orizontal H_a și vertical V_a .

3.3.2.1. Calculul solicitărilor montanților

Forța tăietoare $T + Q$ din stînga montanțului și T din dreapta se repartizează în mod egal la cele două tălpi. Făcînd o secțiune prin axul orizontal al montanțului, se exteriorizează eforturile interioare H_a și V_a din montant, iselînd jumătatea montanțului, fig. 3.

21 b și d, care se determină din condițiile de echilibru ale acestei jumătăți.

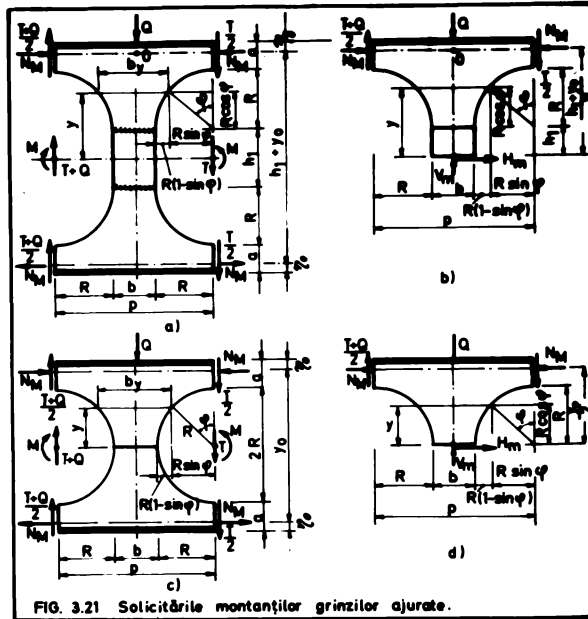


FIG. 3.21 Sollicitările montanților grinzilor ajurate.

Din sumă de proiecții pe verticală se găsește efortul V_a :

$$(3.97) \quad \Sigma V = 0 \quad V_m + \frac{T+Q}{2} - Q - \frac{T}{2} = 0$$

$$(3.98) \quad V_m = \frac{Q}{2} \quad \text{unde } Q = q \cdot p \text{ [daN]}$$

Din ecuația de momente în raport cu punctul "0" de intersecție a axului profilelor T și a montanților (fig.3.21 b) rezultă :

$$(3.99) \quad (\Sigma M)_0 = 0 \quad H_m \frac{h_1+y_0}{2} - \frac{T+Q}{2} \cdot \frac{p}{2} - \frac{T}{2} \frac{p}{2} = 0 \quad \text{de unde :}$$

$$(3.100) \quad H_m = \frac{p}{2(h_1+y_0)} (2T+Q) \quad \text{pentru goluri ovale și}$$

$$(3.100a) \quad H_m = \frac{p}{2y_0} (2T+Q) \quad \text{pentru goluri circulare}$$

3.3.2.2. Calculul eforturilor unitare și verificarea montanților

În cazul montanților profilelor cu goluri ovale, prevăzuți și cu plăcuțe intermediare este necesar ca să se facă o verificare a eforturilor în secțiunea minimă adică la marginea plăcuței intermediare, precum și în secțiunea curentă a porțiunii curbe a montanțului unde efortul este maxim, deoarece la aceste profile efortul unitar nu mai este maxim la racordul montanților cu tălpile, lucru

ce se datorește creșterii mai rapide a lățimii montanțului decât solicitările.

În aceste condiții eforturile unitare se determină la un nivel "y" :

(3.101) $y = \frac{h_1}{2} R \cos \varphi$ la profile cu goluri ovale

(3.101a) $y = R \cos \varphi$ la profile cu goluri circulare

la care lățimea "D_m" a montanțului este :

(3.102) $D_m = b + 2R(1 - \sin \varphi)$

iar aria secțiunii "A_m" și modulul de rezistență "W_m" a montanțului sînt :

(3.103) $A_m = d[b + 2R(1 - \sin \varphi)]$

(3.104) $W_m = \frac{d[b + 2R(1 - \sin \varphi)]^2}{6}$

în care "d" este grosimea inimii "b" lățimea minimă a montanților "R" raza golurilor iar φ - unghiul ce definește secțiunea curentă.

Forțele de legătură "H_m" și "V_m" dau naștere în secțiunile montanților în care se face verificarea, unor eforturi unitare normale σ și unor eforturi unitare tangențiale τ .

Astfel din efortul vertical V_m (3.98) iau naștere, pe porțiunea de lățime constantă "b" eforturile unitare normale maxime :

(3.105) $\sigma_v = \frac{Q}{2bd}$

iar în secțiunea curentă definită prin abscisa y (3.101) eforturile unitare :

(3.106) $\sigma_v = \frac{V_m}{A_m} = \frac{Q}{2d[b + 2R(1 - \sin \varphi)]}$

efort care este maxim pentru $\varphi = 90^\circ$ unde are valoarea din (3.105) și minim pentru $\varphi = 0^\circ$ la racordul cu talpa unde are valoarea :

(3.107) $\sigma_v = \frac{Q}{2d(b + 2R)}$

Din forța de legătură orizontală "H_m" calculată în axul orizontal al montanților, iau naștere atât eforturi unitare normale din momentul pe care-l produce față de secțiunea curentă de ordonată y, cât și eforturi unitare tangențiale din forfecare τ_H .

În cazul profilelor ajurate cu goluri ovale la jumătatea plăcuțelor intermediare iau naștere din H_m eforturile :

(3.108) $\sigma_{H1} = \frac{H_m \cdot h_1}{2 \cdot W_m} = \frac{3p \cdot h_1 (2T + Q)}{2b^2 d (h_1 + y_0)}$

(3.109) $\tau_{H1} = \frac{3}{2} \cdot \frac{H_m}{A_m} = \frac{3p (2T + Q)}{4bd (h_1 + y_0)}$

iar la profilele ajurate cu goluri circulare $h_1 = 0$, în axul montanților $\sigma_{H1} = 0$ iar τ_{H1} are valoarea :

(3.109a) $\tau_{H1} = \frac{3p (2T + Q)}{4bdy_0}$

Într-o secțiune curentă de la nivelul y la profilele ajurate cu goluri ovale iau naștere din H_m eforturile :

$$(3.110) \quad \sigma_H = \frac{H_m \cdot y}{W_m} = \frac{3p(2T+Q)(h_1+2R \cos \varphi)}{2d(h_1+y_0)[b+2R(1-\sin \varphi)]^2}$$

$$(3.111) \quad \zeta_H = \frac{3}{2} \frac{H_m}{A_m} = \frac{3p(2T+Q)}{4d(h_1+y_0)[b+2R(1-\sin \varphi)]^2}$$

care la profilele ajurate cu goluri circulare devin :

$$(3.110 a) \quad \sigma_H = \frac{3p(2T+Q)R \cos \varphi}{dy_0[b+2R(1-\sin \varphi)]^2}$$

$$(3.111 a) \quad \zeta_H = \frac{3p(2T+Q)}{4dy_0[b+2R(1-\sin \varphi)]^2}$$

Efortul σ_H dat de relațiile (3.108), (3.110) și (3.110 a) este variabil pe înălțimea montantului fiind egal cu 0 (zero) în axa montantului, crescînd apoi liniar pe înălțimea plăcuței intermediare la profilele cu goluri ovale, după care pe porțiunile curbe ale montanților variază parabolic, avînd un maxim la un unghi φ , după care scade, fiind minim pentru $\varphi = 0$.

Pentru a determina unghiul φ ce definește nivelul y la care efortul unitar normal σ_H este maxim, se anulează derivata lui (3.110) în raport cu φ :

$$(3.112) \quad \frac{d\sigma_H}{d\varphi} = \frac{3p(2T+Q)}{2d(h_1+y_0)} \frac{2R(-\sin \varphi)[b+2R(1-\sin \varphi)]^2 - (h_1+2R \cos \varphi)[b+2R(1-\sin \varphi)](-2R \cos \varphi)}{[b+2R(1-\sin \varphi)]^4} = 0$$

Anulînd numărătorul și scoțînd factor se ajunge la relația:

$$(3.113) \quad 2R[b+2R(1-\sin \varphi)] \{ 2 \cos \varphi (h_1+2R \cos \varphi) - \sin \varphi [b+2R(1-\sin \varphi)] \} = 0$$

Prima termen al acestei ecuații are soluția imposibilă :

$$(3.114) \quad \sin \varphi = \frac{b}{2R} + 1 > 1$$

Al doilea termen al ecuației poate fi scris sub forma :

$$(3.115) \quad 4R \cos^2 \varphi + 2R \sin^2 \varphi + 2h_1 \cos \varphi - (b+2R) \sin \varphi = 0$$

O soluție aproximativă a ecuației (3.115), altfel greu de rezolvat datorită coeficienților literari se poate obține dacă se exprimă b și h_1 funcție de R prin relațiile :

$$(3.116) \quad b = 0,8R \quad h_1 = R$$

valori ce sînt apropiate de valorile uzuale medii și se ajunge la:

$$(3.117) \quad 4 \cos^2 \varphi + 2 \sin^2 \varphi - 2 \cos \varphi - 2,8 \sin \varphi = 0$$

care dacă este exprimată funcție de $\frac{\varphi}{2} = t$ devine :

$$(3.118) \quad t^4 - 2,8t^2 - 2,8t + 3 = 0$$

a cărei soluție reală este :

$$(3.119) \quad \frac{\varphi}{2} = 35^\circ \quad \text{deci} \quad \varphi = 70^\circ$$

Efortul unitar tangențial ζ_H este maxim pe înălțimea plăcuței intermediare h_1 la profilele cu goluri ovale, respectiv în axul golurilor la profilele cu goluri circulare, după care scade pe măsură ce crește y respectiv scade φ , fiind minime la partea supe-

ricară a montanților. Variația acestor eforturi este reprezentată în figura 3.22.

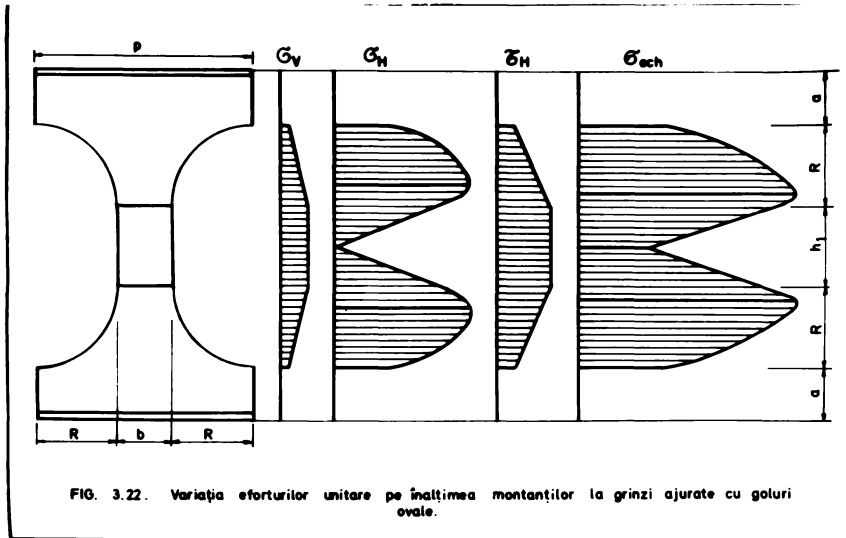


FIG. 3.22. Variația eforturilor unitare pe înălțimea montanților la grinzi ajurate cu goluri ovale.

Condițiile de verificare a eforturilor unitare normale și tangențiale din secțiunea curentă a montanților pot fi scrise :

$$(3.120) \quad \sigma_v \leq \sigma_a ; \sigma_H \leq \sigma_a ; \sigma_H \leq 0,6 \sigma_a \quad \text{și}$$

$$\sigma_{ech} = \sqrt{(\sigma_v + \sigma_H)^2 + 3 \sigma_H^2} \leq 1,1 \sigma_a$$

Acste condiții pot fi scrise pentru secțiunea de la marginea plăcuței intermediare, la profile ajurate cu goluri ovale sub forma:

$$(3.121) \quad \sigma_{vI} = \frac{Q}{2bd} \leq \sigma_a$$

$$(3.122) \quad \sigma_{HI} = \frac{3ph_1(2T+Q)}{2b^2d(h_1+y_0)} \leq \sigma_a$$

$$(3.123) \quad \sigma_{HI} = \frac{3p(2T+Q)}{4bd(h_1+y_0)} \leq 0,6 \sigma_a$$

$$(3.124) \quad \sigma_{ech1} = \frac{1}{2bd} \sqrt{\left[Q + \frac{3ph_1(2T+Q)}{b(h_1+y_0)} \right]^2 + \frac{27p^2(2T+Q)^2}{4(h_1+y_0)^2}} \leq \sigma_a$$

Pentru o secțiune curentă a montanților așlată la distanța y de axă, verificarea eforturilor la profile cu goluri ovale se face cu relațiile :

$$(3.125) \quad \sigma_v = \frac{Q}{2d[b+2R(1-\sin\varphi)]} \leq \sigma_a$$

$$(3.126) \quad \sigma_H = \frac{3p(2T+Q)(h_1+2R\cos\varphi)}{2d(h_1+y_0)[b+2R(1-\sin\varphi)]^2} \leq \sigma_a$$

$$(3.127) \quad \sigma_{HI} = \frac{3p(2T+Q)}{4d(h_1+y_0)[b+2R(1-\sin\varphi)]} \leq 0,6 \sigma_a$$

$$(3.128) \quad \sigma_{ech} = \frac{1}{2d[b+2R(1-\sin\varphi)]} \sqrt{\left\{ Q + \frac{3p(2T+Q)(h_1+2R\cos\varphi)}{h_1+y_0[b+2R(1-\sin\varphi)]} \right\}^2 + \frac{27p^2(2T+Q)^2}{4(h_1+y_0)^2}} \leq 1,1 \sigma_a$$

Eforturile calculate cu relațiile (3.125) - (3.128), pot fi reprezentate grafic și conduc la diagramele din fig.3.22.

Verificarea eforturilor unitare într-o secțiune curentă definită prin ordonata "y" respectiv prin unghiul φ , cu relațiile (3.125) la (3.128), înfruntă dificultăți deoarece fiecare efort unitar este maxim pentru alte unghiuri φ și deci ar trebui calculate eforturile la diferite unghiuri, pentru verificarea eforturilor independente și a celui echivalent.

Pentru simplificarea calculului eforturilor unitare și a verificării condițiilor de rezistență, eforturile dintr-o secțiune curentă de ordonată y pot fi exprimate funcție de eforturile de la marginea plăcuței intermediare notate cu indicele 1. În acest caz relațiile de verificare (3.125) - (3.128) pot fi scrise dacă se fac următoarele notații astel :

$$(3.129) \quad \xi_1 = \frac{b}{b+2R(1-\sin\varphi)} \quad \text{relația (3.125) devine } \sigma_v = \xi_1 \sigma_{v1} \leq \sigma_a$$

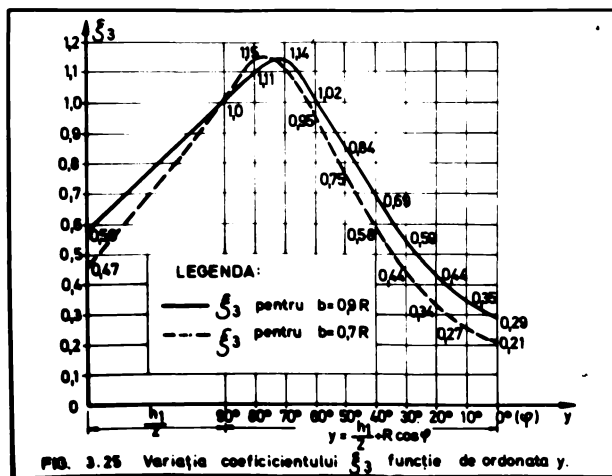
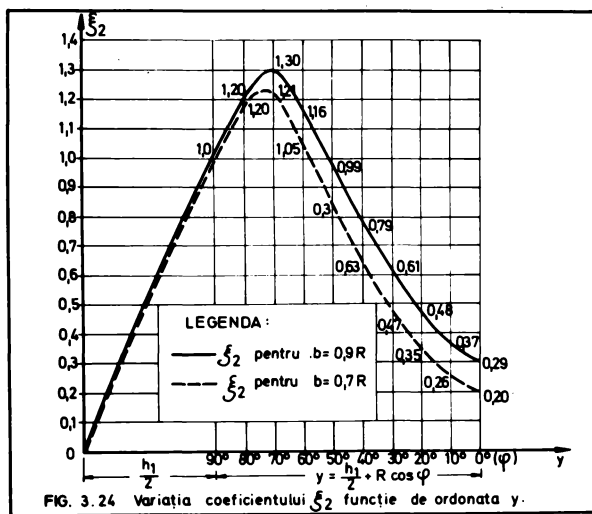
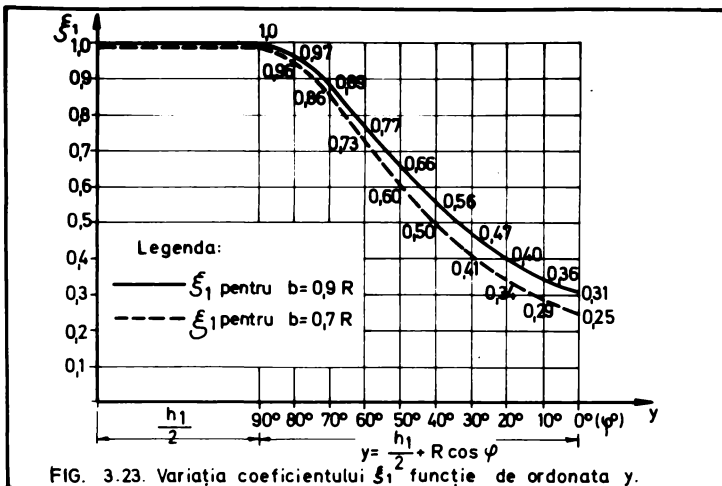
$$(3.130) \quad \xi_2 = \frac{b^2(h_1+2R\cos\varphi)}{h_1[b+2R(1-\sin\varphi)]^2} \quad \text{și relația (3.127) devine } \sigma_{HI} = \xi_1 \sigma_{HI1} \leq 0,6 \sigma_a$$

$$(3.131) \quad \xi_3 = \frac{b}{b+2R(1-\sin\varphi)} \sqrt{\left[1 + \frac{b(h_1+2R\cos\varphi)}{h_1[b+2R(1-\sin\varphi)]} \right]^2 + \frac{3}{b+2R(1-\sin\varphi)}}$$

relația (3.128) de verificare a efortului echivalent devine

$$\sigma_{ech} = \xi_3 \sigma_{ech1} \leq 1,1 \sigma_a$$

Coefficienții adimensionali ξ_1 , ξ_2 și ξ_3 pot fi reprezentați în diagrame în funcție de ordonata y respectiv de φ .



Pentru reprezentare au fost considerate valorile uzuale pentru dimensiunile și anume $h_1 = R$ iar pentru lățimea b s-au luat două valori $b = 0,9 R$ și $b = 0,7 R$, curbele fiind trasate pentru cele două valori ale lui b . Înlocuind pe h_1 și b funcție de R relațiile (3.129) - (3.131) rămân funcție doar de unghiul φ și au alura din figurile (3.23), (3.24) și (3.25).

Diferența între valorile coeficienților calculați pentru cele două valori ale lui b este mică, iar pentru alte valori se interpolează liniar.

Având valorile coeficienților adimensionali ξ_1 , ξ_2 și ξ_3 , se pot calcula foarte ușor eforturile unitare la ori ce unghi φ , în așa fel ca să se obțină eforturile maxime, cu relațiile (3.129), (3.130), (3.131).

Pentru profile ajurate cu goluri circulare eforturile în montanți se calculează cu relații ce pot fi obținute din relațiile (3.125), (3.126), (3.127) și (3.128), făcându-se $h_1 = 0$ și rezultă relațiile de verificare :

$$(3.132) \quad \sigma_v = \frac{Q}{2d [b+2R(1-\sin\varphi)]} \leq \sigma_a$$

$$(3.133) \quad \sigma_H = \frac{6pR(2T+Q) \cos\varphi}{2dy_0 [b+2R(1-\sin\varphi)]} \leq \sigma_a$$

$$(3.134) \quad \tau_H = \frac{3p(2T+Q)}{4py_0 [b+2R(1-\sin\varphi)]} \leq 0,6 \sigma_a$$

$$(3.135) \quad \sigma_{ech} = \frac{1}{2d [b+2R(1-\sin\varphi)]} \sqrt{\left[Q + \frac{6pR(2T+Q) \cos\varphi}{y_0 [b+2R(1-\sin\varphi)]} \right]^2 + \frac{27p^2(2T+Q)^2}{4y_0^2}} \leq 1,1 \sigma_a$$

Efortul σ_v este maxim pentru $\varphi = 90^\circ$ și minim pentru $\varphi = 0^\circ$, iar efortul σ_H este maxim la un unghi φ care poate fi determinat anulând derivata expresiei (3.133) care conduce la ecuația :

$$(3.136) \quad 2 \sin^2 \varphi + 3 \sin \varphi - 4 = 0$$

a cărei soluție este :

$$(3.137) \quad \sin \varphi = \frac{-3 + \sqrt{41}}{4} \approx 0,86 \quad \text{cu} \quad \varphi = 60^\circ$$

În aceste condiții efortul σ_H care este hotărâtor în general în calcul se calculează pentru unghiul $\varphi = 60^\circ$. La verificarea cu (3.135) se ia același unghi φ pentru toate eforturile. ξ_H este maxim în axa orizontală pentru $\varphi = 90^\circ$. Variația acestor eforturi este dată în fig. 3.26.

3.3.3. Verificarea stabilității montanților

Solicitările interioare ale montanților sînt produse de forța tăietoare.

Prin creșterea forței tăietoare peste o anumită valoare, care poartă denumirea de forță tăietoare critică, la anumite rapoarte

dintre înălțimea montanților și lățimea respectiv grosimea lor se produce pierderea stabilității montanților.

Determinarea forței tăietoare critice se poate face considerând materialul perfect elastic, folosind metoda energetică.

Așa cum este arătat și la profilele ajurate cu goluri hexagonale și octogonale, pierderea stabilității montanților se produce prin răsucirea simetrică a acestora în jurul axei lor, astfel încât o fibră inclinată cu unghiul α față de axă spre stînga sau dreapta (în figură spre stînga) rămîne dreaptă în planul vertical al montanțului nedeforimat, în timp ce altă fibră inclinată cu același unghi α dar în cealaltă parte (în figură spre dreapta), își pierde stabilitatea, rămînd tangență la planul inițial nedeforimat, în dreptul racordului inițial cu talpa, racord care se consideră aproximativ în dreptul centrelor de greutate a profilelor P din dreptul golurilor (fig. 3.27)

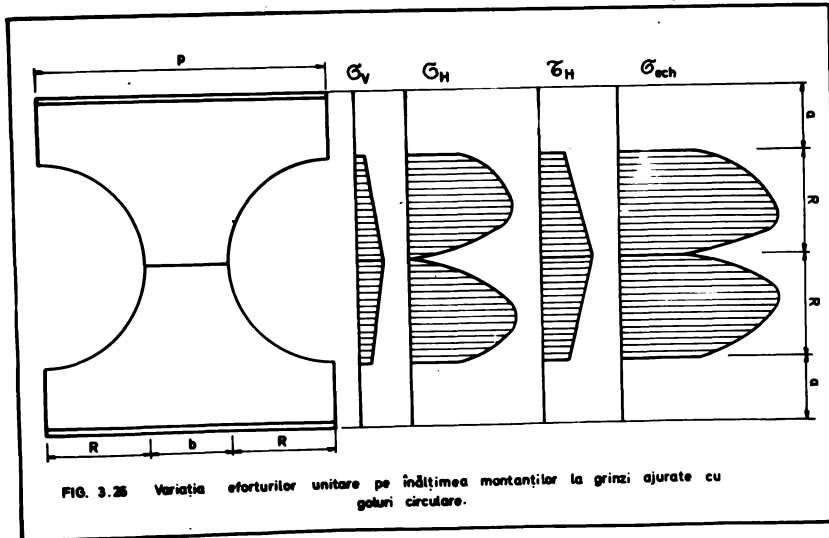


FIG. 3.25 Variația eforturilor unitare pe înălțimea montanților la grinzi ajurate cu goluri circulare.

Axa verticală a montantului are și ea o deformație prin pierderea stabilității ca și fibra înclinată, cu o amplitudine redusă la jumătate.

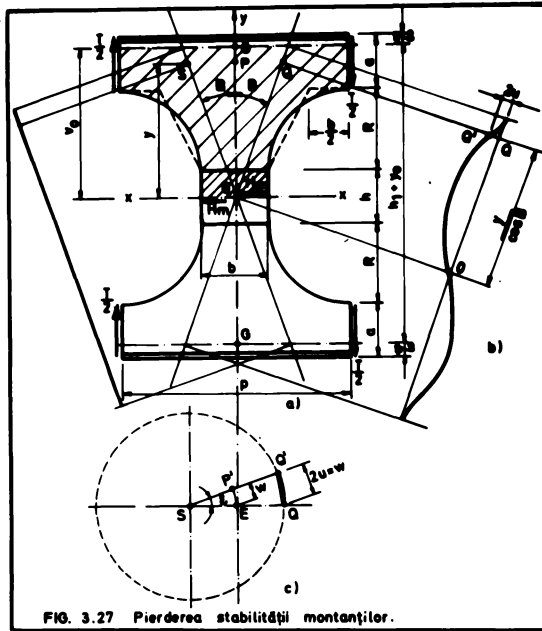


FIG. 3.27 Pierderea stabilității montanților.

Calculul forței tăietoare critice este prezentat pentru profile ajurate cu goluri ovale și apoi particularizat pentru cele cu goluri circulare.

Deformația unei fibre curente înclinată cu unghiul β , ca și a axei montantului în raport cu planul inițial al montantului este rezultatul suprapunerii a două deformații elementare din încovășire și răsucire. Un punct P de pe axă verticală, aflat la distanța y de axa orizontală a acestuia, are o deplasare transversală "u" perpendiculară pe planul median și o rotație datorită răsucirii cu unghiul "ε" ca în fig.3.27.

Din figura 3.27 pot fi exprimate următoarele seguențe :

$PQ=PS=P'Q'-P'S'=y \cdot t g \beta$ din triunghiul OPQ (fig.3.27 a)

$SQ=2PQ=2y \cdot t g \beta$

(3.138) $QQ' = 2u$

din triunghiul SQQ' (fig.3.27 c)

$PP' = \frac{QQ'}{2} = u$

Rotația "ε" datorită răsucirii fibrei, poate fi determinată din triunghiul SQQ' , considerind coarda QQ' perpendiculară pe SQ deoarece ε este mic

(3.139) $\epsilon = t g \epsilon = \frac{QQ'}{SQ} = \frac{u}{y \cdot t g \beta}$

Ecuația energetică din care se determină forța tăietoare critică se scrie egalând energia internă de deformație cu lucrul mecanic al forțelor exterioare

$$(3.140) \quad \Delta W = \Delta L$$

Pentru scrierea acestor expresii se consideră că pe lățimea montanților forța tăietoare este constantă.

În acest caz forța considerată exterioară care soliciță montantul în secțiunea din axa orizontală (punctul O fig.3.27) este H_m

$$(3.141) \quad H_m = \frac{T \cdot p}{2 v_0}$$

v_0 fiind distanța între axele montantului și tălpii iar p - pasul.

3.3.3.1. Calculul variației energiei interne de deformație

Variația energiei interne de deformație se calculează ținând seama de încovoierea și răsucirea fibrei curente.

Timosenko dă în teoria stabilității elastice [6] următoarea relație pentru calculul energiei de deformație a unei bare între punctele y_1 și y_2 :

$$(3.142) \quad \Delta W = \frac{1}{2} \int_{y_1}^{y_2} EI \left(\frac{d^2 u}{dy^2} \right)^2 dy + \frac{1}{2} \int_{x_0}^{x_1} GJ \left(\frac{d\theta}{dy} \right)^2 dy$$

în care : E și G sînt moduli de elasticitate longitudinali și transversali iar I și J sînt momentele de inerție la încovoiere și răsucire egale cu :

$$(3.143) \quad I = \frac{b m \cdot d^3}{12} ; \quad J = \frac{b m \cdot d^3}{3}$$

Între E și G există legătura exprimată prin relația :

$$(3.144) \quad G = \frac{E}{2,6}$$

Pentru calculul energiei interne de deformație se alege o funcție " $u(y)$ " care să satisfacă condițiile de margine, impuse de cele două deformări încovoierea și răsucirea fibrei și anume :

- a) la mijlocul înălțimii montantului deformația este nulă

$$(3.145) \quad u = 0 \quad \text{pentru } y = 0$$

- b) deplasările sînt egale și de semn contrar pentru puncte simetrice

$$(3.146) \quad u = -u' \quad \text{pentru } y = -y'$$

- c) la racordul montantului cu tălpile, deplasarea și rotația axei sînt nule

$$(3.147) \quad u = 0 \quad \frac{du}{dy} = 0 \quad \text{pentru } y = \frac{h_r + y_0}{2} = v_0$$

Funcția $u(y)$, care satisface cel mai bine aceste condiții este cea propusă de Belosques [2] care cu notațiile din figura 3.27 este

$$(3.148) \quad u(y) = u_0 \left(\frac{y}{v_0} - 2 \frac{y^3}{v_0^3} + \frac{y^5}{v_0^5} \right)$$

Relația de calcul a energiei interne de deformație poate fi scrisă dacă se ține seama de relațiile (3.139), (3.143) și (3.144) sub forma :

$$(3.149) \quad \Delta W = \frac{E d^3}{24} \int_{y_0}^{y_1} b m \left(\frac{d^2 u}{d y^2} \right)^2 dy + \frac{E d^3}{15,6 \text{tg}^2 B} \int_{y_0}^{y_1} b m \left[\frac{d \left(\frac{u}{y} \right)}{d y} \right]^2 dy$$

În relația (3.149) în afara funcției "u" și lățimea montantului "bm" este funcție de ordonata y, pe porțiunea circulară a montanților.

Exprimarea lățimii variabile "bm" pe porțiunea circulară a montantului în funcție de ordonata y se face cu o relație complicată, care înmulțită cu derivatele funcției "u", duce la expresii ce nu pot fi integrate.

În aceste condiții se face o simplificare, considerind variația liniară a lățimii montantului (liniile punctate din fig. 3.27), diferența între cele două variații fiind mică, deoarece lățimile se compensează.

Lățimea montantului "bm" se ia în acest caz astfel :

$$(3.150) \quad b m = b \quad \text{pentru } 0 \leq y \leq \frac{h_f}{2}$$

$$(3.151) \quad b m = \left(2 - \frac{b}{R} \right) y + \left(b - h_f + \frac{d h_f}{2R} \right) \quad \text{pentru } \frac{h_f}{2} \leq y \leq \frac{h_f}{2} + R$$

$$(3.152) \quad b m = b + 2R \quad \text{pentru } \frac{h_f}{2} + R \leq y \leq v_0$$

În relația (3.149) intervin derivatele funcției "u" și "ε" care este funcție de raportul u/y, la pătrat care pot fi scrise sub forma :

$$(3.153) \quad \left[\frac{d^2 u}{d y^2} \right]^2 = \left[\frac{4 u_0}{v_0^3} \left(\frac{5 y^3}{v_0^2} - 3 y \right) \right]^2 = \frac{16 u_0^2}{v_0^6} \left(\frac{25 y^6}{v_0^4} - \frac{30 y^4}{v_0^2} + 9 y^2 \right)$$

iar pentru u/y egal cu :

$$(3.154) \quad \frac{u}{y} = u_0 \left(\frac{1}{v_0} - 2 \frac{y}{v_0^3} + \frac{y^4}{v_0^6} \right)$$

pătratul derivatei este :

$$(3.155) \quad \left[\frac{d \left(\frac{u}{y} \right)}{d y} \right]^2 = \left[\frac{4 u_0}{v_0^3} \left(\frac{y^3}{v_0^2} - y \right) \right]^2 = \frac{16 u_0^2}{v_0^6} \left(\frac{25 y^6}{v_0^4} - \frac{30 y^4}{v_0^2} + 9 y^2 \right)$$

În calculul energiei cu relația (3.149) trebuie introduse două tipuri de integrale : din derivatele funcției (3.153) și (3.155) și din produsul acestora cu ordonata y care provine din lățimea bm a montantului și sînt :

$$(3.156) \quad \int_0^y \left(\frac{d^2 u}{d y^2} \right)^2 dy = \frac{16 u_0^2}{v_0^6} \left(\frac{25}{7} \frac{y^7}{v_0^2} - 6 \frac{y^5}{v_0^2} + 3 \frac{y^3}{v_0^2} \right) \Big|_0^y$$

$$(3.157) \quad \int_0^y y \left(\frac{d^2 u}{d y^2} \right)^2 dy = \frac{16 u_0^2}{v_0^6} \left(\frac{25}{8} \frac{y^8}{v_0^2} - 5 \frac{y^6}{v_0^2} + \frac{9}{4} \frac{y^4}{v_0^2} \right) \Big|_0^y$$

$$(3.158) \quad \int_0^y \left[\frac{d \left(\frac{u}{y} \right)}{d y} \right]^2 dy = \frac{16 u_0^2}{v_0^6} \left(\frac{1}{7} \frac{y^7}{v_0^2} - \frac{2}{5} \frac{y^5}{v_0^2} + \frac{1}{3} \frac{y^3}{v_0^2} \right) \Big|_0^y$$

$$(3.159) \quad \int_0^y y \left[\frac{d \left(\frac{u}{y} \right)}{d y} \right]^2 dy = \frac{16 u_0^2}{v_0^6} \left(\frac{1}{8} \frac{y^8}{v_0^2} - \frac{1}{3} \frac{y^6}{v_0^2} + \frac{1}{4} \frac{y^4}{v_0^2} \right) \Big|_0^y$$

Cu aceste expresii introduse în relația (3.149) și ținând seama de lățimea om pe cele trei intervale rezultă energia interioară, dacă se înlocuiesc limitele de integrare și se fac unele simplificări scoțind factori după cum urmează :

1. Pentru intervalul $0 \leq y \leq \frac{h_1}{2}$ unde $bm = 0$

$$(3.160) \quad \Delta W_1 = \frac{2bd^3 u_0^2 E}{3v_0^3} \left[\left(\frac{25}{896} \cdot \frac{h_1^7}{v_0^7} - \frac{3}{16} \cdot \frac{h_1^5}{v_0^5} + \frac{3}{8} \cdot \frac{h_1^3}{v_0^3} \right) + \frac{1}{0,65 \text{ tg}^2 B} \left(\frac{1}{896} \cdot \frac{h_1^7}{v_0^7} - \frac{1}{80} \cdot \frac{h_1^5}{v_0^5} - \frac{1}{24} \cdot \frac{h_1^3}{v_0^3} \right) \right]$$

2. Pentru intervalul $\frac{h_1}{2} \leq y \leq \frac{h_1}{2} + R$ unde $om = (2 - \frac{b}{R})y + (b - h_1 + \frac{bh_1}{2R})$

$$(3.161) \quad \Delta W_2 = \frac{2d^3 u_0^2 E}{3v_0^3} \left\{ \left(2 - \frac{b}{R} \right) \left[\frac{25}{8v_0^7} \left(\frac{h_1}{2} + R \right)^8 - \frac{5}{v_0^5} \left(\frac{h_1}{2} + R \right)^6 + \frac{9}{4v_0^3} \left(\frac{h_1}{2} + R \right)^4 \right] - \left(2 - \frac{b}{R} \right) \left(\frac{25}{8v_0^7} \cdot \frac{h_1^8}{256} - \frac{5}{v_0^5} \cdot \frac{h_1^6}{64} + \frac{9}{4v_0^3} \cdot \frac{h_1^4}{16} \right) + \left(b - h_1 + \frac{bh_1}{2R} \right) \left[\frac{25}{7v_0^7} \left(\frac{h_1}{2} + R \right)^7 - \frac{6}{v_0^5} \left(\frac{h_1}{2} + R \right)^5 + \frac{3}{v_0^3} \left(\frac{h_1}{2} + R \right)^3 \right] - \left(b - h_1 + \frac{bh_1}{2R} \right) \left(\frac{25}{7v_0^7} \cdot \frac{h_1^7}{128} - \frac{6}{v_0^5} \cdot \frac{h_1^5}{32} + \frac{3}{v_0^3} \cdot \frac{h_1^3}{8} \right) + \frac{1}{0,65 \text{ tg}^2 B} \left[\left(2 - \frac{b}{R} \right) \left[\frac{1}{8v_0^7} \left(\frac{h_1}{2} + R \right)^8 - \frac{1}{3v_0^5} \left(\frac{h_1}{2} + R \right)^6 + \frac{1}{4v_0^3} \left(\frac{h_1}{2} + R \right)^4 \right] - \left(2 - \frac{b}{R} \right) \left(\frac{1}{8v_0^7} \cdot \frac{h_1^8}{256} - \frac{1}{3v_0^5} \cdot \frac{h_1^6}{64} + \frac{1}{4v_0^3} \cdot \frac{h_1^4}{16} \right) + \left(b - h_1 + \frac{bh_1}{2R} \right) \left[\frac{1}{7v_0^7} \left(\frac{h_1}{2} + R \right)^7 - \frac{2}{5v_0^5} \left(\frac{h_1}{2} + R \right)^5 + \frac{1}{3v_0^3} \left(\frac{h_1}{2} + R \right)^3 \right] - \left(b - h_1 + \frac{bh_1}{2R} \right) \left(\frac{1}{7v_0^7} \cdot \frac{h_1^7}{128} - \frac{2}{5v_0^5} \cdot \frac{h_1^5}{32} + \frac{1}{3v_0^3} \cdot \frac{h_1^3}{8} \right) \right] \right\}$$

3. Pentru intervalul $\frac{h_1}{2} + R \leq y \leq v_0$ în care $bm = b + 2R$

$$(3.162) \quad \Delta W_3 = \frac{2d^3 u_0^2 E}{3v_0^3} \left\{ (b + 2R) \left(\frac{25}{7} \cdot \frac{v_0^7}{v_0^7} - 6 \frac{v_0^5}{v_0^5} + 3 \frac{v_0^3}{v_0^3} \right) - (b + 2R) \left[\frac{25}{7v_0^7} \left(\frac{h_1}{2} + R \right)^7 - \frac{6}{v_0^5} \left(\frac{h_1}{2} + R \right)^5 + \frac{3}{v_0^3} \left(\frac{h_1}{2} + R \right)^3 \right] + \frac{1}{0,65 \text{ tg}^2 B} \left[(b + 2R) \left(\frac{1}{7} \cdot \frac{v_0^7}{v_0^7} - \frac{2}{5} \cdot \frac{v_0^5}{v_0^5} + \frac{1}{3} \cdot \frac{v_0^3}{v_0^3} \right) - (b + 2R) \left[\frac{1}{7v_0^7} \left(\frac{h_1}{2} + R \right)^7 - \frac{2}{5v_0^5} \left(\frac{h_1}{2} + R \right)^5 + \frac{1}{3v_0^3} \left(\frac{h_1}{2} + R \right)^3 \right] \right] \right\}$$

Cu aceste valori variația energiei totale de deformare este

$$(3.163) \quad \Delta W = \Delta W_1 + \Delta W_2 + \Delta W_3$$

Dacă după ce se reduc termenii asemenea din (3.163) se fac

notațiile :

$$(3.164) \quad U_1 = b \left(\frac{25}{896} \cdot \frac{h_1^7}{v_0^7} - \frac{3}{16} \cdot \frac{h_1^5}{v_0^5} + \frac{3}{8} \cdot \frac{h_1^3}{v_0^3} \right) + \left(2 - \frac{b}{R} \right) \left[\frac{25}{8v_0^7} \left(\frac{h_1}{2} + R \right)^8 - \right.$$

$$\begin{aligned}
 & - \frac{5}{v_0^5} \left(\frac{h_1}{2} + R \right)^6 + \frac{9}{4 v_0^3} \left(\frac{h_1}{2} + R \right)^4 - \frac{25}{2048} \cdot \frac{h_1^8}{v_0^2} + \frac{5}{64} \cdot \frac{h_1^6}{v_0^5} - \frac{9}{64} \cdot \frac{h_1^4}{v_0^3} \Bigg] + \\
 & + (b - h_1 + \frac{bh_1}{2R}) \left[\frac{25}{7v_0^7} \left(\frac{h_1}{2} + R \right)^7 - \frac{6}{v_0^5} \left(\frac{h_1}{2} + R \right)^5 + \frac{3}{v_0^3} \left(\frac{h_1}{2} + R \right)^3 - \frac{25}{896} \cdot \frac{h_1^7}{v_0^2} + \right. \\
 & \left. + \frac{3}{16} \cdot \frac{h_1^5}{v_0^5} - \frac{3}{8} \cdot \frac{h_1^3}{v_0^3} \right] + (b + 2R) \left[\frac{4}{7} - \frac{25}{7v_0^2} \left(\frac{h_1}{2} + R \right)^7 + \frac{6}{v_0^5} \left(\frac{h_1}{2} + R \right)^5 - \frac{3}{v_0^3} \left(\frac{h_1}{2} + R \right)^3 \right] \\
 (3.165) \quad V_1 = & b \left(\frac{1}{896} \cdot \frac{h_1^7}{v_0^2} - \frac{1}{80} \cdot \frac{h_1^5}{v_0^5} + \frac{1}{24} \cdot \frac{h_1^3}{v_0^3} \right) + \left(2 - \frac{b}{R} \right) \left[\frac{1}{8 v_0^2} \left(\frac{h_1}{2} + R \right)^6 - \right. \\
 & - \frac{1}{3 v_0^5} \left(\frac{h_1}{2} + R \right)^4 + \frac{1}{4 v_0^3} \left(\frac{h_1}{2} + R \right)^4 - \frac{1}{2048} \cdot \frac{h_1^8}{v_0^2} + \frac{1}{192} \cdot \frac{h_1^6}{v_0^5} - \frac{1}{64} \cdot \frac{h_1^4}{v_0^3} \Bigg] + \\
 & + (b - h_1 + \frac{bh_1}{2R}) \left[\frac{1}{7 v_0^7} \left(\frac{h_1}{2} + R \right)^7 - \frac{2}{5 v_0^5} \left(\frac{h_1}{2} + R \right)^5 + \frac{1}{3 v_0^3} \left(\frac{h_1}{2} + R \right)^3 - \frac{1}{896} \cdot \frac{h_1^7}{v_0^2} + \right. \\
 & \left. + \frac{1}{80} \cdot \frac{h_1^5}{v_0^5} - \frac{1}{24} \cdot \frac{h_1^3}{v_0^3} \right] + (b + 2R) \left[\frac{8}{105} - \frac{1}{7 v_0^2} \left(\frac{h_1}{2} + R \right)^7 + \frac{2}{5 v_0^5} \left(\frac{h_1}{2} + R \right)^5 - \frac{1}{3 v_0^3} \left(\frac{h_1}{2} + R \right)^3 \right]
 \end{aligned}$$

relația (3.163) poate fi scrisă sub forma :

$$(3.166) \quad \Delta W = \frac{2 d^2 u_0^2 E}{3 v_0^3} \left(U_1 + \frac{V_1}{0,65 t g^2 B} \right)$$

Relațiile de calcul (3.164) și (3.165) a notațiilor U_1 și V_1 necesită un volum mare de calcul de aceea pentru calculul practic ele se pot simplifica dacă se înlocuiește h_1, z_0 și v_0 funcție de R și anume :

$$(3.167) \quad h_1 \approx R, \quad z_0 \approx 4R \quad \text{și} \quad v_0 \approx \frac{5R}{2}$$

cînd aceste notații devin egale cu :

$$(3.168) \quad U_1 = 0,90R + 0,43b$$

$$(3.169) \quad V_1 = 0,29R + 0,05b$$

3.3.3.2. Calculul variației lucrului mecanic al forțelor exterioare

Din triunghiul isoscel OSQ (fig.3.28) rezultă relațiile :

$$(3.170) \quad x = \frac{y}{\cos B} \quad \text{și} \quad l_0 = \frac{v_0}{\cos B}$$

Făcînd raportul distanțelor x și l_0 , rezultă ordonata y .

$$(3.171) \quad y = \frac{x \cdot v_0}{l_0}$$

Tinînd seama și de figura 3.27 o se vede că :

$$(3.175) \quad w = 2 \mu$$

în care dacă este înlocuit u , rezultă deplasarea fibrei curente :

$$(3.176) \quad w = 2 u_0 \left(\frac{y}{v_0} - 2 \frac{y^3}{v_0^3} + \frac{y^5}{v_0^5} \right)$$

sau dacă este înlocuit y din (3.171) în (3.176) rezultă :

$$(3.177) \quad w = 2 u_0 \left(\frac{x}{l_0} - 2 \frac{x^3}{l_0^3} + \frac{x^5}{l_0^5} \right)$$

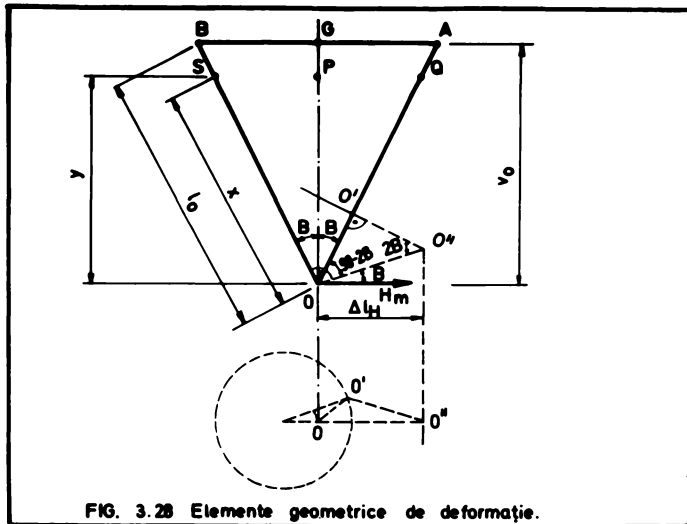


FIG. 3.28 Elemente geometrice de deformatie.

Scurtarea fibrei OA înclinată cu unghiul B , care se deformează cu w în sens transversal poate fi calculată cu relația :

$$(3.178) \quad \Delta l = \frac{1}{2} \int_0^{l_0} \left(\frac{dw}{dx} \right)^2 dx$$

în care patratul derivatei lui w se poate scrie :

$$(3.179) \quad \left(\frac{dw}{dx} \right) = \frac{4u_0^2}{l_0^2} \left(1 - 12 \frac{x^2}{l_0^2} + 46 \frac{x^4}{l_0^4} - 60 \frac{x^6}{l_0^6} + 25 \frac{x^8}{l_0^8} \right)$$

iar prin integrare, după înlocuirea limitelor de integrare rezultă scurtarea :

$$(3.180) \quad \Delta l = \frac{256 u_0^2}{315 l_0}$$

ce nu este în planul vertical deoarece fibra OA este deformată cu U și ε .

Pentru a scrie lucrul mecanic și efortului H_m considerat ca forță extensivă, este necesar să se cunoască proiecția scurtării din (3.180) pe direcția orizontală a lui H_m .

Ținând cont de figura 3.28 în care $\Delta l = OO'$ aflat într-un plan deformat, proiecția scurtării în plan vertical este OO'' :

$$(3.181) \quad OO'' = \frac{OO'}{\sin 2B} = \frac{\Delta l}{\sin 2B} = \frac{\Delta l}{2 \sin B \cos B}$$

iar proiecția pe orizontală a mărării OO'' (fig. 3.28) este :

$$(3.182) \quad \Delta l_H = OO'' \cos B = \frac{\Delta l}{2 \sin B}$$

Înlocuind pe Δl din (3.180) și apoi pe Δl_H din (3.17c) rezul-

$$(3.183) \quad \Delta l_H : \Delta l_H = \frac{128 u_0^2}{315 l_0 \sin B} = \frac{128 u_0^2}{315 v_0 \operatorname{tg} B}$$

variația lucrului mecanic exterior poate fi scrisă :

$$(3.184) \quad \Delta L = H_m \cdot \Delta l_H = \frac{64 u_0^2 p T}{315 v_0^2 \operatorname{tg} B}$$

introducând pe ΔW din (3.155) și pe ΔL din (3.184) ecuația

(3.140) devine :

$$(3.185) \quad \frac{2d^3 u_0^2 E}{3 v_0^3} \left(U_1 + \frac{V_1}{0,65 \operatorname{tg}^2 B} \right) = \frac{64 u_0^2 p T}{315 v_0^2 \operatorname{tg} B}$$

Făcînd simplificările posibile din această ecuație rezultă

forța tăietoare :

$$(3.186) \quad T = \frac{105 d^3 E}{32 p v_0} \left(U_1 \operatorname{tg} B + \frac{V_1}{0,65 \operatorname{tg} B} \right)$$

Forța tăietoare critică la care se produce pierderea stabilității montanților, este valoarea minimă a forței tăietoare din (3.186) și rezultă anulînd derivata lui T în raport cu B.

Termenul din față fiind constant derivata parantezei este :

$$(3.187) \quad \frac{dT}{dB} = \frac{U_1}{\cos^2 B} - \frac{V_1}{0,65 \sin^2 B} = U_1 \operatorname{tg}^2 B - \frac{V_1}{0,65} = 0 \quad \text{și}$$

$$(3.188) \quad \operatorname{tg} B = \sqrt{\frac{V_1}{0,65 U_1}}$$

care introdus în relația (3.186) conduce la :

$$(3.189) \quad T_{cr} = \frac{105 d^3 E}{32 p v_0} \left(U_1 \sqrt{\frac{V_1}{0,65 U_1}} + \frac{V_1}{0,65} \sqrt{\frac{0,65 U_1}{V_1}} \right) \quad \text{sau la :}$$

$$(3.190) \quad T_{cr} = \frac{105 d^3 E}{16 \sqrt{0,65} \cdot p \cdot v_0} \sqrt{U_1 V_1}$$

în care dacă se înlocuiește modulul de elasticitate $E = 21 \cdot 10^6 \frac{daN}{cm^2}$

rezultă :

$$(3.191) \quad T_{cr} = \frac{17 \cdot 10^6 d^3}{p v_0} \sqrt{U_1 V_1} \quad [daN]$$

În această relație dimensiunile profilului ajurat d, p, v_0 se introduc în ea, iar U_1 și V_1 sînt expresiile (3.164) și (3.165).

O valoare aproximativă a forței tăietoare critice rezultă dacă se folosesc valorile lui U_1 și V_1 din (3.168 și 3.169) în care se ia $b = 0,8 R$:

$$(3.192) \quad \sqrt{U_1 V_1} = 0,65 R \quad \text{și :}$$

$$(3.193) \quad T_{cr} = \frac{11 \cdot 10^6 R \cdot d^3}{p \cdot v_0} \quad [daN]$$

Dacă se înlocuiește $v_0 = \frac{h_1 + y_0}{2}$ rezultă pentru profile cu gîluri ovale :

$$(3.194) \quad T_{cr} = \frac{22 \cdot 10^6 R \cdot d^3}{p(h_1 + y_0)} \quad [daN]$$

iar pentru profile ajurate cu gîluri circulare cu $h_1 = 0$ rezultă :

$$(3.194 a) \quad T_{cr} = \frac{22 \cdot 10^6 R \cdot d^3}{p y_0} \quad [daN]$$

3.3.3.3. Calculul forței tăietoare admisibile elastice

Pentru verificarea stabilității elastice a montanților se determină o forță tăietoare admisibilă elastică și se compară cu forța tăietoare reală.

Din forța de legătură H_H , considerînd T constant ($Q=0$) rezultă din 3.126 și 3.127 :

$$(3.195) \quad \bar{\sigma}_H = \frac{3pT(h_1 + 2R \cos \varphi)}{d(h_1 + y_0)[b + 2R(1 - \sin \varphi)]^2}$$

$$(3.196) \quad \sigma_H = \frac{3pT}{2d(h_1+y_0)[b+2R(1-\sin\varphi)]}$$

Efortul σ_H așa cum s-a arătat este maxim pentru $\varphi = 70^\circ$ și are valoarea :

$$(3.197) \quad \sigma_H = \frac{3pT(h_1+0,68R)}{d(h_1+y_0)(b+0,12R)^2}$$

Iar σ_H este maxim pentru $\varphi = 90^\circ$ cu valoarea :

$$(3.198) \quad \sigma_H = \frac{3pT}{2b \cdot d(h_1+y_0)}$$

Punind condițiile $\sigma_H = \sigma_c$ și $\sigma_H = 0,6\sigma_c$ rezultă forța tăietoare admisibilă din înecoaiere (din 3.197) și din forfecare (din 3.198)

$$(3.199) \quad T_a^i = \frac{d(h_1+y_0)(b+0,12R)^2}{3p(h_1+0,68R)} \sigma_c$$

$$(3.200) \quad T_a^f = \frac{0,4bd(h_1+y_0)}{p} \sigma_c$$

Înlocuind $b = 0,8R$ și $\sigma_c = 2400 \text{ daN/cm}^2$ relațiile (3.199) și (3.200) devin :

$$(3.201) \quad T_a^i = \frac{d(h_1+y_0)R}{6p} \sigma_c = \frac{400d(h_1+y_0)R}{p}$$

$$(3.202) \quad T_a^f = \frac{dR(h_1+y_0)}{3p} \sigma_c = \frac{800d(h_1+y_0)R}{p}$$

Pentru profile cu goluri circulare în aceste relații se face $h_1 = 0$.

3.3.3.4. Condițiile de verificare a stabilității montanților

Dacă se egalează forța tăietoare critică cu valoarea maximă a forței tăietoare admisibile din relația (3.202) rezultă :

$$(3.203) \quad \frac{22 \cdot 10^6 R \cdot d^3}{p(h_1+y_0)} = \frac{800d(h_1+y_0)R}{p}$$

din care poate fi scos raportul $\frac{h_1+y_0}{d}$ la care cele două sînt egale :

$$(3.204) \quad \frac{h_1+y_0}{d} = 166$$

Luînd un coeficient de siguranță $C = 1,6$ dat în STAS 763/1.71 se poate scrie condiția care exprimă raportul dintre dimensiunile inului la care nu se produce pierderea stabilității :

$$(3.204a) \quad \frac{h_1+y_0}{d} \leq 104$$

Dacă această condiție este îndeplinită nu este necesară verificarea stabilității montanților, aceasta fiind asigurată.

În caz că relația (3.204 a) nu este îndeplinită verificarea stabilității montanților propun să se facă cu relațiile :

$$(3.205) \quad cT \leq T_a^i \quad \text{dacă } T_{ai} \leq T_{cr}$$

$$(3.206) \quad cT \leq T_{cr} \quad \text{dacă } T_{cr} < T_{ai}$$

unde T_{ai} se ia din (3.201), T_{cr} din (3.194), T din calculul static și C din STAS 763-71.

Dacă condiția (3.206) nu este satisfăcută este necesar să se ia măsuri de rigidizare a montanților în zona forței tăietoare maxi-

se așa cum este arătat în capitolul 8.

3.3.4. Calculul deformațiilor grinzilor din profile ajurate cu goluri circulare și ovale

Săgeata se calculează și în acest caz din moment și forța tăietoare :

$$(3.207) \quad f = f_M + f_T \quad [cm]$$

3.3.4.1. Calculul săgeții f_M produsă de momentul încovoietor

Pentru calculul săgeții din moment, se folosesc formulele din statica construcțiilor deduse prin metoda Maxwell-Mohr scrise sub forma :

$$(3.208) \quad f_M = \omega \cdot \frac{M_{max} \cdot l}{EI_{calc}} \quad [cm]$$

căriale avînd semnificațiile descrise la formula (3.44) iar I_{calc} este momentul de inerție de calcul al profilelor ajurate cu goluri circulare și ovale mai mare decît I_{med} din relația (3.44) și se poate calcula cu relația :

$$(3.209) \quad I_{calc} = K_I \cdot I_1$$

în care K_I - este coeficientul de majorare a momentului de inerție I_1 ;

I_1 - este momentul de inerție al secțiunii întregi din axul golurilor.

Pentru determinarea coeficientului K_I se exprimă momentul de inerție al secțiunii întregi într-o secțiune definită prin unghiul φ , care în baza figurii 3.11 a, poate fi scris pentru profile cu goluri ovale sub forma :

$$(3.210) \quad I_{1\varphi} = I_1 + \frac{dR^3(1-\cos\varphi)^3}{12} + \frac{dR(1-\cos\varphi)}{2} \left[(h_1 y_0)^2 - 2(a - \mathcal{R}_0) - R(1-\cos\varphi) \right]^2$$

și pentru cele cu goluri circulare sub forma :

$$(3.210a) \quad I_{1\varphi} = I_1 + \frac{dR^3(1-\cos\varphi)^3}{12} + \frac{dR(1-\cos\varphi)}{2} \left[y_0^2 - 2(a - \mathcal{R}_0) - R(1-\cos\varphi) \right]^2$$

momentele de inerție $I_{1\varphi}$ din (3.210) și (3.210 a) pot fi pu-se sub forma :

$$(3.211) \quad I_{1\varphi} = K_I \cdot I_1$$

Cresțerea momentului de inerție total $I_{1\varphi}$ a profilului în secțiunile carente definite prin φ este aproximativ aceeași la toate profilele ajurate pornind de la gama de profile laminat și pentru valorile medii usuale ale dimensiunilor rezultă valorile lui K_I din tabelul 3.2.

Dacă se reprezintă grafic aceste valori funcție de distanța $\beta(\varphi)$ dintre secțiunile definite prin unghiul φ , pe lungimea jumătății de pas rezultă diagrama din figura 3.29. Distanța pe orizontală dintre secțiuni este $\beta = R \sin \varphi$ iar pe porțiunea plină $b/2$ a-

luat pentru b două valori $b = 0,9 R$ și $b = 0,7 R$ rezultând jumătatea pasului $p/2 = 1,45 R$ și $p/2 = 1,35 R$ (fig.3.29). Linia plină din figură este pentru profilele cu goluri ovale, iar cea punctată pentru goluri circulare.

COEFICIENTUL K_I

Tabelul 3.2

Tipul profilului ajurate	K_I în dreptul golurilor în funcție de							K_I în dreptul plinurilor	Obs.
	0°	15°	30°	45°	60°	75°	90°		
cu goluri ovale	1,00	1,011	1,040	1,079	1,129	1,142	1,150	1,180	
cu goluri circulare	1,00	1,010	1,034	1,060	1,083	1,093	1,10	1,10	

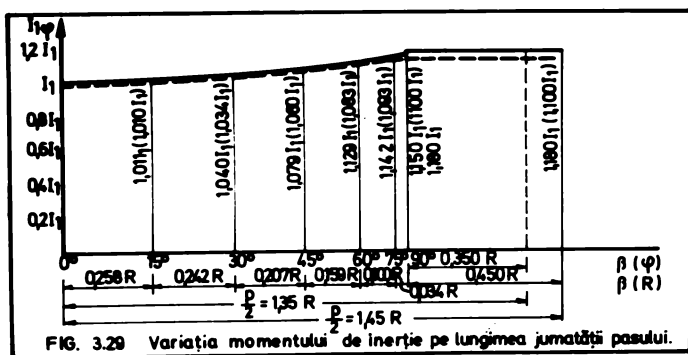


FIG. 3.29 Variația momentului de inerție pe lungimea jumătății pasului.

Momentul de inerție de calcul, rezultă ca raport al suprafeței diagramei (fig.3.29) considerată liniară pe intervale și lungimea ei.

$$(3.212) \quad I_{\text{calc.}} = \frac{\sum A_I}{p/2} = \frac{2 \sum A_I}{p}$$

Făcînd calculul rezultă valorile lui $K_I = \frac{I_{\text{calc}}}{I_1}$ din tabelul 3.3.

COEFICIENTUL K_I

Tabelul 3.3

Nr. crt	Felul profilului ajurate	h_1 egal cu	Valorile coeficientului K_I pentru :		
			$b = 0,9 R$	$b = 0,7 R$	Valoarea medie
1	Profile cu goluri ovale	R	1,100	1,094	1,097
2	Profile cu goluri circulare	0	1,062	1,060	1,061

In calcul pentru K_I se poate lua valoarea medie, iar I_{cale} rezultă din (3.209).

In ce privește coeficientul ω el este dat pentru unele încărcări in literatura tehnică [3]. In anexa 4 sînt dați coeficienții ω , și pentru alte încărcări fiind calculați prin metoda Maxwell-Mohr.

3.3.4.2. Calculul săgeții f_1 produsă de forța tăietoare

Săgeata produsă de forța tăietoare la grinzile din profile ajurate cu goluri circulare și ovale, se obține calculînd săgeata unui panou curent, de lungime egală cu cea a pasului "p" și multiplicînd-o cu numărul panourilor de pe jumătatea deschiderii (fig. 3.30).

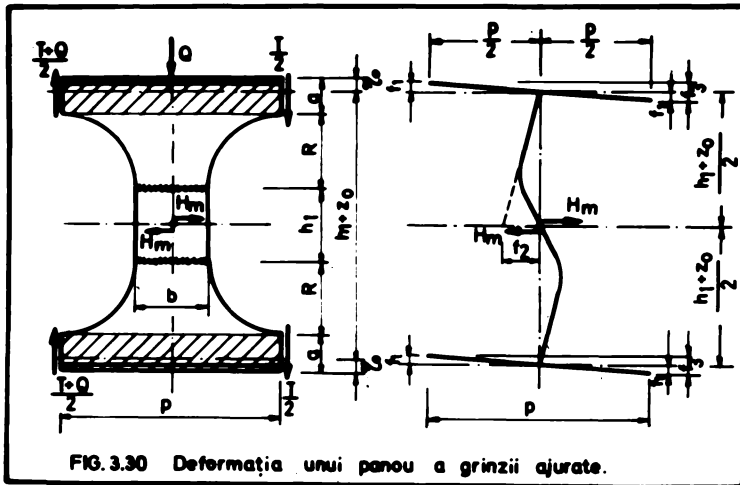


FIG. 3.30 Deformația unui panou a grinzii ajurate.

Dacă se admite că tălpile profilelor ajurate formate din profilele T, (porțiunile hașurate) nu se deformează, deoarece legătura dintre montanți și tălpi se face in acest caz prin racordul continuu dintre cele două părți, avînd doar rotiri în așa fel ca axa lor să rămîină normală pe tangenta la axa deformată a montantului (fig. 3.30) care are deplasarea f_2 , deformația totală a unui panou pe verticală este :

$$(3.213) \quad f_3 = 2f_1$$

Deformația f_1 poate fi exprimată in funcție de deformația f_2 :

$$(3.214) \quad f_1 = \frac{p}{h_1 + y_0} f_2$$

Pentru a calcula deplasarea f_2 a tangentei la deformata montantului, acesta se consideră o consolă avînd lungimea de calcul :

$$(3.215) \quad l_c = \frac{h_1}{2} + R = \frac{h_1 + 2R}{2}$$

considerînd montantul încastrat la marginea tălpii, iar săgeata lui rezultă pentru o consolă din efectul de încovoiere și de forfecare:

$$(3.216) \quad f_2 = f_{2m} + f_{2t}$$

Tinind seama de valoarea lui H_m și de dimensiunile consolei

rezultă :

$$(3.217) \quad f_{2m} = \frac{H_m \cdot l_c^3}{3EI_m} = \frac{p(h_1+2R)^3}{48(h_1+y_0)EI_m} (2T+Q)$$

in care I_m este momentul de inerție al montantului, calculat pentru o lățime medie ponderată a montantului "bm", ce rezultă scriind suprafața montantului și împărțind-o la înălțimea lui " h_1+2R "

$$(3.218) \quad b_m = \frac{bh_1+2bR+2\frac{R^2(4-\pi)}{2}}{h_1+2R} = \frac{bh_1+2bR+0,86R^2}{h_1+2R}$$

cu care momentul de inerție este :

$$(3.219) \quad I_m = \frac{dbm^3}{12} = \frac{d(bh_1+2bR+0,86R^2)^3}{12(h_1+2R)^3}$$

iar săgeata f_{2a} din (3.217) devine :

$$(3.220) \quad f_{2a} = \frac{p(h_1+2R)^6 (2T+Q)}{4dE(h_1+y_0)(bh_1+2bR+0,86R^2)^3}$$

Săgeata f_{2t} , produsă prin efectul de tăiere al lui H_m este:

$$(3.221) \quad f_{2t} = \frac{H_m \cdot l_c}{G \cdot A_m} = \frac{p(h_1+2R)^2 (2T+Q)}{4dG(h_1+y_0)(bh_1+2bR+0,86R^2)}$$

in care s-a înlocuit :

$$(3.222) \quad A_m = dbm = d(bh_1+2bR+0,86R^2)$$

Săgeata totală f_2 are in acest caz valoarea :

$$(3.223) \quad f_2 = \frac{p(h_1+2R)^2 (2T+Q)}{4d(h_1+y_0)(bh_1+2bR+0,86R^2)} \left[\frac{(h_1+2R)^4}{E(bh_1+2bR+0,86R^2)^2} + \frac{1}{G} \right]$$

Tinind cont de relațiile (3.213) și (3.214) săgeata unui panou este :

$$(3.224) \quad f_3 = \frac{p^2(h_1+2R)^2 (2T+Q)}{2d(h_1+y_0)^2 (bh_1+2bR+0,86R^2)} \left[\frac{(h_1+2R)^4}{E(bh_1+2bR+0,86R^2)^2} + \frac{1}{G} \right]$$

Inmulțind săgeata unui panou, cu numărul panourilor de pe o jumătate de deschidere dat de relația (3.62) rezultă dacă se ține seama că $F = 2,6 G$ relația de calcul a săgeții din forța tăietoare:

$$(3.225) \quad f_T = \frac{pl(h_1+2R)^2 (2T+Q)}{4dE(h_1+y_0)^2 (bh_1+2bR+0,86R^2)} \left[\frac{(h_1+2R)^4}{(bh_1+2bR+0,86R^2)^2} + 2,6 \right]$$

In această relație forța tăietoare T este cea medie de pe jumătatea deschiderii grinzii, iar dimensiunile profilelor ajurate se introduc în ea, modulul de elasticitate $E = 2,1 \cdot 10^6 \text{ daN/cm}^2$.

Pentru profilele cu goluri circulare, relația poate fi scrisă dacă este făcut $h_1 = 0$ și rezultă :

$$(3.225a) \quad f_T = \frac{plR^2 (2T+Q)}{dy_0^2 E(2bR+0,86R^2)} \left[\frac{16R^4}{(2bR+0,86R^2)^2} + 2,6 \right]$$

3.3.4.3. Calculul săgeții totale

Inlocuind pe f_a din (3.208) și f_T din (3.225) rezultă săgeata totală :

- pentru grinzi din profile ajurate cu goluri ovale :

$$(3.226) \quad f = \omega \frac{M \cdot l^2}{EI_{\text{calc}}} + \frac{pl(h_1+2R)^2 (2T+Q)}{4dE(h_1+y_0)^2 (bh_1+2bR+0,86R^2)} \left[\frac{(h_1+2R)^4}{(bh_1+2bR+0,86R^2)^2} + 2,6 \right]$$

- pentru grinzi din profile ajurate cu goluri circulare :

$$(3.226a) \quad f = \omega \frac{Ml^2}{EI_{\text{calc}}} + \frac{plR(2T+Q)}{dy_0 E(2b+0,86R)} \left[\frac{16R^2}{(2b+0,86R)^2} + 2,6 \right]$$

Săgeata grinzilor din profile cu goluri circulare și ovale, produsă de forța tăietoare este mică în comparație cu cea produsă



de moment, fiind cuprinsă între (3-15)% din săgeata totală.

Pentru acest motiv, dat fiind calculul deosebit de laborios al săgeții din forța tăietoare, pentru calculul practic poate fi folosită relația simplificată :

$$(3.227) \quad f = K_f \omega \cdot \frac{M \cdot l^2}{E I_{calc.}} \text{ [cm]}$$

Coefficientul K_f din (3.227) ține seama de aportul forței tăietoare la majorarea săgeții și variază în funcție de deschiderea grinziilor, fiind cu atât mai mare cu cât deschiderea este mai mică, deoarece în acest caz forțele tăietoare sînt mari în comparație cu momentul. Coeficientul K_f este funcție și de natura încărcărilor distribuite sau concentrate. El este mai mic pentru încărcări distribuite (fig. 3.31), deoarece forța tăietoare medie este redusă și mai mare în cazul celor concentrate (fig. 3.32) cînd forța tăietoare medie are valori mari.

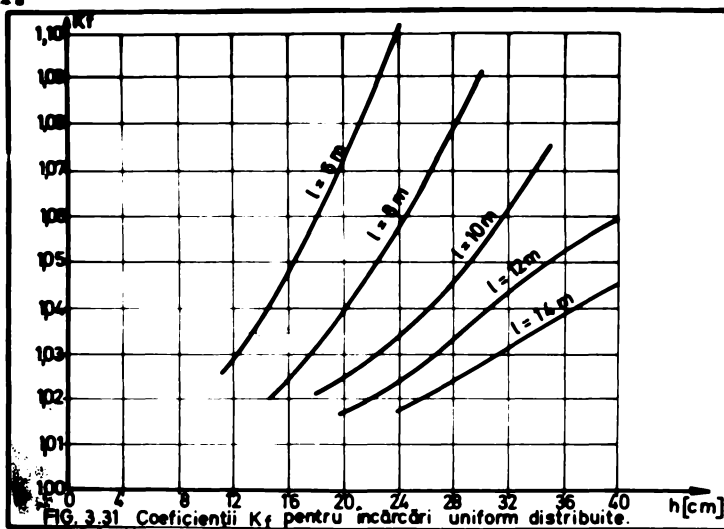


FIG. 3.31 Coeficientii K_f pentru încărcări uniforme distribuite.

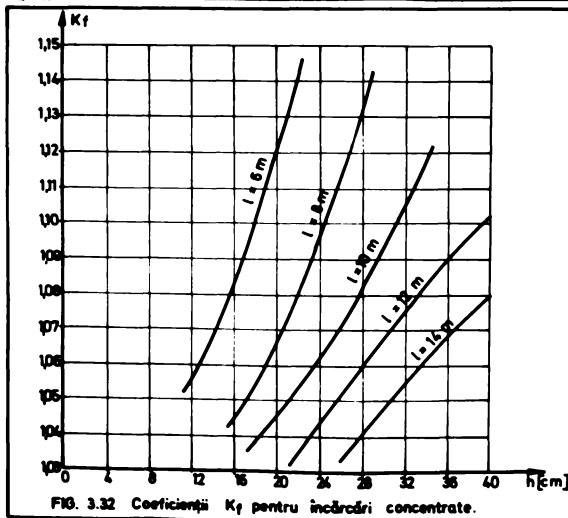


FIG. 3.32 Coeficientii K_f pentru încărcări concentrate.

Verificarea săgeții se face în acest caz cu formula 3.227 în care K_f se ia din fig. 3.31 și 3.32, funcție de înălțimea "h" a profilului laminat din care se obțin profilele ajurate.

Pentru calculul practic valorile lui K_f pot fi luate în tabelul 3.4.

COEFICIENTII K_f

Tabelul 3.4

Nr. crt	Felul încărcărilor grinzilor ajurate	Lăpțile coef. K_f	Valorile lui K_f funcție de deschid.					
			4-6 a	6-8 b	8-10 a	10-12 a	12-14 a	14a
1	Încărcări distribuite	1,08- 1,03	1,08	1,07	1,06	1,05	1,04	1,03
2	Încărcări concentrate	1,15- 1,04	1,15	1,12	1,10	1,08	1,06	1,04

3.4. CONCLUZII, COMPARATII ÎNTRE COMPORTAREA LA ÎNCOVIERE A GRINZILOR DIN PROFILE AJURATE ȘI DIN PROFILE LAMINATE I

Elementele solicitate la încoviere reprezintă domeniul cu cea mai largă utilizare a profilelor ajurate, ca urmare a rigidității sporite la astfel de solicitări, la aceeași greutate cu a profilelor laminate.

3.4.1. Comparatii între profilele ajurate și profilele laminate dublu T

Profilele ajurate, solicitate la încoviere prezintă caracteristici geometrice mai ridicate decât profilele laminate dublu T față de care prezintă următoarele avantaje :

1. Profilele ajurate avind caracteristici mult mai mari ca cele laminate, eforturile unitare normale cu care se face verificarea condiției de rezistență, sînt mult mai mici decât la profilele laminate dublu T, la aceeași încărcări și la aceeași greutate.

2. Rigiditatea grinzilor solicitate la încoviere realizate din profile ajurate este mult sporită, lucru ce se exprimă prin faptul că săgețile acestor grinzi sînt mai mici decât la grinzi de aceeași deschidere cu aceeași încărcare și la aceeași greutate realizate din profile laminate dublu T.

3. Aspectul exterior este mai reușit la o grindă aparentă din profile ajurate față de o altă grindă din profile laminate.

4. Calculul simplificat al profilelor ajurate, satisface cerințele impuse de necesitățile practice și permite să se facă o dimensionare corespunzătoare a grinzilor din profile ajurate.

3.4.2. Comparatii între profilele ajurate cu goluri circulare și ovale, și profilele ajurate cu goluri hexagonale și octogonale

folosirea profilelor ajurate cu goluri circulare și ovale la realizarea grinzilor solicitate la încoviere, are o eficiență sporită în reducerea consumului de oțel, prin avantajele pe care le au față de profilele ajurate cu goluri hexagonale și octogonale.

1. Influența forței tăietoare asupra eforturilor unitare, fiind mai redusă datorită creșterii secțiunii pe măsura creșterii momentului local produs de forța tăietoare într-o secțiune curentă, face ca efortul însumat să fie maxim în unele cazuri în axul golului din regiunea cu moment maxim sau într-o secțiune curentă definită printr-un unghi $\varphi = 5-15^\circ$ în dreptul golurilor unde momentul și forța tăietoare sînt mari.

În general efortul unitar total însumat $G_M + G_T$ nu depășește cu mai mult de 5-10 % pe cel calculat numai din moment.

2. Eforturile unitare de dimensionare la profilele cu goluri circulare și ovale sînt mai mici decît la cele cu goluri hexagonale diferența aceasta dintre eforturi fiind de 15-20 %.

3. Montanții grinzilor ajurate cu goluri circulare și ovale au o comportare mai rațională la solicitările din forța tăietoare atît în ce privește condițiile de rezistență cit și cele de stabilitate, datorită forței lor mai eficiente, eforturile de verificare a condițiilor de rezistență fiind mult mai mici, iar forța tăietoare critică la care și pierd montanții stabilitatea este mai mare.

4. Săgeata grinzilor ajurate cu goluri ovale și circulare este mai mică decît în cazul grinzilor cu goluri hexagonale și octogonale, deoarece coeficientul K_p este mai mic cu (3-5) % iar momentul de inerție de calcul este mai mare în cazul profilelor cu goluri circulare sau ovale față de cele hexagonale.

CAPITOLUL 4

CALCULUL EXACT AL GRINZILOR DIN PROFILE AJURATE

SOLICITATE LA ÎNCĂLCIRE

4.1. GENERALITĂȚI

Grinzile din profile ajurate solicitate la încovoiere pot fi calculate simplificat cum s-a arătat în capitolul 3, ceea ce asigură o suficientă precizie, necesară calculului practic. Este posibil însă să se facă și un calcul exact, ținând seama de asemănarea grinzilor din profile ajurate cu grinzile cu zăbrele cu noduri rigide de tip Vierendeel.

Indicații privind calculul profilelor ajurate, ca grinzi de tip Vierendeel au fost date în Merkblatt nr. 361 [38] în baza procedurii pusă la punct de Herschfeld [38], care a făcut unele simplificări alegând ca necunoscute static nedeterminate forțele orizontale din axul orizontal al montanților.

În prezentul capitol este prezentat un calcul exact al grinzilor din profile ajurate, ținând cont de solicitările ce iau naștere în tălpi și montanți în toate panourile grinzii. Calculul exact al grinzilor ajurate se poate face cu metoda eforturilor.

În acest caz o grindă din profile ajurate considerate ca o grindă Vierendeel la care tălpile sînt formate din profilele T de deasupra și de dedesubtul golurilor iar montanții din plicurile dintre goluri, are un grad de nedeterminare statică interior foarte mare. Fiecare panou definit printr-un gol, formează un contur închis (fig. 4.1 a) care este de 3 ori static nedeterminat interior, astfel că o grindă din profile ajurate cu un număr de n panouri, deci de goluri este de $3n$ ori static nedeterminat interior. Gradul de nedeterminare statică poate să fie redus în cazul în care grinda prezintă simetrie geometrică și de încărcare. În general simetria geometrică este satisfăcută și în acest caz dacă încărcările sînt simetrice gradul de nedeterminare statică se reduce la jumătate. Astfel o grindă simplu

rezemată dintr-un profil ajurat cu $2n$ de goluri este de $3 \times 2n = 6n$ de ori static nedeterminată. Dacă însă încărcările sînt simetrice atunci gradul de nedeterminare se reduce la $3n$ (fig. 4.1) pentru rezolvarea grinzii în metoda eforturilor se face secțiunea în una din tălpile formate din

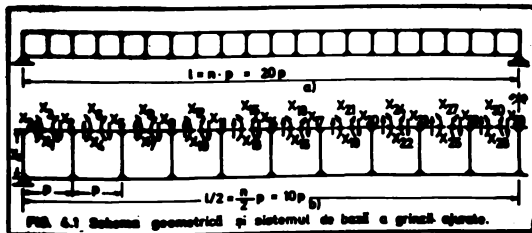


Fig. 4.1. Schema geometrică și sistemul de bază a grinzii ajurate.

profilele T a grinzii și se introduc cele trei necunoscute: forța axială X_1 , forța tăietoare X_2 și momentul încovoietor X_3 în fiecare panou al grinzii (fig.4.1 b). Scrierea ecuațiilor de condiție este în acest caz foarte mult simplificată deoarece oimpurile fiind toate identice, coeficienții necunoscutelor se repetă la fiecare grup de trei ecuații corespunzătoare unui panou. Sistemul de bază a grinzii este cel din fig.4.1 b.

În calculul static se lucrează cu axele tălpilor și ale montanților (fig.4.1), astfel încât dimensiunile unui panou al grinzii ajurate sînt : lungimea panoului egală cu pasul "p" adică distanța dintre axele a doi montanți consecutivi și înălțimea panoului egală cu distanța y_2 dintre axele centrelor de greutate a profilelor T de deasupra și de dedesubtul golurilor.

4.2. CALCULUL MOMENTELOR DE INERTIE ȘI A AXILOR

4.2.1. Momentele de inerție a tălpilor

Momentele de inerție a tălpilor formate din profilele T ce mărginesc golurile la partea lor superioară și inferioară se consideră constante pe toată lungimea grinzii și egale cu I_0 trecut în anexa 1.

4.2.2. Momentele de inerție a montanților

Momentele de inerție a montanților alcătuiți din plinurile dintre două goluri consecutive, sînt variabile pe înălțimea montanților, fiind minime în dreptul axei orizontale a grinzii și maxime la racordul lor cu tălpile.

În calculul static exact trebuie lucrat cu un moment de inerție mediu ideal al montanților care, să țină seama cît mai fidel de variația secțiunii acestora. Deoarece calculul montanților de inerție mediu ideal este mai greu de efectuat, pentru fiecare grindă în parte, aceasta depinzînd de geometria golurilor, se poate exprima momentul de inerție mediu ideal al montanților I_m , funcție de momentul de inerție minim al montanților I_{m0} , calculat în axa orizontală a acestuia :

$$(4.1) \quad I_m = \theta_1 I_{m0}$$

în care : θ_1 este un coeficient numeric adimensional ce exprimă creșterea momentului de inerție mediu ideal față de cel min.

Pentru a determina coeficientul θ_1 se consideră jumătatea montanților ca niște console, încărcate cu o forță orizontală $H_m = 1$ și se scrie deplasarea capătului consolei (a mijlocului montanțului) sub influența acestei forțe, cu ajutorul formulei Maxwell-Mohr în două ipoteze : odată luînd în considerare momentul de inerție minim I_{m0} , odată cel ideal I_m .

Deplasarea " δ_1 " calculată cu momentul de inerție minia este :

$$(4.2) \delta_1 = \int_0^1 \frac{Mm}{EI m_0} dx$$

Iar deplasarea " δ_2 " calculată cu momentul de inerție mediu ideal este :

$$(4.3) \delta_2 = \int_0^1 \frac{Mm}{EI n} dx = \frac{1}{\theta_1} \int_0^1 \frac{Mm}{EI m_0} dx = \frac{\delta_1}{\theta_1}$$

Din relația 4.3 rezultă coeficientul

$$(4.4) \theta = \frac{\delta_1}{\delta_2}$$

Pentru un calcul practic se adoptă o valoare unitară pentru lățimea minimă a montanților și se exprimă înălțimea și lățimea maximă funcție de aceasta (fig.4.2). Grosimea montanților fiind constantă ca și modulul de elasticitate, precum și 12 din momentul de inerție, nu se iau în considerare deoarece se simplifică.

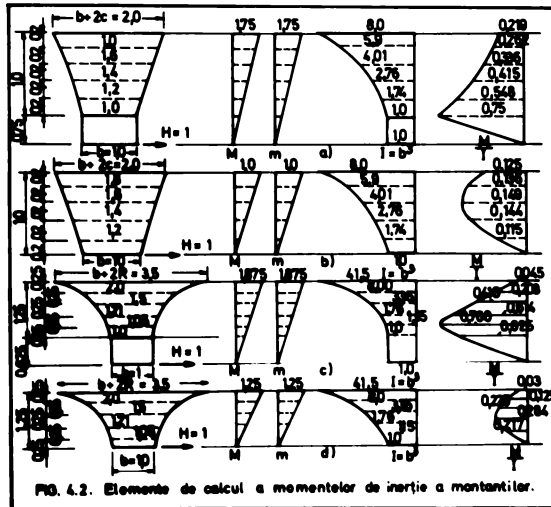


FIG. 4.2. Elemente de calcul a momentelor de inerție a montanților.

Pentru dimensiunile uzuale ale profilelor ajurate cu goluri hexagonale și octogonale, înălțimea porțiunii variabile a montanților este egală cu lățimea ($v = h/3$), iar înălțimea plăcuței intermediare se ia ($h_1 = h/2$) egală cu 1,5 b ceea ce duce la dimensiunile din figură.

În aceste condiții deplasarea δ_1 calculată cu momentul de inerție minia, are pentru cele patru tipuri de montanți din fig.4.2 următoarele valori calculate prin integrarea diagramei m și M cu relația (4.2) :

$$(4.5) \begin{aligned} \delta_1 &= \frac{1}{7} \cdot \frac{1}{3} \cdot 1,75^3 = 1,8 && \text{pentru montantul din fig.4.2 a} \\ \delta_1 &= \frac{1}{7} \cdot \frac{1}{3} \cdot 1^3 = 0,33 && \text{pentru montantul din fig.4.2 b} \\ \delta_1 &= \frac{1}{7} \cdot \frac{1}{3} \cdot 1,875^3 = 2,20 && \text{pentru montantul din fig.4.2 c} \\ \delta_1 &= \frac{1}{7} \cdot \frac{1}{3} \cdot 1,25^3 = 0,65 && \text{pentru montantul din fig.4.2 d} \end{aligned}$$

pentru a calcula deplasarea δ_2 a montanților, cu momentul de inerție mediu ideal se integrează diagrama m cu diagrama M/I (fig.4.2) pe porțiuni, înălțimea porțiunii variabile fiind împărțită

in 5 părți egale, pe care se consideră variația liniară a lui \dots/L .

$$\delta_2 = \frac{1}{5} \cdot 0,75^3 + \frac{0,2^2}{6} \left\{ [(1,5 + 0,95)0,75 + (0,75 + 1,90)0,548] + \right. \\ \left. + [(1,90 + 1,15)0,548 + (0,95 + 2,30)0,415] + [(2,30 + 1,35)0,415 + \right. \\ \left. + (1,15 + 2,70)0,336] + [(2,70 + 1,55)0,336 + (1,35 + 3,10)0,262] + \right. \\ \left. + [(3,10 + 1,75)0,262 + (1,55 + 3,50)0,219] \right\} = 0,61$$

pentru montantul din fig.4.2. a

$$\delta_2 = \frac{1}{5} \cdot 0,2^2 \cdot 0,115 + \frac{0,2^2}{6} \left\{ [(0,4 + 0,4)0,115 + (0,2 + 0,8)0,144] + \right. \\ \left. + [(0,8 + 0,6)0,144 + (0,4 + 1,2)0,149] + [(1,2 + 0,8)0,149 + \right. \\ \left. + (0,6 + 1,6)0,136] + [(1,6 + 1)0,136 + (0,8 + 2)0,125] \right\} = 0,037$$

(4.6) pentru montantul din fig.4.2 b

$$\delta_2 = \frac{1}{5} \cdot 0,625^3 + \frac{0,25^2}{6} \left\{ [(1,25 + 0,875)0,625 + (0,625 + 1,75)0,760] + \right. \\ \left. + [(1,75 + 1,125)0,760 + (0,875 + 2,25)0,640] + [(2,25 + 1,375)0,640 + \right. \\ \left. + (1,125 + 2,75)0,410] + [(2,75 + 1,625)0,410 + (1,375 + 3,25)0,203] + \right. \\ \left. + [(3,25 + 1,875)0,203 + (1,625 + 3,75)0,045] \right\} = 0,73$$

pentru montantul din fig.4.2 c

$$\delta_2 = \frac{1}{5} \cdot 0,25^2 \cdot 0,217 + \frac{0,25^2}{6} \left\{ [(0,5 + 0,5)0,217 + (0,25 + 1)0,284] + \right. \\ \left. + [(1,0 + 0,75)0,284 + (0,5 + 1,5)0,225] + [(1,5 + 1,0)0,225 + \right. \\ \left. + (0,75 + 2,0)0,125] + [(2,0 + 1,25)0,125 + (1,0 + 2,5)0,03] \right\} = 0,126$$

pentru montantul din fig.4.2 d

Cu valorile din relațiile (4.5) și (4.6) introduse în relația (4.4) rezultă :

$$(4.7) \quad \theta = \frac{1,8}{0,61} = 2,96 \quad \text{pentru profile ajurate cu goluri octogonale(4.2a)} \\ \theta = \frac{0,33}{0,037} = 4,94 \quad \text{pentru profile ajurate cu goluri hexagonale(4.2b)} \\ \theta = \frac{2,20}{0,73} = 3,02 \quad \text{pentru profile ajurate cu goluri ovale (4.2 c)} \\ \theta = \frac{0,65}{0,126} = 5,14 \quad \text{pentru profile ajurate cu goluri circulare(4.2d)}$$

În calculul practic pot fi luate valorile întregi următoare:

$$(4.8) \quad \theta = 3 \quad \text{pentru profile cu goluri octogonale și ovale} \\ \theta = 5 \quad \text{pentru profile cu goluri hexagonale și circulare}$$

momentele de inerție ideale ale montanților sînt în acest caz

$$(4.9) \quad I_m = \theta \frac{db^3}{12}$$

4.2.3. Ariile tălpiilor

Ariile tălpiilor formate din profilele T de deasupra și de deasupra golurilor se consideră constante pe toată lungimea și egale cu A_0 din anexa 1.

4.2.4. Ariile montanților

Ariile fiind variabile pentru montanți ca și momentele de inerție, în calcul static exact se ia în considerare, aria medie ideală a montanților exprîmîndu-se ca funcție de aria minimă din axul montanților, cu relația :

$$(4.10) \quad A_m = \theta_A A_{m0}$$

în care : θ_A este un coeficient numeric dimensional care exprimă creșterea ariei medii ideale față de cea minimă.

Pentru calculul coeficientului θ , se scrie la fel deplasarea capătului montanțului produs de forța tăietoare, odată luind în considerare aria minimă :

$$(4.11) \quad \delta_1 = \int_0^l \frac{T \cdot t}{E \cdot A \cdot m_0} dx$$

și odată luind în considerare aria medie ideală :

$$(4.12) \quad \delta_2 = \int_0^l \frac{T \cdot t}{E \cdot A \cdot m} dx = \frac{1}{\theta_A} \int_0^l \frac{T \cdot t}{E \cdot A \cdot m_0} dx = \frac{\delta_1}{\theta_A}$$

$$(4.13) \quad \theta_A = \frac{\delta_1}{\delta_2}$$

Pentru dimensiunile medii ale montanțurilor luate ca și la calculul momentelor de inerție unui profil ideal (fig.4.2) se pot exprima forțele tăietoare și ariile ca în fig.4.3, cu care deplasarea δ_1 , rezultă integrând diagramele T și t și are valorile :

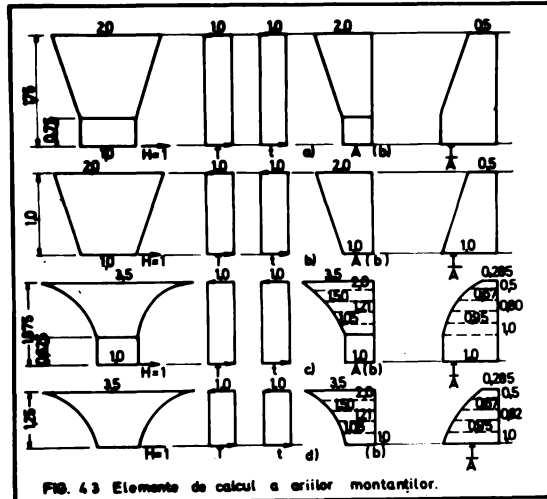


FIG. 4.3 Elemente de calcul a ariilor montanțurilor.

$$(4.14) \quad \begin{aligned} \delta_1 &= \frac{1}{1} \cdot 1^2 \cdot 1,75 = 1,75 && \text{pentru montanțul din fig.4.3 a} \\ \delta_1 &= \frac{1}{1} \cdot 1^3 = 1,00 && \text{pentru montanțul din fig.4.3 b} \\ \delta_1 &= \frac{1}{1} \cdot 1^2 \cdot 1,875 = 1,875 && \text{pentru montanțul din fig.4.3 c} \\ \delta_1 &= \frac{1}{1} \cdot 1^2 \cdot 1,25 = 1,25 && \text{pentru montanțul din fig.4.3 d} \end{aligned}$$

iar pentru δ_2 se integrează diagrama "t" cu diagrama $1/A$ și rezultă:

$$(4.15) \quad \begin{aligned} \delta_2 &= \frac{1}{1} \cdot 1^2 \cdot 0,75 + \frac{1}{2} \cdot 1^2 (1 + 0,5) = 1,5 && \text{pentru montanțul din fig.4.3 a} \\ \delta_2 &= \frac{1}{2} \cdot 1^2 (1 + 0,5) = 0,75 && \text{pentru montanțul din fig.4.3 b} \\ \delta_2 &= \frac{1}{1} \cdot 1^2 \cdot 0,625 + \frac{0,25}{2} \cdot 10 (1 + 2 \cdot 0,95 + 2 \cdot 0,82 + 2 \cdot 0,67 + 2 \cdot 0,5 + 0,282) = 1,52 && \text{fig.4.3 c} \\ \delta_2 &= \frac{0,25}{2} \cdot 10 (1,0 + 2 \cdot 0,95 + 2 \cdot 0,82 + 2 \cdot 0,67 + 2 \cdot 0,5 + 0,282) = 0,90 && \text{fig.4.3 d} \end{aligned}$$

Introducând valorile lui δ_1 și δ_2 în relația 4.13 rezultă :

$$(4.16) \quad \begin{aligned} \theta_A &= \frac{1,75}{1,5} = 1,17 && \text{pentru goluri octogonale (fig.4.3 a)} \\ \theta_A &= \frac{1,00}{0,75} = 1,33 && \text{pentru goluri hexagonale (fig.4.3 b)} \\ \theta_A &= \frac{1,875}{1,52} = 1,21 && \text{pentru goluri ovale (fig.4.3 c)} \\ \theta_A &= \frac{1,25}{0,90} = 1,38 && \text{pentru goluri circulare (fig.4.3 d)} \end{aligned}$$

Pentru calculele practice se pot lua valori egale pentru profilele cu goluri octogonale și ovale și pentru cele hexagonale și

circulare :

$$(4.17) \quad \theta_A = \frac{6}{5} \quad \text{pentru profile cu goluri octogonale și ovale}$$

$$\theta_A = \frac{4}{3} \quad \text{pentru profile cu goluri hexagonale și circulare}$$

Aria medie ideală a montanților este în acest caz egală cu:

$$(4.18) \quad A_m = \theta_A \cdot b \cdot d$$

4.3. CALCULUL COEFICIENTILOR NECUNOSCUTELOR

Calculul static exact al grinzilor din profile ajurate cu metoda eforturilor, pleacă de la sistemul de bază ales în fig.4.1, la care necunoscutele static nedeterminate, sînt momentul, forța tăietoare și axială din talpa secțiunii. Pentru grinda ajurată din fig.4.1 simetrică geometria și cu încărcări simetrice numărul necunoscutele este 30.

Prezentarea calculului este făcută în cele ce urmează, pentru două încărcări: două forțe concentrate așezate simetric și pentru încărcarea uniform repartizată.

Pentru a calcula coeficienții necunoscutele static nedeterminate $X_1 \dots X_{30}$ (deplasările δ_{ij}), se trasează diagramele de momente de forțe tăietoare și forțe axiale din necunoscutele static nedeterminate (fig.4.4 și 4.5).

Deplasările produse de necunoscutele static nedeterminate și de încărcările exterioare, trebuie calculate din efectul momentelor a forței tăietoare și axiale trasate pe sistemul de bază.

Formulele de calcul sînt de forma :

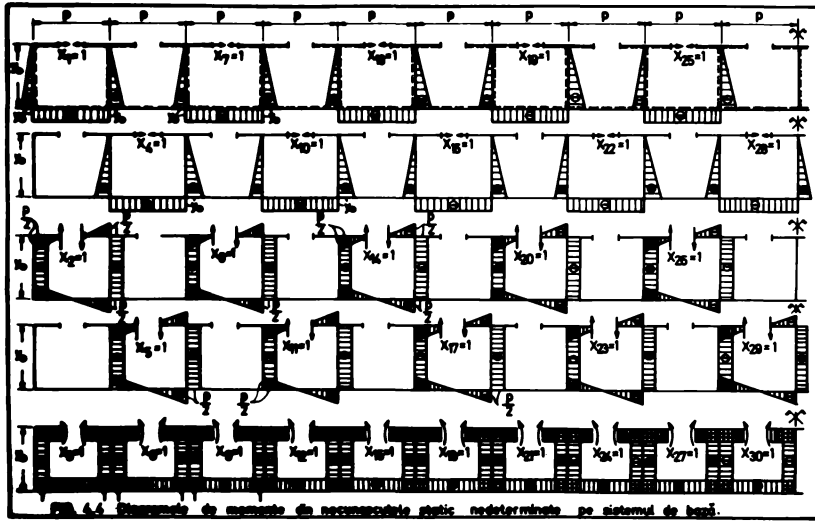
$$(4.19) \quad \delta_{ij} = \int_0^l \frac{m_i \cdot m_j}{EI} dx + \chi \int_0^l \frac{t_i \cdot t_j}{GA} dx + \int_0^l \frac{n_i \cdot n_j}{EA} dx$$

$$(4.20) \quad \Delta_{i0} = \int_0^l \frac{M_i \cdot m_i}{EI} dx + \chi \int_0^l \frac{T_i \cdot t_i}{GA} dx + \int_0^l \frac{N_i \cdot n_i}{EA} dx$$

Datorită faptului că toate cîmpurile sînt identice, iar diagramele de momente, forțe tăietoare și forțe axiale produse de necunoscutele static nedeterminate sînt aceleași în toate panourile înseamnă că și coeficienții acestor necunoscute se repetă după 3 ecuații corespunzătoare unui gol al profilului ajurat.

Ecuațiile sînt complete începînd de la ecuația a patra, adică de la al doilea panou și pînă la ecuația 27 corespunzătoare penultimului panou. La primele trei ecuații lipsesc primii trei termeni deoarece necunoscutele X_1, X_2, X_3 nu mai sînt în fața lor alte necunoscute iar la ultimele trei ecuații lipsesc ultimii trei termeni.

Ecuațiile complete au 9 termeni, coeficienții necunoscutele provenind din integrarea diagramele din panoul pentru care se scrie ecuațiile, cu cele din panoul anterior, cu ele înșile și cu cele din panoul următor.



Pentru un grup de ecuații complete de rangul $n-1, n+1$ în care $n = 5, 8, 11, 14, 17, 20, 23, 26$, coeficienții necunoscutelor, rezultă integrând după regula lui Verescheghin în baza relației (4.19) diagramele ; din fig.4.4 și 4.5. Dacă se scoate factor modului de elasticitate E iar raportul E/G se înlocuiește cu valoarea $13/5$, coeficienții pot fi scriși sub forma :

a. Coeficienții necunoscutelor ecuației $n-1$

$$(4.21) \delta_{n-1, n-4} = -\gamma_0 \left(\frac{1}{3} \cdot \frac{\gamma_0^2}{I_m} + \frac{13}{5} \cdot \frac{\chi}{A_m} \right) = \delta_{n-1, n+2} = a$$

$$(4.22) \delta_{n-1, n-3} = -\frac{1}{4} \cdot \frac{\rho \cdot \gamma_0^2}{I_m} = -\delta_{n-1, n+3} = b$$

$$(4.23) \delta_{n-1, n-2} = \frac{1}{2} \cdot \frac{\gamma_0^2}{I_m} = \delta_{n-1, n+4} = c \qquad \delta_{n-1, n} = 0 \qquad (4.25)$$

$$(4.24) \delta_{n-1, n-1} = 2 \left(\frac{1}{3} \cdot \frac{\gamma_0^3}{I_m} + \frac{1}{2} \cdot \frac{\rho \gamma_0^2}{I_0} + \frac{13}{5} \cdot \frac{\chi \cdot \gamma_0}{A_m} \right) = d \qquad \delta_{n-1, n+1} = -\gamma_0 \left(\frac{\gamma_0}{I_m} + \frac{\rho}{I_0} \right) = e \quad (4.26)$$

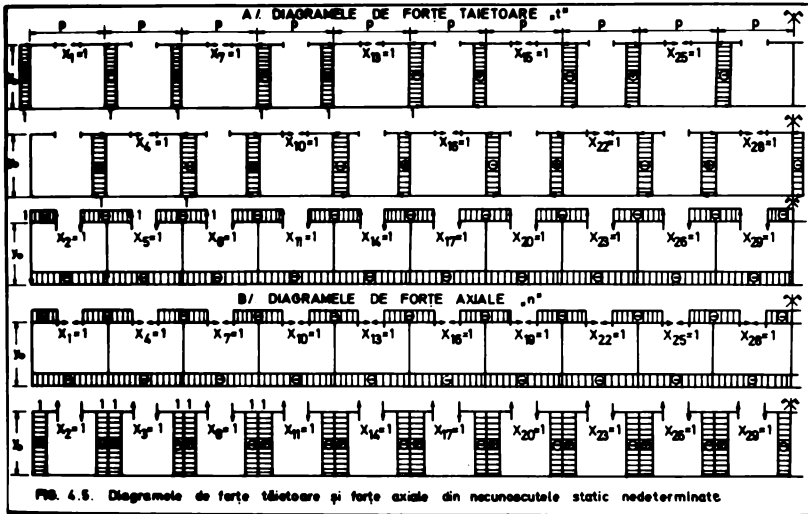


FIG. 4.5. Diagramele de forțe tăietoare și forțe axiale din necunoscutele static nedeterminate

o. Coeficientii necunoscutei ecuației n

$$(4.27) \delta_{n, n-4} = + \frac{1}{4} \frac{p \cdot y_0^2}{I_m} = -\delta_{n-1, n-3} = \delta_{n-1, n+3} = -b$$

$$(4.28) \delta_{n, n-3} = y_0 \left(\frac{1}{4} \frac{p^2}{I_m} - \frac{1}{A_m} \right) = \delta_{n, n+3} = f$$

$$(4.29) \delta_{n, n-2} = - \frac{1}{2} \frac{p \cdot y_0}{I_m} = g$$

$$\delta_{n, n+2} = - \frac{1}{4} \frac{p \cdot y_0^2}{I_m} = b \quad (4.32)$$

$$(4.30) \delta_{n, n-1} = \delta_{n-1, n} = 0$$

$$\delta_{n, n+4} = \frac{1}{2} \frac{p \cdot y_0}{I_m} = -g \quad (4.33)$$

$$(4.31) \delta_{n, n} = 2 \left(\frac{1}{4} \frac{p^2 y_0}{I_m} + \frac{1}{12} \frac{p^3}{I_0} + \frac{13}{5} \frac{x p}{A_0} + \frac{y_0}{A_m} \right) = h$$

o. Coeficientii necunoscutei ecuației n + 1

$$(4.34) \delta_{n+1, n-4} = \frac{1}{2} \frac{y_0^2}{I_m} = \delta_{n+1, n+2} = c$$

$$(4.35) \delta_{n+1, n-3} = \frac{1}{2} \frac{p \cdot y_0}{I_m} = -g$$

$$(4.36) \delta_{n+1, n-2} = - \frac{y_0}{I_m} = \delta_{n+1, n+4} = l$$

$$(4.37) \delta_{n+1, n-1} = -y_0 \left(\frac{1}{I_m} + \frac{p}{I_0} \right) = e$$

$$(4.38) \delta_{n+1, n} = 0$$

- 101 -

$$(4.39) \delta_{n+1, n+1} = 2 \left(\frac{y_0}{I_m} + \frac{\rho}{I_0} \right) = j$$

$$(4.40) \delta_{n+1, n+3} = -\frac{1}{2} \frac{\rho \cdot y_0}{I_m} = g$$

Așa cum se vede din calculul coeficienților necunoscutelor static nedeterminate, unii coeficienți sînt zero, iar alții sînt egali între ei chiar în cadrul grupului de ecuații aferente aceluiași panou, de aceea s-a notat cu aceeași literă.

4.4. CALCULUL TERMENILOR LIBERI AI ECUAȚIILOR DE CONDIȚIE

Termenii liberi ai ecuațiilor de condiție din metoda eforturilor, sînt diferiți în funcție de natura încărcărilor, în timp ce coeficienții necunoscutelor determinați cu relațiile (4.21)-(4.40) sînt constanți pentru o anumită grindă, indiferent de natura încărcărilor.

4.4.1. Calculul termenilor liberi pentru încărcarea cu două forțe concentrate

Pentru încărcarea cu două forțe concentrate simetric dispuse față de mijlocul grinzii, la distanță de $7p$ de rează, în fig.4.6 a sînt trasate diagramele de momente și de forțe tăietoare.

Integrînd diagramele de momente și de forțe tăietoare din încărcarea exterioră cu cele din necunoscutele static nedeterminate rezultă termenii liberi :

$$(4.41) \Delta_{10} = -\frac{1}{2} \frac{\rho p^2 y_0}{I_0}$$

$$(4.42) \Delta_{20} = -\rho P \left(\frac{1}{12} \frac{p^2}{I_0} - \frac{13}{5} \frac{x}{A_0} \right) = \Delta_{30} = \Delta_{30} = \Delta_{110} = \Delta_{140} = \Delta_{170} = \Delta_{200}$$

$$(4.43) \Delta_{30} = \frac{1}{2} \frac{\rho \cdot P}{I_0}$$

$$(4.44) \Delta_{40} = -\frac{3}{2} \frac{\rho p^2 y_0}{I_0}$$

$$(4.45) \Delta_{60} = \frac{3}{2} \frac{\rho^2 \cdot P}{I_0}$$

$$(4.46) \Delta_{70} = -\frac{5}{2} \frac{\rho \cdot p^2 y_0}{I_0}$$

$$(4.47) \Delta_{90} = -\frac{5}{2} \frac{\rho^2 \cdot P}{I_0}$$

$$(4.48) \Delta_{100} = -\frac{7}{2} \frac{\rho \cdot p^2 y_0}{I_0}$$

$$(4.49) \Delta_{120} = \frac{7}{2} \frac{\rho^2 \cdot P}{I_0}$$

$$(4.50) \Delta_{130} = -\frac{9}{2} \frac{\rho p^2 y_0}{I_0}$$

$$(4.51) \Delta_{150} = \frac{9}{2} \frac{\rho^2 \cdot P}{I_0}$$

$$(4.52) \Delta_{160} = -\frac{11}{2} \frac{\rho p^2 y_0}{I_0}$$

$$(4.53) \Delta_{180} = \frac{11}{2} \frac{\rho^2 \cdot P}{I_0}$$

$$(4.54) \Delta_{190} = -\frac{13}{5} \frac{\rho p^2 y_0}{I_0}$$

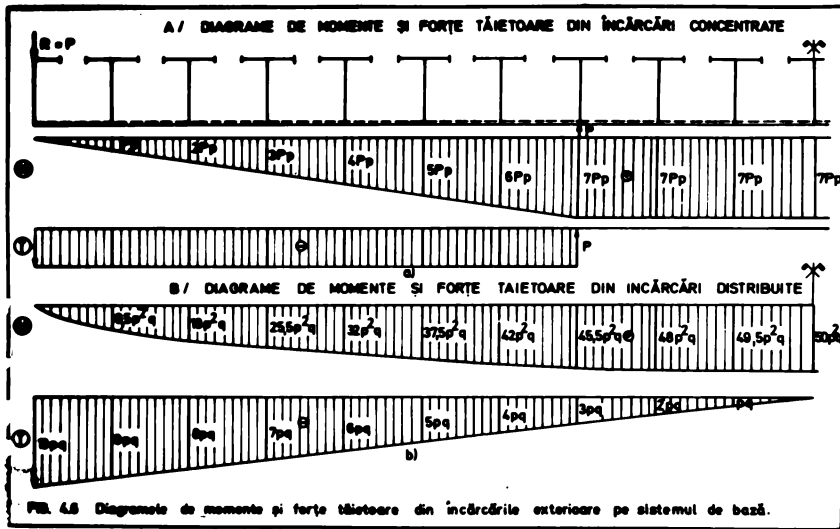
$$\Delta_{210} = \frac{13}{2} \frac{\rho^2 \cdot P}{I_0} \quad (4.55)$$

$$\Delta_{220} = -7 \frac{\rho \cdot p^2 y_0}{I_0} = \Delta_{250} = \Delta_{280} \quad (4.56)$$

$$\Delta_{230} = \Delta_{260} = \Delta_{290} = 0 \quad (4.57)$$

$$\Delta_{240} = 7 \frac{\rho^2 \cdot P}{I_0} = \Delta_{270} = \Delta_{300} \quad (4.58)$$

În cazul acestei încărcări unii coeficienți sînt egali.



4.4.2. Calculul termenilor liberi din încărcarea uniformă distribuită

Diagramele de momente și de forțe tăietoare din încărcarea uniformă distribuită sînt cele din figura 4.6 b, iar termenii liberi rezultă din integrarea lor cu diagramele din necunoscutele statice nedeterminate.

$$(4.59) \Delta_{1.0} = - \frac{19}{3} \frac{\rho^2 \cdot 2 \gamma_0}{I_0}$$

$$(4.60) \Delta_{2.0} = - \frac{19}{3} \rho^2 q \left(\frac{1}{12} \frac{\rho^2}{I_0} - \frac{13}{5} \frac{\chi}{A_0} \right)$$

$$(4.61) \Delta_{3.0} = \frac{19}{3} \cdot \frac{\rho^3 q}{I_0}$$

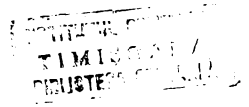
$$(4.62) \Delta_{4.0} = - \frac{91}{6} \cdot \frac{\rho^3 q \gamma_0}{I_0^2}$$

$$(4.63) \Delta_{5.0} = - \frac{17}{2} \rho^2 q \left(\frac{1}{12} \cdot \frac{\rho^2}{I_0} - \frac{13}{5} \frac{\chi}{A_0} \right)$$

- (4.64) $\Delta_{60} = \frac{q_1}{6} \cdot \frac{\rho^3 q}{I_0}$
- (4.65) $\Delta_{70} = -23 \frac{\rho^3 q \cdot \gamma_0}{I_0}$
- (4.66) $\Delta_{80} = -\frac{15}{2} \rho^2 q \left(\frac{1}{12} \cdot \frac{\rho^2}{I_0} - \frac{13}{5} \cdot \frac{\chi}{A_0} \right)$
- (4.67) $\Delta_{90} = 23 \frac{\rho^3 q}{I_0}$
- (4.68) $\Delta_{100} = -\frac{179}{6} \cdot \frac{\rho^3 q \cdot \gamma_0}{I_0}$
- (4.69) $\Delta_{110} = -\frac{13}{2} \rho^2 q \left(\frac{1}{12} \cdot \frac{\rho^2}{I_0} - \frac{13}{5} \cdot \frac{\chi}{A_0} \right)$
- (4.70) $\Delta_{120} = -\frac{179}{6} \cdot \frac{\rho^3 q}{I_0}$
- (4.71) $\Delta_{130} = -\frac{107}{3} \cdot \frac{\rho^3 q \cdot \gamma_0}{I_0}$
- (4.72) $\Delta_{140} = -\frac{11}{2} \rho^2 q \left(\frac{1}{12} \cdot \frac{\rho^2}{I_0} - \frac{13}{5} \cdot \frac{\chi}{A_0} \right)$
- (4.73) $\Delta_{150} = +\frac{107}{3} \cdot \frac{\rho^3 q}{I_0}$
- (4.74) $\Delta_{160} = -\frac{81}{2} \cdot \frac{\rho^3 q \cdot \gamma_0}{I_0}$
- (4.75) $\Delta_{170} = -\frac{9}{2} \rho^2 q \left(\frac{1}{12} \cdot \frac{\rho^2}{I_0} - \frac{13}{5} \cdot \frac{\chi}{A_0} \right)$
- (4.76) $\Delta_{180} = +\frac{81}{2} \cdot \frac{\rho^3 q}{I_0}$
- (4.77) $\Delta_{190} = -\frac{133}{3} \cdot \frac{\rho^3 q \cdot \gamma_0}{I_0}$
- (4.78) $\Delta_{200} = -\frac{7}{2} \rho^2 q \left(\frac{1}{12} \cdot \frac{\rho^2}{I_0} - \frac{13}{5} \cdot \frac{\chi}{A_0} \right)$
- (4.79) $\Delta_{210} = +\frac{133}{3} \cdot \frac{\rho^3 q}{I_0}$
- (4.80) $\Delta_{220} = -\frac{283}{6} \cdot \frac{\rho^3 q \cdot \gamma_0}{I_0}$
- (4.81) $\Delta_{230} = -\frac{5}{2} \rho^2 q \left(\frac{1}{12} \cdot \frac{\rho^2}{I_0} - \frac{13}{5} \cdot \frac{\chi}{A_0} \right)$
- (4.82) $\Delta_{240} = \frac{283}{6} \cdot \frac{\rho^3 q}{I_0}$
- (4.83) $\Delta_{250} = -49 \frac{\rho^3 q \cdot \gamma_0}{I_0}$
- (4.84) $\Delta_{260} = -\frac{3}{2} \rho^2 q \left(\frac{1}{12} \cdot \frac{\rho^2}{I_0} - \frac{13}{5} \cdot \frac{\chi}{A_0} \right)$
- (4.85) $\Delta_{270} = 49 \frac{\rho^3 q}{I_0}$
- (4.86) $\Delta_{280} = -\frac{299}{6} \cdot \frac{\rho^3 q \cdot \gamma_0}{I_0}$
- (4.87) $\Delta_{290} = -\frac{1}{2} \rho^2 q \left(\frac{1}{12} \cdot \frac{\rho^2}{I_0} - \frac{13}{5} \cdot \frac{\chi}{A_0} \right)$
- (4.88) $\Delta_{300} = \frac{299}{6} \cdot \frac{\rho^3 q}{I_0}$

4.9. SCURT LA EVALUAREA EFICIENȚEI ÎN TRACȚIUNEA ÎNTR-UN

scara de trapele cu mulți coeficienți ai termenilor sunt egali între ei și că fiecare ecuație conține numai 9 termeni, primele trei și ultimele trei având doar 5 termeni ca notațiile simplificate (4.21 - 4.40) ecuațiile pot fi puse sub forma (4.89).



este cunoscută din punct de vedere teoretic.

Cu ajutorul regulei lui Cramer, de exemplu se poate rezolva un sistem liniar de "n" ecuații algebrice cu "n" necunoscute, dacă se pot calcula valorile a "n+1" determinanți, care conțin ni operații de înmulțire fiecare. Practic însă acest lucru este aproape imposibil de făcut în cazul când numărul "n" al ecuațiilor este foarte mare. Astfel pentru un sistem cu $n = 30$ de ecuații trebuie făcute ni operații pentru fiecare determinant, adică aproximativ $2,5 \cdot 10^{32}$ operații de înmulțire, ceea ce pentru un calculator obișnuit cu o viteză de $2,5 \cdot 10^6$ operații pe secundă înseamnă că s-ar realiza în 10^{26} secunde adică în aproximativ $3,15^{18}$ ani, ceea ce este imposibil de realizat.

La grinzii din profile ajurate cu deschideri mari numărul golurilor este mult mai mare decât în cazul grinzilor considerate, ceea ce face ca numărul ecuațiilor să fie mai mare și deci rezolvarea să devină și mai dificilă. În acest caz rezolvarea sistemului de ecuații trebuie făcută cu alte metode care să reducă volumul de calcul.

Metodele de rezolvare a sistemelor liniare pot fi grupate în două categorii metode exacte care dau soluția exactă a sistemului, printr-un număr finit de operații făcând abstracție de erorile de rotunjire și metode iterative care dau soluția ca limită a unei șir de soluții aproximative.

Metodele exacte pot fi directe când soluția se găsește fără a calcula inversa matricii sistemului, sau indirecte când soluția se calculează cu ajutorul inversei matricii. Metodele directe sînt echivalente, adică trebuie să conducă la aceeași soluție, deosebirea constînd doar în numărul de operații (înmulțiri, împărțiri, adunări și extrageri de radicali) care se efectuează și în ordinea lor la găsirea soluției.

1. Metoda directă a lui Gauss. Dacă majoritatea elementelor matricii A a sistemului sînt diferite de zero, și programul de rezolvare cu calculatorul folosește numai memoria principală a acestuia, atunci nu există un algoritm care să dea o soluție mai exactă și în timp mai scurt ca cea oferită de metoda lui Gauss.

În metoda Gauss numărul total de operații pentru rezolvarea unui sistem liniar cu n ecuații este de $\frac{n(n-1)}{2}(2n+5)$ înmulțiri, tot atîtea adunări și $\frac{n(n-1)}{2}$ împărțiri.

În 1965 Aliev și Akovkin-Cerbak au arătat că în cazul general al unui sistem de "n" ecuații algebrice liniare, rezolvarea acestuia nu se poate face cu un număr mai mic de operații decât cel din metoda eliminării a lui Gauss. În literatura matematică există mai multe variante echivalente algebrice a metodei lui Gauss, ele

diferind doar prin modul de păstrare a matricii în memorie, ordinea calculului, modul de anunțare a erorilor și modul de precizare a calculului soluției.

2. metoda compactă a lui Gauss este o variantă a metodei eliminării a lui Gauss, care poate fi prezentată dacă se consideră un sistem care pentru ușurință se admite format din $n = 4$ ecuații.

$$(4.94) \begin{aligned} a_{11}x_1 + a_{12}x_2 + a_{13}x_3 + a_{14}x_4 &= a_{15} \\ a_{21}x_1 + a_{22}x_2 + a_{23}x_3 + a_{24}x_4 &= a_{25} \\ a_{31}x_1 + a_{32}x_2 + a_{33}x_3 + a_{34}x_4 &= a_{35} \\ a_{41}x_1 + a_{42}x_2 + a_{43}x_3 + a_{44}x_4 &= a_{45} \end{aligned}$$

Coefficienții inițiali precum și rezultatele intermediare și finale se așează sub forma următoare :

$$(4.95) \begin{array}{cccccc} a_{11}^0 & a_{12}^0 & a_{13}^0 & a_{14}^0 & a_{15}^0 & \\ a_{21}^0 & a_{22}^0 & a_{23}^0 & a_{24}^0 & a_{25}^0 & \\ a_{31}^0 & a_{32}^0 & a_{33}^0 & a_{34}^0 & a_{35}^0 & \\ a_{41}^0 & a_{42}^0 & a_{43}^0 & a_{44}^0 & a_{45}^0 & \\ \hline b_{11}^1 & c_{12}^1 & c_{13}^1 & c_{14}^1 & c_{15}^1 & \\ b_{21}^1 & b_{22}^1 & c_{23}^1 & c_{24}^1 & c_{25}^1 & \\ b_{31}^1 & b_{32}^1 & b_{33}^1 & c_{34}^1 & c_{35}^1 & \\ b_{41}^1 & b_{42}^1 & b_{43}^1 & b_{44}^1 & c_{45}^1 & \\ \hline x_1^{12} & x_2^{11} & x_3^{10} & x_4^0 & & \end{array}$$

Prima jumătate a schemei (4.95), cuprinde coeficienții și termenii liberi ai sistemului inițial, iar în jumătatea doua se trec rezultatele intermediare și finale. Indicii superiori arată ordinea primirii rezultatelor. Coeficienții a_{11}^1 ($i = 1, 2, \dots, 4$) coincid cu a_{11}^0 iar coeficienții c_{ij}^2 se calculează din relația :

$$(4.96) \quad c_{ij}^2 = \frac{a_{ij}^1}{b_{11}^1} \quad (j = 2, 3, 4, 5)$$

astfel încît prima ecuație devine :

$$(4.97) \quad x_1 + c_{12}^2 x_2 + c_{13}^2 x_3 + c_{14}^2 x_4 = c_{15}^2$$

Cu ajutorul acestei ecuații se poate elimina x_1 din celelalte trei ecuații dacă se scoate x_1 din (4.97) și se înlocuiește în celelalte ecuații din (4.94) iar coeficienții b_{12}^3 ai necunoscutei x_2 vor fi :

$$(4.98) \quad b_{i2}^3 = a_{i2}^1 - b_{i1}^1 c_{12}^2 \quad (i = 2, 3, 4)$$

răcindu ca în a doua ecuație, după eliminarea lui x_1 , coeficientul lui x_2 să fie egal cu 1 ecuația devine :

$$(4.99) \quad x_2 + c_{23}^4 x_3 + c_{24}^4 x_4 = c_{25}^4$$

în care :

$$(4.100) \quad c_{2j}^4 = \frac{a_{2j}^1 - b_{21}^1 \cdot c_{1j}^2}{b_{22}^3} \quad (j = 3, 4, 5)$$

scotîndu pe x_2 din (4.99) și înlocuindu-l alături de x_1 din (4.97) și înlocuind în ecuațiile a treia și a patra din 4.94 rezultă coeficientul lui x_3

$$(4.101) \quad b_{i3}^5 = a_{i3}^1 - b_{i1}^1 c_{13}^2 - b_{i2}^3 \cdot c_{23}^4 \quad (i = 3, 4)$$

iar ecuația a 3-a devine dacă se împarte cu coeficientul lui x_3

$$(4.102) \quad x_3 + c_{34}^6 x_4 = c_{35}^6$$

în care :

$$(4.103) \quad c_{3j}^6 = \frac{a_{3j}^6 - b_{31}^1 \cdot c_{1j}^2 - b_{32}^2 \cdot c_{2j}^4}{c_{34}^6} \quad (j = 4, 5)$$

și apoi eliminând pe x_3 coeficientul lui x_4 devine :

$$(4.104) \quad b_{44}^7 = a_{44}^7 - b_{41}^1 \cdot c_{14}^2 - b_{42}^2 \cdot c_{24}^4 - b_{43}^3 \cdot c_{34}^6$$

iar ecuația a 4-a dacă se împarte cu coeficientul lui x_4 devine :

$$(4.105) \quad x_4 = c_{45}^8$$

în care :

$$(4.106) \quad c_{45}^8 = \frac{a_{45}^8 - b_{41}^1 \cdot c_{15}^2 - b_{42}^2 \cdot c_{25}^4}{b_{44}^7}$$

în cazul general al unui număr n de ecuații cu tot atâtea necunoscute, se pot scrie coeficienții b_{ij}^{2j-1} și $c_{j\ell}^{2j}$ sub forma :

$$(4.107) \quad b_{ij}^{2j-1} = a_{ij}^{2j-1} - \sum_{k=1}^{j-1} b_{ik}^{2k-1} \cdot c_{kj}^{2k} \quad (i = j, j+1, \dots, n)$$

$$(4.108) \quad c_{j\ell}^{2j} = \frac{a_{j\ell}^{2j} - \sum_{k=1}^{j-1} b_{jk}^{2k-1} \cdot c_{k\ell}^{2k}}{b_{jj}^{2j-1}} \quad (\ell = j+1, j+2, \dots, n+1)$$

iar necunoscutele x_n, x_{n-1}, \dots, x_1 rezultă succesiv din sistemul de ecuații :

$$(4.109) \quad x_i + \sum_{k=i+1}^n c_{ik}^{2i} x_k = c_{i, n+1}^{2i} \quad (i = n, n-1, \dots, 1)$$

La metoda lui Gauss ocupată numărul de operații este același ca la metoda obișnuită, dar ea este mai comodă deoarece numărul înregistrărilor în tabelă este mai mic, iar sumele care intră în coeficienții b_{ij}^{2j-1} , $c_{j\ell}^{2j}$ se pot calcula ușor cu mașini de calcul simple. Metoda se complică la un număr mare de ecuații.

3. Metoda indirectă a descompunerii matricii în blocuri

Această metodă se bazează pe calculul inversei unei matrici cu ajutorul descompunerii sale în blocuri convenabile. Dacă A este o matrice pătrată neregulară al cărui determinant atașat este diferit de zero ea se poate descompune în blocuri sau submatrici convenabile și anume :

$$(4.110) \quad [A] = \begin{bmatrix} A_{11}(r, r) & A_{12}(r, s) \\ A_{21}(s, r) & A_{22}(s, s) \end{bmatrix}$$

În parantezele mici sînt scrise ordinele submatricilor din blocuri, prima literă indicînd numărul de linii iar a doua numărul de coloane, astfel că dacă n este ordinul matricii pătrate inițiale

$[A]$ rezultă :

$$(4.111) \quad r + s = n$$

În acest caz matricea inversă a matricii A este de forma :

$$(4.112) \quad [B] = [A^{-1}] = \begin{bmatrix} B_{11}(r, r) & B_{12}(r, s) \\ B_{21}(s, r) & B_{22}(s, s) \end{bmatrix}$$

care satisface relația :

$$(4.113) \quad [B] \cdot [A] = [A^{-1}] [A] = [U_n]$$

în care $[U_n]$ este matricea unitate de ordinul n .

Dacă se fac înmulțirile celor două matrici rezultă ecuațiile :

$$\begin{aligned}
 & B_{11} A_{11} + B_{12} A_{21} = U_1 \\
 (4.114) \quad & B_{11} A_{12} + B_{12} A_{22} = 0 \\
 & B_{21} A_{11} + B_{22} A_{21} = 0 \\
 & B_{21} A_{12} + B_{22} A_{22} = U_2
 \end{aligned}$$

Acest sistem de ecuații matriceală, trebuie rezolvat în raport cu matricile care intră în descompunerea în submatrici a matricii inverse $[B] = [A^{-1}]$ și se obține :

$$\begin{aligned}
 (4.115) \quad & B_{11} = A_{11}^{-1} + X \theta^{-1} Y \quad ; \quad B_{21} = -\theta^{-1} Y \\
 & B_{12} = -X \theta^{-1} \quad \quad \quad B_{22} = \theta^{-1}
 \end{aligned}$$

în care :

$$\begin{aligned}
 & X = A_{11}^{-1} A_{22} \\
 (4.116) \quad & \theta = A_{22} - Y A_{12} = A_{22} - A_{21} X
 \end{aligned}$$

Aceste ecuații definesc matricea inversă $[B] = [A^{-1}]$ în cazul cînd există matricile inverse $[A_{11}^{-1}]$ și $[\theta^{-1}]$, deoarece dacă se cunoaște matricea inversă A_{11}^{-1} , matricile X, I, se obțin prin înmulțirile (4.112).

În acest fel inversarea unei matrici de ordinul n, se reduce la inversarea unor matrici de ordin mai mic. Alegerea submatricilor din blocuri se face convenabil încît să conducă la matrici de tip A_{11} și ale căror inverse se pot calcula mai simplu.

4. Metode de rezolvare a matricilor bandă. Matricile pătrate la care mai multe elemente sînt nule, iar elementele ne-nule sînt așezate simetric față de diagonala principală poartă denumirea de **matricea bandă**. Lățimea benzii în care sînt grupate elementele diferite de zero, în vecinătatea diagonalei principale este $2m+1$, și la care toți termenii $a_{ij} = 0$ dacă $|i-j| > m$ în care $m = \frac{l-1}{2}$, l fiind numărul elementelor diferite de zero de pe o linie sau coloană.

Matricea coeficienților sistemului de ecuații, din (4.89) este o astfel de matrice bandă.

În acest caz dacă $[A]$ este matricea bandă, atunci se poate considera o matrice $[\bar{A}]$ formată din matricea $[A]$ prin eliminarea primelor "a" coloane și a ultimelor "m" linii. Matricea $[A]$ este inferior triunghiulară de mărime n-m, n fiind numărul liniilor și coloanelor matricii $[A]$. Dacă se notează cu x vectorul :

$$(4.117) \quad \langle \bar{x} \rangle = \langle x_{m+1} \dots x_n \rangle$$

și cu u_1, u_2, \dots, u_m coloanele matricii $[A]$ din care s-au eliminat ultimele m elemente, iar b este vectorul care se obține din $[B]$ în același mod, atunci dacă nu sînt luate în considerare ultimele "n" ecuații

se obține :

$$(4.118) \quad [A] \langle \bar{x} \rangle = \langle \bar{b} \rangle \langle x, \bar{u}_1 + \dots + x_m \bar{u}_m \rangle$$

Deoarece matricea A este triunghiulară, înseamnă că ea este și inversabilă și poate fi scrisă relația :

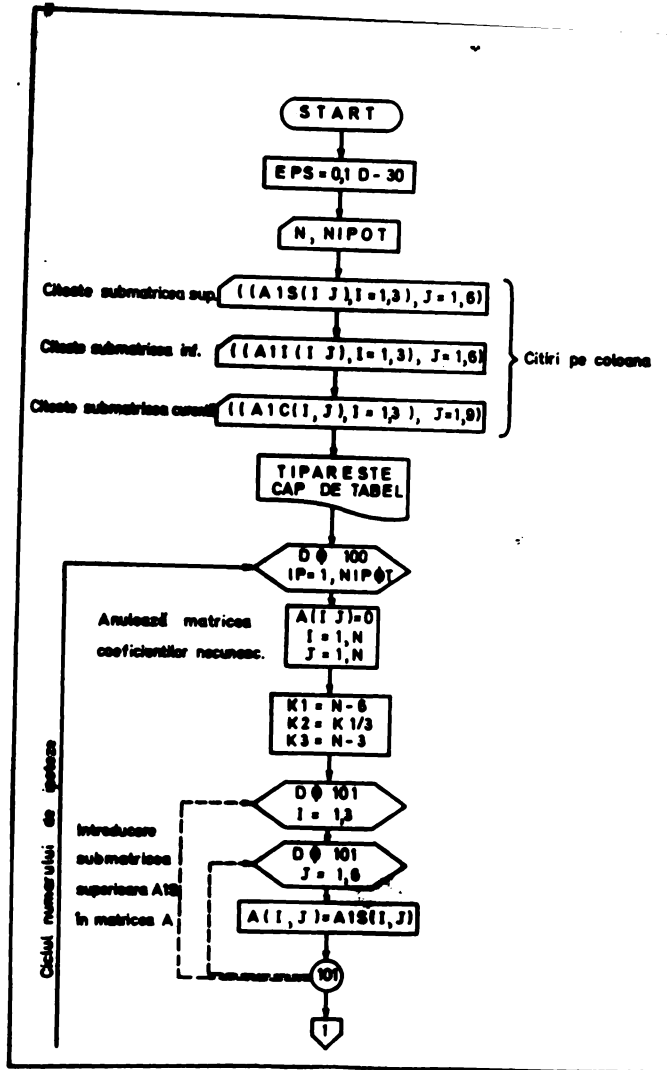
$$(4.119) \quad \langle \bar{x} \rangle = \langle A^{-1} \bar{b} - x_1 A^{-1} \bar{u}_1 \dots - x_m A^{-1} \bar{u}_m \rangle$$

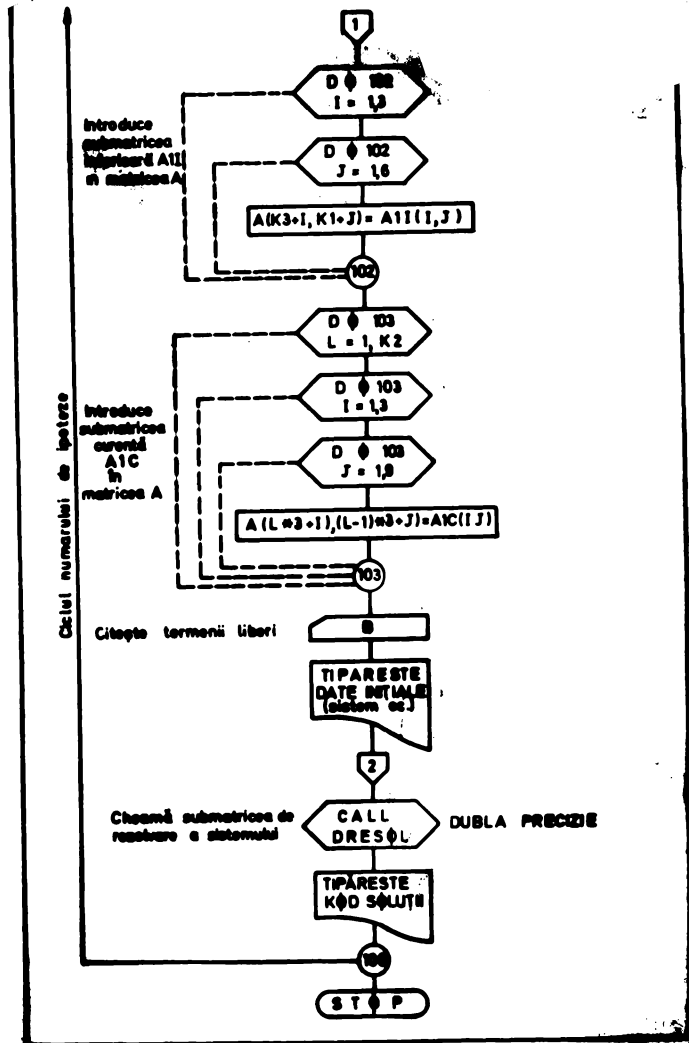
de unde rezultă necunoscutele $x_{n+1} \dots x_n$ în funcție de necunoscutele $x_1 \dots x_n$. Rezolvînd apoi sistemul format din ultimele n ecuații, în care x_k cu $k = n$ se exprimă funcție de $x_1 \dots x_n$ și deci sistemul va rămîne cu n ecuații cu n necunoscute, se obțin valorile acestor necunoscute $x_1 \dots x_n$, care apoi înlocuite în 4.119 conduc la găsirea necunoscutelor $x_{n+1} \dots x_n$. Acest mod de calcul permite reducerea volumului de lucru, deoarece rezolvarea unui sistem de "n" ecuații cu "n" necunoscute se reduce la rezolvarea unui sistem de "m" ecuații cu "m" necunoscute, care în cazul unui număr "n" mic de ecuații poate fi rezolvat cu o mașină de calcul obișnuită.

Toate aceste metode prezentate, devin incomode dacă numărul ecuațiilor este mare, cum este cazul pentru grinzile ajurate cu deschideri mari și care au deci un număr mare de goluri.

În acest caz rezolvarea acestui sistem de ecuații liniare trebuie făcută cu ajutorul calculatorului electronic.

Pentru matricea bandă, scrisă pentru profilele ajurate, care are unele particularități în sensul că are trei submatrici distincte prima ce conține primele 3 ecuații notată cu A1B, a doua formată din ultimele trei ecuații A1I și una curentă care se repetă de $\frac{N-6}{3}$ ori notată cu A1C, organigrama programului, pentru N ecuații, cu NIP T - numărul de ipoteze, adică de vectori termeni liberi, poate fi scrisă sub forma :





Pentru rezolvarea acestui sistem matricial se folosește, subprogramul DEKSOL cu dublă precizie, aflat în biblioteca Centrului teritorial de calcul Timișoara.

Pentru grinzi verificate și încercate experimental s-a înlocuit programul pe baza organigramei de mai sus, și s-a rezolvat sistemul de 30 de ecuații cu 30 de necunoscute.

Acest program ca și soluțiile sistemului de ecuații sînt redate în capitolul 9 atât pentru grinzi din profile cu goluri hexagonale cît și pentru grinzi din profile cu goluri circulare, unde s-a făcut calculul grinzilor încercate experimental și unde sînt prezentate comparații între calculul exact și cel simplificat al grinzilor ajurate.

CAPITOLUL 5

CALCULUL SIMPLIFICAT AL ELEMENTELOR DIN PROFILE AJURATE SOLICITATE LA ÎNCOVIERE CU COMPRESIUNE

5.1. GENERALITĂȚI

Profilele ajurate atât cele obișnuite, cât și cele cu goluri circulare, pot fi folosite pe scară largă și la elementele sollicitate la încoviere cu compresione, întâlnite des în construcții metalice. Din categoria acestor elemente fac parte următoarele :

- stâlpii metalici independenți, sau stâlpii cadrelor transversale a halelor industriale cu deschideri mici, sollicitați la încoviere și compresione ;
- rigiele cadrelor transversale ale halelor ușoare, realizate ca rigie drepte sau curbe sollicitate de asemenea la încoviere și compresione ;
- rigiele cadrelor transversale ale clădirilor înalte ;
- stâlpii și consolele cadrelor de tip peron.

5.2. CALCULUL ELEMENTELOR DIN PROFILE AJURATE CU GOLURI HEXAGONALE ȘI OCTOGONALE

Calculul elementelor din profile ajurate cu goluri hexagonale și octogonale supuse la încoviere cu compresione se face în mod simplificat suprapunând peste efectul încovierii și pe cel produs de forța axială de compresione.

5.2.1. Calculul și verificarea de rezistență a tălpilor profilelor ajurate

În elementele construcțiilor metalice supuse la solicitare de încoviere cu forță axială de compresione, iau naștere într-o secțiune carecarea trei solicitări : momentul încovierilor M , forța tăietoare T și forța axială N .

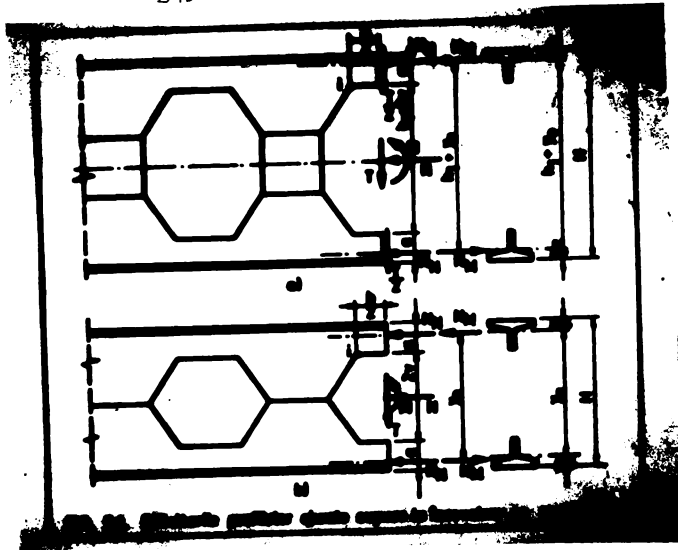
Pentru calculul profilelor ajurate solicitările se determină în dreptul axului golului în care efectul lor însumat este cel mai mare (fig.5.1).

Secțiunea în care se face verificarea eforturilor unitare normale este și în acest caz secțiunea din colțul golurilor.

Solicitările din fig.5.1 dau naștere unor eforturi unitare normale și tangențiale. Pentru a determina eforturile unitare normale însumate se suprapune peste efortul unitar normal produs de moment și forța tăietoare determinat cu relația (3,5) efortul unitar normal σ_N produs de forța axială de compresione N care se consideră repartizată în mod egal la cele două profile $T(N/2)$ și care rezultă

din relația :

$$(5.1) \quad \bar{\sigma}_N = \frac{N}{2A_0}$$



Iar efortul însumat, respectiv condiția de verificare poate fi scrisă sub forma următoare :

- pentru profilele ajurate cu goluri octogonale :

$$(5.2) \quad \bar{\sigma} = \frac{1}{(h_1 + y_0) A_0} \left[\frac{N(h_1 + y_0)}{2} + M + \alpha' T \right] \leq \bar{\sigma}_a$$

- pentru profilele ajurate cu goluri hexagonale ($h_1 = 0$)

$$(5.2a) \quad \bar{\sigma} = \frac{1}{y_0 A_0} \left(\frac{N y_0}{2} + M + \alpha'' T \right) \leq \bar{\sigma}_a$$

în care α' și α'' sînt notațiile (3.4) și (3.4a).

Verificarea eforturilor unitare normale cu relațiile (5.2) și (5.2a) se face în secțiunea unde suma eforturilor este maximă. Ținînd seama de faptul că forța axială este în general constantă și apertul ei la efortul însumat este redusă, secțiunea de calcul se stabilește analitic sau grafic cum este arătat în paragraful 3.2.1.1 și în figura 3.5 funcție de moment și forța tăietoare.

Variația eforturilor unitare din cele trei solicitări este asemănătoare cu cea de la încovoiere cu deosebirea că se mai suprapun solicitări constante de compresune, care fac ca unul din profilele T care este comprimat și din încovoiere să fie mai solicitat.

Valorile coeficienților α' și α'' se calculează sau se scot din fig. 3.2 și 3.3.

Eforturile unitare tangențiale se calculează ca și la elementele supuse numai la încovoiere cu relația (3.12).

În afară de verificarea eforturilor unitare normale și tangențiale este necesar să se facă și verificarea eforturilor unitare echivalente. Verificarea eforturilor unitare echivalente se face în

in secțiunea din axul golurilor mai solicitate, în dreptul axei profi-
lelor T cu relația :

$$(5.3) \quad \sigma_{ach} = \sqrt{(\sigma_N + \sigma_M)^2 + 3\tau^2} \leq 1,1 \sigma_a$$

Înlocuind eforturile σ_M , σ_N și τ calculate în aceeași secțiune rezultă relațiile de verificare :

- pentru profile ajurate cu goluri octogonale :

$$(5.4) \quad \sigma_{ech} = \sqrt{\left[\frac{N}{2A_0} + \frac{M}{(h_1 + y_0) A_0} \right]^2 + 3 \frac{T^2 S_x^2}{4d^2 J_x^2}} \leq 1,1 \sigma_a$$

- pentru profile ajurate cu goluri hexagonale :

$$(5.4a) \quad \sigma_{ech} = \sqrt{\left[\frac{N}{2A_0} + \frac{M}{y_0 A_0} \right]^2 + 3 \frac{T^2 S_x^2}{4d^2 J_x^2}} \leq 1,1 \sigma_a$$

mărimile au semnificațiile arătate în capitolul 2 și 3.

5.2.2. Verificarea de rezistență și a stabilității montanților

Întrucît verificarea de rezistență și a stabilității montanților se face numai la secțiunea forței tăietoare, aceasta se face așa cum s-a arătat în paragrafele 3.2.2 și 3.2.3.

5.2.3. Verificarea stabilității elementelor sudura la încovoiere cu compresiune

Elementele realizate din profile ajurate, supuse la încovoiere cu compresiune (cazul stîlpilor), au tendința de a-și pierde stabilitatea datorită eforturilor de compresiune care iau naștere din forța axială și din momentul încovietor. Pentru verificarea stabilității, profilele ajurate solicitate la încovoiere cu compresiune, pot fi asemănate cu barele alcătuite din elemente mult depărtate unul de altul și legate între ele cu plăcuțe.

Verificarea stabilității propusă în "Instrucțiunile tehnice de proiectare a elementelor construcțiilor metalice alcătuite din profile cu goluri în inimă [3] se face ca pentru barele depărtate (în acest caz profilele T) legate din loc în loc, cu plăcuțe (în cazul profilelor ajurate montanților) și comportă două verificări ; verificarea întregului profil și verificarea ramurei celei mai comprimate.

5.2.3.1. Verificarea stabilității întregului profil ajurat

Verificarea stabilității se face cu relațiile date de STAS

763/1-71

$$(5.5) \quad \sigma = \frac{N}{\varphi_{min} A_1} + \frac{M}{W_1} \leq \sigma_a$$

în care A_1 și W_1 sînt caracteristicile geometrice ale întregii secțiuni în dreptul axului golurilor ;

φ_{min} - este coeficientul de flambaj minim al barei.

Coeficienții de flambaj se iau din tabelele 42 pentru OL 37 și 44 pentru oțelul OL 52 din STAS 763/1-71, funcție de sveltetea axială

Coefficienții de zveltețe λ față de axele x și y se calculează ținând seama că axa x nu taie materialul, iar axa y taie materialul secțiunii (profilele I) fig.5.2.

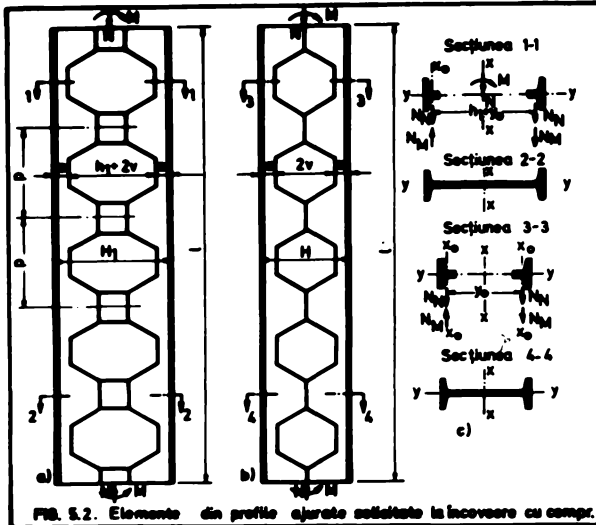


FIG. 5.2. Elemente din profile ajurate solicitate la încovoiere cu compr.

În aceste condiții coeficientul de zveltețe față de axa x care nu taie materialul este :

$$(5.6) \quad \lambda_{x+r} = \sqrt{\lambda_x^2 + \lambda_0^2}$$

în care λ_x - este coeficientul de zveltețe al întregii secțiuni în raport cu axa x .

$$(5.7) \quad \lambda_x = \frac{l_{fx}}{i_x}$$

λ_0 - este coeficientul de zveltețe a unui singur profil T în raport cu axa x_0 paralelă cu axa x (fig.5.2.c)

$$(5.8) \quad \lambda_0 = \frac{l_{f0}}{i_0} = \frac{P}{i_0}$$

- este lungimea de flambaj a elementului realizat din profile ajurate în raport cu axa x ce nu taie materialul care se ia conform STAS 763/1-71 ;

i_x - este raza de girație a întregii secțiuni din dreptul golurilor

$$(5.9) \quad i_x = i_1 = \sqrt{\frac{I_1}{A_1}}$$

I_1 și A_1 se iau din anexa 2 și au semnificațiile arătate în capitolul 2 ;

l_{f0} - este lungimea de flambaj a unui singur profil T egală cu :

$$(5.10) \quad l_{f0} = P$$

- este raza de girație a unui singur profil T

$$(5.11) \quad i_0 = \sqrt{\frac{I_0}{A_0}}$$

I_0, A_0 avind semnificațiile din cap.2 și sînt date în anexa 1.

Coefficientul de zveltețe față de axa y care taie materialul este :

$$(5.12) \quad \lambda_y = \frac{l_{fy}}{i_y}$$

în care : l_y - este lungimea de flambaj a profilului ajurat în raport cu axa y egală cu distanța dintre punctele de fixare și afara planului său de rigiditate maximă conform STAS 763/1-71 ;

i_y - este raza de girație a profilului întreg în raport cu axa y (anexa 2).

5.2.3.2. Verificarea stabilității ramurei celei mai comprimate

Datorită acțiunii simultane a forței axiale și a momentului încovoietor, una din ramurile formate din profilele T ale profilului ajurat este mai comprimată. Considerînd secțiunea formată din cele două profile T , forța axială ce revine ramurei celei mai comprimate, se obține împărțind forța axială N în mod egal la cele două profile T , iar momentul se descompune într-un cuplu (capitolul 3) și rezultă:

$$(5.13) \quad N_r = \frac{N}{2} + \frac{M}{h_T \gamma_0} \quad \text{pentru profile cu goluri octogonale}$$

$$(5.13a) \quad N_r = \frac{N}{2} + \frac{M}{\gamma_0} \quad \text{pentru profile cu goluri hexagonale}$$

Stabilitatea ramurei celei mai comprimate se verifică cu relația :

$$(5.14) \quad \sigma_r = \frac{N}{\varphi_{rmin} A_0} \leq \sigma_a$$

în care φ_{rmin} - este coeficientul de flambaj minim a ramurei celei mai comprimate care se scoate din tabele pentru zveltețea maximă dintre $\lambda_{xr} = \lambda_0$ din relația (5.8) și $\lambda_{yr} = \lambda_y$ din relația (5.12).

5.2.3.3. Verificarea rigidității profilelor ajurate

Elementele supuse la compresione și încovoiere, realizate din profile ajurate trebuie să aibă asigurată zveltețea necesară, verificată de relația :

$$(5.15) \quad \lambda_{max} \leq \lambda_a$$

λ_{max} fiind valoarea maximă dintre λ_{xtr} și λ_y iar λ_a zveltețea admisă care este dată în STAS 763/1-71.

Săgeata elementelor supuse la compresione și încovoiere se calculează la fel ca și la elementele supuse la încovoiere.

5.3. CALCULUL ELEMENTELOR DIN PROFILE AJURATE CU GOLURI CIRCULARE ȘI OVALE

Considerînd elementele realizate din profile ajurate cu goluri circulare și ovale, supuse la încovoiere și compresione, ca niște bare formate din elemente depărtate și legate cu plăcuțe, condițiile de verificare se deduc suprapunînd peste eforturile calculate din încovoiere și pe cele din forța axială.

5.3.1. Calculul și verificarea de rezistență a tălpilor profilelor ajurate

Din cele trei solicitări care iau naștere ca și la profilele

ajurate cu goluri hexagonale ; momentul M , forța tăietoare T și cea axială N , eforturile unitare normale se obțin suprapunând peste eforturile din încovoiere determinate în cap.3 eforturile din forța axială (fig.5.3).

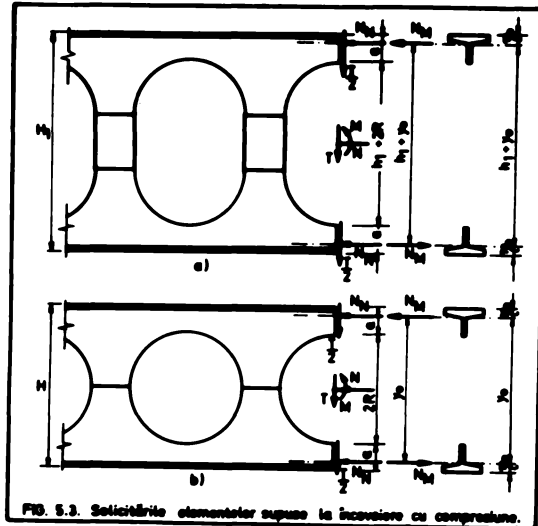


FIG. 5.3. Solicitățile elementelor supuse la încovoiere cu compresiune.

Datorită formei golurilor, trebuie verificate eforturile în axul golurilor și în secțiunea curență.

În secțiunea din axul golurilor iau naștere eforturi numai din forța axială N și din moment care se verifică cu relația :

$$(5.16) \sigma_o = \frac{1}{A_o} \left(\frac{N}{2} + \frac{M}{h+y_o} \right) \leq \sigma_a \quad \text{pentru goluri ovale}$$

$$(5.16a) \sigma_o = \frac{1}{A_o} \left(\frac{N}{2} + \frac{M}{y_o} \right) \leq \sigma_a \quad \text{pentru goluri circulare}$$

În secțiunea curență definită prin unghiul φ , efortul însumat se obține suprapunând peste efortul din moment și forța tăietoare dat de relațiile (3.89) și (3.89.a) și efortul produs de forța axială N care acționează prin efectul de forța axială și de moment local ca în fig.5.4 egal cu :

$$(5.17) \sigma_N = \frac{N}{2A\varphi} - \frac{N\Delta\varphi}{2W\varphi^2} = \frac{N}{2} \left(\frac{1}{A\varphi} - \frac{\Delta\varphi}{W\varphi^2} \right) = \frac{N}{2} \theta$$

θ fiind notația din relația (3.79).

Însumând eforturile din relațiile (3.89) și (3.89 a) și cel din relația (5.17) rezultă condițiile de verificare :

- pentru profile cu goluri ovale :

$$(5.18) \sigma_\varphi = \left(\frac{N}{2} + \frac{M}{h+y_o} \right) \theta + T\lambda \leq \sigma_a$$

- pentru profile cu goluri circulare :

$$(5.18a) \sigma_\varphi = \left(\frac{N}{2} + \frac{M}{y_o} \right) \theta + T\lambda \leq \sigma_a$$

Efortul σ_φ produs de forța axială N și de momentul încovoiător M sînt maxime în dreptul axului golurilor ($\varphi = 0$) și minime în dreptul axului orizontal ($\varphi = 90^\circ$) în timp ce efortul din forța tăietoare este nul pentru $\varphi = 0$ și este maxim pentru un unghi φ de

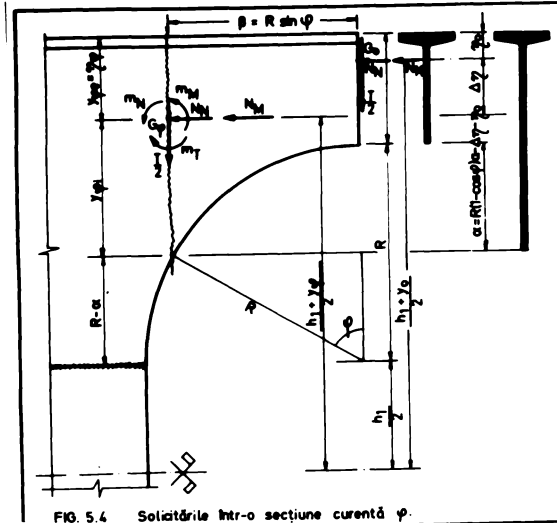


FIG. 5.4 Solicițiile într-o secțiune curentă φ .

20-25°. Variația acestor eforturi și a efortului însumat exprimat prin condițiile (5.18) și (5.18 a) este arătată în fig. 5.5 și 5.6.

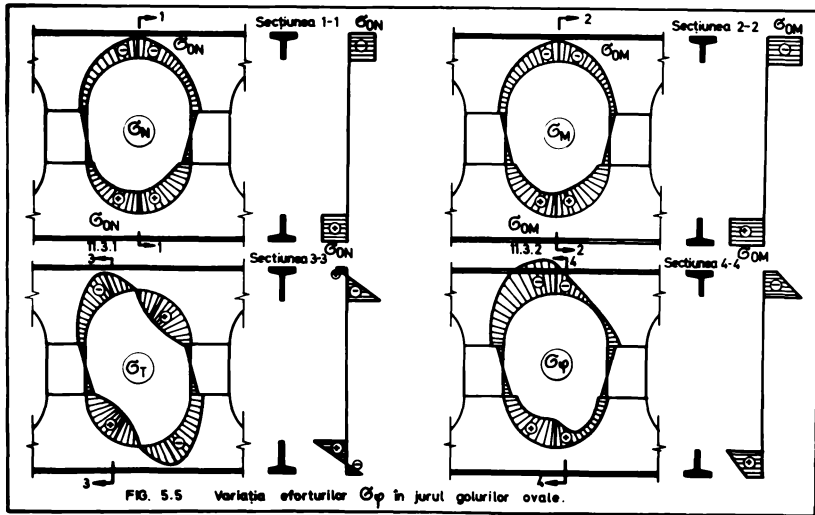


FIG. 5.5 Variația eforturilor σ_p în jurul gurilor ovale.

INSTITUTUL POLITEHNIC
TIMIȘOARA
BIBLIOTECA CENTRALĂ

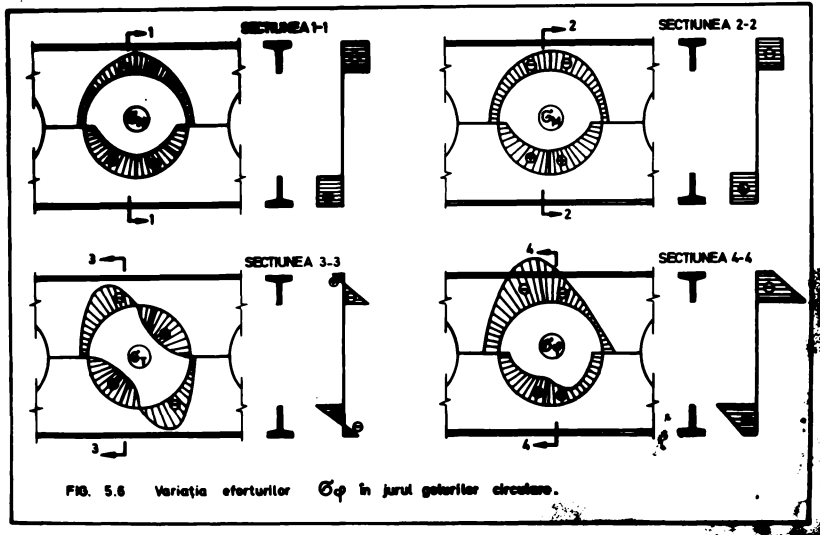


FIG. 5.6 Variația eforturilor σ_{φ} în jurul golurilor circulare.

Datorită faptului că forța axială și momentul conduc la eforturi maxime în axul vertical al golurilor, care scad cu creșterea unghiului φ , cu care crește efortul produs de forța tăietoare, efortul maxim ia naștere la un unghi cuprins în general între 0° - 10° , dar acest efort nu diferă de cel calculat în axul vertical al golurilor cu mai mult de (2-5)% diferențele de 5 % aparînd doar atunci cînd momentul și forța tăietoare sînt maxime în aceeași secțiune.

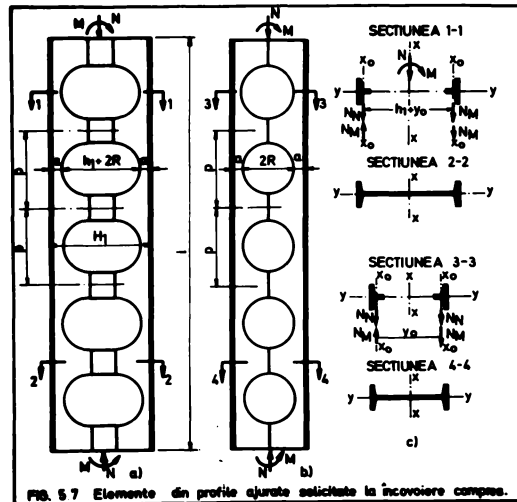
Pentru calculul practic, se poate calcula efortul în axul golurilor și verificarea se face cu relațiile (5.16) și (5.16 a), mai ales în cazul elementelor la care momentul și forța axială nu sînt maxime în aceeași secțiune și cînd diferența este de (0-2)% față de efortul maxim pentru $\varphi = (0-10^{\circ})$.

Verificarea eforturilor tangențiale se face cu relația (3.12)

Verificarea eforturilor unitare echivalente se face tot ca și la profilele ajurate cu goluri hexagonale și octogonale cu relațiile (5.4) și (5.4 a), pentru secțiunea verticală din axul golurilor. Verificarea acestor eforturi se face în secțiunea din axul unui gol unde momentul este maxim, cu forța tăietoare așierată și în secțiunea unde forța tăietoare este maximă cu momentul așierat.

5.3.2. Verificarea stabilității elementelor supuse la încovoiere cu compresie

Elementele solicitate la încovoiere cu compresie, la care iau naștere eforturi mari de compresie din acțiunea combinată a momentului încovoietor și a forței axiale, și care sînt realizate din profile ajurate cu goluri circulare și ovale au tendința de a și pierde stabilitatea prin flambaj în aceleași condiții ca și profilele ajurate obișnuite. Considerînd și în acest caz profilele ajurate ca fiind formate din două elemente legate cu plăcuțe, (fig.5.7) verificarea stabilității întregului profil se face cu relația 5.5 iar a ramurei ocolii sîi comprimate cu relația (5.14). Verificarea zveltății și a deformațiilor se face ca și în cazul profilelor cu goluri hexagonale și octogonale.



**5.4. CONCLUZII GENERALE LA CARTEA DE ÎNTELES A SOLUȚIILOR
PENTRU ÎNLEȘTIRI DE ÎNTELES ÎN COORDONATĂ
CU ÎNCOVIEREA**

Elementele solicitate la compresie cu încovoiere realizate din profile ajurate, au o bună comportare la aceste solicitări, iar din punct de vedere economic ele sînt mai eficiente decît profilele laminate dublu T, datorită caracteristicilor geometrice ale

ridicate.

Calculul profilelor ajurate se face cu relațiile indicate la paragrafele 5.2 și 5.3, pentru cele cu goluri hexagonale și octogonale verificarea făcându-se în secțiunea din colțul golurilor, iar la cele cu goluri circulare și ovale, verificarea se poate face în secțiunea din axul golurilor neglijând efectul forței tăietoare, luând în acest caz golul din apropierea secțiunii cu moment maxim, ceea ce sporește calculul și sporește eficiența acestor profile.

În comparație cu profilele laminare profilele ajurate care alcătuiesc elemente sollicitate la compresie cu încovoiere, au avantajele :

- Greutatea profilelor ajurate la aceeași îndoire și la aceeași deschidere a elementului la care se folosesc este mai redusă.

- Săgețile acestor elemente sînt mai mici ceea ce înseamnă o mai bună comportare în exploatare.

- Elementele din profile ajurate au un aspect arhitectonic mai reușit decît dacă sînt realizate din profile laminare.

- Profilele ajurate cu goluri circulare și ovale prezintă în comparație cu profilele cu goluri hexagonale și octogonale aceleași avantaje ca și în cazul elementelor sollicitate la încovoiere.

CAPITOLUL 6

CALCULUL PLEAVNELOR REALIZATE DIN PROFILE AJURATE
SOLICITATE LA ÎNCOVIERE OBLICĂ

6.1. GENERALITĂȚI

Elementele construcțiilor metalice, la care planul de acțiune al încărcărilor trece prin axa longitudinală a lor, dar nu coincide cu nici unul din planele de inerție principale ale secțiunii sînt sollicitate la încoviere oblică. Există anumite elemente realizate din profile ajurate, care sînt sollicitate la încoviere oblică, cum este cazul panelor de acoperiș, la care planul încărcărilor gravitaționale este vertical, iar axele de inerție principale sînt paralele și normale la panta acoperișului halelor. Calculul panelor și a altor elemente sollicitate la încoviere oblică, realizate din profile ajurate, se face ținînd seama de solicitările ce iau naștere într-o secțiune oarecare.

6.2. SOLICITĂRILE GRINZILOR SUPUSE LA ÎNCOVIERE OBLICĂ

Solicitările grinzilor realizate din profile ajurate, supuse la încoviere oblică, rezultă din descompunerea efectului încărcărilor după cele două axe principale de inerție ale secțiunii transversale.

Astfel în axul unui gol oarecare iau naștere momentul încovieritor și forța tăietoare. Vectorii acestor două solicitări (fig. 6.1) nu coincid cu nici una din axele de inerție principale, deoarece planul încărcărilor (forțelor) are o direcție oarecare, definită prin unghiul α față de axa verticală y (fig. 6.1 b).

Încărcarea exterioară P din planul de acțiune al forțelor care poate fi concentrată sau distribuită se descompune în componentele P_x și P_y egale cu :

$$(6.1) \quad P_x = P \cdot \cos \alpha \quad P_y = P \cdot \sin \alpha$$

Vectorul forței tăietoare dispus în planul forțelor se descompune în două componente după cele două axe :

$$(6.2) \quad T_x = P_x = T \cos \alpha = P \cos \alpha \quad T_y = P_y = T \sin \alpha = P \sin \alpha$$

Vectorul momentului este normal la planul forțelor și se descompune în componentele :

$$(6.3) \quad M_x = M \cos \alpha = \mu \cdot P \cdot l \cdot \cos \alpha \quad M_y = M \sin \alpha = \mu \cdot P \cdot l \cdot \sin \alpha$$

în care μ - este un coeficient ce ține seama de felul încărcărilor și al rezemării (pentru încărcări uniform distribuite $\mu = 1/8$).

Calculul eforturilor și verificarea acestora se poate face

sub forma unui calcul simplificat ca și la încovoiere dreaptă.

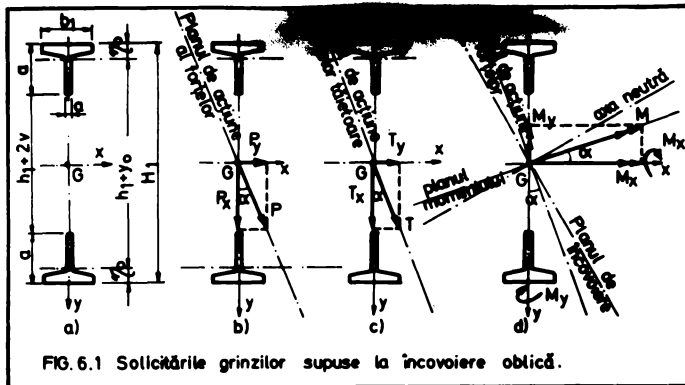


FIG. 6.1 Sollicitările grinzilor supuse la încovoiere oblică.

6.3. CALCULUL ELEMENTELOR DE PROFIL AJURATE CU GOLURI HEXAGONALE ȘI OCTOGONALE LA ÎNCOVOIERE OBLICĂ

6.3.1. Calculul și verificarea de rezistență a profilelor ajurate cu goluri hexagonale și octogonale la încovoiere oblică

În tălpile profilelor ajurate formate din profilele T cu mărginesc golurile iau naștere eforturi unitare normale σ_x și σ_y și eforturi unitare tangențiale τ_x și τ_y .

6.3.1.1. Calculul și verificarea eforturilor unitare normale

Ca și la elementele sollicitate la încovoiere dreaptă eforturile unitare normale sînt produse de momentul încovoiător și de forța tăietoare.

Din componentele M_x și T_x , care acționează în raport cu axa x se produc eforturi unitare normale care se calculează ca și la încovoiere dreaptă cu relațiile următoare la profilele cu goluri octogonale :

$$(6.4) \quad \sigma_x^M = \frac{M_x}{(h_1 + y_0)A_0}$$

$$(6.5) \quad \sigma_{xe}^T = \frac{T_x \cdot b}{4 \cdot w_e} \quad \text{și} \quad \sigma_{xi}^T = \frac{T_x \cdot b}{4 \cdot w_i}$$

fiind în fibra din exterior iar σ_{xi}^T în fibra din interior spre gol.

Semnele și variația eforturilor σ_x^M sînt arătate în fig. 6.2a, iar eforturilor σ_x^T în fig. 6.2b fiind de semn contrar pe secțiunile din stînga și dreapta axului golurilor.

Componenta M_y a momentului se consideră simplificat că se repartizează în mod egal la cele două profile T, provocînd încovoierea acestor profile în raport cu axa y verticală. Efortul unitar normal σ_y^M produs de această componentă are variația din fig. 6.2 c

fiind maxima în punctele 1 și 2 de la marginea tălpilor :

$$(6.6) \sigma_{y1}^M = -\sigma_{y2}^M = \frac{My}{2W_{y1}} = \frac{Myb_1}{4I_{y0}}$$

în care : b_1 - este lățimea tălpilor profilelor T (fig.6.2), iar I_{y0} este momentul de inerție al profilului T în raport cu axa verticală y , iar W_{y1} modulul de rezistență față de marginea tăpii profilului T.

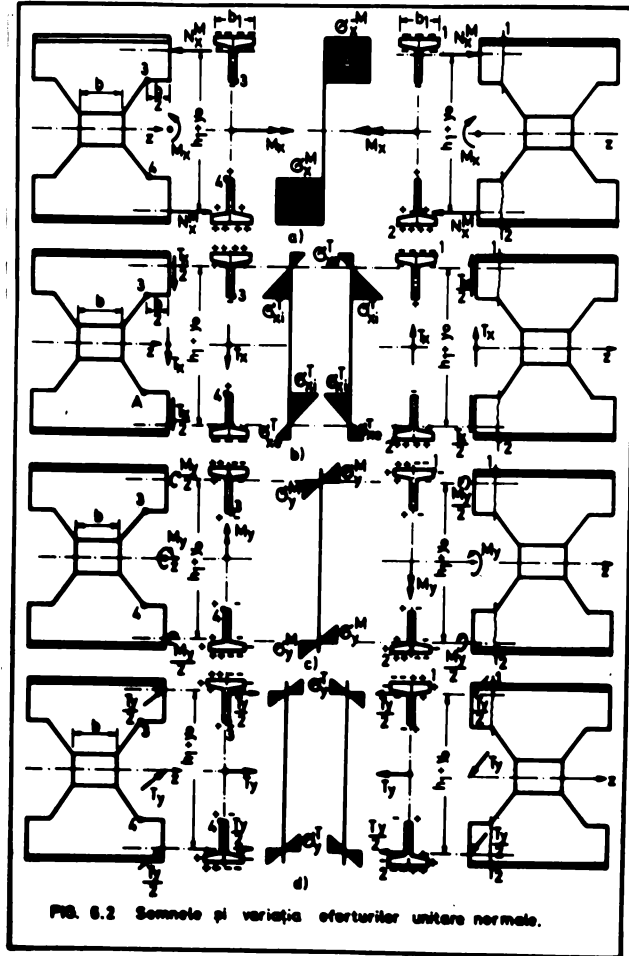


FIG. 6.2 Semnele și variația eforturilor unitare normale.

În punctele 3 și 4 de la marginea inferioară în colțul golurilor
 ies naștere eforturi foarte mici dar a căror mărime este :

$$(6.7) \sigma_{y3}^M = -\sigma_{y4}^M = \frac{Myd}{4I_y}$$

Semnele acestor eforturi sînt cele din figura 6.2 c.

Componenta T_y , a forței tăietoare care acționează normal pe axa y în centrul de greutate al golului, poate fi considerată că se repartizează egal la cele două profile T, și ele dau naștere înaș de

secțiunea din colțul golurilor, la un efort unitar normal produs de momentul local dat de forța tăietoare față de colț

$$(6.8) \sigma_{y1}^T = -\sigma_{y2}^T = \frac{M_y^T}{W_{y1}} = \frac{T_y \cdot b}{4 W_{y1}} = \frac{T_y \cdot b \cdot b_1}{8 I_y}$$

care este maxim în punctele 1 și 2 de la marginea tălpilor, iar la marginea inimii, efortul are o valoare foarte mică și anume :

$$(6.9) \sigma_{y3}^T = -\sigma_{y4}^T = \frac{T_y \cdot b \cdot d}{8 \cdot I_y}$$

Semnele și variația acestor eforturi este cea din fig. 6.2 d

Pentru verificarea eforturilor unitare normale, trebuie însușite eforturile calculate cu relațiile de la (6.4) la (6.9), în cele 4 puncte caracteristice ale secțiunii 1 și 2 la marginea tălpilor profilelor T, respectiv 3 și 4 pe cele două fețe ale inimii în colțul golurilor.

1. Verificarea eforturilor unitare normale în punctele 1 și 2 din colțul tălpilor profilelor T (fig. 6.2) rezultă însușind algebric eforturile $\sigma_{x1}^M, \sigma_{x2}^T, \sigma_{y1}^M, \sigma_{y2}^T$:

$$(6.10) \sigma_1 = -\sigma_2 = \frac{M_x}{(h_1 + y_0) A_0} + \frac{T_x}{4 W_{oe}} + \frac{M_y b_1}{4 I_y} - \frac{T_y \cdot b \cdot b_1}{8 I_y}$$

iar condiția de verificare la profile cu goluri octogonale este :

$$(6.11) \sigma_e = \frac{1}{(h_1 + y_0) A_0} (M_x + \beta' T) + \frac{b_1}{4 I_y} (M_y - \frac{b}{2} T_y) \leq 1,1 \sigma_a$$

în care β' este o notație asemănătoare cu α' din relația (3.4)

$$(6.12) \beta' = \frac{b(h_1 + y_0) A_0}{4 W_{oe}}$$

Pentru profile cu goluri hexagonale $h_1 = 0$ rezultă :

$$(6.11a) \sigma_e = \frac{1}{y_0 A_0} (M_x + \beta'' T) + \frac{b}{4 I_y} (M_y - \frac{b}{2} T_y) \leq 1,1 \sigma_a$$

cu notația :

$$(6.12a) \beta'' = \frac{b \cdot y_0 \cdot A_0}{4 W_{oe}}$$

σ_e - fiind efortul unitar normal în fibrele exterioare (punctul 1, 2).

2. Verificarea eforturilor unitare normale în punctele 3 și 4 din colțul golurilor rezultă însușind eforturile $\sigma_{x3}^M, \sigma_{x4}^T, \sigma_{y3}^M, \sigma_{y4}^T$ (fig. 6.2) :

$$(6.13) \sigma_3 = -\sigma_4 = \frac{M_x}{(h_1 + y_0) A_0} + \frac{T_x}{4 W_{oi}} - \frac{M_y d}{4 I_y} + \frac{T_y \cdot b \cdot d}{8 I_y}$$

iar condiția de verificare poate fi scrisă ținând cont de notația α' (3.4) :

$$(6.14) \sigma_i = \frac{1}{(h_1 + y_0) A_0} (M_x + \alpha' T) + \frac{d}{4 I_y} (M_y + \frac{b}{2} T_y) \leq 1,1 \sigma_a$$

care pentru profile cu goluri hexagonale devine :

$$(6.14a) \sigma_i = \frac{1}{y_0 A_0} (M_x + \alpha'' T) + \frac{d}{4 I_y} (M_y + \frac{b}{2} T_y) \leq 1,1 \sigma_a$$

σ_i - fiind efortul în fibrele interioare din colțul golurilor (punctul 3, 4).

La verificarea efortului unitar normal din încoviere oblică, la profilele ajurate în general hotărîtoare este verificarea efortului σ_e din fibrele exterioare relațiile (6.11) și (6.11 a) de carece rigiditatea la încoviere față de axa y este redusă ea nu

mărindu-se prin ajurare.

Verificarea efortului unitar normal σ din fibrele interioare cu relațiile (6.14) și (6.14 a) poate deveni hotărâtoare în cazul când unghiul α este foarte mic (în general sub 5°).

6.3.1.2. Calculul și verificarea eforturilor unitare tangențiale

Eforturile unitare tangențiale provin din cele două componente ale forței tăietoare T_x și T_y și sînt nule în fibrele exterioare și interioare (punctele 1,2 respectiv 3,4) și maxime în dreptul axei neutre. Ele se calculează în axul golului cel mai apropiat de secțiunea cu forță tăietoare maximă.

Efortul unitar tangențial din componenta T_x rezultă din relația :

$$(6.15) \quad \tau_x = \frac{T_x S_x}{2d I_o}$$

S_x fiind momentul static al secțiunii profilului T dat de relația (3.13) iar efortul unitar tangențial din componenta T_y este :

$$(6.16) \quad \tau_y = \frac{T_y S_y}{2t I_{y_0}}$$

care este maxim la racordul tălpii cu inima unde grosimea tălpii se ia t ; S_y fiind momentul static al porțiunii care lunecă față de axa y :

$$(6.17) \quad S_y = \frac{t}{8} (b_1 - d)^2$$

I_{y_0} - este momentul de inerție a profilului T față de axa y egal cu $I_y/2$ al profilului laminat.

Cele două eforturi unitare tangențiale sînt perpendiculare unul pe celălalt și sînt maxime aproape în aceeași secțiune la racordul inimei cu talpa, iar efortul resultant se obține însumînd geometric cele două eforturi condiția de verificare fiind :

$$(6.17a) \quad \tau = \sqrt{\frac{T_x^2 (a - \eta_0)^4}{16 I_o^2} + \frac{T_y^2 (b_1 - d)^4}{256 I_{y_0}^2}} \leq \tau_a = 0,6 \sigma_a$$

T_x și T_y sînt componentele forței tăietoare maxime.

6.3.1.3. Calculul și verificarea eforturilor unitare echivalente

În fibrele de la nivelul racordului tălpii cu inima profilului T există eforturi unitare tangențiale maxime și eforturi unitare normale constante din componenta M_x a momentului, care sînt cele mai mari eforturi unitare normale, precum și eforturi normale din M_y și T_y care însă fiind foarte mici pot fi neglijate. În aceste condiții efortul unitar echivalent poate fi scris sub forma :

$$(6.18) \quad \sigma_{ech} = \sqrt{\sigma_x^2 + 3\tau^2} = \sqrt{\sigma_x^2 + 3(\tau_x^2 + \tau_y^2)} \leq \sigma_a$$

în care σ_x^M se înlocuiește din relația (6.4), iar τ_x și τ_y din relațiile (6.15) și (6.16) în care T_x și T_y sînt componentele forței tăietoare calculată în aceeași secțiune cu momentul încovoietor maxim cu

care se calculează G_x^M , făcînd și o verificare cu componentele forței tăietoare maxime, luînd momentul aferent din aceeași secțiune.

6.3.2. Calculul și verificarea săgeții profilelor ajurate cu goluri hexagonale și octogonale solicitate la încovoiere oblică

Calculul și verificarea săgeții se face ținînd cont de componentele M_x și M_y a momentului încovoiator și de cele ale forței tăietoare T_x , T_y . Pentru calcul se folosesc relații simplificate de tipul celor arătate la încovoiere dreaptă, în care de efectul forței tăietoare se ține seama prin coeficientul K_f .

Săgețile după cele două axe de inerție pot fi scrise sub

forma :

$$(6.19) f_x = K_f \omega \cdot \frac{M_{x \max} \cdot l_x^2}{EI_{x \text{ med}}}$$

$$(6.20) f_y = K_f \omega \cdot \frac{M_{y \max} \cdot l_y^2}{EI_{y \text{ med}}}$$

în care l_x și l_y sînt deschiderile după cele două direcții, $I_{y \text{ med}}$ este momentul de inerție mediu care se poate lua egal cu I_y al profilelor laminate T iar $I_{x \text{ med}} = I_{x \text{ med}}$ din anexa 2.

Săgeata totală rezultă însușind geometric pe f_x și f_y și condiția de verificare a săgeții se scrie :

$$(6.21) f = \frac{K_f \omega}{E} \sqrt{\frac{M_{x \max}^2 \cdot l_x^4}{I_{x \text{ med}}^2} + \frac{M_{y \max}^2 \cdot l_y^4}{I_{y \text{ med}}^2}} \leq f_a$$

în care f_a - este săgeata admisă dată în STAS 763/1-71, $M_{x \max}$ și $M_{y \max}$ fiind componentele momentului maxim, K_f se ia din tabelul 3.2 iar ω din anexa 4.

6.4. CALCULUL ELEMENTELOR DIN PROFILE AJURATE CU GOLURI CIRCULARE ȘI OVALE SOLICITATE LA ÎNCOVOIERE OBLICĂ

6.4.1. Calculul și verificarea de rezistență a grinzilor din profile ajurate cu goluri circulare și ovale supuse la încovoiere oblică

În cazul grinzilor din profile cu goluri circulare datorită formei golurilor eforturile trebuie calculate atât în secțiunea din axul vertical al golurilor cât și în secțiunea curentă definită prin unghiul φ .

Solicitările grinzilor ajurate cu goluri circulare și ovale sînt cele calculate cu relațiile (6.2) și (6.3) și ele sînt indicate în fig.6.3.

În secțiunea din axul golurilor iau naștere eforturi unitare normale din componentele M_x și M_y care se calculează cu relațiile (6.4), (6.6) și (6.7) și eforturi unitare tangențiale ce rezultă din relațiile (6.15) și (6.16).

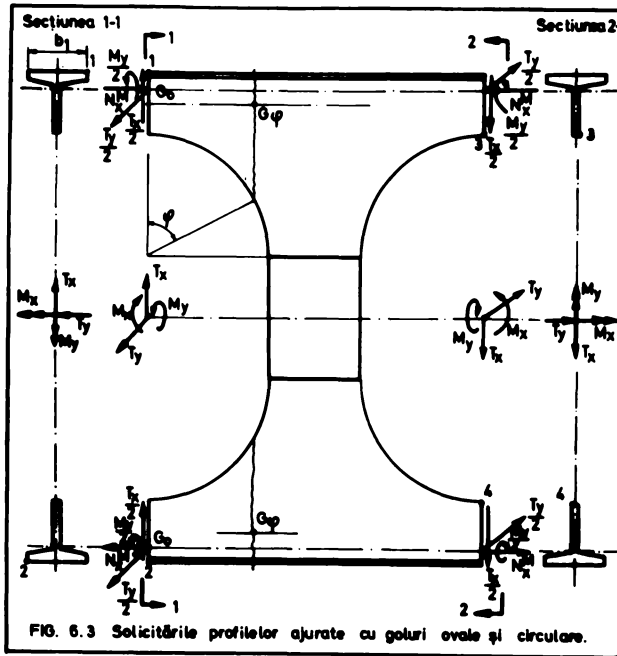


FIG. 6.3 Solicitării profilelor ajurate cu goluri ovale și circulare.

6.4.1.1. Verificarea eforturilor unitare în secțiunea din axul golurilor

Relațiile de verificare a eforturilor unitare normale în axul golurilor rezultă însumând cele două eforturi, care pentru profile cu goluri ovale se scriu pentru fibrele externe care sunt :

$$(6.22) \sigma_e = \sigma_{x1}^M + \sigma_{y1}^M = -(\sigma_{x2}^M + \sigma_{y2}^M) = \frac{M_x}{(h_1 + y_0)A_0} + \frac{M_y b_1}{4I_y} \leq 1,1 \sigma_a$$

iar pentru fibrele interioare din spre gol sub forma :

$$(6.23) \sigma_i = \sigma_{x3}^M + \sigma_{y3}^M = -(\sigma_{x4}^M + \sigma_{y4}^M) = \frac{M_x}{(h_1 + y_0)A_0} + \frac{M_y d}{4I_y} \leq 1,1 \sigma_a$$

pentru profilele cu goluri circulare ($a_1 = 0$) relațiile devin :

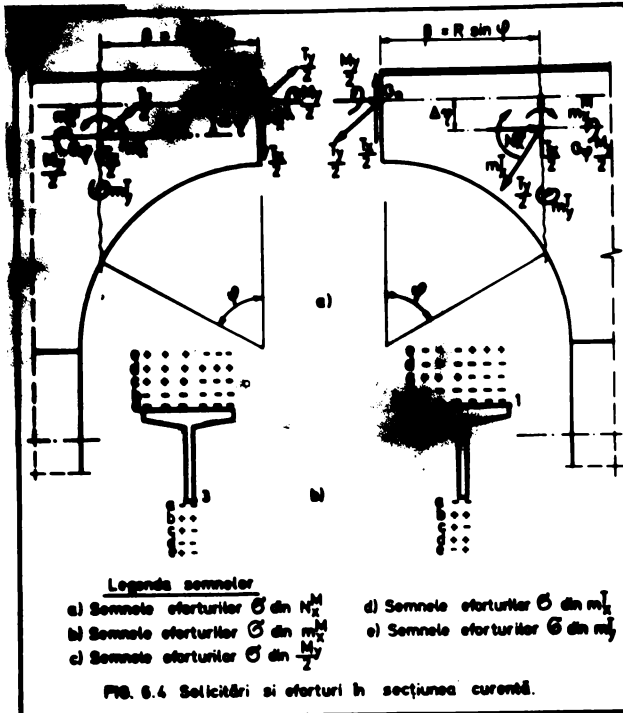
$$(6.22a) \sigma_e = \frac{M_x}{y_0 A_0} + \frac{M_y b_1}{4 \cdot I_y} \leq 1,1 \sigma_a; \quad \sigma_i = \frac{M_x}{y_0 A_0} + \frac{M_y d}{4 I_y} \leq 1,1 \sigma_a \quad (6.23a)$$

Eforturile unitare tangențiale în secțiunea din axul golurilor se verifică cu relația de încluzare (5.17), iar efortul unitar echivalent se verifică cu relația (5.18) adaptată pentru profilele ajurate cu goluri hexagonale și octogonale.

6.4.1.2. Verificarea eforturilor unitare în secțiunea curentă a profilelor ajurate cu goluri circulare și ovale

În secțiunea curentă A_{φ} a profilelor I de deasupra sau de dedesubtul golurilor, toate cele patru componente ale stărilor de tensiune $\sigma_x, \sigma_y, \tau_{xy}$ și τ_{yx} , produse eforturi unitare normale și tangențiale. Solicitățile $\sigma_x, \sigma_y, \tau_{xy}$ și τ_{yx} din centrul de greutate al profilului I din axul golurilor, se reduc în raport cu centrul de greutate al profilu-

lui T din secțiunea curentă la solicitările indicate în figura 6.4 a, care produce eforturi unitare normale al căror semn este indicat în figura 6.4 b.



Astfel din solicitările M_x și T_x eforturile unitare normale se calculează cu relațiile stabilite la încovoiere dreaptă care pentru profilele ajurate cu goluri ovale pot fi scrise astfel :

- pentru fibrele exterioare (punctele 1 și 2)

$$(6.24) \sigma_{pe}^x = \frac{M}{h_1 + y_0} \left(\frac{1}{A\psi} + \frac{\Delta r}{W_{pe}} \right) + \frac{T_x \cdot \beta}{2W_{pe}}$$

- pentru fibrele interioare de pe marginea golurilor (punctele 3 și 4) :

$$(6.25) \sigma_{pi}^x$$

Componenta M_y repartizată ca și la profilele cu goluri hexagonale în mod egal celor două profile T produce eforturi unitare normale care sînt maxime la marginea tălpii profilului T, iar componenta T_y prin momentul M_y la care se reduce în centrul de greutate G_p dă naștere la eforturi σ de semn contrar cu celelalte eforturi în punctul 1 și de același semn în punctul 3 pe conturul golurilor astfel ca rezultă :

- pentru fibrele exterioare (punctele 1 și 2)

$$(6.26) \sigma_{pe}^y = \frac{M_y \cdot b_1}{4I_y} - \frac{T_y \cdot \beta \cdot b_1}{4I_y} = \frac{b_1}{4I_y} (M_y - T_y \cdot \beta)$$

- pentru fibrele interioare (punctele 3 și 4).

$$(6.27) \sigma_{pi}^y = \frac{M_y \cdot d}{4I_y} + \frac{T_y \cdot \beta \cdot d}{4I_y} = \frac{d}{4I_y} (M_y + T_y \cdot \beta)$$

Verificarea eforturilor unitare normale încadrate în fibrele exterioare și interioare se face încadruând eforturile din componente după direcția x (6.24 și 6.25) cu cele după direcția y (6.26 și 6.27).

Pentru profilele ajurate cu goluri ovale relația de verificare este :

- pentru fibrele exterioare (punctele 1 și 2, fig. 6.3)

$$(6.28) \sigma_{pe} = \frac{M_x}{(b_1 + y_0)A_0} \left(\frac{1}{A\varphi} + \frac{\Delta y}{W_{pe}} \right) + \frac{T_x \beta}{2 W_{pe}} + \frac{b_1}{4 I_y} (M_y - T_y \beta) \leq 1,1 \sigma_a$$

sau făcând notațiile :

$$(6.29) \theta = \frac{1}{A\varphi} + \frac{\Delta y}{W_{pe}} ; \lambda' = \frac{\beta}{2 W_{pe}} ; \psi' = \frac{b_1}{4 I_y}$$

relația de verificare poate fi scrisă :

$$(6.30) \sigma_{pe} = \frac{M_x}{(b_1 + y_0)A_0} \theta' + T_x \lambda' + \psi' (M_y - T_y \beta) \leq 1,1 \sigma_a$$

- pentru fibrele interioare (punctele 3 și 4 fig. 6.3) :

$$(6.31) \sigma_{pi} = \frac{M_x}{(b_1 + y_0)A_0} \left(\frac{1}{A\varphi} - \frac{\Delta y}{W_{pi}} \right) + \frac{T_x \beta}{2 W_{pi}} + \frac{d}{4 I_y} (M_y + T_y \beta) \leq 1,1 \sigma_a$$

care cu notațiile θ din relația (3.79) și λ (3.85) și cu notația :

$$(6.32) \psi'' = \frac{d}{4 I_y}$$

poate fi scris :

$$(6.33) \sigma_{pi} = \frac{M_x}{(b_1 + y_0)A_0} \theta + T_x \lambda + \psi'' (M_y + T_y \beta) \leq 1,1 \sigma_a$$

pentru profilele ajurate cu goluri circulare relațiile sînt :

$$(6.30a) \sigma_{pe} = \frac{M_x}{y_0 A_0} \theta' + T_x \lambda' + \psi' (M_y - T_y \beta) \leq 1,1 \sigma_a$$

$$(6.30a) \sigma_{pi} = \frac{M_x}{y_0 A_0} \theta + T_x \lambda + \psi'' (M_y + T_y \beta) \leq 1,1 \sigma_a$$

Eforturile unitare tangențiale nu se verifică decît în axul golurilor.

6.4.2. Verificarea săgeții grinzilor solicitate la încovoiere oblică realizate din profile ajurate cu goluri circulare și ovale

Verificarea săgeții se face și în cazul grinzilor din profile ajurate cu goluri circulare tot cu relația (6.21) de la profile ajurate cu goluri exagonale în care înlocuiește cu înlocuiește cu înlocuiește stabilit cum s-a arătat în cap. 3.

6.5. CONCLUZII

1. La grinzile realizate din profile ajurate, folosite la elemente solicitate la încovoiere oblică, spre deosebire de grinzile solicitate la încovoiere dreaptă, verificarea de rezistență se face atât în fibrele exterioare cît și în cele interioare, relațiile (6.11) (6.14), (6.30) și (6.33).

2. Determină faptul că prin ajurare nu crește rigiditatea față de axa y, la unghiuri α de inclinare a liniei forțelor față de axele de inerție mai mari de 5° hotărîtoare sînt în general relații-

le de verificare (6.11) și (6.30) pentru fibrele exterioare, la care în punctele 1 și 2 eforturile din componentele după axa y sînt mari, ceea ce înseamnă că la aceste unghiuri folosirea profililor ajurate nu este eficientă.

3. Se recomandă deci ca profilele ajurate să fie folosite numai în elemente (cum sînt paneele de acoperiș) a căror pantă sînt mai mică de 5 % cînd verificarea se face pentru fibrele interioare, față de care modulul de rezistență este mult mai mare și deci eforturile din ax care sînt cele mai importante, sînt mult mai reduse și în consecință se pun în valoare avantajele profililor ajurate.

Acest lucru se realizează în general la paneele de acoperiș deoarece la învelitorile folosite, din tablă cutată sau din prefabricate de beton, pantă acoperișurilor este cuprinsă între (2-4) %

4. În cazul profililor ajurate cu goluri circulare și ovale, pentru verificarea de rezistență se pot folosi și relațiile simplificate din axul vertical al golurilor, deoarece eforturile calculate cu relațiile (6.30) și (6.33) la un unghi $\varphi = 5^{\circ}$ - 10° nu depășesc în general cu 2-5 % pe cele calculate în axul golurilor.

5. Eforturile unitare tangențiale și cele echivalente se verifică numai în axul golurilor unde sînt maxime.

CAPITOLUL 7

LAMINAREA GRINZILOR DIN PROFIL AJURATE

7.1. GENERALITATI

Elementele realizate din profile ajurate necesită în primul rând îmbinări pentru resudarea celor două părți despicate prin tăiere și ajurare și în al doilea rând pentru realizarea prelungirii, pentru a obține profile mai lungi decât lungimea profilelor din care se obțin.

Aceste îmbinări se execută sudat sau cu șuruburi și sînt prezentate în "Instrucțiunile tehnice de proiectare a profilelor cu goluri în inimă"

7.2. ALCATUIREA ȘI CALCULUL ÎMBINĂRII LONGITUDINALE A INIMII PE LUNGIMEA DE CONTACT A PROFILELOR AJURATE

7.2.1. Alcatuirea îmbinării longitudinale

După despicierea celor două părți ale profilului laminat dublu T, după linia în zig-zag la profile cu goluri hexagonale sau după semicercuri și linii drepte la profile ajurate cu goluri circulare, cele două părți se assemblează din nou formînd profilul ajurat. Asamblarea celor două părți se face prin sudură pe lungimea de contact "b" dintre ele. La profilele mici la care inimile au grosimea mică, sudarea celor două părți se face fără prelucrarea marginilor. La profile mari la care grosimea inimii depășește 10 mm (de la profile I 28 în sus), se recomandă o ușoară prelucrare a marginilor în formă de X și sudarea pe ambele părți a inimii ca în figura 7.1.

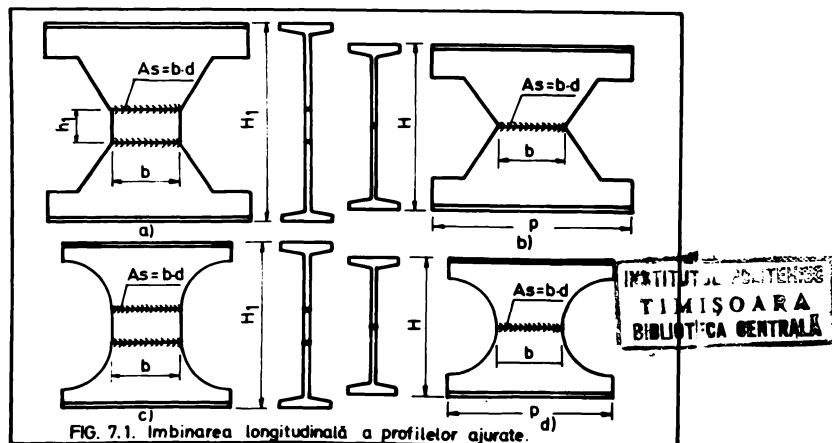


FIG. 7.1. Îmbinarea longitudinală a profilelor ajurate.

In cazul grinzilor din profile ajurate cu goluri octogonale și ovale, la care între cele două părți se introduce și plăcuțe intermediare, se execută două suduri longitudinale.

Sudurile longitudinale de asamblare a celor două părți ale profilului, pot fi executate cu sudura electrică manuală sau prin folosirea unor instalații automate de sudare cu program cum este procedeul Litka.

Protejarea marginilor celor două părți ce se sudază la grămi ale inimi mai mari de 10 mm se face prin rabotare sau cu flăcără oxigas.

Calculul îmbinării longitudinale a inimi profilelor ajurate se face la solicitările ce apar în moment din forța tăietoare.

În capitolul 3, este arătat că în axul momentului la naștere o forță H_m orizontală și una verticală V_m date de relațiile (3.16), (3.17).

7.2.2. Calculul îmbinării longitudinale la profile cu goluri octogonale și ovale

La profilele ajurate cu plăcuțe intermediare, având golurile octogonale sau ovale (fig.7.1 a, c), aceste două solicitări se reduc în raport cu centrul de greutate al sudurii la două forțe și un moment așa cum s-a arătat în capitolul 3, care produc eforturi unitare normale și tangențiale iar verificarea sudurii se face la efortul unitar echivalent

$$(7.1) \quad \sigma_{ech} = \sqrt{(\sigma_v + \sigma_H)^2 + 3\sigma_H^2} = \frac{1}{2bd} \sqrt{\left[Q + \frac{3h_p(2T+Q)}{b(h_1+y)} \right]^2 + \frac{27p^2(2T+Q)^2}{4(h_1+y)^2}} \leq 0,65 \sigma_a$$

În această relație secțiunea sudurii A_s s-a considerat egală cu a inimei pe lungimea b de contact, deoarece sudura se execută pe ambele fețe cu întoarcere la capete.

Dacă încărcările sînt concentrate $Q = 0$ și relația devine :

$$(7.2) \quad \sigma_{ech} = \frac{3pT}{bd(h_1+y)} \sqrt{\frac{h_1}{b^2} + \frac{3}{4}} \leq 0,65 \sigma_a.$$

Pentru calculele practice relația poate fi simplificată dacă se consideră valorile uzuale ale lui p, b , și h_1 funcție de înălțimea "h" a profilului laminat din care se obțin și anume pentru profile cu goluri octogonale :

$$(7.3) \quad p = 1,5 h ; \quad b = \frac{h}{3} \quad \text{și} \quad b = \frac{h}{2} ; \quad h_1 = \frac{h}{2}$$

care înlocuite (h_1 se înlocuiește numai sub radical) în (7.2) rezultă

$$(7.4) \quad \sigma_{ech} = \frac{13,5\sqrt{3} T}{d(h_1+y)} \leq 0,65 \sigma_a \quad \text{pentru } b = \frac{h}{3}$$

$$(7.5) \quad \sigma_{ech} = \frac{45\sqrt{7} T}{d(h_1+y)} \leq 0,65 \sigma_a \quad \text{pentru } b = \frac{h}{2}$$

Fiind scema de valoare rezistenței admisibile care se înlocuiește din relațiile (7.4) și (7.5) poate fi determinată forța tăietoare maximă pe care o poate prelua sudura, relație cu care se face verificarea :

$$(7.6) \quad T \leq 42d(h_1 + y_0) \quad - 135 -$$

$$(7.7) \quad T \leq 83d(h_1 + y_0) \quad \begin{array}{l} \text{pentru } b = \frac{h}{3} \\ \text{pentru } b = \frac{h}{2} \end{array}$$

mărimile din aceste relații înlocuindu-se în cm.

Pentru profile cu goluri ovale dacă se iau valorile uzuale ale dimensiunilor și anume :

$$(7.8) \quad b = 0,7R \quad ; \quad b = 0,9R \quad ; \quad h_1 = R \quad ; \quad p = 2R + b$$

dacă se fac înlocuirile și cu valoarea $\sigma_a = 1500 \text{ daN/cm}^2$ rezultă :

$$(7.9) \quad T \leq 52d(h_1 + y_0) \quad \text{pentru } b = 0,7R$$

$$(7.10) \quad T \leq 74d(h_1 + y_0) \quad \text{pentru } b = 0,9R$$

7.2.3. Calculul îmbinării longitudinale la profile cu goluri hexagonale și circulare

În cazul profilelor cu goluri hexagonale și circulare (fig. 7.1 b,d) în sudură iau naștere doar eforturi tangențiale din forța H dată de relația (3.17a), care se verifică cu condiția :

$$(7.11) \quad \sigma_s = \frac{Hm}{A_s} = \frac{p(2T + Q)}{2y_0bd} \leq 0,65\sigma_a$$

Înlocuind pe $\sigma_a = 1500 \text{ daN/cm}^2$ și considerind pe $Q = 0$ ca pentru încărcări concentrate relația poate fi scrisă :

$$(7.12) \quad T \leq \frac{1000 y_0 b d}{p}$$

Dacă se ia $b = h/2$ sau $b = h/3$ și $p = 1,5 h$ pentru profile cu goluri hexagonale cît sînt valorile uzuale, relația (7.12) devine :

$$(7.13) \quad T \leq 225 d y_0 \quad \text{pentru } b = \frac{h}{3}$$

$$(7.14) \quad T \leq 335 d y_0 \quad \text{pentru } b = \frac{h}{2}$$

La profilele ajurate cu goluri circulare luînd $b = 0,7 R$ sau $b = 0,9 R$ și $p = 2 R + b$ rezultă :

$$(7.15) \quad T \leq 260 d y_0 \quad \text{pentru } b = 0,7 R$$

$$(7.16) \quad T \leq 315 d y_0 \quad \text{pentru } b = 0,9 R$$

În relațiile (7.12 - 7.15) mărimile b, d, p, y_0 se introduc în cm.

7.3. ALCĂTUIREA ȘI CALCULUL LAMINARILOR DE PRELUNGIRE

7.3.1. Modul de alcătuire a îmbinărilor de prelungire la profile ajurate

La alcătuirea construcțiilor metalice din profile ajurate este necesar în unele situații să se folosească elemente cu lungimi mai mari decît lungimea de laminare a profilelor dublu T din care se execută profilele ajurate. În acest caz trebuie executate îmbinări de prelungire a profilelor ajurate. Îmbinările de prelungire se execută totdeauna în dreptul plinurilor profilelor ajurate. Ele se realizează de obicei ca îmbinări sudate, putînd fi executate și cu ajutorul șuruburilor.

Îmbinările sudate de prelungire pot fi realizate în două moduri.

Cel mai simplu mod de executare a îmbinării de prelungire este acela de sudare cu cusături cap la cap a tronsoanelor (fig. 7.2 a,c).

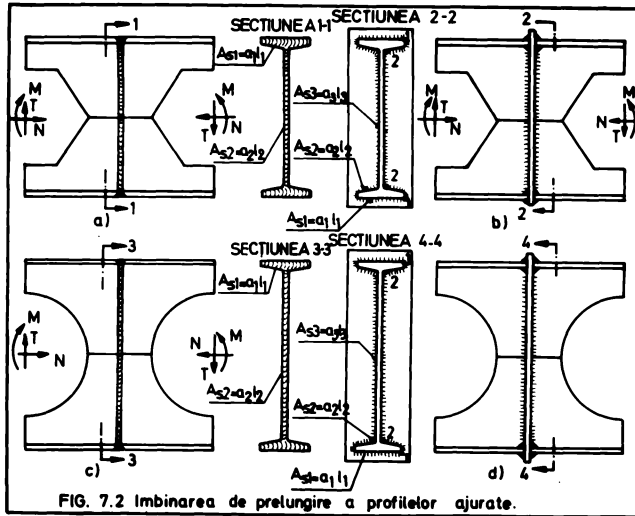


FIG. 7.2 Îmbinarea de prelungire a profilului ajurat.

În acest caz inițial dar în special tălpile se prelucresă în X și V pentru a se putea executa o îmbinare corespunzătoare.

Al doilea mod de executare a îmbinării de prelungire este acela de a intercala între cele două tronsoane o placă pe care acestea se sudază cu suduri de colț.

Se recomandă ca pe cât posibil îmbinările de prelungire să nu se plaseze în regiunile cu solicitări M, N, T maxime, fiind în general se poate folosi îmbinarea cap la cap a tronsoanelor (fig. 7.2a,c) în cazul când se execută în regiunea cu solicitări maxime este recomandabilă a doua soluție de îmbinare (fig. 7.2 b,d).

7.3.2. Calculul îmbinării sudate cap la cap de prelungire

Dacă în secțiunea curentă acționează cele trei solicitări, momentul M , forța axială N și forța tăietoare T , atunci în sudurile cap la cap iau naștere eforturi unitare normale σ_s^M, σ_s^N din moment și forța axială și eforturi unitare tangențiale τ_s^T din forța tăietoare. Verificarea sudurii se face cu relația :

$$(7.16) \quad \sigma_{ech} = \sqrt{(\sigma_s^M + \sigma_s^N)^2 + 3 \tau_s^T^2} \leq \sigma_a$$

sau înlocuind eforturile funcție de solicitări rezultă :

$$(7.17) \quad \sigma_{ech} = \sqrt{\left(\frac{M}{W_s} + \frac{N}{A_s}\right)^2 + 3 \frac{T^2}{A_s^2}} \leq \sigma_a$$

în care : W_s este modulul de rezistență a sudurii egală cu :

$$(7.18) \quad W_s = \frac{2I}{H} = \frac{2}{H} \left[2 a_1 l_1 \left(\frac{l_2 + a_1}{2} \right)^2 - \frac{a_2 l_2^3}{12} \right]$$

a_1, l_1 fiind dimensiunile cordoanelor de sudură a tălpilor, iar a_2, l_2 cele ale cordoanelor inițiale (fig. 7.2 a,c), H înălțimea profilului.

A_s - este secțiunea totală a sudurii egală cu :

$$(7.19) \quad A_s = A_{s1} + A_{s2} = 2 a_1 l_1 + a_2 l_2$$

A_{s1} - este secțiunea sudurii inimii, care preia forța tăietoare :

$$(7.20) \quad A_{s1} = A_{s2} = a_2 l_2$$

Grosimea cordonanelor de sudură a_1, a_2 se ia egală cu grosimea tălpilor respectiv a inimii, iar lungimile l_1, l_2 egale cu lățimea tălpilor și înălțimea inimii.

7.3.3. Calculul îmbinării de prelungire cu suduri de colț pe placă de legătură

În cazul prinderii celor două tronsoane prin suduri de colț pe o placă de legătură (fig.7.2 b,d), din solicitările M, N, F iau naștere eforturi unitare normale σ_s^M din moment și σ_s^N din forța axială care sînt preluate de întreaga sudură și eforturi tangențiale τ_s^T preluate numai de sudurile de pe inimă.

Punctele caracteristice în care se verifică eforturile sînt punctul 1 la colțul exterior al tăpii și punctul 2 de la racordul sudurilor de pe talpă și inimă.

În punctul 1 verificarea se face cu relația :

$$(7.21) \quad \sigma_s^1 = \sigma_{s1}^M + \sigma_{s1}^N = \frac{M}{W_{s1}} + \frac{N}{A_s} \leq \sigma_{as} = 0,65 \sigma_a$$

în care : W_{s1} - este modulul de rezistență al sudurii întregi față de pot.1

$$(7.22) \quad W_{s1} = \frac{2ls}{H} = \frac{2}{H} \left[2 a_1 l_1 \left(\frac{H+a}{2} \right)^2 + 4 a_2 l_2 \left(\frac{l_3 a}{2} \right)^2 + 2 \frac{a_3 l_3^3}{12} \right]$$

H - fiind înălțimea profilului ajurat, $a_1 l_1, a_2 l_2, a_3 l_3$ fiind secțiunile cordonanelor de sudură de pe tălpi și inimă (fig.7.2 b,d)

A_s - este secțiunea de sudură a tuturor cordonanelor

$$(7.23) \quad A_s = 2(a_1 l_1 + 2 a_2 l_2 + a_3 l_3)$$

În punctul 2 iau naștere toate eforturile, iar verificarea se face însușindu-le în efortul de comparație cu relația :

$$(7.24) \quad \sigma_{ech} = \sqrt{(\sigma_{s2}^M + \sigma_{s2}^N)^2 + 3 \tau_{s2}^T^2} = \sqrt{\left(\frac{M}{W_{s2}} + \frac{N}{A_s} \right)^2 + 3 \frac{T^2}{A_{s1}^2}} \leq 0,65 \sigma_a$$

în care : W_{s2} - este modulul de rezistență al întregii suduri față de pot.2

$$(7.25) \quad W = \frac{2ls}{I_3} = \frac{2}{I_3} \left[2 a_1 l_1 \left(\frac{H+a_1}{2} \right)^2 + 4 a_2 l_2 \left(\frac{l_3 a_2}{2} \right)^2 + 2 \frac{a_3 l_3^3}{12} \right]$$

A_s - este secțiunea totală de sudură (7.23)

A_{s1} - este secțiunea de sudură a inimii $A_{s1} = 2 a_3 l_3$

Pentru ușurința calculului și mai ales a execuției îmbinării, este rațional ca toate sudurile de pe tălpi și inimă să se realizeze cu aceeași grosime $a_1 = a_2 = a_3 = a$, grosime care trebuie să satisfacă condițiile :

$$(7.26) \quad a \geq 3 \text{ mm} \quad ; \quad a \leq 0,8 t \text{ inimă}$$

7.3.4. Alcătuirea și calculul îmbinării de prelungire cu suruburi

La executarea îmbinărilor de montaj a elementelor realizate din profile ajurate, în special cînd aceste îmbinări se execută la

înălțime se pot folosi pentru îmbinările de prelungire șuruburile, sub formă de șuruburi pasuite sau ca șuruburi de înaltă rezistență. Imbinarea se face în acest caz cu ajutorul ecliselor dispuse pe tălpi și pe inimă (fig.7.3).

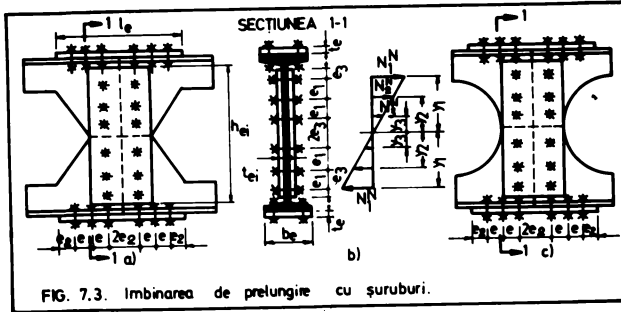


FIG. 7.3. Imbinarea de prelungire cu șuruburi.

Diametrul șuruburilor și distanțele între șuruburi se iau conform STAS 763/1-71 și STAS 565-63 referitor la profilele laminate dublu T.

Eclisele trebuie să îndeplinească următoarele condiții :

$$(7.27) \quad I_e \geq I \quad \text{care înseamnă} \quad 2t_{e1} \geq d \quad \text{și} \quad t_e \geq t$$

de fiind momentul de inerție a ecliselor, t_{e1} și t_e fiind grosimile ecliselor.

Pentru calculul șuruburilor de pe inimă așezate la distanța e_1 cuprinsă între distanța minimă și maximă se calculează momentul, forța axială și forța tăietoare ce revin inimii.

$$(7.28) \quad M_{in} = M \frac{I_{in}}{I} \quad ; \quad N_{in} = N \frac{A_{in}}{A} \quad ; \quad T_{in} = T$$

Considerând eforturile din moment paralele cu axa grinzii și variind liniar iar cele din forța axială și tăietoare egale condiția de verificare este:

$$(7.29) \quad N_s = \sqrt{(N_1^M + N_1^N) + N_1^T} = \sqrt{\left(\frac{M_{in} y_1}{2 \sum y_1^2} + \frac{N}{2n}\right)^2 + \left(\frac{T}{2n}\right)^2} \leq N_{amin}$$

în care $2n$ - este numărul șuruburilor pe un șir, N_{amin} - efortul admis minim dintre :

$$(7.30) \quad N_{ag} = 2d \sum t_{min} \sigma_a \quad ; \quad N_{af} = 2 \frac{\pi d^2}{4} 0,8 \sigma_a$$

d fiind diametrul șuruburilor t_{min} grosimea minimă inimă sau eclisă

Numărul șuruburilor de prindere a ecliselor tălpii se determină ca să poată transmite efortul efectiv din tălpi . . .

$$(7.31) \quad N_{ef} = A_t \sigma_{ef}$$

A_t - este aria tălpii - efortul efectiv din secțiunea îmbinării :

$$(7.32) \quad n = \frac{N}{N_{amin}} = \frac{A_t \sigma_{ef}}{N_{amin}}$$

CAPITOLUL 8

INTĂRIREA ȘI RIGIDIZAREA PROFILURILOR AJURATE

8.1. GENERALITĂȚI

La alcătuirea elementelor construcțiilor metalice din profile ajurate se pune în anumite situații, problema întăririi unor goluri, pentru a putea prelua solicitările din secțiunea respectivă. Aceasta este cazul în special atunci când profilele ajurate au înălțimea "a" a profilelor T cu mărgeșe golurile, foarte mică, sau în cazul golurilor elementelor din profile ajurate situate în secțiunea în care cele două solicitări : momentul și forța tăietoare sînt maxime în aceeași secțiune.

De asemenea datorită înălțimii mai mari a montanților dintre goluri în comparație cu înălțimea inimii profilelor laminare din care se compun, se poate pune problema rigidizării montanților pentru a împiedica pierderea stabilității acestora.

Această rigidizare trebuie făcută întotdeauna la montanții de rezistență care transmit reacțiunile grinzilor.

8.2. INTĂRIREA PROFILURILOR AJURATE ÎN JURUL GOLURILOR

Întărirea golurilor la profilele ajurate este necesară să fie făcută în cazul când înălțimea golurilor este foarte mare, respectiv înălțimea "a" a profilelor T este mică, deoarece în acest caz profilele T au o rigiditate mică la încovoiere, motiv pentru care efectul forței tăietoare este foarte mare, eforturile σ_T putînd chiar depăși efectul momentului încovoietor, iar eforturile tangențiale τ sînt de asemenea mari.

Întărirea golurilor se face și în cazul golurilor aflate în regiunea cu forțe tăietoare și momente maxime în aceeași secțiune.

8.2.1. Întărirea profilurilor ajurate prin bordarea golurilor

Pentru întărirea profilurilor ajurate în porțiunea cea mai solicitată din dreptul golurilor, soluția cea mai simplă în cazul profilelor cu goluri hexagonale sau octogonale este de a suda de inimă profilelor T de deasupra și de dedesubtul golurilor o bandă de oțel cu lățimea cît lățimea tălpii profilelor T și de lungime cît lungimea "b" a porțiunii de secțiune constantă (fig. 8.1 a). La profilele ajurate cu goluri circulare și ovale se poate realiza o întărire similară numai pe porțiunea definită printr-un unghi $\varphi = 2 \times 15^\circ$ în care eforturile unitare sînt maxime, sudind la fel o bandă de oțel (fig. 8.1 b).

Soluția are avantajul unei execuții simple și puțin costisitoare avînd însă dezavantajul la profilele ajurate cu goluri hexagonale și octogonale că se oprește tocmai în secțiunea unde eforturile însumate din moment și forța tăietoare sînt maxime. De aceea o soluție îmbunătățită poate fi realizată dacă banda de întărire se face de lungime mai mare ca lungimea "b" a secțiunii constante avînd tăiate la capete două fațe pentru a se petrece peste inima profilului (fig. 8.1 c) sau o altă soluție este de a îndoi banda de întărire înfîș să se petreacă puțin și pe marginea montantului (fig. 8.1 d). Aceste soluții au dezavantajul unui consum mai mare de oțel și de manoperă pentru prelucrarea benzii.

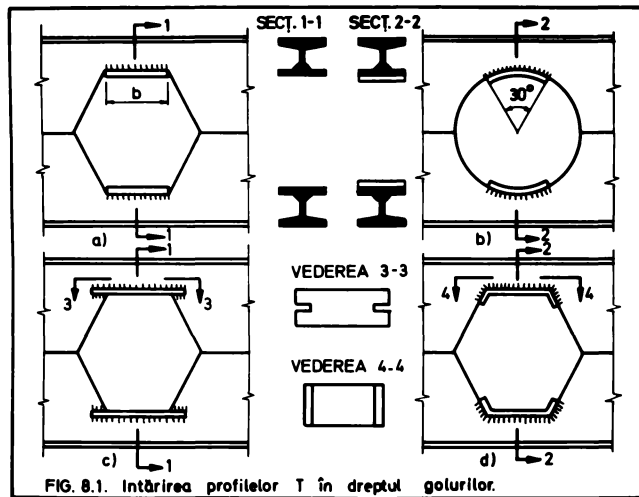


FIG. 8.1. Întărirea profilelor T în dreptul golurilor.

În cazul cînd solicitările sînt mari și în special cînd forța tăietoare este foarte mare, sau cînd cele două solicitări M și T sînt maxime în aceeași secțiune se pune problema întăririi atât a profilelor T cît și a montanților în jurul golurilor ajurate a putea prelua eforturile unitare normale din forța tăietoare.

Întărirea golurilor din regiunea solicitărilor maxime se face la profilele cu goluri hexagonale bordînd marginea golurilor cu o bandă de oțel îndoită și sudată pe tot conturul (fig. 8.2 a), iar la profilele ajurate cu goluri circulare, bordarea marginii golurilor se face cu ajutorul unui cupon de țevă (fig. 8.2 b) care prezintă avantajele arătate în capitoul 1. În cazul profilelor cu goluri octogonale și ovale bordarea marginilor golurilor se poate face numai pe porțiunea variabilă a montanților (fig. 8.2 c, d), cu ajutorul unei plăcuțe îndoită sau cu două jumătăți de cupon de țevă, sau pe tot conturul golurilor (fig. 8.2 d) completînd cu benzi de oțel și pe înălțimea h_1 (fig. 8.2 e, f).

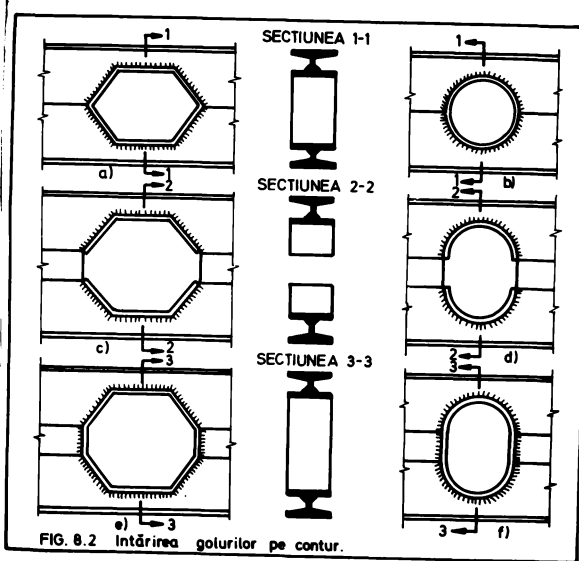


FIG. 8.2 Intărirea golurilor pe contur.

8.2.2. Intărirea profilelor ajurate prin umplerea golurilor

În cazul elementelor construcțiilor metalice alcătuite din profile ajurate la care solicitările M și T sînt maxime în aceeași secțiune, întărirea profilelor ajurate se poate face cu bune rezultate, prin umplerea golurilor învecinate acestei secțiuni cu petice de forma golurilor și de grosime egală cu grosimea inițială, care se sudează pe contur de înălț.

Astfel de situații se întîlnesc pe scară largă la golurile vecine reazielor intermediare a grinzilor conține precum și la colțurile de cadru (fig.8.3).

Cînd se umplu golurile calculul elementelor în regiunea secțiunii întărite se face ca la grinzile cu înălțime plină. La profilele cu grosimi ale înălții mai mici decît 8 mm (I 22), peticele de umplere a golurilor se sudează fără prelucrare de înălț, iar la grosimi mai mari acesta se prelucrescă în formă de X.

Intărirea golurilor la profilele ajurate cu goluri circulare sau ovale se face mult mai ușor decît la profilele ajurate obișnuite, cu ajutorul cupcanelor de țevă (fig.8.3 b) sau cu ajutorul peticeilor circulare de umplere a golurilor (fig.8.3 b,d) soluție care este mai puțin folosită.

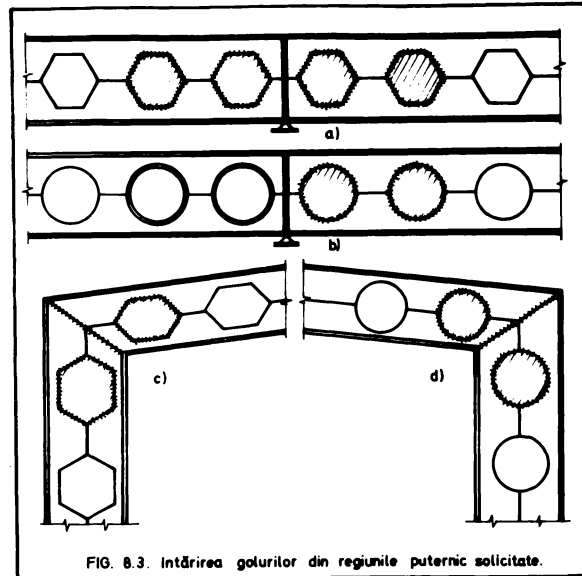


FIG. 8.3. Întărirea golurilor din regiunile puternic solicitate.

8.3. RIGIDIZAREA MONTANTELOR GRINZILOR AJURATE

La grinziile din profile ajurate, datorită creșterii foarte mari a înălțimii inimii în comparație cu profilele laminare duble T, mai ales în cazul când acestea au și plăcuțe intermediare, pericolul pierderii stabilității inimii în dreptul plăcărilor este mai accentuată. Creșterea pericolului de pierdere a stabilității inimii la profilele ajurate rezultă dacă se face un studiu comparativ a raportului dintre grosimea inimii și înălțimea ei fig.8.4.

În figura 8.5 este reprezentată variația raportului dintre grosimea și înălțimea inimii, pentru profilele ajurate cu și fără plăcuțe intermediare cu goluri hexagonale sau circulare, precum și scăderea acestui raport prin ajurare. La trasarea diagramelor s-a considerat profilele laminare de la I 15 - I 40 și profilele ce provin din acestea luând valorile medii a dimensiunilor de ajurare astfel pentru profilele cu goluri hexagonale și octogonale au fost luate $a = h/3$, $h_1 = h/2$ iar la cele cu goluri circulare și ovale $a = h/4$, $h_1 = h/2$. În diagramă este prezentată de asemenea și scăderea procentuală a raportului la scădere care variază între 26 și 33 % la profilele cu goluri hexagonale și circulare ($h_1 = 0$) și între 72 - 80 % la profilele cu goluri octogonale și ovale cu plăcuțe intermediare.

Pentru a evita pericolul pierderii stabilității inimii este necesar să se facă rigidizarea montanțelor grinzelor ajurate,

prin rigidizari ce se realizează de inima profilurilor ajurate.

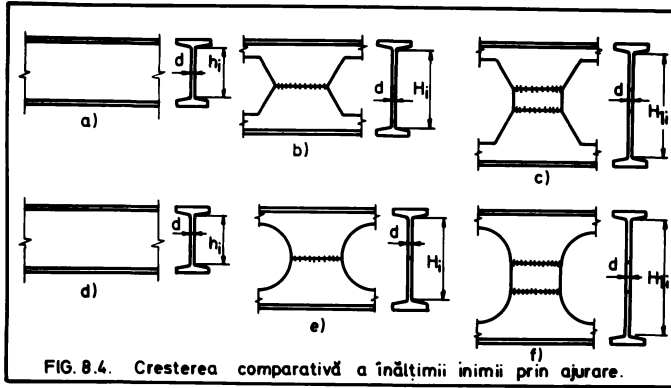


FIG. 8.4. Cresterea comparativă a înălțimii inimii prin ajurare.

Din punct de vedere constructiv rigidizările montajelor pot fi realizate din oțel lat cu lățimea pînă la lungimea lățimii tălpii-ilor (fig.8.6 a), din profile T laminare, sau obținute prin tăierea pro-filelor doolu T în două (fig.8.6 b) sau din cornere (fig.8.6 c,d).

În general rigidizările profilurilor ajurate sînt ajăutate din oțel lat pentru că înălțimea acestora nu este foarte mare. Rigi-dizările din oțel lat se execută cu o înălțime pînă la congeul proxi-

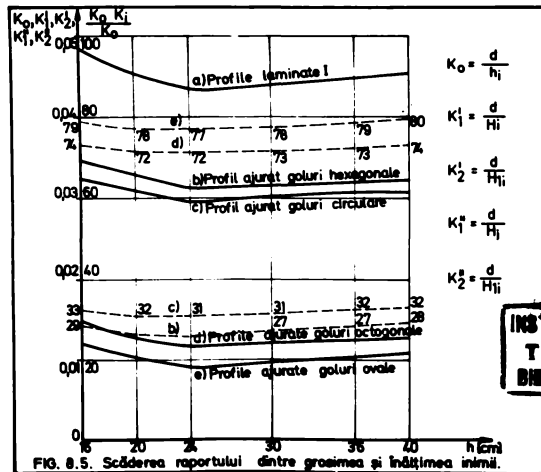


FIG. 8.5. Scăderea raportului dintre grosimea și înălțimea inimii.

INSTITUTUL POLITEHNIC
TIMIȘOARA
BIBLIOTECA CENTRALĂ

lalei ajurat dintre inimă și tălpi și se sudază numai de inimă

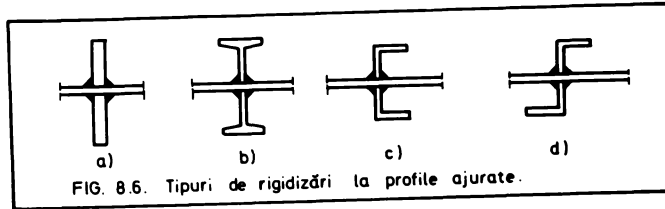


FIG. 8.6. Tipuri de rigidizări la profile ajurate.

(fig.8.7 a), sau cu o înălțime cât înălțimea inimii în care se prelungează pentru a se suda de inimă și tălpi (fig.8.7 b). La rigidizări de rezanță, la grinzi din profile ajurate cu placuțe intermediare, la care înălțimea este mare și reacțiunile sînt mari, rigidizările se pot executa din profile T sau corniere (fig.8.7 c,d)

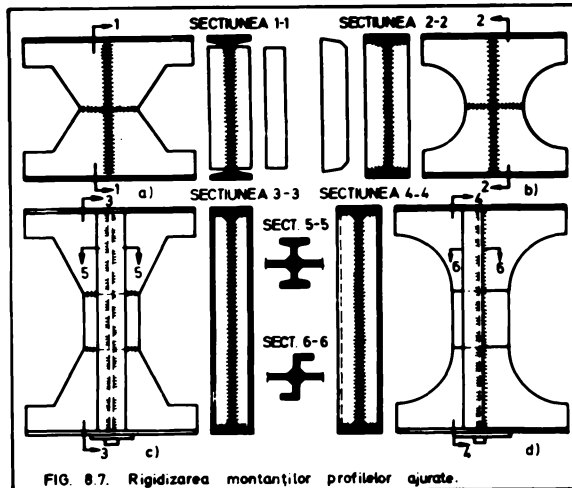


FIG. 8.7. Rigidizarea montanților profilelor ajurate.

Intocm la folosirea profilelor T și a cornierelor, pentru executarea rigidizărilor apar unele complicații la prelucrarea capetelor acestora pentru sudarea de tălpi, nu se recomandă executarea acestui tip de rigidizări decât în cazul profilelor ajurate cu înălțime foarte mare, realizate cu goluri octogonale și ovale și numai la montanții în care acționează forțe concentrate foarte mari.

În unele cazuri în care apar solicitări de încovoiere foarte mari însoțite de forțe concentrate mari, cum este cazul pe rezanțele grinzelor continue se poate executa atât rigidizarea montanților respectivi cât și întărirea golurilor învecinate acestuia (fig. 8.8 a,b).

Intărirea golurilor se face fie prin bordare cu platbande indoite (fig.8.8 a) sau cu cupoane de țeavă (fig.8.8 b), fie prin umplerea golurilor (fig.8.8).

Tot pentru întărirea regiunii în care solicitările M, N, T sînt maxime în aceeași secțiune cum este cazul la colțurile cadrelor realizate din profile ajurate, se recomandă ca întărirea acestei regiuni să se facă prin executarea colțurilor de cadru cu inimă plină, care se îmbină cu sudură de stîlpii și riglele executate din profile ajurate (fig.8.9).

Colțurile de cadre se execută în acest caz de obicei în curbe, pentru o mai bună urmărire a direcției liniilor de scurgere a eforturilor.

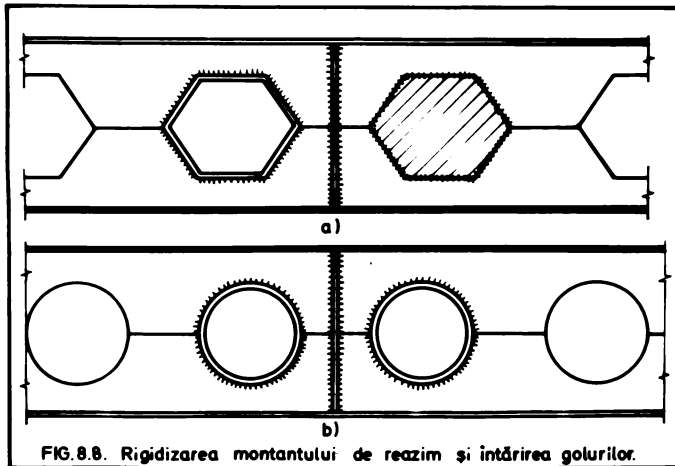


FIG.8.8. Rigidizarea montantului de reazim și întărirea golurilor.

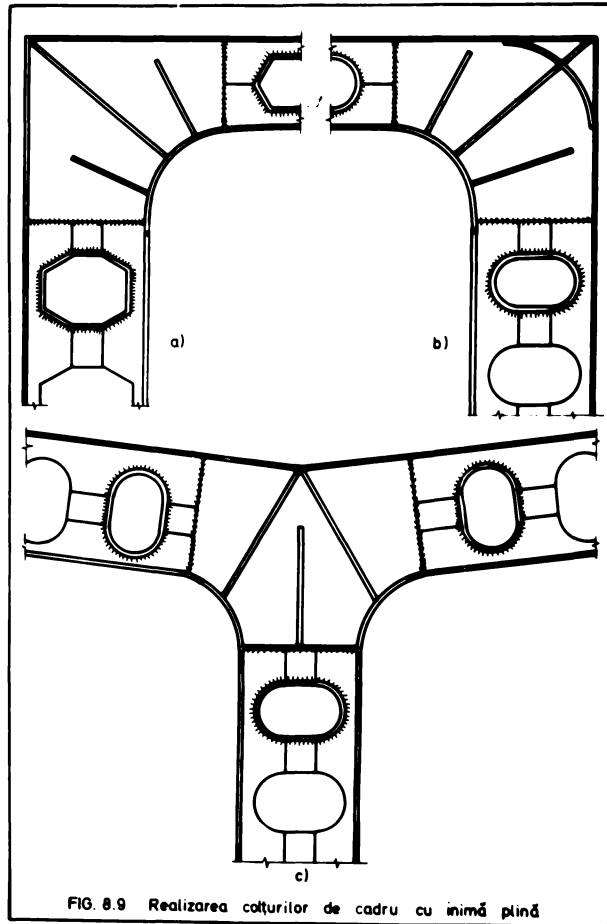


FIG. 8.9 Realizarea coșurilor de cadru cu inimă plină

CAPITOLUL 9

EXEMPLE DE CALCUL ȘI VERIFICAREA GRINZILOR AJURATE

Pentru verificarea calculului simplificat și a celui exact și mai ales pentru a face o comparație între modal de comportare a grinzilor realizate din profile ajurate obișnuite cu goluri hexagonale și cele realizate din profile ajurate cu goluri circulare, a fost făcut calculul și încercarea experimentală a două grinzi cu goluri hexagonale și două cu goluri circulare.

9.1.- SISTEMUL STATIC DIMENSIUNILE ȘI SOLICITĂRILE GRINZILOR

9.1.1. Dimensiunile și încărcările grinzilor ajurate

Grinzile alese pentru calcul și încercate experimental, au fost realizate sub formă de grinzi simplu rezemate, având deschiderea de 5500 mm. Încărcarea la care au fost calculate este încărcarea cu două forțe concentrate dispuse în jurul treimilor grinzii (fig.9.1) având valoarea $P = 1400$ daN.

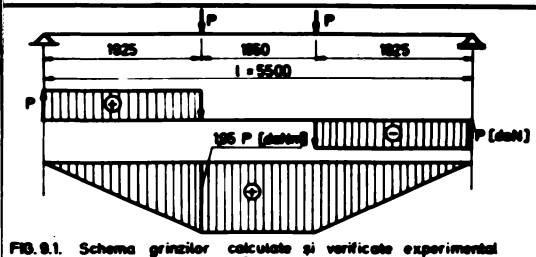


FIG.9.1. Schema grinzilor calculate și verificate experimental

Grinzile au fost confecționate din profile dublu T 18, pe care catredra le avea la dispoziție. În ce privește dimensiunile de ajurare a grinzilor, înălțimea profilelor T de deasupra și de dedesubtul golurilor s-a luat pentru grinzile cu goluri hexagonale egală cu : $a = h/4 = 180/4 = 45$ mm conform recomandărilor date

în lucrare și în Stahibas, iar pentru grinzile cu goluri circulare dimensiunea a s-a luat $a = h/5 = 180/5 = 36$ mm luându-se $a = 35$ mm care se încadrează în mijlocul intervalului recomandat în lucrare în capitolul 2.

Pentru celelalte dimensiuni : lungimea "b" de contact, pasul "p" a golurilor, raza R a golurilor circulare, au fost luate valori exprimate în limitele indicate în lucrare și care sînt date în fig.9.2

9.1.2. Calculul solicitărilor produse de forțele concentrate

Forța tăietoare și momentul încovoietor variază ca în diagramele din figura 9.1. Forța tăietoare este constantă și egală cu $P = 1400$ daN pe porțiunile laterale, și nulă pe porțiunea dintre cele două forțe iar momentul încovoietor este maxim pe porțiunea centrală fiind egal cu $M = 1,95 P = 1,95 \cdot 2100 = 4100$ daN.m.

Pentru calculul simplificat trebuie calculate solicitările în axul golului cel mai solicitat (golul nr.7) din stînga primei forțe, unde forța tăietoare este maximă iar momentul este apropiat de cel maxim și unde rezultă eforturile unitare normale maxime.

În axul golului 7 aceste solicitări au valoarea :

$$T = P = 1400 \text{ daN}$$

$$d = 1,805 P = 1,805 \cdot 1400 = 2540 \text{ daN pt. goluri hexagonale}$$

$$d = 1,787 P = 1,787 \cdot 1400 = 2520 \text{ daN pt. goluri circulare.}$$

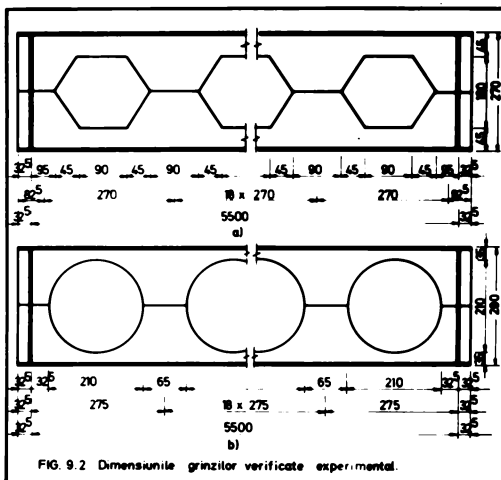


FIG. 9.2 Dimensiunile grinzilor verificate experimental.

9.2. CALCULUL SIMPLIFICAT AL GRINZILOR AJURATE

9.2.1. Grinda cu goluri hexagonale

9.2.1.1. Verificarea eforturilor unitare normale

Eforturile unitare normale din tăpiile formate din cele două profile T, se calculează cu relația (3.5 a) și sînt maxime în colțul golurilor. Coeficientul α'' se calculează cu relația (3.4 a) sau se scoate din fig. 3.3 rezultînd $\alpha'' = 103$, iar efortul este pentru $y_0 = 248,2 \text{ mm}$ $A_0 = 11,07 \text{ cm}^2$.

$$\sigma = \frac{1}{24,82 \cdot 11,07} (254000 + 103 \cdot 1400) = 1470 \frac{\text{daN}}{\text{cm}^2} < \sigma_a = 1500 \frac{\text{daN}}{\text{cm}^2}$$

9.2.1.2. Verificarea eforturilor unitare tangențiale

Eforturile unitare tangențiale se calculează cu relația (3.12) în care Sx se calculează cu relația (3.13) :

$$Sx = \frac{0,69(4,5 - 1,09)^2}{2} = 4,00 \text{ cm}^3$$

$$\tau = \frac{1400 \cdot 4,0}{2 \cdot 0,69 \cdot 19,9} = 203 \frac{\text{daN}}{\text{cm}^2} < \tau_a = 900 \frac{\text{daN}}{\text{cm}^2}$$

9.2.1.3. Verificarea eforturilor unitare echivalente

Verificarea eforturilor unitare echivalente se face cu relația (3.15 a) :

$$\sigma_{ech} = \sqrt{\left(\frac{254000}{24,82 \cdot 11,07}\right)^2 + 3,203^2} = 980 \frac{\text{daN}}{\text{cm}^2} \ll 1,1 \sigma_a = 1650 \frac{\text{daN}}{\text{cm}^2}$$

9.2.1.4. Verificarea condiției de rezistență a montanșilor

Verificarea condiției de rezistență a montanșilor se face cu relația (3.29a) luând în considerare dimensiunile grinzii ajurate :

$p = 270 \text{ mm}$, $d = 6,9 \text{ mm}$, $y_0 = 248,2 \text{ mm}$, $b = 90 \text{ mm}$, $c = 45 \text{ mm}$, $v = 90 \text{ mm}$ și rezultă :

$$\sigma_{ech} = \frac{3,27 \cdot 1400}{0,69 \cdot 24,82 \cdot 18} \sqrt{\frac{4,9^2}{18^2} + \frac{3}{4}} = 370 \cdot 1,32 = 495 \frac{\text{daN}}{\text{cm}^2} \ll 1,1 \cdot 1650 \frac{\text{daN}}{\text{cm}^2}$$

9.2.1.5. Verificarea stabilității montanșilor

Pentru verificarea stabilității se calculează o forță tăietoare critică cu relația (3.30) în care se face $h_1 = 0$ ne avînd plăcuțe intermediare.

$$T_{or} = 35600 \frac{d^3}{y_0} \left[1 + (1 - 2 \frac{b}{p})(1 - 1,6 \frac{v}{y_0}) \right] \text{ daN}$$

în care dimensiunile se înțroduc în mm .

$$T_{or} = 25600 \frac{6,9^3}{248,2} \left[1 + (1 - 2 \frac{90}{270})(1 - 1,6 \frac{90}{248,2}) \right] = 54500 \text{ daN}$$

Se calculează valorile din relațiile (3.31) - (3.33) pentru a vedea în care se încadrează ($h_1 = 0$) pentru a determina forța tăietoare elastică

$$v \frac{3b - p}{p - 2b} = 90 \frac{270 - 270}{270 - 180} = 0$$

deci este primul caz $h_1 = 0 = v \frac{3b - p}{p - 2b}$ și T_e se ia din (3.31) :

$$T_e = d \frac{y_0}{2} \frac{(p-b)^2}{3pv} \sigma_e = 6,9 \frac{248,2}{2} \cdot \frac{(270-90)^2}{3 \cdot 270 \cdot 90} 20 = 7600 \text{ daN}$$

Forța tăietoare schiubînd de seam, oua $T_{or} = 54500 > 2 T_e = 15200 \text{ daN}$ verificarea stabilității se face cu relația :

$$T < T_e ; T = 1400 < T_e = 7600 \text{ daN}$$

condiția fiind îndeplinită.

9.2.1.6. Verificarea stabilității generale

Formula de verificare a stabilității generale este (3.40), în care se ia conform STAS 763/1-71 $w_e = w_{max} = 2540 \text{ daN}$ iar $l_c = l_1 = 900 \text{ mm}$, $i_y = 1,74 \text{ cm}$ cu care rezultă :

$$\lambda_y = \frac{900}{1,74} = 52 \quad \varphi_y = 0,806 \quad \text{iar } w_{xmed} = \frac{25400}{H} = \frac{2,3646}{27} = 270 \text{ cm}^3$$

$$\text{și } \sigma = \frac{254000}{0,806 \cdot 270} = 1170 \text{ daN/cm}^2 < \sigma_a$$

stabilitatea tălpii comprimate a fost realizată prin contravîntuirea dintre cele două grinzi.

9.2.1.7. Verificarea sărutei maxime

Săgeata maximă se verifică cu relația (3.68), în care K_f se ia din prima coloană a tabelului 3.2 pentru încărcări concentrate și are valoarea : $K_f = 1,20$, iar ω este dat în tabelul anex4 și

are valoarea funcției de $\alpha = \frac{1,895}{5,500} = 0,33$

$$\omega = \frac{3,4 \alpha^2}{24} = \frac{3,4 \cdot 0,33^2}{24} = \frac{2,56}{24} = 0,106 \text{ și rezultă :}$$

$$f = 1,20 \cdot 0,106 \cdot \frac{254000 \cdot 550^2}{2,1 \cdot 106 \cdot 3646} = 1,32 \text{ cm} < f_a = \frac{l}{300} = 1,82 \text{ cm}$$

9.2.2. Grinda cu goluri circulare

9.2.2.1. Verificarea eforturilor unitare normale

Eforturile unitare normale în axul golurilor sînt date de (3.70a) care cu $y_0 = 264,0$ mm și $A_0 = 10,37$ cm² conduce la :

$$\sigma_0 = \frac{252000}{26,46 \cdot 10,37} = 950 \frac{\text{daN}}{\text{cm}^2} < \sigma_a = 1500 \text{ daN/cm}^2$$

Verificarea eforturilor într-o secțiune curentă se face cu relația (3.89a), în care θ și λ sînt funcții de unghiul φ și se scot din fig. 3.18 și 3.19.

Pentru a vedea unghiul φ la care efortul σ este maxim acesta se calculează pentru unghiul $\varphi = 0^\circ, 5^\circ, 10^\circ, 15^\circ$ și 20° .

$$-\varphi = 0^\circ, \theta = 0,099, \lambda = 0, \sigma = \frac{252000}{26,4} \cdot 0,099 = 950 \frac{\text{daN}}{\text{cm}^2} < \sigma_a$$

$$-\varphi = 5^\circ, \theta = 0,097, \lambda = 0,101, \sigma = \frac{252000}{26,4} \cdot 1,097 + 1400 \cdot 0,101 = 1080 \frac{\text{daN}}{\text{cm}^2} < \sigma_a$$

$$-\varphi = 10^\circ, \theta = 0,092, \lambda = 0,20, \sigma = \frac{252000}{26,4} \cdot 0,092 + 1400 \cdot 0,20 = 1160 \frac{\text{daN}}{\text{cm}^2} < \sigma_a$$

$$-\varphi = 15^\circ, \theta = 0,084, \lambda = 0,295, \sigma = \frac{252000}{26,4} \cdot 0,084 + 1400 \cdot 0,295 = 1225 \frac{\text{daN}}{\text{cm}^2} < \sigma_a$$

$$-\varphi = 20^\circ, \theta = 0,075, \lambda = 0,36, \sigma = \frac{252000}{26,4} \cdot 0,075 + 1400 \cdot 0,36 = 1215 \frac{\text{daN}}{\text{cm}^2} < \sigma_a$$

Se vede că efortul este maxim pentru $\varphi = 15^\circ$ așa cum este arătat în paragraful 3.3.1.3, dar acest efort este mult mai mic decât în cazul profilelor ajurate cu goluri hexagonale, ceea ce demonstrează avantajul acestui nou tip de profile ajurate.

Eficiența exprimată prin scăderea eforturilor, la grinzile ajurate cu goluri circulare față de cele cu goluri hexagonale, calculate și încercate experimental poate fi scrisă :

$$\epsilon = \frac{1470 - 1225}{1225} \cdot 100 = 19,9 \%$$

9.2.2.2. Verificarea eforturilor unitare tangențiale

Se face cu relația (3.12) în care S_x - rezultă din relația (3.13)

$$S_x = \frac{0,69(3,5 - 0,83)^2}{2} = 2,5 \text{ cm}^3$$

$$\tau = \frac{1400 \cdot 2,5}{2 \cdot 0,69 \cdot 3,5} = 300 \text{ daN/cm}^2 < \tau_a = 900 \text{ daN/cm}^2$$

9.2.2.3. Verificarea eforturilor unitare echivalente (r. 3.15a)

$$\sigma_{ech} = \sqrt{920^2 + 3.300^2} = 1060 \text{ daN/cm}^2 < 1,1 \sigma_a = 1650 \text{ daN/cm}^2$$

9.2.2.4. Verificarea condiției de rezistență a contactelor

Verificarea condiției de rezistență a contactelor se face cu relația (3.155) în care $\nu=0$, pentru unghiul $\varphi = 60^\circ$ (3.157) și rezultă :

$$\sigma_{ech} = \frac{27,5 \cdot 1400}{2 \cdot 0,69 [5,5 + 2 \cdot 10,5(1 - 0,86)]} \sqrt{\frac{144 \cdot 10,5^2 \cdot 0,5^2}{26,4^2 + 5,5 + 2 \cdot 10,5(1 - 0,86)^2}} \cdot 1,38$$

$$= 350 \text{ daN/cm}^2 < 1,1 \sigma_a = 1650 \text{ daN/cm}^2$$

9.2.2.5. Verificarea stabilității contactelor

Stabilitatea contactelor se verifică calculând forța tăltoare critică cu relația (3.194a)

$$T_{cr} = \frac{22 \cdot 10^6 \cdot 0,3^3}{0,3^3} = \frac{22 \cdot 10^6 \cdot 10,5 \cdot 0,69^3}{27,5 \cdot 26,4} = 105000 \text{ daN}$$

și forța tăltoare admisibilă elastică limită din ecuația de încovoiere (3.251) :

$$T_{el} = \frac{400 \text{ daN} \cdot 0,3 \text{ m}}{0,3} = \frac{400 \cdot 0,69 \cdot 26,4 \cdot 10,5}{27,5} = 2800 \text{ daN}$$

Introcit $T_{el} < T_{cr}$ verificarea se face cu relația $T_{el} < T_{cr}$ (3.205)

$1,6 \cdot 1400 < 2800$ deci $2240 \text{ daN} < 2800 \text{ daN}$ condiția fiind îndeplinită.

9.2.2.6. Verificarea stabilității generale

se face cu aceeași relație (3.49), în care $M_0 = M_{max} = 2500 \text{ daNm}$,

$$l_c = l_f = 900 \text{ cm}, i_y = 1,75 \text{ cm}, \lambda_{med} = \frac{2500}{28} = \frac{2 \cdot 41 \cdot 10^3}{28} = 295 \text{ cm}^3$$

$$\lambda_y = \frac{900}{1,75} = 51, \mu_y = 0,810.$$

$$\sigma = \frac{250000}{0,810 \cdot 295} = 1070 \text{ daN/cm}^2 < \sigma_a$$

și în acest caz stabilitatea timpie este asigurată de contravînturarea timpiei.

9.2.2.7. Verificarea surseții pericel

Sursețea maximă se verifică cu relația (3.227)

$\alpha_{rel,15}$ din tabelul 3.7, $\omega = \frac{24 \cdot \alpha^2}{28}$ din tabelul 3.6 care pentru

$\alpha = \frac{1787}{3588} = 0,325$ are valoarea $\omega = \frac{24 \cdot 0,325^2}{28} = 0,108$ iar momentul de inerție local $I_{lc} = \alpha \cdot I_1$ în care $\alpha_1 = 1,000$ din tabelul 3.2 și local este $I_{lc} = 1,000 \cdot 3.880 = 4120 \text{ cm}^4$

$$f = 1,15 \cdot 0,108 \frac{250000 \cdot 550^2}{2 \cdot 1 \cdot 10^6 \cdot 4120} = 1,12 \text{ cm} < f_a = \frac{l}{300} = 1,02 \text{ cm}$$

9.3. CALCULUL ÎNCĂLZIRII ÎN CĂLĂRI AJURATE

Grinzile ajurate luate în considerare în calcul sînt identice cu încălcarea și cu număr de goluri ca și grinda prezentată în calcul în capitolul 4, ceea ce înseamnă că relațiile de calcul scrisse pentru coeficienții δ_{ij} și Δ_{ij} sînt valabile și în acest caz și ei re-

suntă date se înlocuiesc valorile caracteristicilor geometrice ale secțiunii, calculate pentru dimensiunile alese ale profilului agurite în relațiile (4.21) - (4.32)

9.3.1. serierea ecuațiilor de condiție

9.3.1.1. serierea ecuației de condiție cu ajutorul lui Lagrange

În calcul intervalului de variație al unei funcții, se utilizează: $y_0 = 240,2$ mm, $p = 270$ mm, $f_0 = 19,9$ cm⁴, $h_0 = 11,07$ cm², $I_0 = \frac{240,2 \cdot 270^2}{12} = 41,5$ cm⁴, $W_0 = 0,110 = 4,94 \cdot 10^{-4}$ cm⁴, $W_{01} = 0,09 \cdot 20,21$ cm², $W_0 = 0,110 = 1,10 \cdot 10^{-3}$ cm², $\chi = 2,4$.

1. Calculul coeficienților recurențelor

$$a = \sigma_{0-1,0-4} = \sigma_{0-1,0+2} = -y_0 \left(\frac{1}{3} \frac{y_0^2}{I_0} + \frac{13}{5} \frac{\chi}{W_0} \right) =$$

$$= -240,2 \left(\frac{1}{3} \cdot \frac{240,2^2}{41,5} + \frac{13}{5} \frac{2,4}{0,11} \right) = -43,44 \text{ cm}^{-1}$$

$$b = \sigma_{0-1,0-3} = \sigma_{0-1,0+3} = -\frac{1}{4} \frac{p y_0^2}{I_0} = -\frac{1}{4} \cdot \frac{270 \cdot 240,2^2}{41,5} = -20,32 \text{ cm}^{-1}$$

$$c = \sigma_{0-1,0-2} = \sigma_{0-1,0+4} = \frac{1}{2} \frac{y_0^2}{I_0} = \frac{1}{2} \cdot \frac{240,2^2}{41,5} = 1,50 \text{ cm}^{-2}$$

$$d = \sigma_{0-1,0-1} = 2 \left(\frac{1}{3} \frac{y_0^2}{I_0} + \frac{1}{2} \frac{p y_0^2}{I_0} + \frac{13}{5} \frac{\chi y_0}{W_0} \right) =$$

$$= 2 \left(\frac{1}{3} \frac{240,2^2}{41,5} + \frac{1}{2} \frac{270 \cdot 240,2^2}{41,5} + \frac{13}{5} \frac{2,4 \cdot 240,2}{0,11} \right) = 927,75 \text{ cm}^{-1}$$

$$e = \sigma_{0-1,0+1} = -y_0 \left(\frac{y_0^2}{I_0} + \frac{p}{I_0} \right) = -240,2 \left(\frac{240,2^2}{41,5} + \frac{270}{41,5} \right) = -36,49 \text{ cm}^{-2}$$

$$f = \sigma_{0,0-3} = \sigma_{0,0+3} = y_0 \left(\frac{1}{4} \frac{p^2}{I_0} - \frac{1}{W_0} \right) = 240,2 \left(\frac{1}{4} \frac{270^2}{41,5} - \frac{1}{0,11} \right) = 19,18 \text{ cm}^{-1}$$

$$g = \sigma_{0,0-2} = -\frac{1}{2} \frac{p y_0}{I_0} = -\frac{1}{2} \frac{270 \cdot 240,2}{41,5} = -1,04 \text{ cm}^{-2}$$

$$h = \sigma_{0,0} = 2 \left(\frac{1}{4} \frac{p^2 y_0}{I_0} + \frac{1}{12} \frac{p^3}{I_0} + \frac{13}{5} \frac{\chi p y_0}{W_0} + \frac{y_0^3}{I_0} \right) =$$

$$= 2 \left(\frac{1}{4} \frac{270^2 \cdot 240,2}{41,5} + \frac{1}{12} \frac{270^3}{41,5} + \frac{13}{5} \frac{2,4 \cdot 270 \cdot 240,2}{0,11} + \frac{240,2^3}{41,5} \right) = 249,2 \text{ cm}^{-1}$$

$$i = \sigma_{0+1,0-2} = \sigma_{0+1,0+4} = -\frac{y_0}{I_0} = -\frac{240,2}{41,5} = -0,12 \text{ cm}^{-3}$$

$$j = \sigma_{0+1,0+1} = 2 \left(\frac{y_0^2}{I_0} + \frac{p}{I_0} \right) = 2 \left(\frac{240,2^2}{41,5} + \frac{270}{41,5} \right) = 2,96 \text{ cm}^{-3}$$

2. Calculul termenilor liberi

$$\Delta_{10} = -\frac{1}{2} \frac{p^2 y_0^2}{I_0} = -\frac{1}{2} \frac{270^2 \cdot 240,2^2}{41,5} = -35465 \text{ cm}^{-1}$$

$$\begin{aligned} \Delta_{20} &= \Delta_{30} = \Delta_{60} = \Delta_{11.0} = \Delta_{14.0} = \Delta_{17.0} = \Delta_{19.0} = \\ &= -22 \left(\frac{1}{12} \frac{p^2}{15} - \frac{13}{5} \frac{26}{25} \right) = -27.1400 \left(\frac{1}{12} \frac{27^2}{19.9} - \frac{13}{5} \frac{24}{11.07} \right) = \\ &= -94080 \text{ daNcm}^{-1} \end{aligned}$$

$$\Delta_{30} = \frac{1}{2} \cdot \frac{p^2 p}{15} = \frac{1}{2} \cdot \frac{27^2 \cdot 1400}{19.9} = 29543 \text{ daNcm}^{-1}$$

$$\Delta_{40} = -\frac{3}{2} \frac{p^2 y_0}{15} = -\frac{3}{2} \frac{1400 \cdot 27^2 \cdot 24.82}{19.9} = 1909395 \text{ daNcm}^{-1}$$

$$\Delta_{60} = \frac{3}{2} \frac{p^2}{15} = \frac{3}{2} \frac{27^2 \cdot 1400}{19.9} = 76929 \text{ daNcm}^{-2}$$

$$\Delta_{70} = -\frac{5}{2} \frac{p^2 y_0}{15} = -\frac{5}{2} \frac{1400 \cdot 27^2 \cdot 24.82}{19.9} = -3.182.325 \text{ daNcm}^{-1}$$

$$\Delta_{90} = +\frac{5}{2} \frac{p^2 p}{15} = \frac{5}{2} \cdot \frac{27^2 \cdot 1400}{19.9} = 128.215 \text{ daNcm}^{-2}$$

$$\Delta_{10.0} = -\frac{7}{2} \frac{p^2 y_0}{15} = -\frac{7}{2} \cdot \frac{1400 \cdot 27^2 \cdot 24.82}{19.9} = -4.455.255 \text{ daNcm}^{-1}$$

$$\Delta_{12.0} = \frac{7}{2} \frac{p^2 p}{15} = \frac{7}{2} \frac{27^2 \cdot 1400}{19.9} = 179.501 \text{ daNcm}^{-2}$$

$$\Delta_{13.0} = -\frac{9}{2} \frac{p^2 y_0}{15} = -\frac{9}{2} \frac{1400 \cdot 27^2 \cdot 24.82}{19.9} = -5.728.185 \text{ daNcm}^{-1}$$

$$\Delta_{15.0} = \frac{9}{2} \frac{p^2 p}{15} = \frac{9}{2} \frac{27^2 \cdot 1400}{19.9} = 250.787 \text{ daNcm}^{-2}$$

$$\Delta_{16.0} = -\frac{11}{2} \frac{p^2 y_0}{15} = -\frac{11}{2} \frac{1400 \cdot 27^2 \cdot 24.82}{19.9} = -7.001.115 \text{ daNcm}^{-1}$$

$$\Delta_{18.0} = \frac{11}{2} \frac{p^2 p}{15} = \frac{11}{2} \frac{27^2 \cdot 1400}{19.9} = 282.073 \text{ daNcm}^{-2}$$

$$\Delta_{19.0} = -\frac{13}{2} \frac{p^2 y_0}{15} = -\frac{13}{2} \frac{1400 \cdot 27^2 \cdot 24.82}{19.9} = -8.274.045 \text{ daNcm}^{-1}$$

$$\Delta_{21.0} = \frac{13}{2} \frac{p^2 p}{15} = \frac{13}{2} \frac{27^2 \cdot 1400}{19.9} = 353.359 \text{ daNcm}^{-2}$$

$$\Delta_{22.0} = \Delta_{25.0} = \Delta_{28.0} = -7 \frac{p^2 y_0}{15} = -7 \frac{1400 \cdot 27^2 \cdot 24.82}{19.9} =$$

$$= -6.910.210 \text{ daNcm}^{-1}$$

$$\Delta_{23.0} = \Delta_{26.0} = \Delta_{29.0} = 0$$

$$\Delta_{24.0} = \Delta_{27.0} = \Delta_{30.0} = 7 \frac{P^2}{19} = 7 \frac{27^2 \cdot 1400}{19 \cdot 9} = 359.002 \text{ daNm}^{-2}$$

Cu aceste rezultate sistemul de ecuații :

SISTEMUL DE ECUAȚII PENTRU GRINZI CU GOLURI HEXAGONALE

	X ₁	X ₂	X ₃	X ₄	X ₅	X ₆	X ₇	X ₈	X ₉	X ₁₀	X ₁₁	X ₁₂	X ₁₃	X ₁₄	X ₁₅	X ₁₆	X ₁₇	X ₁₈	X ₁₉	X ₂₀	X ₂₁	X ₂₂	X ₂₃	X ₂₄	X ₂₅	X ₂₆	X ₂₇	X ₂₈	X ₂₉	X ₃₀	A _i	
1	82776	0	-3649	-4344	2032	150																										.. -538486
2	0	26520	0	-2032	1811	184																										.. 84084
3	-3649	0	296	150	-184	-012																										.. -25463
4	-4344	-2032	150	82776	0	-3649	-4344	2032	150																							.. -1808386
5	2032	1811	-184	0	26520	0	-2032	1811	184																							.. 84084
6	150	184	-012	-3649	0	296	150	-184	-012																							.. -78829
7				-4344	-2032	150	82776	0	-3649	-4344	2032	150																				.. -3982325
8				2032	1811	-184	0	26520	0	-2032	1811	184																				.. 84084
9				150	184	-012	-3649	0	296	150	-184	-012																				.. -128215
10							-4344	-2032	150	82776	0	-3649	-4344	2032	150																	.. -4495285
11							2032	1811	-184	0	26520	0	-2032	1811	184																	.. 84084
12							150	184	-012	-3649	0	296	150	-184	-012																	.. -178601
13										-4344	-2032	150	82776	0	-3649	-4344	2032	150														.. -572885
14										2032	1811	-184	0	26520	0	-2032	1811	184														.. 84084
15										150	184	-012	-3649	0	296	150	-184	-012														.. -220787
16												-4344	-2032	150	82776	0	-3649	-4344	2032	150												.. -7001175
17												2032	1811	-184	0	26520	0	-2032	1811	184												.. 84084
18												150	184	-012	-3649	0	296	150	-184	-012												.. -282073
19															-4344	-2032	150	82776	0	-3649	-4344	2032	150									.. -8278045
20															2032	1811	-184	0	26520	0	-2032	1811	184									.. 84084
21															150	184	-012	-3649	0	296	150	-184	-012									.. -338359
22																	-4344	-2032	150	82776	0	-3649	-4344	2032	150							.. -890680
23																	2032	1811	-184	0	26520	0	-2032	1811	184							.. 0
24																	150	184	-012	-3649	0	296	150	-184	-012							.. -388002
25																			-4344	-2032	150	82776	0	-3649	-4344	2032	150					.. -890680
26																			2032	1811	-184	0	26520	0	-2032	1811	184					.. 0
27																			150	184	-012	-3649	0	296	150	-184	-012					.. -388002
28																				-4344	-2032	150	82776	0	-3649	-4344	2032	150				.. -890680
29																				2032	1811	-184	0	26520	0	-2032	1811	184				.. 0
30																				150	184	-012	-3649	0	296	150	-184	-012				.. -388002

9.3.1.2. Grinzile girurate cu goluri circulare

$y_0 = 264 \text{ mm}$, $p = 275$, $I_0 = 0,4 \text{ cm}^4$, $A_0 = 10,97 \text{ cm}^2$, $I_{10} = \frac{0,69 \cdot 6,5^4}{12} = 16 \text{ cm}^4$, $I_n = \theta \cdot I_{10} = 5,14 \cdot 16 = 82,5 \text{ cm}^4$, $A_{10} = 0,69 \cdot 6,5 = 4,5 \text{ cm}^2$

$A_n = \theta \cdot A_{10} = 1,38 \cdot 4,5 = 6,2 \text{ cm}^2$, $\alpha = 2,4$.

1. Calculul coeficientilor ponaie rotului

$a = -y_0 \left(\frac{1}{3} \frac{y_0^2}{I_n} + \frac{1}{3} \frac{\alpha}{A_n} \right) = -26,4 \left(\frac{1}{3} \frac{26,4^2}{82,5} + \frac{1}{3} \frac{2,4}{6,2} \right) = -101,11 \text{ cm}^{-1}$

$b = -\frac{1}{4} \frac{p y_0^3}{I_n} = -\frac{1}{4} \frac{27,5 \cdot 26,4^3}{82,5} = -53,19 \text{ cm}^{-1}$

$$c = \frac{1}{2} \frac{y_0^2}{I_M} = \frac{1}{2} \frac{26,4^2}{82,5} = 4,22 \text{ cm}^{-2}$$

$$d = 2 \left(\frac{1}{3} \frac{y_0^3}{I_M} + \frac{1}{2} \frac{p y_0^2}{I_0} + \frac{13}{5} \frac{x y_0}{A_0} \right) = 2 \left(\frac{1}{3} \frac{26,4^3}{82,5} + \frac{1}{2} \frac{27,5 \cdot 26,4^2}{8,0} + \frac{13}{5} \frac{2,4 \cdot 26,4}{5,2} \right) = 2603,10 \text{ cm}^{-1}$$

$$e = -y_0 \left(\frac{y_0}{I_M} + \frac{p}{I_0} \right) = -26,4 \left(\frac{26,4}{82,5} + \frac{27,5}{8,0} \right) = -99,25 \text{ cm}^{-2}$$

$$f = y_0 \left(\frac{1}{4} \frac{p^2}{I_M} - \frac{1}{A_M} \right) = 26,4 \left(\frac{1}{4} \frac{27,5^2}{82,5} - \frac{1}{6,2} \right) = 64,68 \text{ cm}^{-1}$$

$$g = -\frac{1}{2} \frac{p y_0}{I_M} = -\frac{1}{2} \frac{27,5 \cdot 26,4}{82,5} = -4,40 \text{ cm}^{-2}$$

$$h = 2 \left(\frac{1}{4} \frac{p^2 y_0}{I_M} + \frac{1}{12} \frac{p^3}{I_0} + \frac{13}{5} \frac{x p}{A_0} + \frac{y_0}{A_M} \right) = 2 \left(\frac{1}{4} \frac{27,5^2 \cdot 26,4}{82,5} + \frac{1}{12} \frac{27,5^3}{8,0} + \frac{13}{5} \frac{2,4 \cdot 27,5}{10,37} + \frac{26,4}{6,2} \right) = 595,80 \text{ cm}^{-1}$$

$$i = -\frac{y_0}{I_M} = -\frac{26,4}{82,5} = -0,32 \text{ cm}^{-3}$$

$$j = 2 \left(\frac{y_0}{I_M} + \frac{p}{I_0} \right) = 2 \left(\frac{26,4}{82,5} + \frac{27,5}{8} \right) = 7,52 \text{ cm}^{-3}$$

2. Calculul termenilor liberi

$$\Delta_1 = -\frac{1}{2} \frac{p p^2 y_0}{I_0} = -\frac{1}{2} \frac{1400 \cdot 27,5^2 \cdot 26,4}{8,0} = -1.746.914 \text{ daNcm}^{-1}$$

$$\Delta_2 = \Delta_5 = \Delta_8 = \Delta_{11} = \Delta_{14} = \Delta_{17} = \Delta_{20} = -p^2 \left(\frac{1}{12} \frac{p^2}{I_0} - \frac{13}{5} \frac{x}{A_0} \right) = -27,5 \cdot 1400 \left(\frac{1}{12} \frac{27,5^2}{8} - \frac{13}{5} \frac{2,4}{10,37} \right) = -200.230 \text{ daNcm}^{-1}$$

$$\Delta_3 = \frac{1}{2} \frac{p^2 p}{I_0} = \frac{1}{2} \frac{27,5^2 \cdot 1400}{8,0} = 56.178 \text{ daNcm}^{-2}$$

$$\Delta_4 = -\frac{3}{2} \frac{p p^2 y_0}{I_0} = 3 \Delta_1 = 3(-17,5 \cdot 10^5) = 5.240.742 \text{ daNcm}^{-1}$$

$$\Delta_6 = \frac{3}{2} \frac{p^2 p}{I_0} = 3 \Delta_3 = 3 \cdot 0,66 \cdot 10^5 = 198.534 \text{ daNcm}^{-2}$$

$$\Delta_7 = -\frac{5}{2} \frac{p p^2 y_0}{I_0} = +5 \Delta_1 = 5(-17,5 \cdot 10^5) = -8.734.570 \text{ daNcm}^{-1}$$

$$\Delta_9 = \frac{5}{2} \frac{p^2 p}{I_0} = 5 \Delta_3 = 5 \cdot 0,66 \cdot 10^5 = 330.890 \text{ daNcm}^{-2}$$

$$\Delta_{10} = -\frac{7}{2} \frac{p p^2 y_0}{I_0} = 7 \Delta_1 = 7(-17,5 \cdot 10^5) = -12.228.398 \text{ daNcm}^{-1}$$

$$\Delta_{12} = \frac{7}{2} \frac{p^2 p}{I_0} = 7 \Delta_3 = 7 \cdot 0,66 \cdot 10^5 = 463.246 \text{ daNcm}^{-2}$$

$$\Delta_{13} = -\frac{9}{2} \frac{Pp^2 y_0}{16} = +9\Delta_1 = 9(-17,5 \cdot 10^5) = -15.722.226 \text{ daNcm}^{-1}$$

$$\Delta_{15} = \frac{9}{2} \frac{Pp^2}{16} = 9\Delta_3 = 9 \cdot 0,66 \cdot 10^5 = 595.602 \text{ daNcm}^{-2}$$

$$\Delta_{16} = -\frac{11}{2} \frac{Pp^2 y_0}{16} = 11\Delta_1 = 11(-17,5 \cdot 10^5) = 19.216.054 \text{ daNcm}^{-1}$$

$$\Delta_{18.0} = \frac{11}{2} \frac{Pp^2}{16} = 11\Delta_3 = 11 \cdot 0,66 \cdot 10^5 = 727.958 \text{ daNcm}^{-2}$$

$$\Delta_{19} = -\frac{13}{2} \frac{Pp^2 y_0}{16} = 13\Delta_1 = 13(-17,5 \cdot 10^5) = -22.709.882 \text{ daNcm}^{-1}$$

$$\Delta_{21} = \frac{13}{2} \frac{Pp^2}{16} = 13\Delta_3 = 13 \cdot 0,66 \cdot 10^5 = 859.314 \text{ daNcm}^{-2}$$

$$\Delta_{22} = \Delta_{25} = \Delta_{28} = -7 \frac{Pp^2 y_0}{16} = 14(-17,5 \cdot 10^5) = -24.456.796 \text{ daNcm}^{-1}$$

$$\Delta_{23} = \Delta_{26} = \Delta_{29} = 0$$

$$\Delta_{24} = \Delta_{27.0} = \Delta_{30} = 7 \frac{Pp^2}{16} = 14\Delta_3 = 14 \cdot 0,66 \cdot 10^5 = 926.492 \text{ daNcm}^{-2}$$

Cu aceste valori rezultă sistemul :

SISTEMUL DE ECUAȚII PENTRU GRINZI CU GOLURI CIRCULARE

	X ₁	X ₂	X ₃	X ₄	X ₅	X ₆	X ₇	X ₈	X ₉	X ₁₀	X ₁₁	X ₁₂	X ₁₃	X ₁₄	X ₁₅	X ₁₆	X ₁₇	X ₁₈	X ₁₉	X ₂₀	X ₂₁	X ₂₂	X ₂₃	X ₂₄	X ₂₅	X ₂₆	X ₂₇	X ₂₈	X ₂₉	X ₃₀	A _i		
1	26030	0	-9926	-1011	5810	422																										..1746914	
2	0	59580	0	-5810	6498	440																										.. 280280	
3	-9926	0	752	422	-440	-032																										.. 88178	
4	-1011	-5810	422	26030	0	-9926	-1011	5810	422																							..5.240742	
5	5810	6498	-440	0	59580	0	-5810	6498	440																							.. 280280	
6	422	440	-032	-9926	0	752	422	-440	-032																							.. 881534	
7				-1011	-5810	422	26030	0	-9926	-1011	5810	422																				..8734570	
8				5810	6498	-440	0	59580	0	-5810	6498	440																				.. 280280	
9				422	440	-032	-9926	0	752	422	-440	-032																				.. 330680	
10							-1011	-5810	422	26030	0	-9926	-1011	5810	422																	..1222898	
11							5810	6498	-440	0	59580	0	-5810	6498	440																	.. 280280	
12							422	440	-032	-9926	0	752	422	-440	-032																	.. 443266	
13										-1011	-5810	422	26030	0	-9926	-1011	5810	422														..8722226	
14										5810	6498	-440	0	59580	0	-5810	6498	440														.. 280280	
15										422	440	-032	-9926	0	752	422	-440	-032														.. 595802	
16																-1011	-5810	422	26030	0	-9926	-1011	5810	422								..1026054	
17																5810	6498	-440	0	59580	0	-5810	6498	440								.. 280280	
18																422	440	-032	-9926	0	752	422	-440	-032								.. 727858	
19																					-1011	-5810	422	26030	0	-9926	-1011	5810	422			.. 2270882	
20																	5810	6498	-440	0	59580	0	-5810	6498	440							.. 280280	
21																	422	440	-032	-9926	0	752	422	-440	-032							.. 880314	
22																						-1011	-5810	422	26030	0	-9926	-1011	5810	422		..24458786	
23																	5810	6498	-440	0	59580	0	-5810	6498	440							.. 0	
24																	422	440	-032	-9926	0	752	422	-440	-032							..826482	
25																																	..24458786
26																	5810	6498	-440	0	59580	0	-5810	6498	440							.. 0	
27																	422	440	-032	-9926	0	752	422	-440	-032							..826482	
28																																	..24458786
29																	5810	6498	-440	0	59580	0	-5810	6498	440							.. 0	
30																	422	440	-032	-9926	0	752	422	-440	-032							..826482	

9.3.2. Rezolvarea sistemului de ecuații

În baza ecuațiilor scrise și a organigramei din capitolul 4 a fost întocmit programul pentru rezolvarea sistemului de 30 de ecuații cu 30 de necunoscute, program care a fost rezolvat la Centrul teritorial de calcul Timișoara cu calculatorul IBS.

Programul e cuprins următoarele cartele :

JOB AJURA, AN:4060 MERCFA

STOP ROG MONTATI RD3-RD0046

COMPILE FORTRAN MAP,OBJ

```
1 C PROGRAM PENTRU REZOLVAREA UNUI SISTEM LINEAR DE N ECUAȚII
2 C CU N NECUNOSCUTE AVIND N IPOT.VECTORI AI TERZEN LOR LIBRI
3 C
4 C SISTEMUL AVIND O STRUCTURA SPECIFICĂ, MATRIGUA CONȚINE UNULOR
5 C NECUNOSCUTELOR SE ALCATUIESC AUTOMAT
6 DIMENSION PROBL (8)
7 DOUBLE PRECISION A1S(3,6),A1I(3,6),A1C(3,9) A(30,30),B(30)
8 EPS=0 , ID=30
9 READ (105,1000) N, NIPOT
10 DO 1010 JJJ=1,2
11 READ (105,1008) PROBL
12 READ (105,1001) ((A1S(I,J), I = 1,3), J = 1,6)
13 READ (105,1001) ((A1I(I,J), I = 1,3), J = 1,6)
14 READ (105,1001) ((A1C(I,J), I = 1,3), J = 1,9)
15 WRITE (108, 1002)
16 WRITE (108, 1009) PROBL
17 DO 100 IF = 1, NIPOT,
18 DO 104 I = 1,N
19 DO 104 J = 1,N
20 104 A(I,J) = 0
21 K1 = N-6
22 K2 = K1/3
23 K3 = N-3
24 DO 101 I = 1,3
25 DO 101 J = 1,6
26 101 A(I,J) = A1S(I,J)
27 DO 102 I = 1,3
28 DO 102 J = 1,6
29 102 A(K3+1, K1+J) = A1I(I,J)
30 DO 103 L = 1 , K2
31 DO 103 I = 1,3
32 DO 103 J = 1,9
33 103 A(L*3+ I, (L-1)*3+J) = A1C(I,J)
```

```

34 EFAD (105,1003)B
35 WRITE (108,1004) ((A(I,J),J = 1,N), I = 1,N)
36 WRITE (108,1005) B
37 CALL DEF SOL (A,B,I, MOD, EPS)
38 WRITE (108,1006) MOD
39 WRITE (108,1007)(I,B(I), I = 1,N)
40 100 CONTINUE
41 1010 CONTINUE
42 1000 FORMAT (2F5)
43 1001 FORMAT (9F3.2)
44 1002 FORMAT ( 39 X,GRINDA AJURATA 39 X , XX SOL IGIT
45 1 ANI XX )
46 1003 FORMAT (3 F 10.0)
47 1004 FORMAT ( 10X,COEFICIENTII NEGOCOUTIOR 10(4X,F8.2))
48 1005 FORMAT ( 10X,COEFICIENTII TERENILOR LIBERI 10(2X,F10.0))
49 1006 FORMAT ( 10X,MOD = .11 40X. SOLUTIILE SINT : )
50 1007 FORMAT (45X, X( 12 ) = F 11.5)
51 1008 FORMAT (8A4)
52 1009 FORMAT ( 35X, 8A4)
53 STOP
54 END
55 CARTELE DE DATE PT GRINDA CU GOLURI HEXAGONALE
56 CARTELE DE DATE PT GRINDA CU GOLURI CIRCULARE

```

In anexă la lucrare este prezentat programul în original într-un exemplar.

După rezolvarea sistemului de ecuații care a durat 17 min și 40" au rezultat următoarele valori ale necunoscuteilor.

9.3.2.1. Grinda cu goluri hexagonale

$X_1 = + 787,51$	$X_{11} = + 551,52$	$X_{21} = - 3170,70$
$X_2 = + 530,92$	$X_{12} = - 1486,20$	$X_{22} = + 10436,0$
$X_3 = + 187,84$	$X_{13} = + 6735,90$	$X_{23} = + 22,28$
$X_4 = + 2247,40$	$X_{14} = + 551,48$	$X_{24} = - 3333,90$
$X_5 = + 552,56$	$X_{15} = + 1911,90$	$X_{25} = + 10448,0$
$X_6 = - 604,10$	$X_{16} = + 8230,80$	$X_{26} = + 32,20$
$X_7 = + 3742,30$	$X_{17} = + 552,64$	$X_{27} = - 3629,00$
$X_8 = + 551,49$	$X_{18} = - 2370,30$	$X_{28} = + 9929,6$
$X_9 = - 1060,50$	$X_{19} = + 9688,50$	$X_{29} = - 892,59$
$X_{10} = + 5239,1$	$X_{20} = + 528,45$	$X_{30} = - 4334,80$

9.3.2.2. Grinda cu goluri circulare

$X_1 = + 752,10$	$X_{11} = + 620,03$	$X_{21} = - 663,15$
$X_2 = + 615,28$	$X_{12} = - 195,37$	$X_{22} = + 10145,0$

$X_3 = + 263,12$	$X_{13} = 6539,0$	$X_{23} = - 0,25$
$X_4 = + 2180,60$	$X_{14} = 620,02$	$X_{24} = - 670,07$
$X_5 = + 620,10$	$X_{15} = - 251,47$	$X_{25} = + 10158,0$
$X_6 = - 71,58$	$X_{16} = 7991,20$	$X_{26} = + 67,76$
$X_7 = + 3632,80$	$X_{17} = 620,14$	$X_{27} = - 912,0$
$X_8 = + 620,03$	$X_{18} = - 319,61$	$X_{28} = 9814,1$
$X_9 = -139,10$	$X_{19} = 9418,30$	$X_{29} = - 1004,7$
$X_{10} = + 5085,90$	$X_{20} = 615,74$	$X_{30} = 558,27$

9.3.3. Calculul solicitărilor

Pe baza acestor necunoscute au fost calculate solicitările finale cu relațiile următoare :

$$M = M_0 + m_{i-1} X_{i-1} + m_i X_i + m_{i+1} X_{i+1}$$

$$N = n_{i-1} X_{i-1} + n_i X_i$$

$$T = T_0 + t_{i-1} X_{i-1} + t_i X_i$$

Solicitările au fost calculate în secțiunile de lângă noduri (fig.9.3) atât în talpi cât și în montanți.

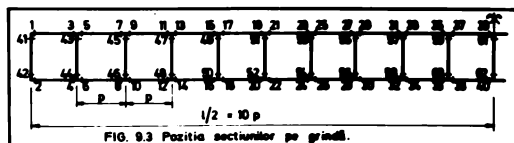


FIG. 9.3 Poziția secțiunilor pe grinzi.

Solicitările rezultate din calcul în dreptul secțiunilor teoretice din dreptul nodurilor indicate în fig.9.3 sînt trecute în tabelele 9.1 și 9.2.

ele au fost reduse, fiind calculate la colțul gurilor, la grinziile cu guri hexagonale și în axul gurilor respectiv la un unghi

de 15° unde efortul este maxim (fig.9.4) la grinzi cu guri circulare.

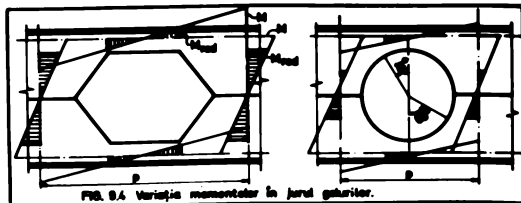


FIG. 9.4 Variația momentelor în grinzi gurilor.

Forțele tăietoare și axiale fiind constante pe lungimea panoului nu trebuie reduse în secțiunile de calcul.

În tabelele 9.1 și 9.2 sînt prezentate valorile finale ale solicitărilor m, f, N însușate calculate cu relațiile de mai sus precum și valorile momentelor reduse m_{red} .

**SOLICITARI DIN CALCULUL EXACT
LA GARNZI ROTATE CU GRIURI HEKAGONALE**

Capitolul 9.1

Secțiunea	Momentul $M_{10} + M_{11}$ /daNm/	Momentul redus la colțul unghiurilor red /daNm/	Forța axială $N = X_{10} + X_{11}$ /daN/	Forța tăietoare $T_{10} + T_{11}$ /daN/
1	+ 7355,26	+ 2376,98	+ 787,51	- 530,92
2	- 12190,74	- 4369,03	- 787,51	- 869,08
3	- 6979,08	- 2201,30	+ 787,51	- 530,92
4	+ 11274,40	+ 3452,69	- 787,51	- 869,08
5	+ 6855,37	+ 1882,33	+ 2247,40	- 552,56
6	- 11124,33	- 3497,37	- 2247,40	- 847,44
7	- 8063,75	- 3090,71	+ 2247,40	- 552,56
8	+ 11756,25	+ 4129,29	- 2247,40	- 847,44
9	+ 6384,62	+ 1421,21	+ 3742,80	- 551,49
10	- 10899,27	- 3262,68	- 3742,80	- 848,51
11	- 8505,32	- 3542,21	- 3742,80	- 551,49
12	+ 12010,49	+ 4373,90	- 3742,80	- 848,51
13	+ 5959,32	+ 395,64	+ 5239,10	- 551,52
14	- 10575,14	- 3038,82	- 5239,10	- 848,48
15	- 8931,72	- 3968,04	+ 5239,10	- 551,52
16	+ 12233,62	+ 4597,50	- 5239,10	- 848,48
17	+ 5533,08	+ 569,76	+ 6735,90	- 551,43
18	- 10451,95	- 2815,64	- 6735,90	- 848,52
19	- 9396,30	- 4393,56	+ 6735,90	- 551,48
20	+ 12457,00	+ 4820,68	- 6735,90	- 848,52
21	+ 5090,34	+ 115,58	+ 8230,80	- 552,64
22	- 10198,12	- 2571,07	- 8230,80	- 847,35
23	- 9030,94	- 4857,18	+ 8230,80	- 552,64
24	+ 12600,54	+ 5054,32	- 8230,80	- 847,35
25	+ 3963,38	- 792,67	+ 9638,50	- 528,45
26	- 9705,19	- 1861,24	- 9638,50	- 871,55
27	- 10304,78	- 5548,73	+ 9638,50	- 528,45
28	+ 13826,05	+ 5982,70	- 9638,50	- 871,55
29	- 3091,62	- 3292,14	+ 10436,00	- 22,28
30	+ 2486,36	+ 2266,04	- 10436,00	- 22,28
31	- 3690,10	- 3432,66	+ 10436,00	- 22,28
32	+ 1885,30	+ 2007,82	- 10436,00	- 22,28
33	- 3194,50	- 3484,10	+ 10448,00	- 32,20
34	+ 2006,34	+ 1736,54	- 10448,00	- 32,20
35	- 4069,70	- 3773,90	+ 10448,00	- 32,20
36	+ 1216,04	+ 1506,74	- 10448,00	- 32,20

Tabelul 9.1(continuare)

37	- 14384,70	- 5173,20	+ 9929,60	+ 89,26
38	- 6237,37	+ 470,02	- 9929,60	+ 89,26
39	+ 5715,10	- 1001,30	+ 9929,60	+ 89,26
40	+ 13862,43	+ 4545,35	- 9929,60	+ 89,26
41	+ 7355,26	-	+ 530,92	+ 787,57
42	- 12190,74	- 9628,60	+ 530,92	+ 787,51
43	- 13834,95	-	+ 21,64	+ 1459,89
44	+ 22399,52	+ 17385,30	+ 21,64	+ 1459,89
45	+ 14448,94	-	- 1,07	+ 1494,90
46	- 22655,05	- 17605,42	- 1,07	+ 1494,90
47	- 14464,94	-	+ 0,03	+ 1496,80
48	+ 22685,63	+ 17609,58	+ 0,03	+ 1496,80
49	+ 14464,80	-	- 0,04	+ 1496,80
50	- 22685,78	- 17609,03	- 0,04	+ 1496,80
51	- 14447,22	-	+ 1,16	+ 1494,90
52	+ 22656,20	+ 17605,89	+ 1,16	+ 1494,90
53	+ 13794,32	-	- 24,19	+ 1457,70
54	- 22385,79	- 17364,25	- 24,19	+ 1457,70
55	- 7213,16	-	- 506,17	+ 747,50
56	+ 11339,78	+ 8789,20	- 506,17	+ 747,50
57	+ 498,88	+ 386,35	+ 9,92	+ 12,00
58	+ 201,04	-	+ 9,92	+ 12,00
59	+ 12321,07	+ 9500,00	- 121,46	- 518,40
60	- 565,62	-	- 121,46	- 518,40
61	0	-	0	0
62	0	-	0	0

**SOLICITARI DIN CALCULUL EXACT
LA GRINZI AJURATE CU GOLURI CIRCULARE**

Tabelul 9.2

Sec- ția- nea	Momentul dada+ M_{1n} /daN/	Momentul redus in axul go- lurilor ared/daN/	Momentul redus in unghiul =15° /daN/	Forța axială $N = X_{1n}$ /daN/	Forța tăieto- re $T = T_0 + X_{1t}$ /daN/
1	+ 8736,97	+ 263,12	+ 1957,89	+ 752,10	- 616,28
2	- 11118,47	- 492,32	- 2647,61	- 752,10	- 783,72
3	- 8210,73	-	- 1431,65	+ 752,10	- 616,28
4	+ 10433,83	-	+ 2647,55	- 752,10	- 783,72
5	+ 8454,80	-	+ 1633,69	+ 2180,60	- 620,10
6	- 10613,04	-	- 2038,14	- 2180,60	- 779,90

Tabelul 9,2(continuare)

7	- 8597,96	- 71,58	- 1776,86	+ 2180,60	- 620,10
8	+ 10834,20	+ 110,58	+ 2255,30	- 2180,60	- 779,90
9	+ 8386,31	-	+ 1566,18	+ 3632,80	- 620,03
10	- 10519,61	-	- 1939,94	- 3632,80	- 779,99
11	- 8664,51	- 139,10	- 1844,18	+ 3632,80	- 620,03
12	+ 10929,57	+ 204,98	+ 2349,90	- 3632,80	- 779,97
13	+ 8330,04	-	+ 1509,71	+ 5085,90	- 620,03
14	- 10737,72	-	- 2038,05	- 5085,90	- 779,97
15	- 8720,78	- 195,37	- 1900,45	+ 5085,90	- 620,03
16	+ 11011,46	+ 136,07	+ 2311,79	- 5085,90	- 779,97
17	+ 8273,81	-	+ 1454,08	+ 6539,00	- 620,02
18	- 10355,79	-	- 1776,01	- 6539,00	- 779,98
19	- 8776,75	- 251,48	- 1956,54	+ 6539,00	- 620,02
20	+ 11093,65	+ 368,93	+ 2513,87	- 6539,00	- 779,98
21	+ 8207,32	-	+ 1305,93	+ 7991,20	- 620,14
22	- 10260,36	-	- 1681,90	- 7991,20	- 779,86
23	- 8846,54	- 319,61	- 2025,00	+ 7991,20	- 620,14
24	+ 11185,78	+ 462,71	+ 2607,32	- 7991,20	- 779,86
25	+ 7903,32	-	+ 1090,16	+ 9418,80	- 615,74
26	- 9853,04	-	- 1226,18	- 9418,80	- 784,26
27	- 9129,58	- 613,13	- 2316,42	+ 9418,80	- 615,74
28	+ 11714,10	+ 930,53	+ 3187,24	- 9418,80	- 784,76
29	- 673,44	-	- 546,02	+ 10145,00	+ 0,245
30	+ 998,56	-	+ 800,15	- 10145,00	+ 0,245
31	- 666,70	- 670,07	- 670,74	+ 10145,00	+ 0,245
32	+ 1005,30	+ 1001,93	+ 1002,60	- 10145,00	+ 0,245
33	+ 19,70	-	- 725,66	+ 10158,00	- 67,76
34	+ 1348,50	+ 416,80	+ 603,14	- 10158,00	- 67,76
35	- 1843,70	- 912,00	- 1098,34	+ 10158,00	- 67,76
36	- 514,90	-	+ 230,11	- 10158,00	- 67,76
37	- 13256,36	-	- 1204,55	+ 9814,10	- 1004,70
38	- 12848,60	-	- 766,89	+ 9814,10	+ 1004,70
39	+ 14372,90	+ 538,27	+ 3021,20	+ 9814,10	+ 1004,70
40	+ 14780,66	+ 906,03	+ 3028,96	+ 9814,10	+ 1004,70
41	+ 8736,97	-	-	+ 616,28	+ 752,10
42	- 11118,43	- 1190,73	- 3176,27	+ 616,28	+ 752,10
43	- 16665,53	-	-	+ 3,82	+ 1428,50
44	+ 21046,87	+ 2190,67	+ 5961,91	+ 3,82	+ 1428,50
45	+ 16984,27	-	-	- 0,07	+ 1452,20
46	- 21353,81	- 2184,77	- 6018,58	- 0,07	+ 1452,20

Tabelul 9.2 (continuare)

47	- 16904,55	-	-	0	+ 1453,10
48	+ 21367,29	+ 2186,37	+ 6022,55	0	+ 1453,10
49	+ 16994,59	-	-	- 0,01	+ 1453,10
50	- 21367,25	- 2186,33	- 6022,51	- 0,01	+ 1453,10
51	- 16984,07	-	-	+ 0,12	+ 1452,20
52	+ 21354,07	+ 2185,00	+ 6018,81	+ 0,12	+ 1452,20
53	+ 16649,82	-	-	- 4,40	+ 1427,60
54	- 21038,82	- 2194,50	- 5963,36	- 4,40	+ 1427,60
55	- 8456,13	-	-	- 615,98	+ 726,20
56	+ 10715,55	+ 1129,71	+ 3046,88	- 615,98	+ 726,20
57	+ 686,33	+ 514,73	+ 549,05	+ 67,52	+ 13,00
58	+ 343,13	-	-	+ 67,52	+ 13,00
59	+ 12529,20	+ 3539,48	+ 5137,92	- 1072,46	- 343,90
60	+ 3450,24	-	-	- 1072,46	- 343,90
61	0	0	0	0	0
62	0	0	0	0	0

9.3.4. Verificarea secțiunilor

9.3.4.1. Grinzi cu goluri hexagonale

1. Verificarea tălpilor

Eforturile unitare normale provin din forța axială și din moment. În unele secțiuni cele două eforturi se însumează în fibrele interioare colțurile golurilor, fiind cele două solicitări sunt de același semn iar în alte secțiuni în fibrele exterioare fiind solicitările M, N sunt de semn contrar. Secțiunile în care aceste solicitări conduc la eforturi maxime sunt :

- pentru efortul maxim în fibra interioară secțiunea 26
- pentru efortul maxim în fibra exterioară secțiunea 28

Semnele eforturilor sunt arătate în figura 9.5, iar solicitările M și N se iau din tabelul 9.1.

Efortul maxim din punctul 1 în colțul golului are valoarea :

$$\sigma_{i1} = \sigma_N + \sigma_M = \frac{N_{26}}{A_0} + \frac{M_{red}}{W_{01}} = \frac{9688,50}{11,97} + \frac{1861,24}{5,82} = 868,335 =$$

$$= 1203 \text{ daN/cm}^2 < \sigma_a = 1500 \text{ daN/cm}^2$$

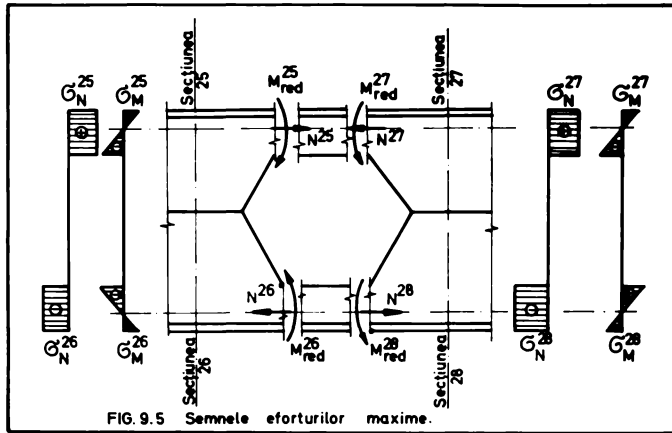
Efortul maxim din punctul 2 din fibra exterioară este :

$$\sigma_{e2} = \sigma_N + \sigma_M = \frac{N_{28}}{A_0} + \frac{M_{red}}{W_{0B}} = \frac{9688,50}{11,07} + \frac{5982,70}{18,35} =$$

$$= 868 + 324 = 1192 \text{ daN/cm}^2 < \sigma_a = 1500 \text{ daN/cm}^2$$

Eforturile unitare tangențiale τ din tălpi au valoarea :

$$\tau = \frac{T S_x}{d I_b} = \frac{871,55 \cdot 4,0}{0,69 \cdot 19,96} = 252 \text{ daN/cm}^2 = 900 \text{ daN/cm}^2$$



Verificarea eforturilor unitare echivalente se face cu relația :

$$\sigma_{ech} = \sqrt{\sigma_N + 3\tau^2} = \sqrt{861^2 + 3 \cdot 252^2} = 955 \text{ daN/cm}^2 < 1,1 \sigma_a$$

2. Verificarea montanților

Montanții sînt solicitați la fel ca și tălpile la forța axială și la moment, iar eforturile unitare normale au valorile maxime în secțiunea 44 unde momentele reduse la colțul golurilor sînt maxime forța axială fiind mică :

$$\sigma = \sigma_N^{44} + \sigma_M^{44} = \frac{N^{44}}{A_n} + \frac{M^{44}}{W_n} = \frac{21,64}{0,69 \cdot 18} + \frac{17385,39}{0,69 \cdot 18^2} = 1,80 + 475 =$$

$$\approx 476,80 \text{ daN/cm}^2 \ll \sigma_a = 1500 \text{ daN/cm}^2$$

9.3.4.2. Grinzi cu goluri circulare

1. Verificarea tălpilor formate din profilele T

Solicitățile maxime de calcul sînt momentul și forța axială din secțiunile 26, pentru verificarea efortului unitar normal din fibrele interioare de pe conturul golurilor și 28, pentru verificarea efortului unitar maxim din fibrele exterioare. La profilele ejurate cu goluri circulare se verifică eforturile maxime în axul golurilor și la un unghi de 15° , ca și la calculul simplificat.

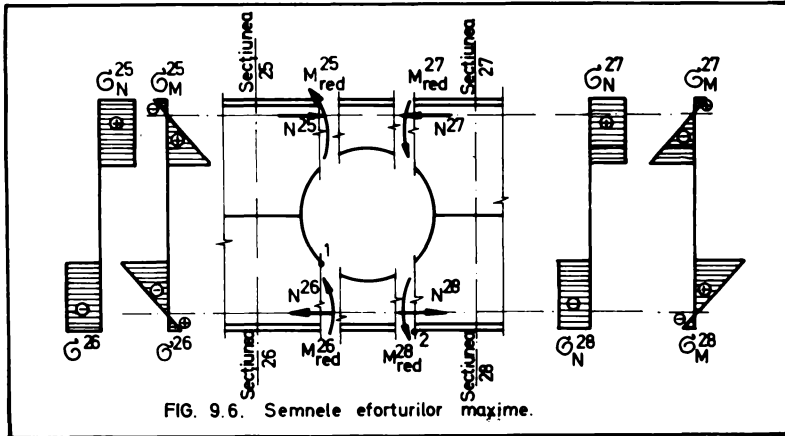
Semnele eforturilor sînt indicate în figura 9.6 iar solicitațiile de calcul N și M se iau din tabelul 9.2.

Efortul unitar normal maxim în axul golurilor în fibra exterioară are valoarea :

$$\sigma_{ce} = \sigma_N^o + \sigma_M^o = \frac{N_o}{A_o} + \frac{M_o}{W_o} = \frac{9418,80}{10,37} + \frac{930,53}{9,70} =$$

$$= 930 + 96 = 1026 \text{ daN/cm}^2 < \sigma_a = 1500 \text{ daN/cm}^2$$

Iar in fibra interioară efortul este mai mic și nu se verifică.



Efortul maxim in fibra interioară din secțiunea curentă la unghiul $\varphi = 15^\circ$ calculate cu solicitările reduse din secțiunea 26 au valoarea :

$$\sigma_i = \sigma_N^{26} + \sigma_M^{26} = \frac{N^{26}}{A_o} + \frac{M_{red}^{26}}{W_o \varphi} = \frac{9418,80}{10,81} + \frac{1226,18}{3,92} =$$

$$= 865 + 312 = 1177 \text{ daN/cm}^2 < \sigma_a = 1500 \text{ daN/cm}^2$$

Efortul maxim in fibra exterioră calculat cu solicitările reduse din secțiunea 28 au valoarea :

$$\sigma_e = \sigma_N^{28} + \sigma_M^{28} = \frac{N^{28}}{A_o} + \frac{M_{red}^{28}}{W_o} = \frac{9418,80}{10,81} + \frac{3187,24}{10,31} =$$

$$= 865 + 307 = 1172 \text{ daN/cm}^2 < \sigma_a = 1500 \text{ daN/cm}^2$$

Eforturile unitare tangențiale τ din profilele T au valoarea :

$$\tau = \frac{T S_x}{I_o \cdot b} = \frac{784 \times 2,5}{0,59 \cdot 8} = 355 \text{ daN/cm}^2 < \tau_a = 900 \text{ daN/cm}^2$$

Verificarea eforturilor unitare echivalente se face cu relația :

$$\sigma_{ech} = \sqrt{\sigma^2 + 3 \tau^2} = \sqrt{865^2 + 3 \cdot 355^2} = 1060 \text{ daN/cm}^2 < 1,1 \sigma_a$$

2. Verificarea montanților

Verificarea montanților se face la un unghi $\varphi = 60^\circ$ unde acestea sînt maxime, cu solicitările maxime din secțiunea 48.

$$\sigma = \sigma_{N+}^{48} - \sigma_{M-}^{48} = 0 + \frac{48}{\pi} = \frac{6022,55}{0,69 \cdot 9,5^2} = 575 \text{ daN/cm}^2 < \sigma_a$$

9.4. CONCLUZII PRIVIND EXPERIMENTELE DE CALCUL

Din calculul practic al celor două grinzi se desprind următoarele concluzii privind calculul lor și valorile rezultate din calcul :

1. Eforturile unitare normale maxime din secțiunile cele mai solicitate în tălpile T ce mărginesc golurile, rezultate din calculul simplificat sînt mai mici în cazul profilelor ajurate cu goluri circulare, decît la cele cu goluri hexagonale la aceeași compoziția de oțel cu 19,9 %, efortul unitar maxim la grinziile cu goluri hexagonale fiind 1470 daN/cm², iar la cele cu goluri circulare de 1225 daN/cm², la aceeași încălzire și același profil.

2. Săgețile calculate pentru grinziile ajurate cu goluri circulare sînt mai mici decît la cele cu goluri hexagonale cu 17,8 % fiind de 1,32 cm la grinziile cu goluri hexagonale și de 1,12 cm la grinziile cu goluri circulare la aceeași încălzire și același profil de bază.

3. Eforturile rezultate din calculul simplificat sînt mai mari decît cele calculate cu calculul exact, ceea ce înseamnă că pentru calculul practic în proiectare folosirea calculului simplificat este acoperitoare.

Față de 1470 daN/cm² cit este efortul unitar normal din calculul simplificat, cel din calculul exact este de 1203 daN/cm² la profilele cu goluri hexagonale și față de 1225 daN/cm² cit este efortul din calculul simplificat, cel din calculul exact este de 1177 daN/cm² la profilele ajurate cu goluri circulare.

Rezultă că pe lângă faptul că un calcul simplificat este acoperitor, el este și mult mai simplu de efectuat și se poate face cu mijloacele simple de care dispune orice proiectant.

CAPITOLUL 10

INCERCAREA EXPERIMENTALA A GRINZILOR AJURATE

10.1. ORGANIZAREA INCERCARILOR

Pentru efectuarea încercărilor experimentale făcute în laboratorul Catedrei de construcții metalice au fost confecționate două grinzi ajurate cu goluri hexagonale și două grinzi ajurate cu goluri circulare. Dimensiunile lor sînt cele prezentate în paragraful 9.1.1. Pentru a împiedica pierderea stabilității profilurilor ajurate cele două grinzi au fost cuplate, și încercate simultan odată cele cu goluri hexagonale și apoi cele cu goluri circulare. Pentru aceasta ele au fost așezate la distanța de 1000 mm și legate la talpa comprimată cu o contravintuire realizată din corniere și oțel rotund avînd diagonale încrucișate (fig.10.1 c,d). Cele două grinzi au fost încercate simultan cu două prese hidraulice de 5 t fiecare dispuse la distanțele indicate în fig.9.1 și care au fost acționate de la pompa hidraulică de 10 t a mașinii universale de încercare la tracțiune.

Forța transmisă prin prese a fost controlată în permanență la cadranul mașinii de încercat la tracțiune. Pentru încercare, grinziile au fost fixate de cadrul standului de încercări, fiind rezanate la partea superioară pe rigla acestuia și avînd asigurate un rezău articulată și unul mobil cu role (fig.10.1 a,b).

Pentru măsurarea eforturilor s-a folosit metoda tensometriei electrice, iar pentru măsurarea deformațiilor s-au folosit microcomparatoare.

10.2. MĂSURAREA EFORTURILOR ȘI REZULTATELE OBTINUTE

10.2.1. Măsurarea tensometrică

Măsurarea eforturilor s-a făcut pe cale tensometrică, fiind pe grinzi în dreptul golurilor celor mai solicitate din stînga și din dreapta forțelor exercitate de prese asupra grinziilor, un număr de 32-42 de tîabre tensometrice. Tîabrele au fost dispuse atît pe talpile profilurilor ajurate cît și pe inițiale acestora așa cum este arătat în fig.10.2 și în fotografiile din fig.10.3 a și b. La grinziile din profile ajurate cu goluri hexagonale tîabrele au fost dispuse în ambele grinzi încercate pe talpile profilurilor T ce mărginesc golurile, la fibrele exterioare, precum și pe inițiale acestor profile atît în ax cît și în secțiunea de la colțul golurilor.

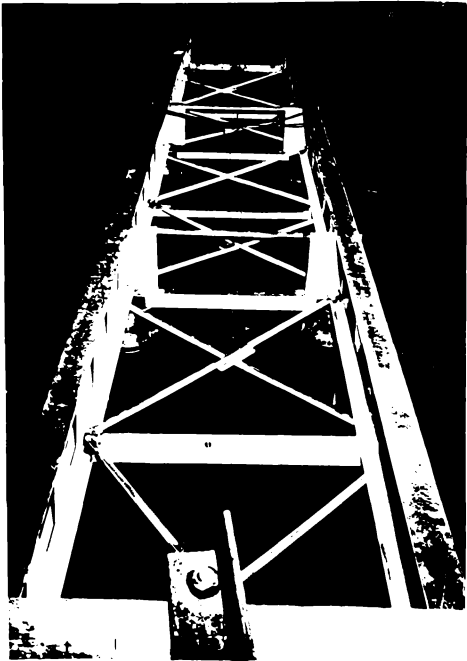
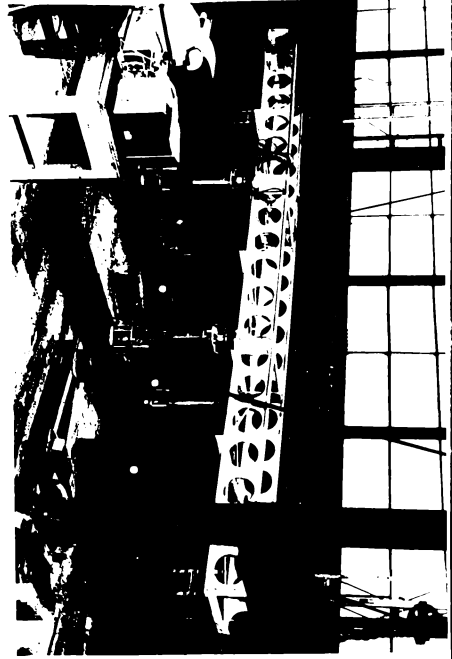
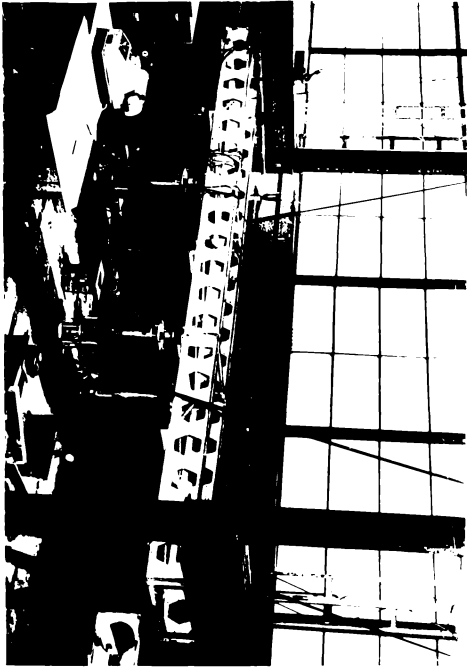


Fig 10.1.

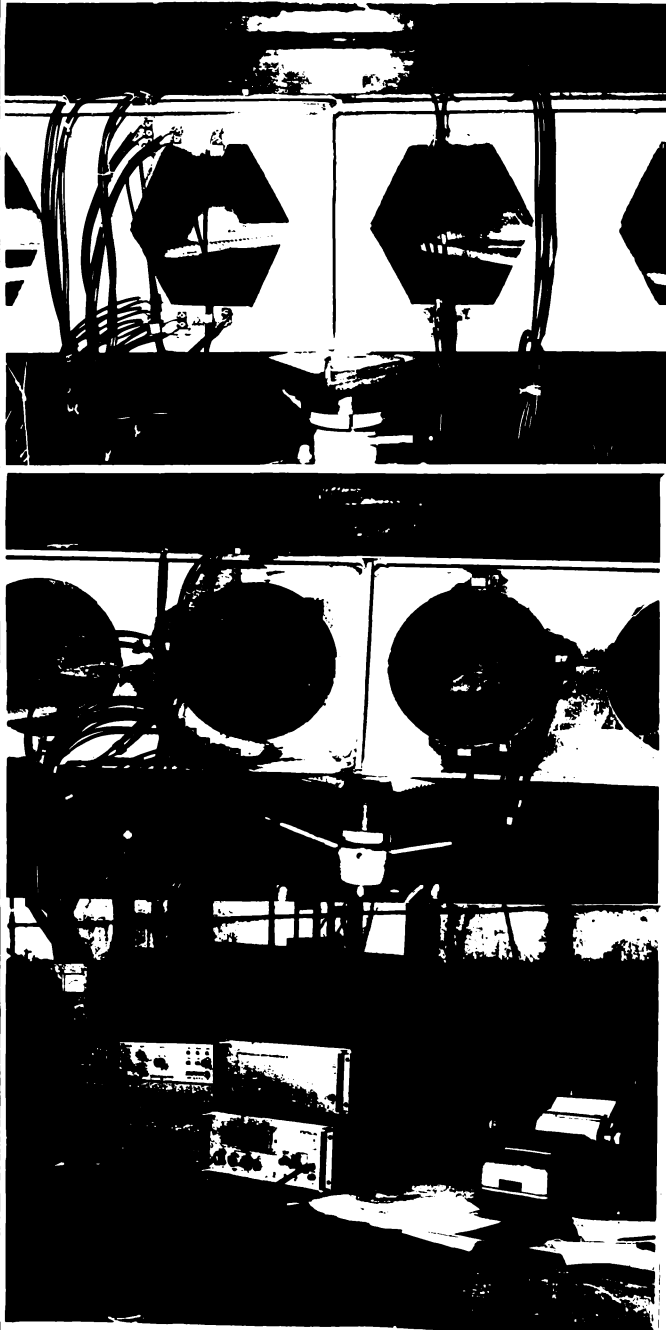


Fig. 10.3.

rezultat eforturile unitare normale σ , instabulate.

10.2.2. Calculul eforturilor

Pentru a verificare mai amănunțită a variației eforturilor încărcarea grinzilor s-a făcut în 8 trepte, urmate de descărcări până la 0 (zero) în domeniul elastic, treapta 4 și apoi fără descărcări până la plastificarea completă a secțiunilor transversale în

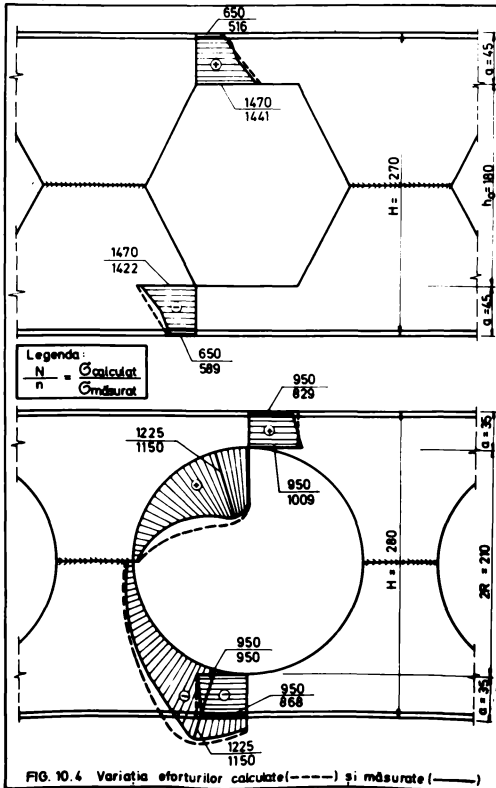
dreptul golurilor 7.

Valoarea forțelor concentrate aplicate asupra grinzilor, în cele 8 trepte de încărcare a fost :

Treapta I	P = 1050 daN
Treapta II	P = 1400 daN
Treapta III	P = 1750 daN
Treapta IV	P = 2100 daN
Treapta V	P = 2450 daN
Treapta VI	P = 2800 daN
Treapta VII	P = 3150 daN
Treapta VIII	P = 3500 daN

Treapta a doua corespunde atingerii rezistenței admisibile în fibrele cele mai solicitate iar treapta a cincea atingerii limitei de curgere în fibrele cele mai solicitate.

Eforturile rezultate prin măsurători în cele 3 trepte sînt trecute în tabelele 10.1 pentru grinzile cu goluri hexagonale și 10.2 pentru cele cu goluri circulare iar variația eforturilor pe înălțimea secțiunii transversale a profilului T ce mărginesc golurile și în jurul golurilor este dată în fig.10.4.



10.3. MĂSURAREA DEFORMĂȚILOR ȘI REZULTATELE OBTINUTE

10.3.1. Măsurători de deformații

Măsurarea deformațiilor s-a făcut cu ajutorul unor flexiastre cu precizia de măsurare de 10^{-2} mm. Pentru aceasta s-au fixat cinci flexiastre în pozițiile indicate în figura 10.5 în timp, și două flexiastre la reazime pentru măsurarea tasării reazimilor.

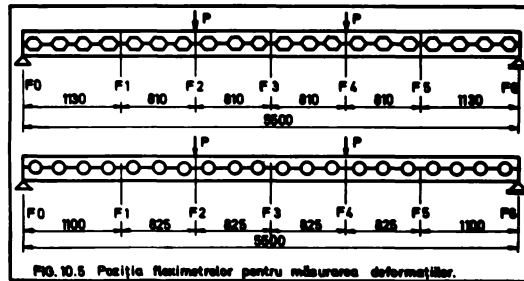


FIG. 10.5 Poziția fleximetrelor pentru măsurarea deformațiilor.

Citirea deformațiilor s-a făcut la fiecare treaptă de încărcare a grinzilor și s-au raportat la citirea de zero a fleximetrelor.

10.3.2. Calculul deformațiilor

Pentru determinarea deformațiilor reale în fiecare punct s-a făcut diferența algebrică dintre citirea unei anumite trepte de încărcare și citirea zero, din rezultatele obținute scăzându-se tasarea reazimilor, pentru a ține seama și de translația în sus a grinzii pe reazime. Rezultatele măsurătorilor și deformațiile obținute sînt trecute în tabelul 10.3 pentru grinzi din profile ajurate cu goluri hexagonale și 10.4 pentru grinzi din profile ajurate cu goluri circulare. Variația deformațiilor în lungul grinzii la cîteva trepte de încărcare este reprezentată în fig. 10.6.

EFORTURI MĂSURATE LA PROFILELE AJURATE CU GOLURI HEXAGONALE
 ÎN DREPTUL GOLULUI NR.7

Tabelul 10.1

Tipul limbrelor	Numărul limbrelor *	Căruș (Q ₁)	Alungire (mm)	Efortul unitar mediu (kg/cm ²)	Căruș (Q ₂)	Alungire (mm)	Efortul unitar mediu (kg/cm ²)	Căruș (Q ₃)	Alungire (mm)	Efortul unitar mediu (kg/cm ²)	Căruș (Q ₄)	Alungire (mm)	Efortul unitar mediu (kg/cm ²)	Căruș (Q ₅)	Alungire (mm)	Efortul unitar mediu (kg/cm ²)	Căruș (Q ₆)	Alungire (mm)	Efortul unitar mediu (kg/cm ²)	Căruș (Q ₇)	Alungire (mm)	Efortul unitar mediu (kg/cm ²)	Căruș (Q ₈)	Alungire (mm)	Efortul unitar mediu (kg/cm ²)	
T	1-3 (15)	6 16	190 197	305 305	243 261	347 322	330 692	423 397	405 860	-	-	-	-	-	-	-	-	-	-	-	-	-	-	-	-	-
T	4 (16)	16 35	353 385	633 721	451 468	688 667	588 1255	789 771	723 1520	4034 634	427 1841	427 1841	4034 634	427 1841	4034 634	427 1841	4034 634	427 1841	4034 634	427 1841	4034 634	427 1841	4034 634	427 1841	4034 634	427 1841
T	5 (17)	72 35	418 378	845 1081	527 495	771 749	708 2240	888 632	887 2990	659 1332	831 2910	831 2910	659 1332	887 2990	659 1332	831 2910	831 2910	659 1332	887 2990	659 1332	831 2910	831 2910	659 1332	887 2990	659 1332	831 2910
T	6 (18)	189 177	702 705	1081 1081	672 683	1042 1028	1038 2240	1208 632	1222 2990	808 1332	1118 2240	1118 2240	808 1332	1222 2990	808 1332	1118 2240	1118 2240	808 1332	1222 2990	808 1332	1118 2240	1118 2240	808 1332	1222 2990	808 1332	1118 2240
T	8 (20)	100 77	100 813	1045 1045	1177 809	1072 942	1150 2410	1208 1422	1208 3360	271 3360	2410 5310	2410 5310	271 3360	2410 5310	271 3360	2410 5310	2410 5310	271 3360	2410 5310	271 3360	2410 5310	271 3360	2410 5310	271 3360	2410 5310	271 3360
T	9 (21)	154 177	437 533	660 660	523 642	477 674	630 1391	827 1088	882 1088	975 1088	827 2720	827 2720	975 1088	827 2720	975 1088	827 2720	827 2720	975 1088	827 2720	975 1088	827 2720	975 1088	827 2720	975 1088	827 2720	975 1088
T	10 (22)	54 34	389 361	618 618	471 458	571 658	571 1202	986 986	882 1465	882 1465	882 1465	882 1465	882 1465	882 1465	882 1465	882 1465	882 1465	882 1465	882 1465	882 1465	882 1465	882 1465	882 1465	882 1465	882 1465	882 1465
T	12-14 (23)	28 20	248 180	214 145	300 252	465 382	418 865	732 865	524 474	882 882	1081 1081	1081 1081	524 474	882 882	524 474	1081 1081	1081 1081	524 474	882 882	524 474	1081 1081	1081 1081	524 474	882 882	524 474	1081 1081

* Numerele limbrelor înscrise în paranteză, indică timbrele de pe grinda din spate, iar calculate de pe grinda din față.

FORȚURI MĂSURATE LA PROFILULE AJURATE CU GOURI CIRCULARE IN AXUL GOURII NR. 7 TABELUL NO. 2

Unghiul φ	Numărul timbrei *	Citirea (0,2mm)	Citirea treapta 1	Alungirea medie $\bar{\epsilon}_{m1}$	Efortul unitar mediu treapta 1 σ_1	Citirea treapta 2	Alungirea medie $\bar{\epsilon}_{m2}$	Efortul unitar mediu treapta 2 σ_2	Citirea treapta 3	Alungirea medie $\bar{\epsilon}_{m3}$	Efortul unitar mediu treapta 3 σ_3	Citirea treapta 4	Alungirea medie $\bar{\epsilon}_{m4}$	Efortul unitar mediu treapta 4 σ_4	Citirea treapta 5	Alungirea medie $\bar{\epsilon}_{m5}$	Efortul unitar mediu treapta 5 σ_5	Citirea treapta 6	Alungirea medie $\bar{\epsilon}_{m6}$	Efortul unitar mediu treapta 6 σ_6	Citirea treapta 8	Alungirea medie $\bar{\epsilon}_{m8}$	Efortul unitar mediu treapta 8 σ_8	
0° sus	4	-137 -4,78	-	341	+719	-618	-481	+1009	761	+62	+1304	-910	-773	+1625	-833	-94	+919	-811	-803	-2242	-233	-1935	-4180	
0° jos	4	-257 -4,30	-	-301	+656	-386	-394	+828	-491	-468	-1020	-984	-882	+1220	+688	-672	+1410	-714	-746	+1540	-678	-640	+1960	
5-6°	-	-	-	-	+52	-	+37	+78	-280	+47	+98	-287	+54	+114	-281	+59	+122	-285	+62	+130	-	-	-	
30-33°	3	-228 -2,98	-	-	-	-271	-	-	-	-	-	-	-	-	-	-	-	-	-	-	-	-	-	
45°	8	-6 -1,96	-	-	-	-256	-281	-590	-384	-344	-720	-458	-415	-870	-588	-478	-1001	-584	-473	-521	-1102	-601	-631	-1321
65°	7	+3 -61	-	-66	-139	-80	-96	-200	-111	-115	-242	-144	-146	-310	-183	-170	-360	-202	-187	-198	-420	-283	-285	-601
90°	3	-228 -2,98	-	-	-	-271	-	-	-	-	-	-	-	-	-	-	-	-	-	-	-	-	-	
15°	10	-648 -10,8	-	417	-870	-121	-548	-1150	-198	-672	-1420	-1478	-800	-1700	-634	-988	-1960	-102	-1710	-104	-2180	-300	-380	-7500
25°	9	+8 -2,86	-	-333	-700	-384	-443	-925	-632	-590	-1150	-738	-682	-1400	-684	-773	-1620	-102	-780	-877	-1840	-395	-633	-1840
30-33°	3	-228 -2,98	-	-	-	-271	-	-	-	-	-	-	-	-	-	-	-	-	-	-	-	-	-	
45°	8	-6 -1,96	-	-	-	-256	-281	-590	-384	-344	-720	-458	-415	-870	-588	-478	-1001	-584	-473	-521	-1102	-601	-631	-1321
65°	7	+3 -61	-	-66	-139	-80	-96	-200	-111	-115	-242	-144	-146	-310	-183	-170	-360	-202	-187	-198	-420	-283	-285	-601
90°	3	-228 -2,98	-	-	-	-271	-	-	-	-	-	-	-	-	-	-	-	-	-	-	-	-	-	
11°	11	-	-	-386	-820	-	-504	-1060	-	-617	-1280	-	-728	-1540	-	-638	-1750	-	-657	-2000	-	-380	-8000	
12°	12	-45 -4,01	-	-341	-719	-518	-458	-950	-632	-598	-1865	-754	-628	-1418	-682	-780	-1658	-682	-877	-885	-1878	-727	-107	-2256
13°	13	-8 -3,18	-	-311	-656	-422	-414	-868	-511	-502	-1059	-624	-616	-1281	-727	-715	-1498	-623	-685	-1710	-	-103	-103	-2210

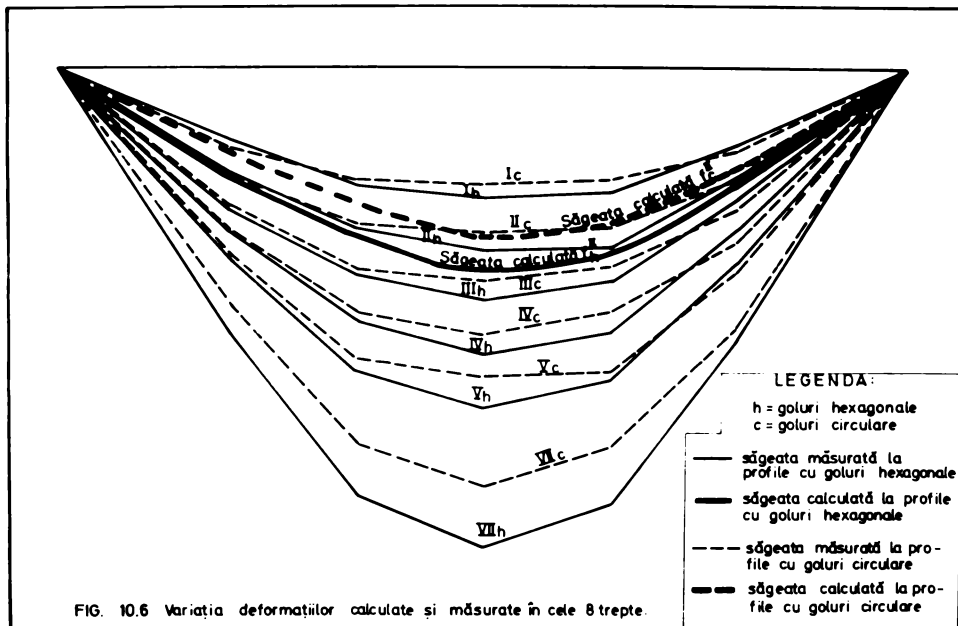
DEFORĂȚĂȚII ASURATE LA GRĂZILE CU CULOURI ÎNĂĂGONALE mm Tabelul 10.3

Nr. Cit. sile-ro	Treapta I		Treapta II		Treapta III		Treapta IV		Treapta V		Treapta VII		Treapta VIII	
	Citire	Deform	Citire	Deform	Citire	Deform	Citire	Deform	Citire	Deform	Citire	Deform	Citire	Deform
F0	0,70	0,4	0,88	0,58	1,10	0,80	1,32	1,02	1,54	1,24	1,80	1,50	1,90	1,60
F1	2,56	7,90	4,90	6,87	11,95	8,60	14,1	10,53	16,30	12,49	21,0	17,72	49,00	44,83
F2	4,20	12,35	7,69	10,50	18,45	13,46	21,8	16,59	25,11	19,66	33,7	27,98	82,00	76,19
F3	2,86	11,95	8,65	15,50	18,65	15,00	22,4	18,53	26,10	21,99	35,55	31,17	90,10	85,63
F4	0,50	9,00	8,06	12,24	15,10	13,81	18,46	16,95	21,91	20,16	30,45	28,43	80,5	78,39
F5	1,15	6,55	5,06	8,80	10,75	8,61	12,96	10,80	15,18	12,78	20,85	18,18	50,5	47,74
F6	0,5	0,98	0,48	1,06	1,28	0,78	1,50	1,00	1,76	1,26	2,04	1,54	2,12	1,62

DEFORĂȚĂȚII ASURATE LA GRĂZILE CU CULOURI CIRCULARE mm Tabelul 10.4

Nr. Cit. sile-ro	Treapta I		Treapta II		Treapta III		Treapta IV		Treapta V		Treapta VII		Treapta VIII	
	Citire	Deform	Citire	Deform	Citire	Deform	Citire	Deform	Citire	Deform	Citire	Deform	Citire	Deform
F0	0,1	0,62	0,52	0,78	0,68	0,96	1,19	1,09	1,50	1,40	1,80	1,70	-	-
F1	0,52	6,20	5,15	8,18	6,96	8,94	12,12	10,45	13,90	11,97	17,30	15,06	-	-
F2	1,65	9,46	7,27	12,62	10,27	13,03	18,75	15,96	21,89	18,83	28,0	24,63	-	-
F3	2,80	10,95	7,62	14,42	10,92	14,03	21,35	17,41	24,85	20,64	31,80	27,28	-	-
F4	1,98	9,80	7,29	12,89	10,21	12,95	18,97	15,85	22,05	19,66	28,20	24,50	-	-
F5	0,92	6,92	5,47	9,00	7,38	9,17	13,12	11,06	15,15	12,82	19,24	16,60	-	-
F6	0,2	0,74	0,54	0,92	0,72	0,98	1,39	1,19	1,62	1,42	1,94	1,74	-	-

1300
BIBLIOTECA CENTRALĂ



10.4. CONCLUZII ASUPRA ÎNCERCĂRIILOR EXPERIMENTALE

Încercările experimentale efectuate asupra grinzilor au avut menirea să confirme pe de o parte, valabilitatea relațiilor de verificare prezentate în celelalte capitole ale lucrării, și pe de altă parte să confirme avantajele pe care le au profilele ajurate cu goluri circulare, față de cele cu goluri hexagonale. Încercările experimentale au avut și rolul de a arăta că aplicarea calculului simplificat este suficient de exact și în orice caz acoperitor pentru practica de proiectare.

Din rezultatele măsurărilor se desprind următoarele concluzii :

1. Relațiile de verificare deduse și prezentate în capitolele 3,4,5,6 sînt corecte, eforturile măsurate experimental fiind apropiate de cele calculate în capitolul 9 și mai mici decît acestea cu cca.2-7 %, ceea ce confirmă buna comportare și rezervele de care dispun profilele ajurate.

2. Așa cum arată calculul și verificările făcute și prezentate în capitolul 9, rezultatele experimentale confirmă avantajele economice ale profilelor ajurate cu goluri circulare față de cele cu goluri hexagonale. La profile provenite din același profil laminat dublu T 18, eforturile măsurate la profilele ajurate cu goluri hexagonale sînt de 1441 daN/cm^2 în comparație cu 1150 daN/cm^2 la cele cu goluri circulare, deci o reducere a eforturilor de cca 20 % cum a rezultat și din calculul teoretic.

3. Din fig.10.6 se vede de asemenea că săgețile măsurate sînt mai mici decît cele calculate, atît la profile ajurate cu goluri hexagonale cît și la cele cu goluri circulare.

4. Măsurătorile arată și faptul că rezultatele calculului simplificat se apropie mult de valorile calculate atît în ce privește verificarea eforturilor cît și a deformațiilor, confirmînd justetea relațiilor deduse în lucrare.

CAPITOLUL 11

CONCLUZII FINALE

Lucrarea de față a căutat în primul rând să aducă unele contribuții personale la alegerea dimensiunilor celor mai raționale și la calculul în domeniul elastic al profilelor ajurate cu goluri hexagonale și octogonale și în al doilea rând să prezinte un nou tip de profile ajurate cu goluri circulare și ovale cu toată metodologia de fabricație și de calcul a acestora.

Lucrarea structurată pe cele 10 capitole, anterioare acestuia conține, indicații asupra domeniilor de folosire, asupra avantajelor profilelor ajurate, asupra metodelor de calcul simplificat și exact al profilelor ajurate precum și a măsurilor de întărire și rigidizare a acestora.

11.1. CONTRIBUTII PERSONALE LA CONȚINUTUL TEZEI

În baza studiilor de lungă durată desfășurate în direcția problemei profilelor ajurate, care ocupă o tot mai largă răspândire în ultima vreme, și a literaturii tehnice studiate, s-au putut cristaliza unele contribuții personale la alcătuirea și calculul în domeniul elastic al profilelor ajurate, alături de prezentarea unui nou tip de profile ajurate, cele cu goluri circulare și ovale, care au fost propuse și pentru brevetarea ca invenție la O.S.L.A.

Principala contribuție personală la elaborarea lucrării este adusă prin prezentarea modelului de alcătuire și de calcul al unui nou tip de profile ajurate, cu goluri circulare și ovale în inimă, care prezintă o noutate pe plan mondial în acest domeniu. Voluntăți afectat acestui nou tip de profile reprezintă marea majoritate a lucrării.

Pe capitole, contribuția personală constă în următoarele :

În capitolul 1 descrierea noului tip de profile ajurate cu goluri circulare și ovale și modul de obținere a acestora, sistematizarea domeniilor în care se utilizează profilele ajurate precum și descrierea avantajelor și a eficienței acestora în comparație cu profilele laminare duble T și mai ales a avantajelor profilelor ajurate cu goluri circulare și ovale în comparație cu cele cu goluri hexagonale și octogonale.

În capitolul 2, stabilirea dimensiunilor optime pentru mărirea elementelor de ajurare (înălțimea profilelor T din dreptul golurilor, lungimea de contact etc.) în funcție de natura încălzirilor

și de sistemul static al grinzilor la profilele ajurate obișnuite cu goluri hexagonale, precum și stabilirea dimensiunilor optime de tăiere a profilelor deabia T pentru obținerea profilelor ajurate cu goluri circulare, dimensiuni rezultate din condiția eficienței maxime privind reducerea consumului de oțel, ca și deducerea relațiilor de calcul a caracteristicilor geometrice ale acestora.

În capitolul 3, la profilele ajurate obișnuite sistematizarea calculului simplificat cu trasarea unor diagrame din care pot fi deduși coeficienții folosiți la verificarea eforturilor, stabilirea formulei simplificată de calcul a săgeții cu deducerea coeficientului k_T , iar la noul tip de profile ajurate cu goluri circulare deducerea relațiilor de calcul și de verificare a timpilor a momentelor și a săgeții grinzii, cu trasarea unor diagrame pentru notațiile θ , λ , ξ , și a coeficientului k_T .

În capitolul 4, prezentarea modului de calcul exact al profilelor ajurate în general, este în întregime originală, în literatura de specialitate fiind date doar unele indicații în acest sens.

În capitolele 5 și 6 calculul profilelor ajurate, la solicitări compuse de încovoiere cu compresie și de încovoiere oblică sînt de asemenea o sinteză a suprapunerii efectelor solicitărilor simple pentru verificarea profilelor ajurate la solicitările compuse întîlnite frecvent.

În capitolul 7, deducerea relațiilor simple de calcul pentru verificarea îmbinării pe lungimea de contact a celor două jumătăți a profilelor ajurate, ca și a îmbinărilor sudate și cu șuruburi în vederea prelungirii profilelor ajurate, precum și modul de alcătuire a acestor îmbinări, ca o sistematizare a indicațiilor din literatura tehnică.

În capitolul 8, alături de sistematizarea modului de întărire a profilelor ajurate cu goluri hexagonale și octogonale este prezentat modul de întărire a golarilor în regiuni cu solicitări foarte mari la profilele cu goluri circulare și ovale precum și avantajul simplității noului tip de întărituri cu cupoane din țevă, față de celelalte soluții folosite la profilele ajurate obișnuite.

În capitolul 9, calculul practic simplificat al profilelor ajurate cu goluri circulare încercate experimental și calculul exact al acestora și a celor obișnuite și prezentarea unor comparații între cele două tipuri de profile ajurate, precum și între cele două metode de calcul simplificat și exact,

În capitolul 10 încercarea experimentală și concluziile care decurg din aceasta cu privire la cele două tipuri de profile ajurate : cu goluri hexagonale și circulare, precum și comparații ale

rezultatelor experimentale cu cele teoretice.

11.2. CONCLUZII PRIVIND CERCETĂRILE REFERITOARE LA CALCULUL ȘI COMPORTAREA ÎN DOMENIUL ELASTIC AL PROFILURILOR AJURATE

11.2.1. Concluzii privind alcătuirea și alegerea dimensiunilor optime ale profilurilor ajurate și a avantajelor acestora

Profilurile ajurate cu goluri hexagonale și octogonale, obținute din profilurile laminare dublu T, printr-o tăiere specială, sunt folosite pe scară din ce în ce mai largă la alcătuirea elementelor construcțiilor metalice. Noul tip de profile ajurate cu goluri circulare și ovale, propuse de conducătorul și autorul tezei de doctorat pentru brevetare ca invenție, urmează să fie folosite în viitor cu avantaje substanțiale sporite față de cele obișnuite.

Ca urmare a cercetărilor întreprinse și a încercărilor experimentale al căror rezultat este materializat în lucrarea de doctorat se desprind următoarele concluzii referitoare la alcătuirea și alegerea dimensiunilor optime ale profilurilor ajurate precum și a avantajelor pe care le prezintă față de profilurile laminare dublu T.

1. Realizarea profilurilor ajurate din profile laminare dublu T se poate face pe cale manuală și mecanică. Deoarece profilurile ajurate conduc la reducerea consumului de oțel, prin creșterea caracteristicilor geometrice ale acestora, datorită ajurării, reducere care este însoțită de o ușoară sporire a manoperei este rațional ca operațiile de executare a profilurilor ajurate să fie făcute cu un consum minim de manoperă. Din acest punct de vedere automatizarea procesului de producție constituie un important pas spre reducerea în ultimă instanță a costului profilurilor ajurate. În acest sens, proiectarea unei stații mecanice cu care să se facă tăierea porțiunilor lenticulare după trasarea profilurilor ajurate cu goluri circulare ar spori substanțial eficiența acestui nou tip de profile.

2. Domeniile în care se utilizează profilurile ajurate obișnuite cu goluri hexagonale, sunt în general domeniile în care încărcările sunt preponderent statice, motivul pentru care nu se recomandă folosirea profilurilor ajurate obișnuite în cazul încărcărilor dinamice, este acela că în colțurile golurilor unde eforturile sunt maxime, pot apărea ca urmare a efectului dinamic, vîrfuri de solicitare care să contribuie la depășirea capacității portante a secțiunii portante a secțiunii profilului T din dreptul colțului golului cel mai solicitat.

3. Profilurile ajurate cu goluri circulare și ovale, datorită formei golurilor și a lipsei colțurilor acestora pot fi folosite cu

mai bune rezultate și în cazul elementelor solicitate la încălzirea dinamică cum sînt grinzile de rețea pentru poduri rulante de capacități mai mici, sau în cazul unor pasarele și platforme de circulație între clădiri industriale, sau peste artere de circulație, deoarece în acest caz nu mai există puncte în care să apară vîrfuri de solicitare, care ar putea duce la depășirea capacității de rezistență a profilelor.

4. La realizarea profilelor ajurate, din profile laminare dublu T, trebuie ținut seama că eficiența economică a acestora depinde în mare măsură de alegerea dimensiunilor optime de tăiere a profilelor laminare în vederea ajurării.

Dimensiunile optime de ajurare, sînt funcție de felul încălzirii grinzilor și de sistemul static al acestora prin faptul că modul de variație a momentelor și a forțelor tăietoare și raportul dintre ele, influențează mărimea eforturilor unitare normale, care sînt funcție de dimensiunile profilelor.

În baza studiilor făcute cu rezultat principalele dimensiuni optime de ajurare a profilelor dublu T în vederea obținerii profilelor ajurate, dimensiuni cuprinse în tabelul 11.1.

Tabelul 11.1

DIMENSIUNI OPTIME DE AJURARE

Dimensiunea de ajurare	Notația	Profile ajurate cu goluri hexagonale		Profile ajurate cu goluri circulare	
		M și T nu sînt axiale în aceeași secțiune	M și T sînt axiale în aceeași secțiune	M și T nu sînt axiale în aceeași secțiune	M și T sînt axiale în aceeași secțiune
Înălțimea profilelor T în dreptul golurilor	a	$\frac{1}{4} - \frac{1}{3}$	$\frac{1}{3} - \frac{1}{2,5}$	$\frac{1}{6} - \frac{1}{5}$	$\frac{1}{5} - \frac{1}{4}$
Longimea de contact între jumătăți	b	$\frac{1}{3} - \frac{1}{2}$	$\frac{1}{2,5} - \frac{1}{2,5}$	2 n (2n-a)	
Distanța dintre liniile 1 și 2 (fig.1.5)	n	-	-	$\frac{1}{4} - \frac{1}{2}$	

Celelalte dimensiuni sînt funcție de acestea și rezultă din relațiile indicate în capitoul 2 al lucrării.

5. Profilele ajurate în general, prezintă importante avantaje în comparație cu profilele laminare dublu T din care se obțin, avantaje care provin din creșterea prin ajurare a caracteristicilor geometrice a profilelor ajurate față de cele ale profilelor dublu T.

Dintre aceste avantaje cele mai importante sînt :

- a) La aceeași deschidere a grinzilor și la aceeași încărcare a acestora, masa profilelor ajurate din care se alcătuiesc grinzile este mai mică decît a profilelor dublu T folosite în același scop, cu aproximativ 30 % la profilele cu goluri hexagonale și cu aproximativ 40 % la profilele cu goluri circulare.

- b) Datorită reducerii masei profilelor ajurate față de cele laminare se reduce și costul construcției metalice alcătuită din profile ajurate. Dacă se ține seama de costul manoperei consumată pentru realizarea profilelor ajurate din profile laminare, se poate spune că reducerea costului construcției metalice alcătuită din profile ajurate, față de aceeași construcție din profile laminare dublu T este de (20-25)% la profilele cu goluri hexagonale și de (30-35)% la cele cu goluri circulare. Reducerea costului construcției metalice este cu atât mai mare cu cît mai automatizată este fabricația profilelor ajurate.

- c) Tot ca urmare a caracteristicilor geometrice (momente de inerție) sporite a profilelor ajurate față de cele laminare, săgețile grinzilor ajurate sînt mai mici decît a celor din profile dublu T.

Reducerea procentuală a săgeților este de aproximativ 130 % la profile cu goluri hexagonale și de 170 % la cele cu goluri circulare față de profilele laminare dublu T.

- d) Golurile din inimă asigură posibilitatea de trecere prin acestea a unor cabluri, care permit înglobarea pe înălțimea planșelor a tuturor instalațiilor, precum și un aspect architectural mai reușit.

În ceea ce privește comparația între profilele ajurate cu goluri circulare și cele cu goluri hexagonale se poate arăta că studiile teoretice și cele experimentale, cuprinse în teza de doctorat, atestă că noul tip de profile cu goluri circulare prezintă importante avantaje față de profilele cu goluri hexagonale, dintre care cele mai importante sînt :

a) Datorită creșterii înălțimii profilelor T din dreptul golurilor, pe măsura creșterii momentului din forța tăietoare, efectul acesteia este mult mai redus decît la profilele cu goluri hexagonale, ceea ce înseamnă că eforturile unitare normale σ din profilele T este mai mică la profilele cu goluri circulare față de cele cu goluri hexagonale la aceeași încărcare. Acest lucru este dovedit atât de calculul teoretic, cît și de măsurătorile experimentale iar rezultatele acestora sînt cuprinse în tabelul II.2.

EFORTURI DE CALCUL SI MASURATE EXPERIMENTAL Tabelul 11.2				
Felul grinzii ajurate	Eforturi unitare normale max.		Reducerea procentuală	
	calculate	măsurate	Ef. calculate	Ef. măsurate
cu goluri hexagonale	1.470	1.441	-	-
cu goluri circulare	1.225	1.150	20 %	26 %

b) Forma avantajoasă a golurilor care reduce influența forței tăietoare asupra eforturilor, face ca grinzile din profile ajurate cu goluri circulare, să se preteze mai bine la alcătuirea elementelor construcțiilor metalice, la care solicitările : momentul și forța tăietoare sînt maxime în aceeași secțiune, cum este cazul cadrelor și a grinzilor continue, în comparație cu grinzile cu goluri hexagonale.

c) Datorită creșterii continue a modului de rezistență a profilelor T din dreptul golurilor pe măsura creșterii momentului local din forța tăietoare, înălțimea "a" a profilelor T în axul golurilor se poate lua în cazul profilelor ajurate cu goluri circulare mai mică decît în cele cu goluri hexagonale. Aceasta conduce la o înălțime totală H, a profilelor ajurate cu goluri circulare mai mare ca la profilele cu goluri hexagonale, ceea ce face ca săgeata celor dinții să fie mai mică decît la celelalte, deoarece cu cît înălțimea este mai mare cu atît crește și momentul de inerție a profilului.

d) În cazul în care momentul și forța tăietoare sînt maxime în aceeași secțiune, cum este cazul pe rezimbele grinzilor continue sau la colțurile cadrelor și este necesară întărirea golurilor învecinate acestei secțiuni, atunci în cazul profilelor ajurate cu goluri circulare, întărirea se face mult mai ușor cu capace din țevă, decît la profilele cu goluri hexagonale.

Desigur că aceste avantaje, ca și eficiența sporită din punct de vedere al reducerii consumului de oțel și a costului construcțiilor metalice, a profilelor ajurate cu goluri circulare și ovale în comparație cu cele cu goluri hexagonale, este pusă cu mai multă pregnanță în valoare, dacă se realizează un proces de producție pentru realizarea acestor profile, cît mai automatizat, care să reducă la minimum costul muncii de fabricație.

11.2.2. Concluzii privind modul de comportare și de calcul în domeniul elastic al profilelor ajurate, la diferite solicitări

Din studiile și cercetările efectuate cu privire la modul de comportare și de calcul în domeniul elastic al profilelor ajurate și al căror rezultat sînt prezentate în lucrarea de față se desprind o serie de concluzii care fixează principalele direcții în care aceste profile au o comportare cît mai rațională și cu cele mai bune rezultate din punct de vedere al eficienței tehnico-economice.

Dintre cele mai importante concluzii care au rezultat în urma cercetărilor întreprinse pot fi enumerate următoarele :

1. Profilele ajurate în general, sînt recomandate a se folosi la alcătuirea elementelor construcțiilor metalice solicitate la încovoiere în raport cu axa de inerție maximă. Acest lucru este justificat de faptul că prin operația de ajurare cresc foarte mult caracteristicile geometrice (momentul de inerție și modulul de rezistență) în raport cu axa de inerție maximă, care contribuie la creșterea eficienței acestor profile față de profilele laminate dublu T. Astfel de elemente solicitate la încovoiere sînt : grinzile de planșe, grinzile platformelor și a pasarelelor de circulație precum și grinzile de rulare.

2. Profilele ajurate pot fi folosite cu aceeași eficiență la elementele de construcții metalice solicitate la încovoiere cu compresiune, cum sînt riglele și stîlpii cadrelor transversale, arcele și alte elemente, deoarece forța axială care apare în plus față de solicitarea de încovoiere acționează pe toată secțiunea grinzii.

3. Folosirea profilelor ajurate la alcătuirea elementelor solicitate la încovoiere oblică, cum este cazul panourilor așezate normal pe suprafața acoperișului, nu este recomandată, decît în cazul unghiurilor de înclinație foarte mici, deoarece prin ajurare nu se modifică caracteristicile geometrice față de axa de inerție minimă $y-y$.

În aceste condiții solicitările după axa de inerție minimă y pot să conducă la eforturi și deformații mai mari decît cele după axa de inerție maximă, ceea ce diminuează avantajele economice pe care le prezintă profilele ajurate.

Pentru ca profilele ajurate să poată fi folosite și în cazul unor pante ceva mai mari, la alcătuirea elementelor solicitate la încovoiere oblică, este necesar să se ia măsuri de a introduce, legături între pane prin intermediul unor tiranți, care se dispun cu atît mai deșu cu cît panta este mai mare. În aceste condiții folosirea acestor tiranți, prin consumul suplimentar pe care-l reprezintă ar contribui la scăderea eficienței profilelor ajurate.

4. Utilizarea grinzilor din profile ajurate cu goluri hexagonale și circulare la elementele solicitate la încovoiere, conduce

În comparație cu profilele laminate duble T la deforșării mult mai mici, datorită faptului că momentele de inerție ale profilelor ajurate sînt mult mai mari decît cele ale profilelor laminate.

Ca urmare grinzile din profile ajurate sînt mai rigide decît cele din profile laminate, la aceeași greutate a profilului.

5. Profilele ajurate cu goluri circulare au o comportare mai bună la încoviere decît cele cu goluri hexagonale, datorită faptului că pe măsura creșterii efectului forței tăietoare, crește și modulul de rezistență a profilelor T din dreptul golurilor. De aceea eforturile unitare normale σ , în profilele T cu marginese golurile circulare sau ovale ale acestor profile, sînt maxime pentru un unghi $\varphi = 5^\circ - 15^\circ$ măsuraț, față de axul vertical al golurilor, după care aceste eforturi scad. În cazul grinzilor încărcate uniform distribuit sau cu alte încărcări care nu dau naștere la momente și forțe tăietoare maxime în aceeași secțiune, acest efort maxim calculat la unghiul $\varphi = 5^\circ - 15^\circ$, față de axul vertical nu diferă cu mai mult de 2-5 % față de cel calculat numai din momentul încovierător în axul golurilor.

În aceste condiții, cel puțin în primul calcul de dimensionare a profilelor cu goluri circulare, se poate lua în considerare numai efectul momentului încovierător în secțiunea din axul golurilor, urmînd ea după alegerea profilului ajurat să se facă verificarea acestuia cu relațiile deduse pentru σ_{φ} .

6. Forma mai rațională a profilelor ajurate cu goluri circulare și ovale asigură și o rigiditate sporită a acestor profile, față de profilele cu goluri hexagonale și octogonale. Lucrul acesta este ilustrat de coeficientul K_f care ținea seama de apertul forței tăietoare, la producerea săgeții. Dacă pentru profilele ajurate cu goluri hexagonale și octogonale coeficientul K_f este în medie 1,10-1,20 și pentru profilele cu goluri circulare K_f este de 1,03-1,12, ceea ce înseamnă o reducere a deforșărilor de 5-10 %.

7. În ceea ce privește modul de calcul al profilelor ajurate, cu calculul simplificat și cu cel exact se poate spune că pentru nevoile curente ale proiectării construcțiilor metalice din profile ajurate, se poate folosi cu foarte bune rezultate calculul simplificat în locul celui exact datorită următoarelor motive :

- a) Calculul simplificat se rezolvă mult mai ușor cu relații simple și care folosesc pentru rezolvare rigia de calcul sau mașina de calculat de birou, în timp ce calculul exact prezentat în lucrare este mult mai laborios necesitînd un volum foarte mare de muncă, volum care este cu atât mai mare cu cît deschiderea grinzilor respectiv numărul golurilor este mai mare, în plus rezolvarea siste-

mului de ecuații scrise pentru calculul exact, nu poate fi făcută decât cu ajutorul calculatorului electronic.

- b) Calculul simplificat nu presupune cunoașterea momentelor de inerție a profilului T și a momentelor, ca și calculul exact iar alegerea profilului ajurate se poate face după una sau două încercări, ceea ce diminuează proiectarea.

În unele cazuri mai pretentive cum este la unele cadre puternic solicitate, sau la grinzi continue din profile ajurate se poate face pentru predimensionare un calcul simplificat și apoi o verificare cu ajutorul calculului exact.

- c) Calculul simplificat al profilului ajurate este acceptabil față de calculul exact, eforturile rezultate din calculul exact fiind mai mici decât cele din calculul simplificat. Aceasta înseamnă că prin folosirea calculului simplificat rezultă o siguranță în plus pentru elementele realizate din profile ajurate.

8. Încercările experimentale efectuate asupra unor grinzi din profile ajurate realizate cu goluri hexagonale și cu goluri circulare, care au fost și calculate atât prin metoda de calcul simplificat cât și prin calculul exact, atestă o bună concordanță între rezultatele obținute prin calcul și cele măsurate experimental pe cale tenzometrică. Astfel dacă se iau drept termeni de comparație eforturile unitare normale σ din fibrele cele mai solicitate ale profilului T de oțel și golurile, rezultate din calculul simplificat, din cel exact și din măsurătorile experimentale rezultă datele din tabelul 11.3

EFORTURI REZULTATE DIN CALCUL ȘI MĂSURĂRI EXPERIMENTALE			
Tabelul 11.3			
Zelul grinzii ajurate	Eforturi unitare normale calculate și măsurate		
	Calcul simplificat	Calcul exact	Măsurate
Grinzi cu goluri hexagonale	1.470	1.203	1.441
Grinzi cu goluri circulare	1.225	1.197	1.150

Din analiza tabelului 11.3 se observă că eforturile determinate prin cele trei metode sînt apropiate ca valoare, ceea ce înseamnă o bună concordanță existînd la profilele cu goluri circulare.

De asemenea datele din tabel arată că eforturile rezultate din calculul exact ca și cele măsurate experimental sînt mai mici decât cele determinate în baza calculului simplificat în domeniul elastic, ceea ce confirmă avantajele pe care le are calculul simplificat față de cel exact.

9. Dacă se face și o comparație între deformațiile determinate prin calcul teoretic și cele determinate pe cale experimentală se obține Tabelul 11.4

SĂGETI REZULTATE DIN CALCUL ȘI MĂSURARE EXPERIMENTALĂ Tabelul 11.4		
Felul grinzii ajurate	Săgeți calculate și măsurate	
	Calculată /cm/	Măsurată /cm/
Grinzi cu goluri hexagonale	1,32	1,207
Grinzi cu goluri circulare	1,12	1,092

Cifrele înscrise în tabel indică pe de o parte o diferență de (11-13)% între săgețile grinzilor din profile ajurate cu goluri hexagonale și cu goluri circulare la aceeași deschidere, la același profil laminat de piecare și la aceeași încălzire și pe de altă parte o bună concordanță între săgețile rezultate din calcul și cele măsurate experimental. Diferența între săgețile celor două tipuri de grinzi ajurate este în favoarea celor cu goluri circulare, a căror săgeți sînt mai mici, iar ce confirmă influența favorabilă a formei circulare a golurilor asupra săgeților.

10. Rezultatele calculului și ale încercărilor experimentale au confirmat valabilitatea formulelor de calcul, a graficelor de lucru și a tabelelor cu valorile coeficienților, folosiți la verificările de răgoare.

Din analiza întregii lucrări se desprinde concluzia generală că folosirea profilelor ajurate cu goluri hexagonale și octogonale la realizarea elementelor construcțiilor metalice, reprezintă un pas important pe linia reducerii consumului de oțel, iar această reducere este cu atât mai mare cu cît execuția este mai mecanizată.

Tot ca o concluzie generală rezultă și faptul că folosirea profilelor ajurate cu goluri circulare și ovale la realizarea elementelor construcțiilor metalice, va reprezenta un al doilea pas pe calea reducerii consumului de oțel, problemă de mare importanță la ora actuală pentru țara noastră.

Folosirea profilelor ajurate în locul celor laminate dublu T, asigură pe lângă o reducere a consumului de oțel și un aspect de-hitectural mai reușit, atât datorită faptului că elementele realizate din aceste profile sînt mai ușoare cît și datorită existenței golurilor în inima profilelor.

BIBLIOGRAFIE

I.- Lucrări elaborate de conducător și autor

1. Mateescu D. și Mercea Gh. Calculul și încercarea experimentală a grinzilor metalice ajurate. *Revista construcțiilor* 3/1966
2. Mateescu D., Mercea Gh. Studii și cercetări privind întocmirea "Instrucțiunilor tehnice pentru proiectarea construcțiilor metalice din profile cu goluri în inimă". *Buletinul științific și tehnic al IPT Tom.18(32)1/1973*
3. Mateescu D., Mercea Gh. Instrucțiuni tehnice pentru proiectarea construcțiilor metalice din profile cu goluri în inimă". *Buletinul construcțiilor nr.6/1974 ordinul 17/26.02.1974*
4. Mateescu D., Mercea Gh. Profile ajurate cu goluri circulare în inimă. *Buletinul Conferinței de construcții metalice Timișoara 1973*
5. Mateescu D., Mercea Gh. Un nou tip de profile eficiente. Profile ajurate cu goluri circulare. *Comunic. la sesiunea jubiliară IPT dedicată celei de a 30-a aniv. a elib. patriei.*

II.- Lucrări bibliografice

6. Aglen A.A. Redwood Web buckling in castellated beams
7. Absi F. Application de calcul électronique a la construction metallique. *Construction metallique* 4/1966
8. Baker John Sir and Heyman J. Plastic Design of Frames Cambridge 1939
9. Bazile A. Etude de la resistance des poutrelles ajourées. *Construction metallique* nr.3/1954
10. Bazile A, Texier J. Essais de poutres ajourées. *Construction metallique* 3/1968
11. Beckenbach E. Modern mathematics for the engineer, Mc Graw-Hill 1956
12. Belea J. Rezolvarea numerică a sistemelor de ecuații liniare. *Ed. Acad. RPR 1961*
13. Belea G. Programarea la mașini electronice de calcul Hd. mil.
14. Beleaev . Rezistența materialelor. Traducere din r. rusă.
15. Berasin I.S. șa. metodi v. oegislenii. Moskva 1962
16. Boyer L.P. Castellated Beams : New Developments Engineering Journal 3/1964
17. Brodka J., Lucinski M. Lekkie konstrukcje stalowe. *Arkady Budowlotwo sztuka Arhitektura Warszawa 1961*

18. Byczyński T. s.a. Badanie sprężystości w anizotropnej balce podłużnicowej
Hessensches konstr.-stat. Inst. w Budonistwie V. konfe-
rencia naukowa techniczna "konstrukcje-stalowe"
Warszawa 1974
19. Chronis : Verwendung von Wabenträgern in Belgien Acier Stahl
Steel 12/1962
20. Costache ș.a. ROMANIA Edit. tehnică 1971
21. CŞAL. Utilizarea calculatoarelor electronice la rezolvarea
problemei de calcul a structurilor de rezistență
1971
22. Dalben C. ș.a. Comportarea în domeniul elastic-plastic a grin-
zilor continue cu goluri în inimă. revista construc-
țiilor 5-6/1966
23. Delesques R. : Stabilité des ponts de pontes ajourées Con-
structions métalliques nr.3/1968
24. Delesques R. Le calcul des pontes ajourées. Construction métal-
lique nr.4/1969
25. Dinu Petre . Programarea în Fortran Edit. did. pedagog. 1971
26. Falts F. Neuere vollständig geschweißte Stahlkonstruktionen
Stahlbau 1932
27. Falts F. Construction au calcul des pontes à anneaux évidés
Acier Stahl Steel nr.5/1966
28. Forsythe G. Solving linear equations can be interesting. Proc.
Amer. Soc. 4/1953
29. Forsythe G., Coler K. Computer solution of linear algebraic
systems. Prentice Hall Inc 1967
30. Fox L. An introduction to numerical linear algebra. Clarendon
Press Oxford 1964
31. Gheorghiu A. Statica construcțiilor. Editura tehnică 1965
32. Gheorghiu A. Statica construcțiilor. Editura tehnică 1974
33. Gibson J.R. and Jenkins W.. An investigation of the stresses
and deflections in castellated beams the structu-
ral engineer 12/1957
34. Halleux P. Etude expérimentale et technique du comportement
élastique des pontes métalliques à anneaux évidés.
Revue française de mécanique 18-19/1966
35. Halleux P. Analyse élastique des pontes métalliques à anneaux évidés
Acier Stahl Steel nr.3/1967
36. Hamming R.W. Numerical methods for scientists and engineers
Mc.Graw-Hill 1962
37. Hettich W. : L'emploi des pontes d'un type spécial a permis de
réaliser une économie de 200.000 dollars. Acier
Stahl Steel nr.9/1966

38. Hirschfeld : Baustatik, Der viereckel Träger II. Die Berechnung unter Einführung der Pfostenkräfte als statisch überzählige Springer-Verlag 1959
39. Hosain A.U., Speirs W.G. Deficiency de pontres metaliques a une evidee due a la rupture de joints soudes
40. Housholder A. Principles of numerical analysis Mc.Graw-Hill 1953
41. Kates L. The cutting outs of open beams. Civil Engineering USA 1954
42. Klucev ș.a. O minimizatiã gisla aritmeticeazih operatii pri rezonii lineazih algebraizeskizh sistem urabnenii JVMAK 5/1965
43. Kolesowski J. Stresses and deflexions in castellated beams. The structural engineer nr.1/1964
44. Lambert H. Fabrication rationnelle de pontres ajourees en Espagne Acier Stahl Steel nr.11/1961
45. Lencos G. Applied analyses Prentice Hall 1956
46. Larnach and Park : The behaviour under load of six castellated composite T-beams. Civil Engineering and Public Works Review 3/1964
47. Lavend'hanne R. Le nouvel langage des services techniques de l'acier a l'ons. Acier Stahl Steel nr.10/1963
48. Iitzka H : La production automatique des pontres a une evidee de tous types et de toutes dimensions. Acier Stahl Steel nr.11/1960
49. Loringhoven L. Utilisation des ordinateurs de faible capacite Construction metalique Paris 1963
50. Mendel J.A. et al. Stress distribution in castellated beams I. Struct Div. Am. Soc. Civil Engrs. 1971
51. Mateescu ș.a. Exemple de calcul de construcții metalice Editura didacticã și pedagogică 1972
52. Mateescu D., Merocea Gh. ș.a. Construcții metalice curs subingineri Iași 1971
53. Mazilu P. Statica construcțiilor Editura tehnicã 1959
54. Munteanu I. Calculul structurilor spațiale în formulare matricealã Iași 1973
55. Pelegria A. Calculatoare analogice și citrice trad. francezã Edit. tehn. 1966
56. Popescu V. Construcții metalice Editura tehnicã 1963
57. Rowand : Les Halles a marchandises de Paris. L'acier metalique 1949

58. Rybak M. Wyniki analizy pracy przesił stosowanych ze wspornionych stalowych belak azarowych. Nowoczesne konstrukcje metalowe w budownictwie w konferencja naukowo-Techniczna konstr.-metalour 1974
59. Seariat A. Statica constructiilor
60. Seariat A. Stabilitatea și calculul de ordinul II al structurilor
61. Seariat A. Rezolvarea în formă matricială a structurilor statice nedeterminate Constr. Buc. 1970
62. Schneider-Burger Stahlbau Profile Verlag Stahlbau Düsseldorf 1963
63. Shukry Z. Elastic flexural stress distribution in webs of castellated steel beams Welding Journal 5/1965
64. Timosenko St. Gere J. Teoria stabilității elastice Ed. tehn. 1967
65. Vorsi G. Quelques applications interessantes des poutres évidées Acier Stahl Steel nr. 3/1957
66. wilhelms J. Düsseldorf-Oberkassel : werkblatt and Tafeln statischer Werte über Nebenträger
67. x x manual pentru calculul constructiilor Editura tehnica 1959
68. x x werkblatt Stahl. Nebenträger nr. 361/1965
69. x x Programmes des centres de calcul électronique Construction metalliques 1965
70. x x Stahlbau
71. x x STAB 763/1-71
72. x x STAB 565-63

CUPRINSUL

CAPITOLUL 1

GENERALITATI, DEFINIREA DENUMIRII DE PROFILE AJURATE, DOMENII DE
UTILIZARE, AVANTAJE SI DEZAVANTAJELE PROFILOR AJURATE

- 1.1. Generalități
- 1.2. Definirea denumirii de profile ajurate
- 1.3. Modul de realizare a profilurilor ajurate
 - 1.3.1. Profile ajurate cu goluri hexagonale și octogonale
 - 1.3.2. Profile ajurate cu goluri circulare și ovale
- 1.4. Domenii de folosire a profilurilor ajurate
- 1.5. Avantajele profilurilor metalice ajurate
 - 1.5.1. Avantajele profilurilor ajurate în comparație cu profilele laminare
 - 1.5.2. Avantajele profilurilor ajurate cu goluri circulare și ovale în comparație cu profilele ajurate cu goluri hexagonale și octogonale
- 1.6. Dezavantajele profilurilor ajurate
 - 1.6.1. Dezavantajele profilurilor ajurate față de cele laminare
 - 1.6.2. Dezavantajele profilurilor ajurate cu goluri circulare în comparație cu profilele ajurate cu goluri hexagonale
- 1.7. Economicitatea profilurilor ajurate

CAPITOLUL 2

CARACTERISTICI GEOMETRICE ALE PROFILURILOR AJURATE

- 2.1. Profile ajurate cu goluri hexagonale și octogonale
 - 2.1.1. Definirea caracteristicilor geometrice
 - 2.1.2. Caracteristici geometrice dimensionale ale profilurilor ajurate cu goluri hexagonale și octogonale. Stabilirea fermei și dimensiunilor
 - 2.1.3. Caracteristici geometrice ale secțiunii transversale a profilurilor ajurate cu goluri hexagonale și octogonale
- 2.2. Profile ajurate cu goluri circulare și ovale
 - 2.2.1. Caracteristici geometrice dimensionale ale profilurilor ajurate cu goluri circulare și ovale. Stabilirea dimensiunilor
 - 2.2.2. Caracteristici geometrice ale secțiunii transversale ale profilurilor ajurate cu goluri circulare și ovale

CAPITOLUL 3

CALCULUL LELI LEGAT AL GURILOR DIN PROFILURILE AJURATE SOLICITATE

LA ÎNCOVIERE DREAPTĂ

- 3.1. Generalități
- 3.2. Grinzi din profile ajurate cu goluri hexagonale și octogonale

- 3.2.1. Calculul de rezistență a tălpilor grinzilor ajurate obișnuite
- 3.2.2. Calculul de rezistență al montanților grinzilor ajurate obișnuite
- 3.2.3. Verificarea stabilității montanților grinzilor ajurate obișnuite
- 3.2.4. Verificarea stabilității generale a grinzilor ajurate obișnuite
- 3.2.5. Calculul deformațiilor grinzilor ajurate cu goluri hexagonale
- 3.3. Grinzi din profile ajurate cu goluri circulare și ovale
 - 3.3.1. Calculul de rezistență al tălpilor grinzilor ajurate cu goluri ovale și circulare
 - 3.3.2. Calculul și verificarea de rezistență a montanților grinzilor din profile ajurate cu goluri circulare și ovale
 - 3.3.3. Verificarea stabilității montanților
 - 3.3.4. Calculul deformațiilor grinzilor din profile ajurate cu goluri circulare și ovale
- 3.4. Concluzii. Comparații între comportarea la încovoiere a grinzilor din profile ajurate și laminare I
 - 3.4.1. Comparații între profilele ajurate și profilele laminare dublu T
 - 3.4.2. Comparații între profilele ajurate cu goluri circulare și ovale și profilele ajurate cu goluri hexagonale și octogonale

CAPITOLUL 4

CALCULUL EXACT AL GRINZILOR DIN PROFILE AJURATE SOLICITATE LA ÎNCOVOIERE

- 4.1. Generalități
- 4.2. Calculul momentelor de inerție și a arilor
 - 4.2.1. Momentele de inerție a tălpilor
 - 4.2.2. Momentele de inerție a montanților
 - 4.2.3. Ariile tălpilor
 - 4.2.4. Ariile montanților
- 4.3. Calculul coeficienților necunoscutelor
- 4.4. Calculul termenilor liberi ai ecuațiilor de condiție
 - 4.4.1. Calculul termenilor liberi pentru încărcarea cu două forțe concentrate
 - 4.4.2. Calculul termenilor liberi din încărcarea uniform distribuită

- 4.5. Scrierea ecuațiilor de condiție în metoda eforturilor
- 4.6. Rezolvarea sistemului de ecuații.

CAPITOLUL 5

CALCULUL ELEMENTELOR DIN PROFILE AJURATE SOLICITATE LA ÎNCOVIERE CU COMPRESIUNE

- 5.1. Generalități
- 5.2. Calculul elementelor din profile ajurate cu goluri hexagonale și octogonale
 - 5.2.1. Calculul și verificarea de rezistență a tălpilor profilurilor ajurate
 - 5.2.2. Verificarea de rezistență și a stabilității montanților
 - 5.2.3. Verificarea stabilității elementelor supuse la încoviere cu compresie
- 5.3. Calculul elementelor din profile ajurate cu goluri circulare și ovale
 - 5.3.1. Calculul și verificarea de rezistență a tălpilor profilurilor ajurate
 - 5.3.2. Verificarea stabilității elementelor supuse la încoviere cu compresie
- 5.4. Concluzii, comparații între profilele ajurate și profilele laminare din oțel, solicitate la compresie cu încoviere

CAPITOLUL 6

CALCULUL ELEMENTELOR REALIZATE DIN PROFILE AJURATE SOLICITATE LA ÎNCOVIERE OBLICĂ

- 6.1. Generalități
- 6.2. Solicitățile grinziilor supuse la încoviere oblică
- 6.3. Calculul elementelor din profile ajurate cu goluri hexagonale și octogonale la încoviere oblică
 - 6.3.1. Calculul și verificarea de rezistență a profilurilor ajurate cu goluri hexagonale și octogonale la încoviere oblică
 - 6.3.2. Calculul și verificarea săgeții profilurilor ajurate cu goluri hexagonale și octogonale solicitate la încoviere oblică
- 6.4. Calculul elementelor din profile ajurate cu goluri circulare și ovale solicitate la încoviere oblică
 - 6.4.1. Calculul și verificarea de rezistență a grinziilor din profile ajurate cu goluri circulare și ovale supuse la încoviere oblică
 - 6.4.2. Verificarea săgeții grinziilor solicitate la încoviere oblică realizate din profile ajurate cu goluri circulare și ovale

5.5. Concluzii

CAPITOLUL 7

ALCĂȚIREA ȘI CALCULUL GRINDELOR AJURATE

7.1. Generalități

7.2. Alcățuirea și calculul înclinării longitudinale a inelului pe lungimea de contact a profilurilor ajurate

7.2.1. Alcățuirea înclinării longitudinale la profile cu găuri octogonale și ovale

7.2.2. Calculul înclinării longitudinale la profile cu găuri octogonale și ovale

7.2.3. Calculul înclinării longitudinale la profile cu găuri hexagonale și circulare

7.3. Alcățuirea și calculul înclinărilor de prelungire

7.3.1. Modul de alcățuire a înclinărilor de prelungire la profile ajurate

7.3.2. Calculul înclinării sudate cap la cap de prelungire

7.3.3. Calculul înclinării de prelungire cu sudări de colț pe placă de legătură

7.3.4. Alcățuirea și calculul înclinării de prelungire cu sudări

CAPITOLUL 8

REZIDUAREA DE RIGIDIZAREA PROFILURILOR AJURATE

8.1. Generalități

8.2. Întărirea profilurilor ajurate în jurul gurilor

8.2.1. Întărirea profilurilor ajurate prin cordarea gurilor

8.2.2. Întărirea profilurilor ajurate prin umplerea gurilor

8.3. Rigidizarea contururilor grinzilor ajurate

CAPITOLUL 9

EXEMPLE DE CALCUL ȘI VERIFICAREA GRINDELOR AJURATE

9.1. Sistemul static, dimensiunile și solicitările grinzilor

9.1.1. Dimensiunile și încărările grinzilor ajurate

9.1.2. Calculul solicitărilor produse de forțele concentrate

9.2. Calculul simplificat al grinzilor ajurate

9.2.1. Grinda cu găuri hexagonale

9.2.2. Grinda cu găuri circulare

9.3. Calculul exact al grinzilor ajurate

9.3.1. Scrierea ecuațiilor de condiție

9.3.2. Rezolvarea sistemului de ecuații

9.3.3. Calculul solicitărilor

9.3.4. Verificarea secțiunilor

9.4. Concluzii privind exemplele de calcul

CAPITOLUL 10

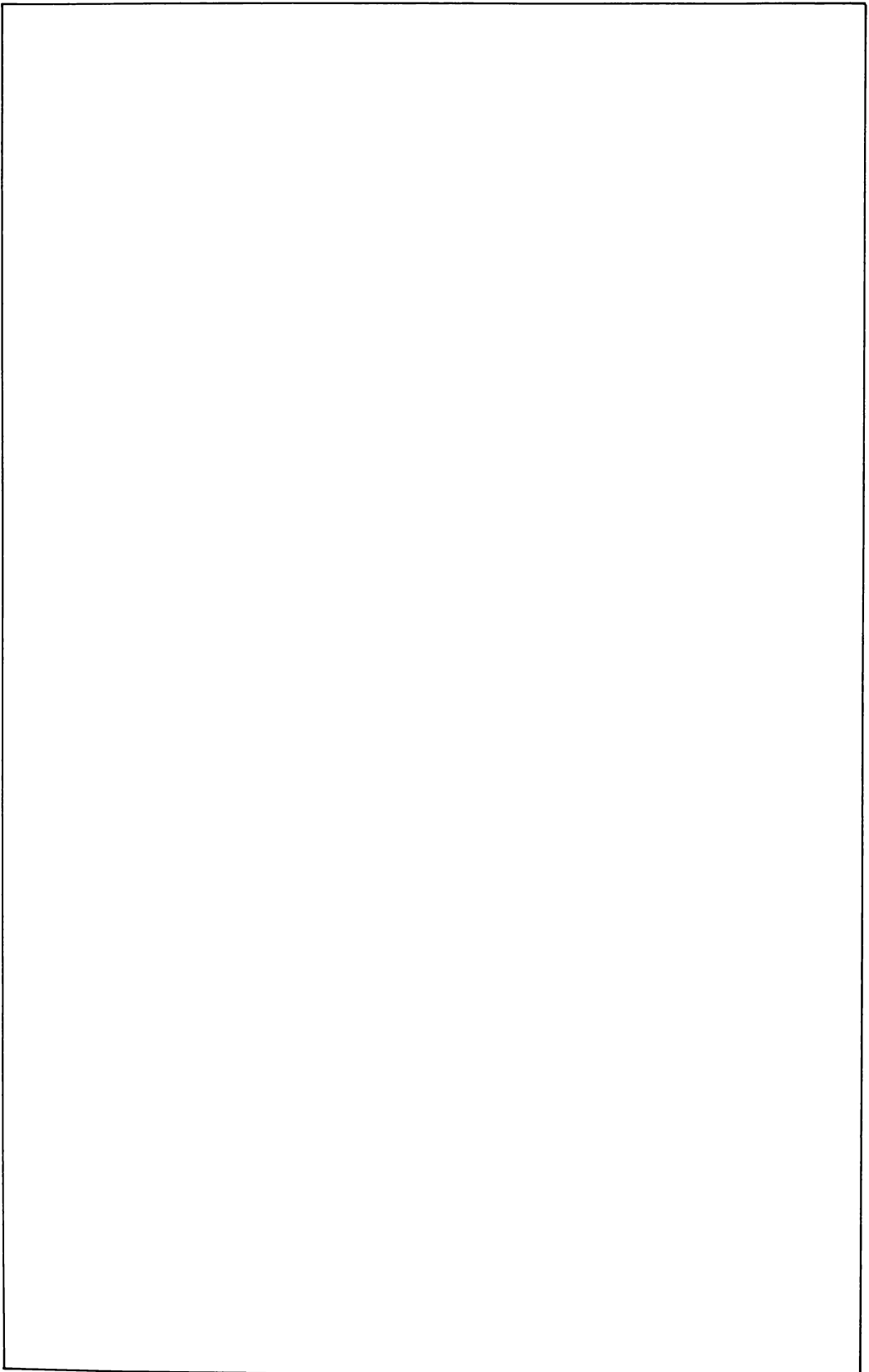
INCERCAREA EXPERIMENTALA A GRINZILOR AJURATE

- 10.1. Organizarea încercărilor
- 10.2. Măsurarea eforturilor și rezultatele obținute
 - 10.2.1. Măsurarea tensometrică
 - 10.2.2. Calculul eforturilor
- 10.3. Măsurarea deformațiilor și rezultatele obținute
 - 10.3.1. Măsurători de deformații
 - 10.3.2. Calculul deformațiilor
- 10.4. Concluzii asupra încercărilor experimentale

CAPITOLUL 11

CONCLUZII FINALE

- 11.1. Contribuții personale la conținutul tezei
- 11.2. Concluzii privind cercetările referitoare la calculul și comportarea în domeniul elastic al profilelor ajurate
 - 11.2.1. Concluzii privind alcătuirea și alegerea dimensiunilor optime ale profilelor ajurate și avantajele acestora.
 - 11.2.2. Concluzii privind modul de comportare și de calcul în domeniul elastic al profilelor ajurate, la diferite solicitări



PROFILE AJURATE.

Profil laminat dublu T STAS 565-63

PROFİL METALICE AJURATE I_g

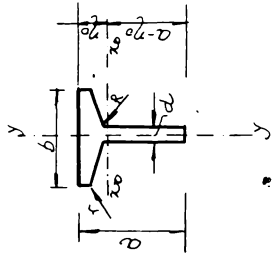
Dimensiuni, mărimi statice

Calitatea OL 37

Lungimi 6 ÷ 12 m.

Exemplu de notare pentru un profil cu goluri obținut din I 30 și ovălnă H = 450 mm, a = 75 mm și L = 5500 mm. I_g 30/45 x 75 - 5500.

$a =$ înălțimea profilului T din dreptul golurilor
 $\eta_0 =$ distanța de la fața exterioară la axa x_0
 $A_0 =$ secțiunea profilului T
 $W_{oi} = \frac{I_0}{a \cdot \eta_0}$ modulul de rezistență față de fibra internă a profilului T
 $W_{oe} = \frac{I_0}{\eta_0}$ modulul de rezistență față de fibra externă a profilului T
 $I_0 =$ momentul de inerție a profilului T față de axa x_0
 $\zeta_0 = \sqrt{\frac{I_0}{A_0}}$ raza de girație a profilului T față de axa x_0
 $I_y =$ momentul de inerție a profilului T față de axa y
 $\zeta_y = \sqrt{\frac{I_y}{A_0}}$ raza de girație a profilului T față de axa y



Profil dublu T din care se obține	Înălțimea, în dreptul golurilor (mm)	Distanța de la fața exterioară la axa x_0 (mm)	Secțiunea profilului T (cm^2)	Caracteristici geometrice						Observații
				I_0 (cm^4)	W_{oi} (cm^3)	W_{oe} (cm^3)	ζ_0 (cm)	I_y (cm^4)	ζ_y (cm)	
1	2	3	4	5	6	7	8	9	10	11
14	50	1,189	8,010	14,359	3,767	12,076	1,330	17,592	1,482	
	40	0,935	7,440	7,580	2,473	8,106	1,009	17,577	1,537	
	30	0,722	6,870	3,472	1,568	4,808	0,710	17,562	1,599	
	25	0,634	6,585	2,251	1,206	3,550	0,583	17,554	1,639	
	20	0,561	6,300	1,454	1,101	2,591	0,480	17,545	1,689	
16	15	0,505	6,015	1,034	1,039	2,047	0,414	17,539	1,707	
	60	1,427	10,160	36,562	7,995	25,621	1,897	27,234	1,637	
	50	1,158	9,530	25,370	6,603	21,908	1,647	27,213	1,690	
	40	0,921	8,900	17,752	5,765	19,274	1,412	27,192	1,747	

1	2	3	4	5	6	7	8	9	10	11
16	30	0,725	8,273	9,802	4,255	13,501	1,080	27,171	1,812	
	20	0,579	7,645	3,950	2,723	6,907	0,802	27,150	1,885	
	70	1,665	12,790	50,253	9,406	30,241	2,022	41,557	1,452	
	60	1,392	12,125	33,542	7,302	27,419	1,678	41,530	1,469	
18	50	1,141	11,413	24,107	6,293	24,582	1,481	41,503	1,472	
	40	0,925	10,721	16,352	5,181	17,823	1,225	41,476	1,477	
	30	0,748	10,032	8,215	3,578	10,807	0,970	41,449	1,481	
	25	0,576	9,685	5,215	2,901	7,807	0,732	41,435	1,482	
20	80	1,919	15,175	74,708	12,285	38,930	2,191	58,166	1,958	
	70	1,629	14,425	50,057	9,319	30,728	1,852	58,131	2,007	
	60	1,362	13,675	31,227	6,792	22,927	1,552	58,096	2,061	
	50	1,121	12,925	21,820	5,964	19,682	1,301	58,061	2,120	
22	40	0,913	12,175	13,653	4,412	15,863	1,280	58,026	2,183	
	30	0,743	11,425	8,213	3,821	11,002	0,861	57,991	2,253	
	25	0,676	11,050	5,553	3,006	8,310	0,712	57,943	2,290	
	20	1,885	17,285	85,218	13,985	45,208	2,221	81,692	2,174	
24	70	1,608	16,475	58,357	10,822	35,291	1,883	81,647	2,226	
	60	1,355	15,665	37,909	8,163	27,956	1,555	81,603	2,283	
	50	1,130	14,855	23,171	5,987	20,305	1,248	81,539	2,343	
	40	0,935	14,045	13,376	4,364	14,305	0,976	81,575	2,409	
24	30	0,778	13,235	7,663	3,448	9,848	0,760	81,470	2,481	
	20	2,147	20,425	130,141	18,993	60,598	2,524	110,314	2,324	
	80	1,865	19,565	93,383	15,221	50,071	2,185	110,259	2,374	
	70	1,602	18,685	64,385	11,929	40,175	1,857	110,204	2,428	
24	60	1,363	17,815	42,467	9,156	31,138	1,544	110,149	2,486	
	50	1,117	16,945	26,705	6,938	23,194	1,255	110,094	2,548	
	40	0,970	16,075	16,378	5,405	16,886	1,009	110,039	2,616	

1	2	3	4	5	6	7	8	9	10	11
24	30	0,825	15,205	10,405	4,784	12,612	0,827	109,985	2,690	
	90	2,136	22,940	137,663	20,055	64,449	2,452	143,031	2,496	
26	80	1,864	22,000	97,886	15,952	52,514	2,109	142,961	2,550	
	70	1,612	21,060	66,617	12,364	41,325	1,738	142,892	2,605	
	60	1,366	20,120	43,043	9,288	31,570	1,463	142,823	2,664	
	50	1,182	19,180	27,031	7,153	23,012	1,216	142,754	2,728	
	40	1,010	18,240	17,459	5,890	17,401	0,981	142,685	2,797	
	30	0,875	17,300	11,210	5,132	13,254	0,752	142,616	2,872	
28	100	2,385	26,450	195,408	25,661	81,932	2,718	181,712	2,622	
	90	2,103	25,440	159,306	22,924	76,125	2,516	181,626	2,672	
	80	1,839	24,430	113,652	18,426	63,057	2,210	181,540	2,726	
	70	1,594	23,420	70,219	13,020	44,507	1,731	181,454	2,783	
	60	1,373	22,410	48,200	9,510	37,216	1,492	181,368	2,845	
	50	1,178	21,400	29,920	7,852	25,430	1,281	181,283	2,911	
30	40	1,014	20,390	18,320	6,257	18,261	0,995	181,197	2,981	
	120	2,988	31,300	366,054	40,618	122,508	3,420	224,425	2,678	
	100	2,395	29,140	216,432	28,459	90,368	2,725	224,215	2,774	
	80	1,866	26,980	113,935	18,574	61,058	2,055	224,005	2,882	
	60	1,419	24,820	51,333	11,205	36,175	1,439	223,795	3,003	
	50	1,234	23,740	32,441	8,614	26,289	1,169	223,690	3,070	
32	40	1,078	22,660	29,280	6,940	18,812	0,946	223,585	3,141	
	120	2,948	34,225	385,742	42,618	130,804	3,357	276,909	2,844	
	100	2,369	31,925	225,165	29,506	95,046	2,656	276,655	2,944	
	80	1,854	29,625	115,023	18,715	62,040	1,971	276,402	3,054	
	60	1,421	27,325	57,259	12,635	40,421	1,452	276,148	3,179	
	50	1,242	26,175	39,302	10,300	31,242	1,210	276,022	3,247	
40	1,092	25,025	23,20	7,654	21,420	1,020	275,895	3,320		

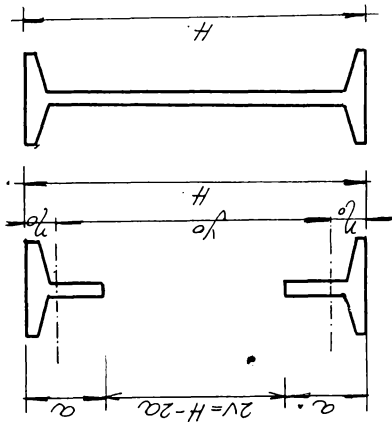
Anexa 1 (continuaré).

1	2	3	4	5	6	7	8	9	10	11.
36	150	3,908	44,600	875,894	78,966	224,128	4,432	407,887	3,024	
	120	2,989	40,705	479,820	53,248	160,528	3,434	407,338	3,163	
	90	2,194	36,800	233,877	34,363	106,598	2,521	406,789	3,325	
	70	1,752	34,200	138,421	27,205	79,007	2,012	406,423	3,447	
	50	1,403	31,600	46,290	13,296	35,821	1,637	406,085	3,584	
40	160	4,098	53,105	1122,704	94,329	273,964	4,598	577,023	3,296	
	130	3,177	48,780	610,845	62,185	192,271	3,532	576,277	3,437	
	100	2,368	44,462	309,426	40,246	133,216	2,685	575,530	3,598	
	80	1,909	41,580	198,205	32,416	104,160	2,205	575,032	3,719	
	70	1,748	40,142	145,320	26,912	83,205	1,980	574,784	3,784	
	60	1,530	38,700	98,205	21,219	64,218	1,873	574,935	3,853	
	50	1,376	37,263	54,216	15,205	39,824	1,712	574,286	3,929	

PROFILE AJURATE.

Profil laminat dublu T STAS 565 - 63. PROFILE METALICE AJURATE I_g Lungimi 6 - 12 m Calitatea OL 37. Exemplu de notare pentru un profil cu goluri dublu din I 30 si avind H=450 mm, a=150mm si L=5500 mm. I_g 30/45 x 75 - 5500.

a = înălțimea profilului T din dreptul golului
 H = înălțimea totală a profilului ajurat
 v = jumătatea înălțimii golului.
 y₀ = distanța dintre centrele de greutate ale profililor T
 A₁ = aria secțiunii întregi în dreptul golurilor
 I₁ = momentul de inerție a secțiunii întregi în dreptul golurilor
 W₁ = modulul de rezistență al acestei secțiuni
 i₁ = raza de girație a secțiunii cu gol
 A = aria secțiunii întregi în dreptul plinurilor
 I = momentul de inerție a secțiunii întregi în dreptul plinurilor
 W = modulul de rezistență al acestei secțiuni.
 i = raza de girație a secțiunii pline
 I_{med} = momentul de inerție mediu între goluri și plinuri.



Profilul I din care se obtine	Înălțimea profilului T în dreptul golului (mm)	Înălțimea totală a profilului (mm)	Jumătatea golurilor v (mm)	Distanța dintre centrele de greutate ale golurilor y ₀ (mm)	Caracteristici geometrice ale secțiunii întregi prin goluri				Caracteristici geometrice ale secțiunii întregi prin plinuri				Momentul de inerție mediu I _{med} cm ⁴	Obs.	
					A ₁ cm ²	I ₁ cm ⁴	W ₁ cm ³	i ₁ cm	A	I	W	i			
1	2	3	4	5	6	7	8	9	10	11	12	13	14	15	
	50	180	40	156,22	16,02	1006,12	111,79	7,91	20,58	1030,43	114,43	7,07	10,18,29		
	40	200	60	181,30	14,88	1237,91	123,79	9,12	21,72	1319,99	132,00	7,68	12,73,95		
	30	220	80	205,56	13,74	1458,406	132,52	10,30	22,96	1652,96	159,27	8,50	1555,68		
	25	230	90	217,32	13,17	1589,48	135,60	10,88	23,43	1836,50	159,69	8,85	1697,99		
	20	240	100	228,78	12,60	1651,62	137,63	11,45	24,00	2031,63	169,30	9,20	1841,63		
	15	250	110	239,90	12,03	1732,94	138,64	12,002	24,57	2238,72	179,09	9,56	1985,83		

1	2	3	4	5	6	7	8	9	10	11.	12	13	14	15.	
16.	60	200	40	174,46	20,32	1586,67	156,65	8,78	25,36	1593,45	159,34	7,98	1580,00		
	50	220	60	196,84	19,06	1896,99	172,45	9,98	26,62	1987,71	189,77	8,64	1942,35		
	40	240	80	224,58	17,80	2220,35	185,03	11,17	27,88	2435,40	202,95	9,34	2327,87		
	30	260	100	245,50	16,57	2518,60	193,74	12,34	29,14	2938,61	226,05	10,04	2728,60		
	20	280	120	268,42	15,28	2774,31	198,16	13,47	30,40	3500,07	250,00	10,73	3137,20		
	70	220	40	186,70	25,58	2314,68	210,42	9,51	31,10	2344,12	213,10	8,68	2329,40		
	60	240	60	212,20	24,20	2785,62	232,13	10,69	32,48	2884,98	240,41	9,42	2835,30		
	50	260	80	237,18	22,82	3245,86	249,68	11,92	33,85	3481,80	265,80	10,14	3363,62		
	40	280	100	261,50	21,44	3685,15	263,22	13,12	35,24	4145,15	296,08	10,86	3915,15		
	30	300	120	285,04	20,06	4084,53	272,30	14,26	36,62	4879,40	325,29	11,54	4481,96		
18.	25	320	140	306,48	19,37	4263,69	274,81	14,83	38,69	5525,94	375,37	11,95	4894,52		
	80	240	40	201,82	30,35	3233,78	269,48	10,32	36,35	3265,78	272,15	9,48	3249,78		
	70	260	60	227,42	28,85	3830,41	296,64	11,52	37,85	3938,42	302,95	10,20	3884,41		
	60	280	80	252,76	27,95	4430,77	316,48	12,70	39,35	4686,77	334,77	10,91	4558,77		
	50	300	100	277,58	26,85	5014,53	334,30	13,92	40,85	5514,56	367,64	11,62	5264,56		
	40	320	120	303,72	24,35	5559,36	347,46	14,83	42,35	6423,28	401,45	12,31	5991,32		
	30	340	140	325,14	22,85	6045,11	355,60	16,26	43,85	7417,11	436,30	13,06	6731,11		
	25	350	160	336,48	22,10	6288,28	357,62	16,83	44,60	7945,78	454,04	13,52	7702,63		
	80	280	60	242,30	34,57	5244,39	374,60	17,32	44,29	5365,03	382,93	11,04	5302,70		
	70	300	80	267,84	32,95	6020,19	401,74	18,53	45,91	6302,64	420,75	11,46	6164,40		
22.	60	320	100	292,88	31,33	6794,43	424,65	14,43	47,53	7334,43	456,40	12,42	7064,44		
	50	340	120	317,40	29,71	7529,01	442,58	15,91	49,15	8462,13	490,77	13,12	7995,57		
	40	360	140	341,30	28,09	8206,06	455,94	17,13	50,77	9083,70	538,46	13,79	8847,46		
	30	380	160	364,44	26,47	8804,49	463,39	18,23	52,39	11016,29	579,80	14,50	11010,37		
	90	300	60	257,09	40,85	7081,6	467,21	13,10	51,29	7133,44	475,56	11,82	7070,80		
	80	320	80	282,70	39,11	8202,87	470,05	14,30	53,03	8297,84	518,86	12,50	8149,35		
	70	340	100	307,95	37,37	8988,56	488,73	15,49	54,77	9568,56	562,85	13,20	9228,56		
	24.	60	200	40	174,46	20,32	1586,67	156,65	8,78	25,36	1593,45	159,34	7,98	1580,00	
		50	220	60	196,84	19,06	1896,99	172,45	9,98	26,62	1987,71	189,77	8,64	1942,35	
		40	240	80	224,58	17,80	2220,35	185,03	11,17	27,88	2435,40	202,95	9,34	2327,87	
30		260	100	245,50	16,57	2518,60	193,74	12,34	29,14	2938,61	226,05	10,04	2728,60		
20		280	120	268,42	15,28	2774,31	198,16	13,47	30,40	3500,07	250,00	10,73	3137,20		
70		220	40	186,70	25,58	2314,68	210,42	9,51	31,10	2344,12	213,10	8,68	2329,40		
60		240	60	212,20	24,20	2785,62	232,13	10,69	32,48	2884,98	240,41	9,42	2835,30		
50		260	80	237,18	22,82	3245,86	249,68	11,92	33,85	3481,80	265,80	10,14	3363,62		
40		280	100	261,50	21,44	3685,15	263,22	13,12	35,24	4145,15	296,08	10,86	3915,15		
30		300	120	285,04	20,06	4084,53	272,30	14,26	36,62	4879,40	325,29	11,54	4481,96		

20. BIBLIOTECA CENTRALA

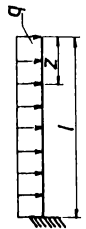
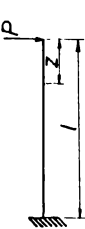
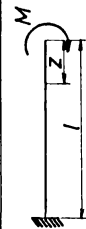
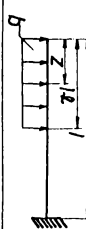

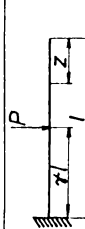
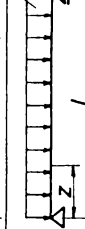
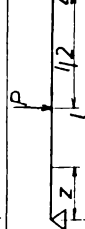
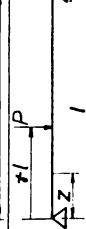
Anexo 2 (continuare)

1	2	3	4	5	6	7	8	9	10	11	12	13	14	15
29	60	360	120	332,74	46,75	6074,36	652,00	16,64	56,51	10748,58	608,35	13,92	10442,46	
	50	350	140	307,00	35,51	4880,31	691,00	17,89	58,26	12441,84	667,53	14,61	11044,02	
	40	340	160	380,60	32,16	4121,81	683,00	19,69	57,69	14061,37	702,56	15,31	12863,43	
	30	330	180	404,80	30,21	3368,61	690,00	20,51	61,73	15751,17	751,68	16,01	14689,90	
	20	320	200	202,50	28,88	4001,28	692,00	22,06	60,22	16322,53	811,86	16,71	16322,42	
26	80	350	100	329,77	42,00	4689,07	642,30	23,28	62,50	22271,46	652,18	14,25	19999,62	
	70	340	120	301,71	39,71	4079,90	679,00	24,48	60,68	24900,71	735,21	15,01	21629,33	
	60	330	140	372,68	37,24	3235,40	682,00	25,00	63,96	26764,14	800,70	15,80	24912,50	
	50	320	160	396,36	35,46	4018,11	719,00	26,50	68,00	28820,53	882,11	16,65	26002,22	
	40	310	180	419,78	33,68	4698,23	756,00	27,90	70,00	30757,64	985,00	17,50	27221,13	
28	30	300	200	400,00	30,00	4000,00	700,00	29,00	70,00	32000,00	1000,00	18,00	30000,00	
	100	360	150	362,30	32,30	4389,81	691,00	28,50	69,00	30000,00	950,00	17,50	28000,00	
	200	420	100	344,30	34,30	4000,00	673,00	27,00	67,00	28000,00	880,00	16,50	26000,00	
	300	480	70	365,22	36,22	4000,00	656,00	25,00	65,00	26000,00	800,00	15,50	24000,00	
	400	540	40	385,12	38,12	4000,00	640,00	23,00	63,00	24000,00	720,00	14,50	22000,00	
30	500	600	30	400,00	40,00	4000,00	625,00	21,00	61,00	22000,00	650,00	13,50	20000,00	
	600	700	60	367,10	37,10	4000,00	610,00	19,00	60,00	20000,00	600,00	12,50	18000,00	
	700	800	90	400,00	40,00	4000,00	600,00	17,00	60,00	18000,00	550,00	11,50	16000,00	
	800	900	120	400,00	40,00	4000,00	600,00	15,00	60,00	16000,00	500,00	10,50	14000,00	
	900	1000	150	400,00	40,00	4000,00	600,00	13,00	60,00	14000,00	450,00	9,50	12000,00	
32	1000	1100	200	392,60	39,26	4000,00	585,00	12,00	60,00	12000,00	400,00	8,50	10000,00	
	1100	1200	250	400,00	40,00	4000,00	570,00	10,00	60,00	10000,00	350,00	7,50	8000,00	
	1200	1300	300	400,00	40,00	4000,00	555,00	8,00	60,00	8000,00	300,00	6,50	6000,00	
	1300	1400	350	400,00	40,00	4000,00	540,00	6,00	60,00	6000,00	250,00	5,50	4000,00	
	1400	1500	400	400,00	40,00	4000,00	525,00	4,00	60,00	4000,00	200,00	4,50	2000,00	

1	2	3	4	5	6	7	8	9	10	11	12	13	14	15
	60	520	200	491,580	54,650	33113,030	1273,578	24,615	100,650	39241,030	1509,270	19,745	36177,030	
	50	540	220	515,160	52,350	34790,037	1288,519	25,779	102,950	42946,405	1590,607	20,432	38868,221	
32	40	560	240	538,160	50,050	36269,645	1293,344	26,920	105,250	46858,829	1673,529	21,100	41564,237	
	150	420	60	341,840	89,200	27810,360	7324,302	17,657	104,800	27997,416	1333,210	16,345	27903,888	
	120	480	120	428,224	81,400	36894,656	1537,277	21,290	112,600	38391,104	1599,629	18,465	37642,880	
36	90	540	180	496,120	73,600	43756,604	1694,689	24,934	120,400	50807,116	1891,745	20,542	48281,860	
	70	580	220	544,960	68,400	51060,661	1760,712	27,322	125,600	60281,829	2078,683	21,908	55671,245	
	50	620	260	591,940	63,200	55535,654	1791,472	29,643	130,800	70756,470	2282,466	23,258	63146,062	
40	160	480	30	398,040	156,200	44310,123	1846,255	20,426	129,240	44801,643	1866,735	18,618	44555,883	
	120	540	140	476,460	97,560	56590,438	2095,942	24,084	137,880	59224,676	2193,506	20,725	57907,556	
	100	600	200	552,640	88,920	68451,820	2281,724	27,746	146,520	7631,820	2537,727	22,795	72291,820	
40	80	640	240	601,820	83,160	75584,634	2362,019	30,148	152,280	88855,670	2716,739	24,756	82220,152	
	70	660	260	625,040	80,280	78602,276	2381,887	31,291	155,160	95475,238	2893,189	24,806	87038,736	
	60	680	280	649,400	77,400	81725,985	2403,705	32,494	158,040	102799,905	3032,526	25,504	92262,945	
	30	700	300	672,480	74,520	84324,052	2409,238	33,639	160,920	110244,052	3149,830	26,174	97284,052	

VALORILE ABCISELOR, Z' SI ALE EFORTURILOR UNITARE \bar{G}_{max} IN LUNGUL GRINZILOR

Anexa 3

Nr. cr.	SCHEMA STATICA SI DE INCARCARI	Valorile absciselor, z' unde $\bar{G}_x, \bar{G}_y, \bar{G}_z = max$			Valorile eforturilor unitare normale insumate \bar{G}_{max}		Observatii
		3 grinzi ajurate cu placute intermediare	4 grinzi ajurate fara placute intermediare	5 grinzi ajurate cu placute intermediare	6 grinzi ajurate fara placute intermediare	7	
1		$z=1$	$z=1$		$\bar{G} = \frac{ql}{2y_0 A_0} (1+2\alpha')^*$		
2		$z=1$	$z=1$		$\bar{G} = \frac{P}{(h_1+y_0)A_0} (1+\alpha')$		
3		$z=0 \div 1$	$z=0 \div 1$		$\bar{G} = \frac{M}{y_0 A_0}$		
4		$z=1$	$z=1$		$\bar{G} = \frac{xql^2}{(h_1+y_0)A_0} \left(1 - \frac{x}{2} + \frac{\alpha'}{l}\right)$		
5		$z=1$	$z=1$		$\bar{G} = \frac{xql}{(h_1+y_0)A_0} \left(\frac{x}{2} + \alpha'\right)$	pentru $z < (1-x)$ $\bar{G}=0$	
6		$z=1$	$z=1$		$\bar{G} = \frac{P}{A_0} (x'+\alpha')$	pentru $z < (1-x)$ $\bar{G}=0$	
7		$z = \frac{l}{2} - \alpha'$	$z = \frac{l}{2} - \alpha''$		$\bar{G} = \frac{q}{2(h_1+y_0)A_0} \left(\frac{l^2}{4} + \alpha'^2\right)$		
8		$z = \frac{l}{2}$	$z = \frac{l}{2}$		$\bar{G} = \frac{P}{4(h_1+y_0)A_0} (1+2\alpha')^*$		
9		$z = x'l$	$z = x'l$		$\bar{G} = \frac{P(1-x')}{y_0 A_0} (x'+\alpha')^*$		

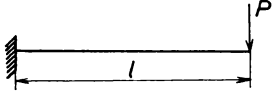
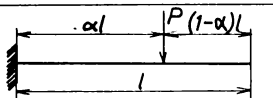
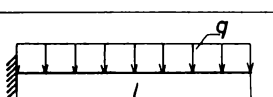
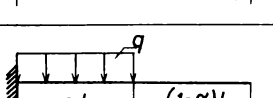
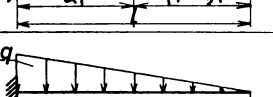
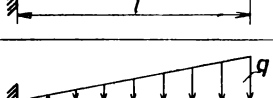
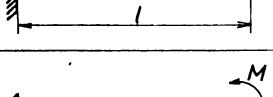

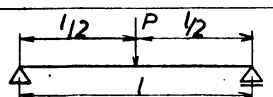
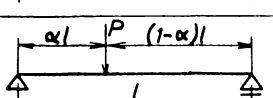
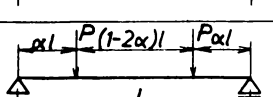
Anexa 3 (Continuare)

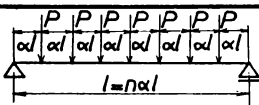
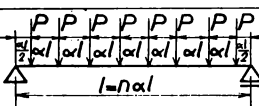
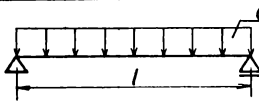
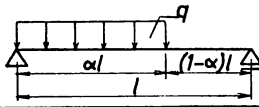
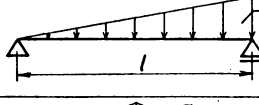
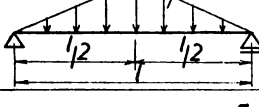
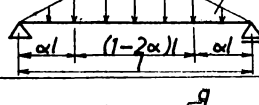
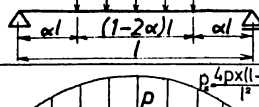
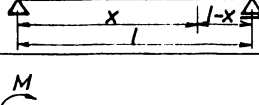
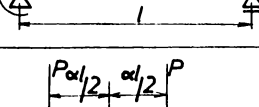
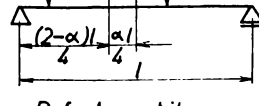
1	2	3	4	5	6	7
10		$z = \frac{\pi(2-\pi)}{2} - \alpha'$	$z = \frac{\pi(2-\pi)}{2} - \alpha'$	$\bar{G} = \frac{q}{8(h_1+y_1)A_1} \left[\pi^2(2-\pi)^2 + 4\alpha'^2 \right]$	$\bar{G} = \frac{q}{8y_1 A_1} \left[\pi^2(2-\pi)^2 + 4\alpha'^2 \right]^*$	$x < \frac{\pi(2-\pi)}{2}$
11		$z = \frac{1}{2} - \alpha'$	$z = \frac{1}{2} - \alpha'$	$\bar{G} = \frac{q}{8(h_1+y_1)A_1} \left[\pi^2(1-4\pi^2) + 4\alpha'^2 \right]^*$	$\bar{G} = \frac{q}{8y_1 A_1} \left[\pi^2(1-4\pi^2) + 4\alpha'^2 \right]^*$	
12		$z = \pi$	$z = \pi$	$\bar{G} = \frac{P}{(h_1+y_1)A_1} (\pi + \alpha')$	$\bar{G} = \frac{P}{y_1 A_1} (\pi + \alpha')$	
13		$z_1 = \pi$ $z_2 = \frac{1}{2}$	$z_1 = \pi$ $z_2 = \frac{1}{2}$	$\bar{G}_1 = \frac{3P}{2(h_1+y_1)A_1} (\pi + \alpha')$ $\bar{G}_2 = \frac{P}{4(h_1+y_1)A_1} (1+4\pi+2\alpha')$	$\bar{G}_1 = \frac{3P}{2y_1 A_1} (\pi + \alpha')$ $\bar{G}_2 = \frac{P}{4y_1 A_1} (1+4\pi+2\alpha')$	$\bar{G}_1 = \bar{G}_2$ dacă $\pi = 1 - \frac{4\alpha'}{\pi}$
14		$z = \frac{P}{2q} + \frac{1}{2} - \alpha'$	$z = \frac{P}{2q} + \frac{1}{2} - \alpha'$	$\bar{G} = \frac{1}{(h_1+y_1)A_1} \left[\frac{q}{2} \left(\frac{l^2}{4} + \alpha'^2 \right) + \frac{P}{4} \left(1 + \frac{P}{2q} \right) \right]$	$\bar{G} = \frac{1}{y_1 A_1} \left[\frac{q}{2} \left(\frac{l^2}{4} + \alpha'^2 \right) + \frac{P}{4} \left(1 + \frac{P}{2q} \right) \right]$	
15		$z = \pi$	$z = \pi$	$\bar{G} = \frac{M}{(h_1+y_1)A_1} \left(\pi + \frac{\alpha'}{\pi} \right)$	$\bar{G} = \frac{M}{y_1 A_1} \left(\pi + \frac{\alpha'}{\pi} \right)$	
16		$z = 0 + 1$	$z = 0 + 1$	$\bar{G} = \frac{M}{(h_1+y_1)A_1}$	$\bar{G} = \frac{M}{y_1 A_1}$	
17		$z = 0$	$z = 0$	$\bar{G} = \frac{1}{(h_1+y_1)A_1} \left[M_1 + \frac{\alpha'}{\pi} (M_1 - M_2) \right]$	$\bar{G} = \frac{1}{y_1 A_1} \left[M_1 + \frac{\alpha'}{\pi} (M_1 - M_2) \right]$	
18		Sectiunea de rezem $z = 0$	Sectiunea de rezem $z = 0$	$\bar{G}_1 = \frac{q l_1}{2(h_1+y_1)A_1} (1+2\alpha)$ dacă $l_1 > \frac{1}{2}$ $\bar{G}_2 = \frac{q}{2(h_1+y_1)A_1} (\pi^2 + 2\alpha)$ dacă $l_1 < \frac{1}{2}$ $\bar{G}_3 = \frac{q}{2(h_1+y_1)A_1} \left(\frac{l_1^2}{4} - 1 + \alpha'^2 \right) \frac{1}{2}$	$\bar{G}_1 = \frac{q l_1}{2y_1 A_1} (1+2\alpha)^*$ dacă $l_1 > \frac{1}{2}$ $\bar{G}_2 = \frac{q}{2y_1 A_1} (\pi^2 + \alpha l)$ dacă $l_1 < \frac{1}{2}$ $\bar{G}_3 = \frac{q}{2y_1 A_1} \left(\frac{l_1^2}{4} - 1 + \alpha'^2 \right)^*$	
19		$z = 0$	$z = 0$	$\bar{G} = \frac{q}{(h_1+y_1)A_1} (1+\alpha)$	$\bar{G} = \frac{q}{y_1 A_1} (1+\alpha)$	

1	2	3	4	5	6	7
20		Secțiunea de rezem $z_1=0$ Secțiunea de cîmp $z_2=l/2$	$z_1=0$ $z_2=l/2$	$G_1 = \frac{P}{2(h+x)A} (l_1 + \alpha)$ $G_2 = \frac{P}{2(h+x)A} (\frac{l}{2} - 2l_1 + \alpha')$	$G_1 = \frac{P}{x A_0} (l_1 + \alpha)$ $G_2 = \frac{P}{2x A_0} (\frac{l}{2} - 2l_1 + \alpha')$	
21		Secțiunea de rezem $z_1=0$ Secțiunea de cîmp $z_2=l - \alpha'$	$z_1=0$ $z_2=l - \alpha'$	$G_1 = \frac{1}{2(h+x)A} [P(l_1 + \alpha') - q l_1 (\frac{l}{2} - \alpha)]$ $G_2 = \frac{1}{2(h+x)A} [q(\frac{l^2}{2} - l_1^2) - P l]$	$G_1 = \frac{1}{x A_0} [P(l_1 + \alpha') - q l (\frac{l}{2} - \alpha'')]$ $G_2 = \frac{1}{2x A_0} [q(\frac{l^2}{2} - l_1^2) - P l]$	
22		$z=1$	$z=1$	$G = \frac{5q l}{8(h+x)A} (\frac{l}{5} + \alpha')$	$G = \frac{5q l}{8x A_0} (\frac{l}{5} + \alpha'')$	
23		$z=1$	$z=1$	$G = \frac{q l}{5(h+x)A} (\frac{l}{2} - 3\alpha')$	$G = \frac{q l}{5x A_0} (\frac{l}{2} + 3\alpha'')$	
24		$z=1$	$z=1$	$G = \frac{P}{125(h+x)A} (\frac{47l}{2} + 86\alpha')$	$G = \frac{P}{125x A_0} (\frac{47l}{2} + 86\alpha'')$	
25		$z=1$	$z=1$	$G = \frac{P}{20(h+x)A} (3l + 13\alpha')$	$G = \frac{P}{20x A_0} (3l + 13\alpha'')$	
26	INCARCĂRI MOBILE 	$z = \frac{l - \alpha'}{2}$	$z = \frac{l - \alpha''}{2}$	$G = \frac{P}{4(h+x)A} (l + \alpha')^2$	$G = \frac{P}{4l x A_0} (l + \alpha'')^2 *$	
27		$z = \frac{1}{2} (l - \alpha' - \frac{A}{2})$	$z = \frac{1}{2} (l - \alpha'' - \frac{A}{2})$	$G = \frac{P}{2(h+x)A} [(l + \alpha')^2 - B(l + \alpha' - \frac{B}{4})]$	$G = \frac{P}{2l x A_0} [(l + \alpha'')^2 - B(l + \alpha'' - \frac{B}{4})]$	m - mijlocul grinzii

VALORILE COEFICIENTILOR ω PENTRU CALCULUL SĂGETII f_M

Anexa 4.

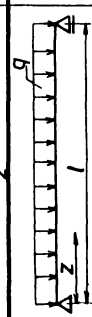
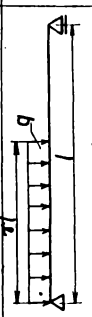
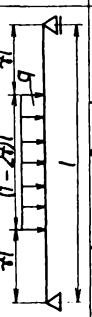
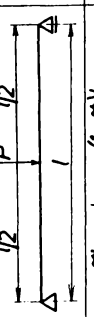
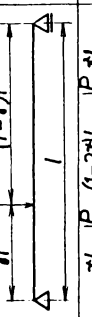
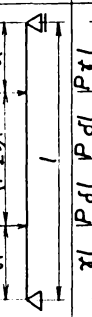
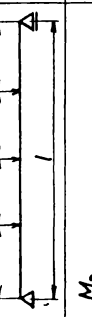

Nr. crt.	Schema statica si de incarcare a grinzii	Momente maxime	Săgeata maximă	Coeficientul ω
1	2	3	4	5
GRINZI CONSOLĂ				
1		$M_m = Pl$	$f_m = \frac{Mml^2}{3EI}$	$\frac{1}{3}$
2		$M_m = \alpha Pl$	$f_m = \frac{\alpha(3-\alpha)Mml^2}{6EI}$	$\frac{\alpha(3-\alpha)}{6}$
3		$M_m = \frac{ql^2}{2}$	$f_m = \frac{Mml^2}{4EI}$	$\frac{1}{4}$
4		$M_m = \frac{\alpha^2 ql^2}{2}$	$f_m = \frac{\alpha(4-\alpha)Mml^2}{12EI}$	$\frac{\alpha(4-\alpha)}{12}$
5		$M_m = \frac{ql^2}{6}$	$f_m = \frac{Mml^2}{5EI}$	$\frac{1}{5}$
6		$M_m = \frac{ql^2}{3}$	$f_m = \frac{11Mml^2}{40EI}$	$\frac{11}{40}$
7		$M_m = M$	$f_m = \frac{Mml^2}{2EI}$	$\frac{1}{2}$
GRINZI SIMPLU REZEMATE				
8		$M_m = \frac{Pl}{4}$	$f_m = \frac{Mml^2}{12EI}$	$\frac{1}{12}$
9		$M_m = \alpha(1-\alpha)Pl$	$f_m = \frac{\alpha(1-\alpha)Mml^2}{3EI}$	$\frac{\alpha(1-\alpha)}{3}$
10		$M_m = \alpha Pl$	$f_m = \frac{(3-4\alpha^2)Mml^2}{24EI}$	$\frac{3-4\alpha^2}{24}$
11		$M_m = \frac{(3\alpha + \beta)Pl}{2}$	$f_m = \frac{\alpha(12\alpha^2 + 18\alpha\beta + 4\beta^2 + 9\beta)Mml^2}{24(3\alpha + \beta)EI}$	$\frac{\alpha(12\alpha^2 + 18\alpha\beta + 4\beta^2 + 9\beta)}{24(3\alpha + \beta)}$

1	2	3	4	5																											
12	 <p>$l = n\alpha l$</p> <p>(n-1) forțe</p>	$M_m = \frac{Pl}{n}$	$f_m = \frac{M_m l^2}{\eta_f EI}$	$\omega = \frac{1}{\eta_f}$																											
			<table border="1"> <tr> <td>n</td> <td>2</td> <td>3</td> <td>4</td> <td>5</td> <td>6</td> <td>7</td> <td></td> <td></td> </tr> <tr> <td>η_m</td> <td>4</td> <td>3</td> <td>2</td> <td>1.66</td> <td>1.33</td> <td>1.16</td> <td></td> <td></td> </tr> <tr> <td>η_f</td> <td>12</td> <td>9.39</td> <td>10.11</td> <td>9.52</td> <td>9.81</td> <td>9.56</td> <td></td> <td></td> </tr> </table>	n	2	3	4	5	6	7			η_m	4	3	2	1.66	1.33	1.16			η_f	12	9.39	10.11	9.52	9.81	9.56			
n	2	3	4	5	6	7																									
η_m	4	3	2	1.66	1.33	1.16																									
η_f	12	9.39	10.11	9.52	9.81	9.56																									
13	 <p>$l = n\alpha l$</p> <p>n forțe</p>	$M_m = \frac{Pl}{n}$	$f_m = \frac{M_m l^2}{\eta_f EI}$	$\omega = \frac{1}{\eta_f}$																											
			<table border="1"> <tr> <td>n</td> <td>1</td> <td>2</td> <td>3</td> <td>4</td> <td>5</td> <td>6</td> <td>7</td> <td></td> </tr> <tr> <td>η_m</td> <td>4</td> <td>4</td> <td>2.4</td> <td>2</td> <td>1.538</td> <td>1.333</td> <td>1.12</td> <td></td> </tr> <tr> <td>η_f</td> <td>12</td> <td>8.72</td> <td>10.19</td> <td>9.52</td> <td>9.82</td> <td>9.49</td> <td>9.72</td> <td></td> </tr> </table>	n	1	2	3	4	5	6	7		η_m	4	4	2.4	2	1.538	1.333	1.12		η_f	12	8.72	10.19	9.52	9.82	9.49	9.72		
n	1	2	3	4	5	6	7																								
η_m	4	4	2.4	2	1.538	1.333	1.12																								
η_f	12	8.72	10.19	9.52	9.82	9.49	9.72																								
14		$M_m = \frac{ql^2}{8}$	$f_m = \frac{5M_m l^2}{48EI}$	$\frac{5}{48}$																											
15		$M_m = \frac{\alpha^2(1-\alpha)ql^2}{2}$	$f_m = \frac{\alpha(1-\alpha)(5+\alpha)M_m l^2}{15EI}$	$\frac{\alpha(1-\alpha)(5+\alpha)}{15}$																											
16		$M_m = \frac{ql^2}{9\sqrt{3}}$	$f_m = \frac{13M_m l^2}{125EI}$	$\frac{13}{125}$																											
17		$M_m = \frac{ql^2}{12}$	$f_m = \frac{M_m l^2}{10EI}$	$\frac{1}{10}$																											
18		$M_m = \frac{(3-4\alpha^2)ql^2}{24}$	$f_m = \frac{(5-4\alpha^2)^2 M_m l^2}{80(3-4\alpha^2)EI}$	$\frac{(5-4\alpha^2)^2}{80(3-4\alpha^2)}$																											
19		$M_m = \frac{(1-4\alpha^2)ql^2}{8}$	$f_m = \frac{(5+10\alpha-4\alpha^2-8\alpha^3)M_m l^2}{48(1+2\alpha)EI}$	$\frac{5+10\alpha-4\alpha^2-8\alpha^3}{48(1+2\alpha)}$																											
20		$M_m = \frac{5Pl^2}{48}$	$f_m = \frac{M_m l^2}{9.84EI}$	$\frac{1}{9.84}$																											
21		$M_m = M$	$f_m = \frac{Ml^2}{9\sqrt{3}EI}$	$\frac{1}{9\sqrt{3}}$																											
22	 <p>P-forțe mobile</p>	$M_m = \frac{(2-\alpha)^2 Pl}{8}$	când $\alpha < 0.65$ $f_m = \frac{(1-\alpha)(2+2\alpha-\alpha^2)M_m l^2}{6(2-\alpha)^2 EI}$	$\frac{(1-\alpha)(2+2\alpha-\alpha^2)}{6(2-\alpha)^2}$																											
			când $\alpha > 0.65$ $f_m = \frac{M_m l^2}{8(2-\alpha)^2 EI}$	$\frac{1}{8(2-\alpha)^2}$																											

1	2	3	4	5
	GRINZI INCASTRATE REZEMATE			
23		$M_3 = \frac{5Pl}{32}$ $M_2 = \frac{3Pl}{16}$	$f_m = \frac{M_3 l^2}{16.7EI}$	$\frac{1}{16.7}$
24		$M_3 = \frac{\alpha(1-\alpha)^2(2+\alpha)Pl}{2}$ $M_2 = \frac{\alpha(1-\alpha)^2Pl}{2}$	<p>cind $\alpha \leq 0.414$</p> $f_m = \frac{1}{3} \sqrt{\frac{\alpha}{(2+\alpha)^3}} \frac{M_3 l^2}{EI}$ <p>cind $\alpha > 0.414$</p> $f_m = \frac{2(1-\alpha^2)M_3 l^2}{3(2+\alpha)(3-\alpha^2)^2 EI}$	$\frac{1}{3} \sqrt{\frac{\alpha}{(2+\alpha)^3}}$ $\frac{2(1-\alpha^2)}{3(2+\alpha)(3-\alpha^2)^2}$
25		$M_3 = \frac{9}{12\alpha} q l^2 \text{ pt } \alpha = \frac{3}{8}$ $M_2 = \frac{q l^2}{8}$	$f_m = \frac{M_3 l^2}{12.97EI}$	$\frac{1}{12.97}$
26		$M_3 = \frac{423 q l^2}{10.000}$	$f_m = \frac{M_3 l^2}{13.9EI}$ <p>pt $\alpha = 0.402$</p>	$\frac{1}{13.9}$
27		$M_3 = \frac{3}{100} q l^2$ $M_2 = \frac{q l^2}{15}$	$f_m = \frac{M_3 l^2}{12.6EI}$ <p>pt $\alpha = 0.447$</p>	$\frac{1}{12.6}$
	GRINZI DUBLU INCASTRATE			
28		$M_3 = \frac{Pl}{8}$ $M_1 = M_2 = -\frac{Pl}{8}$	$f_m = \frac{M_3 l^2}{24EI}$	$\frac{1}{24}$
29		$M_3 = 2\alpha^2(1-\alpha)^2 Pl$	$f_m = \frac{\alpha M_3 l^2}{3(1+2\alpha)^2 EI}$ <p>la $x = \frac{2\alpha l}{1+2\alpha}$ pt $> \frac{l}{2}$</p> $f_m = \frac{(1-\alpha) M_3 l^2}{3(1+2\alpha)^2 EI}$ <p>la $x = \frac{2-\alpha l}{4-3\alpha}$ pt $\alpha < \frac{l}{2}$</p>	$\frac{\alpha}{3(1+2\alpha)^2}$ $\frac{1-\alpha}{3(1+2\alpha)^2}$
30		$M_3 = \frac{q l^2}{24} \text{ pt } \alpha = \frac{1}{2}$ $M_1 = M_2 = -\frac{q l^2}{12}$	$f_m = \frac{M_3 l^2}{16EI}$	$\frac{1}{16}$
31		$M_3 = \frac{q l^2}{46.6} \text{ pt } \alpha = 0.548$ $M_1 = -\frac{q l^2}{30} \quad M_2 = -\frac{q l^2}{20}$	$f_m = \frac{M_3 l^2}{16.4EI}$	$\frac{1}{16.4}$
32		$M_3 = \frac{q l^2}{32}$ $M_1 = M_2 = -\frac{5q l^2}{96}$	$f_m = \frac{7M_3 l^2}{120EI}$	$\frac{7}{120}$
	GRINZI CONTINUE			
33		$M_s, M_d - \text{calculate ca}$ <p>la grinzi continue -se iau cu semnul lor negativ</p>	$f_{max} = f_0 - f_r$ <p>f_0 - este de la grinda sim- plu rezemată vezi 8-22</p> $f_r = \frac{(M_s + M_d) l^2}{16EI}$	ω

ABSCISELE SECTIUNILOR SI VALOAREA EFORTULUI UNITAR MAXIM $\sigma_{y \max}$

Anexa 5

Nr. crt	Schema statica si de încărcare a grinzii	Abscisa Z unde σ_y este max	Forța tăietoare în secțiunea Z	Momentul încovoiător în secțiunea Z	Efortul unitar normal maxim $\sigma_{y \max}$
	2	3	4	5	6
1		$z = \frac{l}{2} - \frac{\lambda}{\theta} (h_1 + \lambda)$	$T = \frac{q\lambda}{\theta} (h_1 + \lambda)$	$M = \frac{q}{2} \left[\frac{l^2}{4} - \frac{\lambda^2}{\theta^2} (h_1 + \lambda)^2 \right]$	$\sigma_y = \frac{q}{2} \left[\frac{\theta l^2}{4(h_1 + \lambda)} + \lambda^2 \frac{(h_1 + \lambda)}{\theta^2} \right]$
2		$z = \frac{x(2-\theta\lambda)}{2} - \frac{\lambda}{\theta} (h_1 + \lambda)$	$T = \frac{q\lambda}{\theta} (h_1 + \lambda)$	$M = \frac{q}{8} \left[\lambda^2 (2-\tau)^2 - 8 \frac{\lambda^2}{\theta^2} (h_1 + \lambda)^2 \right]$	$\sigma_y = \frac{q\theta x^2 l^2}{8(h_1 + \lambda)} - (2-\tau)^2$
3		$z = \frac{l}{2} - \frac{\lambda}{\theta} (h_1 + \lambda)$	$T = \frac{q\lambda}{\theta} (h_1 + \lambda)$	$M = \frac{q}{2} \left[\frac{l^2}{4} (1-4\tau^2) - \frac{\lambda^2}{\theta^2} (h_1 + \lambda)^2 \right]$	$\sigma_y = \frac{q}{2} \left[\frac{\theta l^2 (1-4\alpha^2)}{4(h_1 + \lambda)} + \lambda^2 \frac{(h_1 + \lambda)}{\theta} \right]$
4		$z = \frac{l}{2}$	$T = \frac{P}{2}$	$M = \frac{Pl}{4}$	$\sigma_y = \frac{P}{2} \left[\frac{\theta l}{2(h_1 + \lambda)} + \lambda \right]$
5		$z = \tau l$	$T = P(1-\tau)$	$M = P\tau(1-\theta\lambda)$	$\sigma_y = P(1-\tau) \left[\frac{\theta l}{(h_1 + \lambda)} + \lambda \right]$
6		$z = \tau l$	$T = P$	$M = P\tau l$	$\sigma_y = P \left[\frac{\theta l}{(h_1 + \lambda)} + \lambda \right]$
7		$z = \frac{l}{2}$	$T = \frac{P}{2}$	$M = \frac{Pl}{4} (3-4\delta)$	$\sigma_y = \frac{P}{2} \left[\frac{\theta l}{2(h_1 + \lambda)} (3-4\delta) + \lambda \right]$
8		$z = 0$	$T = \frac{M_0}{l}$	$M = M_0$	$\sigma_y = M_0 \left[\frac{\theta}{(h_1 + \lambda)} + \frac{\lambda}{l} \right]$

OBSERVAȚIE: Abscisele Z pînă la secțiunea în care σ_y este maxim se corectează la axul goltului cel mai apropiat. Relațiile sînt valabile pentru profile cu goluri ovale, iar pentru cele cu goluri circulare în aceste relații trebuie făcut $h_1=0$